

# GM 48615

PROSPECTION GEOCHIMIQUE ET POTENTIEL ECONOMIQUE, PROPRIETE ISLE-DIEU

Documents complémentaires

*Additional Files*



Licence



Licence

Cette première page a été ajoutée  
au document et ne fait pas partie du  
rapport tel que soumis par les auteurs.

Énergie et Ressources  
naturelles

Québec 

# GROUPE-CONSEIL BOREAL

EXPLORATIONS MINIERES DU NORD LTEE  
Amos, Québec

PROSPECTION GEOCHIMIQUE  
ET  
POTENTIEL ECONOMIQUE  
DE LA  
PROPRIETE ISLE-DIEU,  
CANTON ISLE-DIEU, MATAGAMI

M.E.R.  
SERV. TITRES MINIERES  
BUREAU DE QUEBEC  
89 MAI 9 13 24

par

SERGE GENEST

ÉNERGIE ET RESSOURCES  
SECTEUR MINES  
08 MAI 1989  
Bureau régional Val d'Or

Ministère de l'Énergie et des Ressources  
Service de la Géoinformation  
Date: 13 JUIN 1989  
No G.M.: 48615

Le 2 février 1989

Inf. 00818  
TM89128036

## TABLE DES MATIERES

	Page
1. INTRODUCTION .....	1
2. DESCRIPTION GENERALE DE LA PROPRIETE .....	1
3. TRAVAUX ANTERIEURS ET PRINCIPAUX RESULTATS .....	6
4. PROSPECTION GEOCHIMIQUE 1988 .....	13
4.1 Lithogéochimie du Pluton de Dunlop .....	13
4.2 Géochimie d'humus .....	15
4.3 Conclusion sur la prospection géochimique .....	19
5. POTENTIEL ECONOMIQUE DE LA PROPRIETE ISLE-DIEU .....	21
5.1 Secteur des veines (Zone A) .....	22
5.2 Secteur de la Baie Dunlop (Zone B) .....	27
5.3 Secteur sud-ouest (Zone C) .....	27
6. CONCLUSIONS ET RECOMMANDATIONS .....	27

## LISTE DES APPENDICES

- APPENDICE I Résultats d'analyse relativement à l'échantillonnage exécuté lors de la cartographie.
- APPENDICE II Rapport préliminaire sur l'Etude des distributions or dans le granite de la Baie Dunlop et son encaissant, par A. Rhatous.
- APPENDICE III Spécifications techniques des échantillons d'humus de la zone "B".
- APPENDICE IV Résultats d'analyse sur les échantillons d'humus de la zone "B".
- APPENDICE V Spécifications techniques des échantillons d'humus de la zone "C".
- APPENDICE VI Résultats d'analyse sur les échantillons d'humus de la zone "C".
- APPENDICE VII Description de quelques forages ayant intercepté des zones aurifères dans le Pluton de Dunlop.

## LISTE DES FIGURES

	Page
Figure 1 Carte de localisation de la propriété Isle-Dieu .....	2
Figure 2 Zones d'intérêts A, B et C .....	3
Figure 3 Cadre géologique régional .....	5
Figure 4 Distribution des valeurs aurifères obtenues en géochimie d'humus .....	17
Figure 5 Courbes cumulatives illustrant les sous-populations anormales en or .....	18
Figure 6 Distribution des valeurs en zinc obtenues pour le secteur sud-ouest (Zone C sur la figure 2) ..	20
Figure 7 Contextes géologiques interprétés pour les zones d'intérêt A, B et C .....	21
Figure 8 Corridor d'intérêt interprété à partir des anomalies géochimiques et géophysiques .....	25
Figure 9 Couple de cisaillements générant des systèmes de veines à l'intérieur d'un compartiment plus compétent .....	26

## 1. INTRODUCTION

Faisant suite à des recommandations antérieures, Explorations Minières du Nord Ltée a mis de l'avant un programme de prospection géochimique sur sa propriété Isle-Dieu, du canton de même nom dans la région de Matagami (figure 1).

Les travaux, confiés au Groupe-Conseil Boréal Ltée, visaient à caractériser par voies géochimiques directes et indirectes le potentiel minéral de deux secteurs méconnus de la propriété, soient les zones situées au sud-ouest et au nord-est du secteur mieux connu des veines Marcelle, Edith et Rolande: respectivement les zones C et B sur la figure 2.

Ainsi, le secteur de la Baie Dunlop (zone B) a fait l'objet d'un important levé géochimique d'humus et d'une étude lithogéochimique exhaustive, cette dernière en collaboration avec une équipe du Dr. Guy Perreault de l'Ecole Polytechnique. Quant au secteur sud-ouest (zone C), le programme de géochimie d'humus a été modifié, et seules quelques lignes nord-sud ont été échantillonnées afin de vérifier le contenu métallique de l'humus en fonction de la stratigraphie des empilements volcano-sédimentaires.

Afin d'évaluer le potentiel de la propriété Isle-Dieu, le Groupe-Conseil Boréal Ltée a analysé l'ensemble des données récoltées à date; puis, dans un effort de synthèse, soumet quelques recommandations pour orienter l'exploration.

## 2. DESCRIPTION GENERALE DE LA PROPRIETE

La propriété se situe à 2 km environ au sud du lac Matagami, à l'ouest de la Baie Dunlop, dans le cadran nord-est du canton Isle-Dieu (figure 1). Elle est à environ 6 km au nord-nord-est de Matagami, localité située sur la route 109 reliant les barrages LG1, LG2 et LG3 à Matagami, et à 180 km au nord de la ville d'Amos.

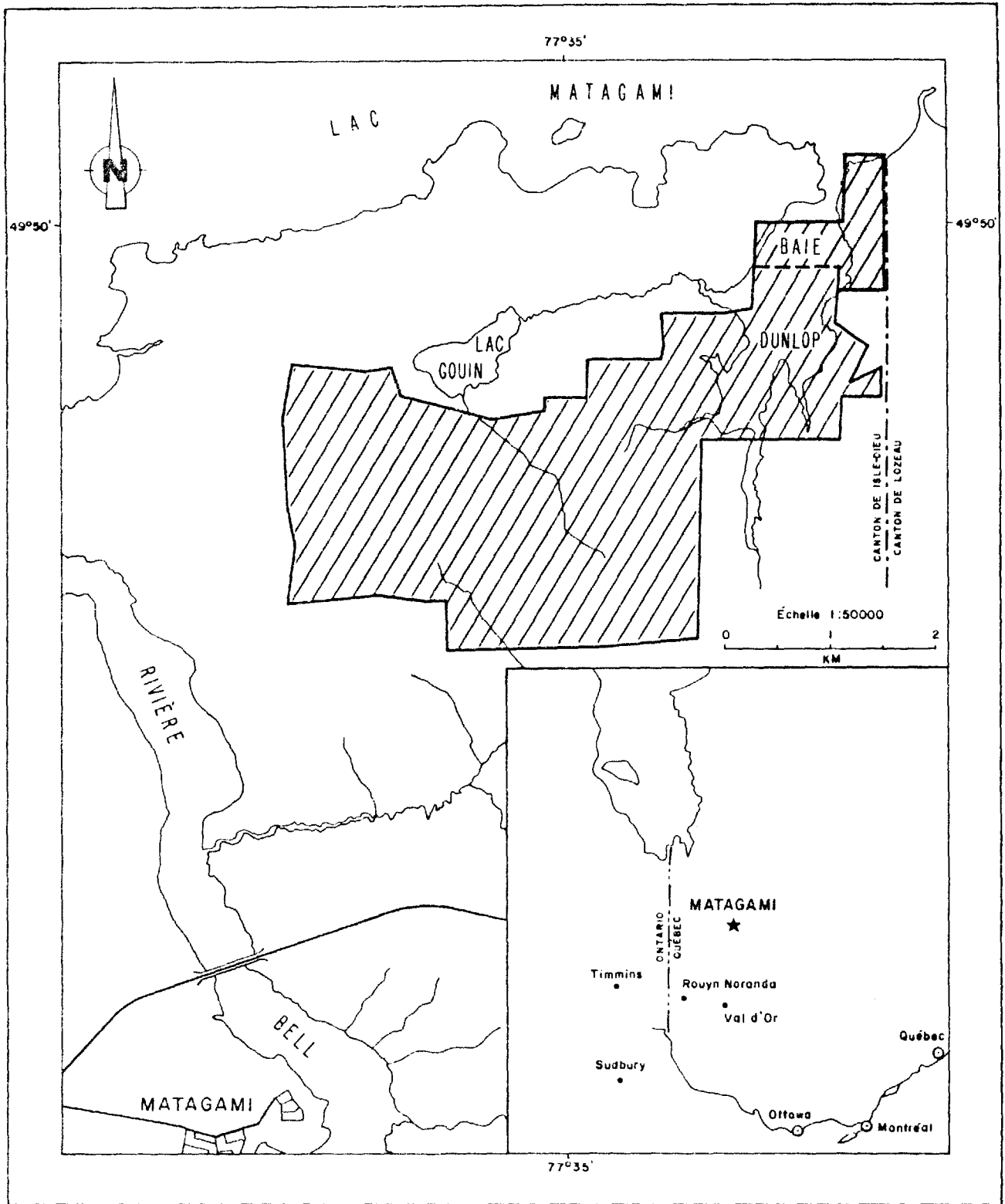


Figure 1 Carte de localisation de la propriété Isle-Dieu.

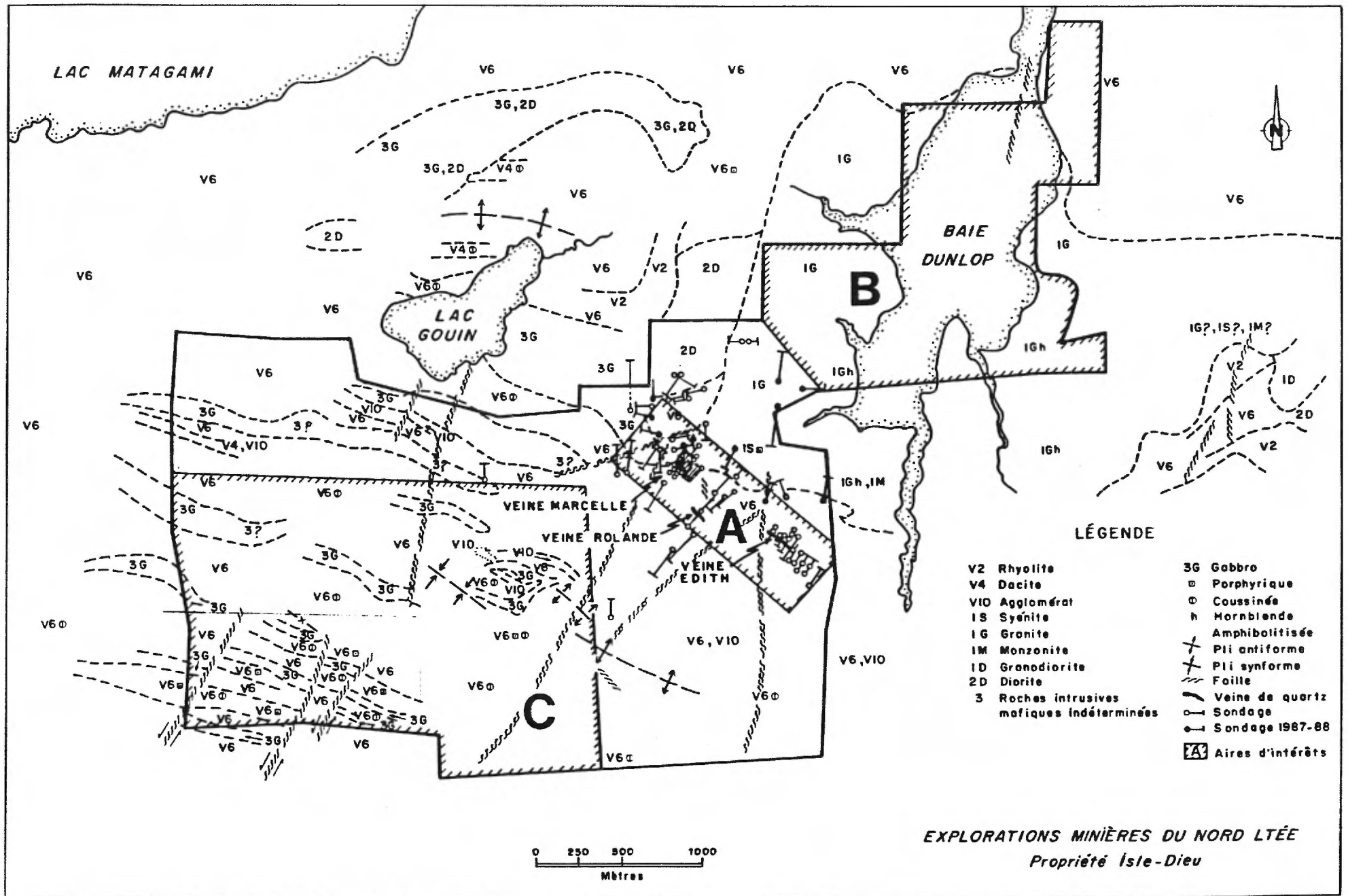


Figure 2 Zones d'intérêts A, B, C.



L'accès à la propriété se fait facilement par une route conduisant à des chalets et par un chemin qui a été construit par Explorations Minières du Nord Ltée à l'automne 1987.

La propriété est constituée d'un bloc de 81 claims contigus situés dans les rangs V, VI et VII du Canton Isle-Dieu . Ces claims sont présentement détenus sous permis de mise en valeur.

### Géologie régionale

La propriété Isle-Dieu est située dans la ceinture volcanique de l'Abitibi faisant partie de la Province de lac Supérieur du bouclier Précambrien.

On retrouve une variété de plutons recoupant les volcanites (figure 3). La composition varie d'une péridotite à un granite (Complexe de la rivière Bell, granite de la Baie Dunlop). Des dykes de diabase et de gabbro du Précambrien supérieur, orientés N-S ou NE-SW, recoupent les autres unités.

Les séquences de laves et de roches pyroclastiques intercalées d'âge archéen sont de composition rhyolitique (Groupe du lac Watson) à andésitique (groupe de Wabasse). De direction NW-SE, ces unités offrent dans la région un fort pendage vers le sud.

Les roches volcano-sédimentaires et les volcanites ont été métamorphisées au faciès des schistes verts. Localement, au contact des intrusions plutoniques on observe un plus haut degré de métamorphisme. En effet, des coussins de lave complètement amphibolitisés ont été observés. De plus, le caractère intrusif des granites est renforcé par la présence de nombreux dykes satellites et apophyses de granitoïdes.

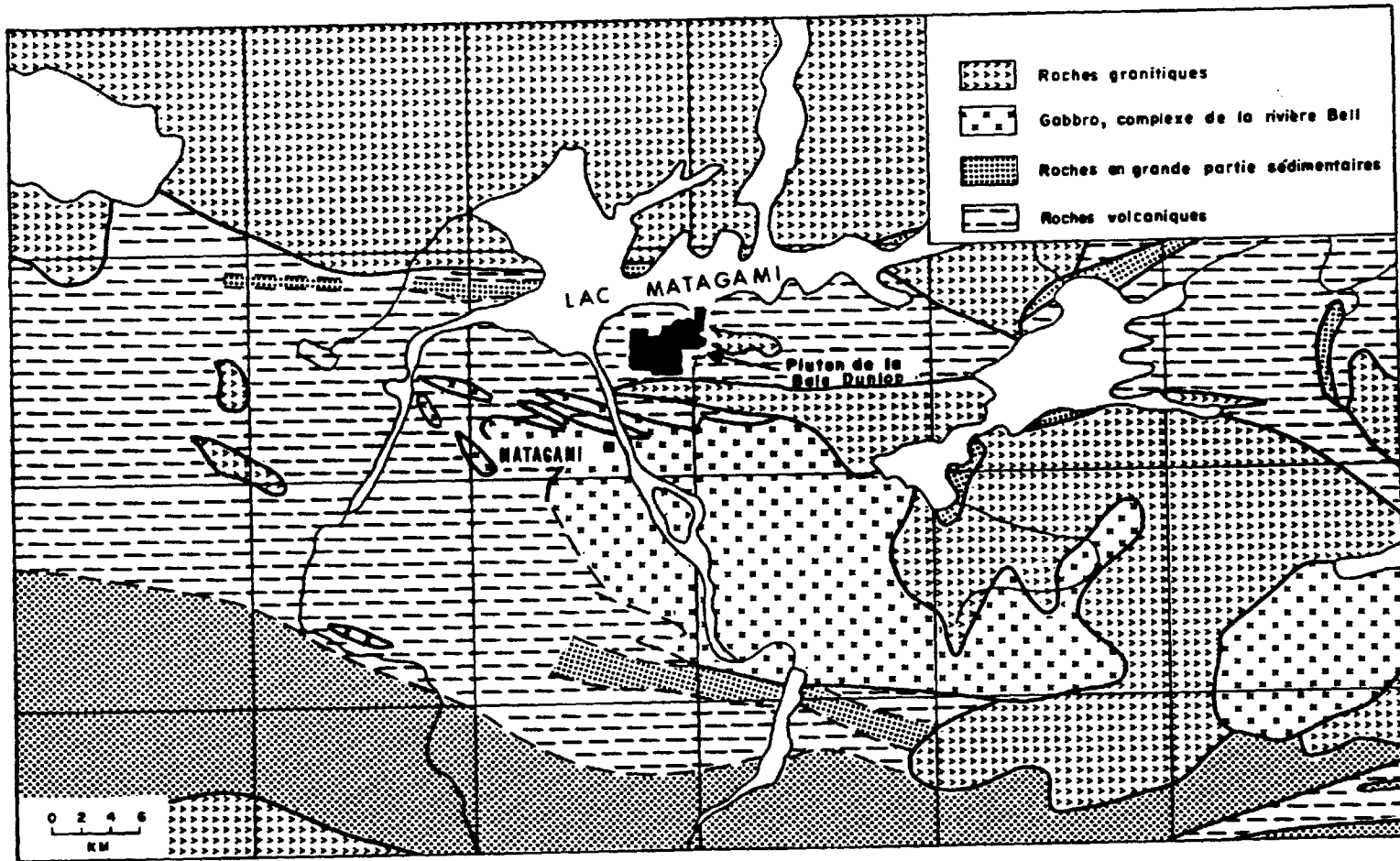


Figure 3 Cadre géologique régional

La période glaciaire du Pléistocène a laissé dans la région plusieurs ensembles de stries de direction sud, et quelques dépôts morainiques. Les dépôts sont généralement constitués de sables, graviers et argiles varvées qui couvrent largement la région.

### Géologie sommaire de la propriété Isle-Dieu

La carte de compilation géologique (voir rapport 87272 Géomines Ltée) montre que la Propriété Isle-Dieu est constituée de roches volcaniques basiques et de roches pyroclastiques appartenant au Groupe de Wabasse. La région est entrecoupée de filon-couches de gabbro apparentés au Complexe de la rivière Bell.

L'orientation générale des structures est NW-SE avec un pendage élevé vers le sud. Cependant, les volcanites ont été sérieusement affectées par l'intrusion du granite de Dunlop et tendent à épouser la forme du pluton. Le contact entre le granite et les volcanites est incliné vers le sud ou vers l'ouest sur la propriété Isle-Dieu.

Les zones faillées et cisillées ont été interprétées d'après la cartographie de surface, l'interprétation géophysique et/ou les cartes topographiques. Leurs directions sont NE-SW, N-S ou W-E avec des pendages présumés forts.

### 3. TRAVAUX ANTERIEURS ET PRINCIPAUX RESULTATS

Plusieurs travaux ont été effectués sur la propriété Isle-Dieu depuis trente-trois ans.

#### Travaux antérieurs

1956 Jalonnement de 58 claims. Les droits miniers étant transférés à Explorations Minières du Nord Ltée.

1958 à

1959 Rapport de levé géophysique, par Koulomzine. (GM-08760)

1959 Rapport de levé géophysique, par Koulomzine. (GM-09033)

1960 à

1962 Prospection et excavation de tranchées

1963 Rapport d'une visite de la propriété par Koulomzine  
(GM-13220)

1963 Rapport géologique sommaire par Sharpe (GM-13918)

1963 Rapport d'excavation par Sharpe (GM-13919)

1963 Rapport géologique et d'échantillonnage par Graham  
(GM-14867)

1964 Prospection et excavation de tranchées

1965 Rapport géophysique (EM-Mag) par Mowat (GM-16174)

1966 Travaux de surface par M.D.W. (GM-17945)

1968 Rapport général d'évaluation géologique par Doan (GM-22341)

1970 Levé électromagnétique par Bérubé (GM-26614)

1970 Levés Mag et Turam par Morin (GM-26666)

1970 Description géologique de 3 propriétés par Bérubé (GM-26934)

1971 Rapport sommaire sur 7 sondages par Cossette (GM-26933)

- 1971 Rapport géophysique (Mag-Turam) par Morin (GM-27152)
- 1973 Journaux de sondages (10 DDH) par Morin (GM-28955)
- 1973 Rapport de synthèse et d'évaluation par Doan (GM-29008)
- 1974 Rapport général sur 3 propriétés par Graham (GM-30593)
- 1974 Rapport d'échantillonnage par Doan (GM-30961)
- 1978 Rapport complémentaire au GM-26934 par Bérubé (GM-34782)
- 1979 Levés VLF par Bérubé (GM-34783)
- 1979 Rapport de compilation géologique et géophysique par Lavoie (GM-36094)
- 1980 Rapport Mag sommaire par Chartré (GM-37220)
- 1980 Rapport général d'évaluation par Kents (GM-37221)
- 1981 Rapport d'échantillonnage géochimique par Graham (GM-37391)
- 1981 Compte rendu sommaire d'échantillonnage par Chartré (GM-37511)
- 1981 Levé Mag par Turcotte (Soquem) (GM-37514)
- 1981 Levé géologique et géochimique par Verpaelst (Soquem) (GM-37730)
- 1981 Mémo géophysique (Mag) par St-Hilaire (Soquem) (GM-37731)
- 1981 Campagne de forages et journaux (2 DDH) par Verpaelst (Soquem) (GM-38051)

- 1982 Evaluation préliminaire du potentiel minier par Cregheur  
(GM-39193)
- 1982 Rapport d'échantillonnage des veines par Cregheur
- 1982 Rapport de vérification de l'échantillonnage par Gosselin  
(GM-39194)
- 1983 Rapport général sommaire par Limoges (GM-40178)
- 1983 Rapport d'évaluation et de développement par Doan (GM-40703)
- 1983 Historique et recommandations par Borduas (GM-40703)
- 1983 Rapport de synthèse et de qualification par Descarreaux  
(GM-40703)
- 1983 Levé de P.P. par Chartré (GM-41173)
- 1985 Levé complémentaire de P.P. par Chartré (GM-43041)
- 1985 Campagne de forages et interprétation géologique avec  
journaux de sondage (43 DDH) par Masson (GM-43042)
- 1986 Campagne de forages et d'échantillonnage avec journaux  
(6 DDH) par Borduas (GM-43043)
- 1986 Rapport de synthèse et de qualification par Descarreaux
- 1987 Campagne de forages et d'échantillonnage avec journaux  
(13 DDH) sur la veine Marcelle par Borduas
- 1987 Campagne de forage et d'échantillonnage avec journaux  
(9 DDH) par Borduas

- 1987 6 sections de forages, veine Marcelle par Géola Ltée.
- 1987 Evaluation des réserves de la veine Marcelle par Cregheur
- 1987 Etude structurale du potentiel de la propriété Blais-Martel par Doan.
- 1987 Cartographie géologique de détail par Trudeau
- 1987 Campagne de forages et d'échantillonnage avec journaux et sections (5 DDH) sur veine Marcelle par Borduas
- 1987 Campagne de forages et d'échantillonnage avec journaux (3 DDH) par Borduas.
- 1987 Rapport de synthèse et de qualification par Descarreaux.
- 1987 Levé de Pulse EM en forage profond par Gaucher
- 1987 Rapport d'interprétation de levés de P.P. par Gaucher
- 1987 Réévaluation des réserves de la veine Marcelle par Cregheur
- 1987 Jeu de 8 cartes de levés Mag filtrées, traitées colorisées et positionnées au 1/2500 par procédés informatiques par Dighem Inc.
- 1987 Compilation géoscientifique par Géomines Ltée
- 1987 Etude statistique de la Veine Marcelle par Géomines Ltée
- 1987 Levés géophysiques par Géomines Ltée (Mag-VLF)
- 1988 Rapport de travaux de sondages avec journaux (23 DDH) par Géomines Ltée.

La minéralisation aurifère s'observe autant dans le granite que dans les unités volcaniques, mais est davantage concentrée près du contact de l'intrusif.

Les zones fortement altérées sont à toutes fins pratiques stériles (d'après l'étude pétrologique).

Les cisaillements NE-SW sont ductiles et pourraient présenter des lentilles silicifiées à pyrite aurifère.

La minéralisation aurifère est invariablement associée à l'épidote (d'après l'étude pétrologique).

Les zones de cisaillement recoupées par plusieurs sondages ont donné de très bonnes anomalies aurifères. Le tableau 1 illustre les valeurs anormales obtenues dans les zones de cisaillement.

TABLEAU 1 : Principaux cisaillements aurifères observés en forages

Sondage	Largeur du cisaillement (m)	Résultats
850W-11B	20	5967 ppb Au/1.30 m 419 ppb Au/0.50 m 3320 ppb Au/0.15 m 167 ppb Au + 1720 ppm As/1.40 m 1707 ppb Au + 20640 ppm As/1.20 m 286 ppm As/1.00 m
862W-2	9	456 ppb Au/1.25 m 509 ppb Au/0.35 m
862W-3	4	497 ppb Au/1.25 m 7097 ppb Au + 1144 ppm As/1.05 m
862W-4	8	272 ppb Au/0.20 m
862W-4	2.6	1435 ppb Au + 2152 ppm As/0.75 m 124468 ppb Au + 263 ppm As + 100 ppm Ag/0.70 m 560 ppb Au/0.20 m
837W-1	4	2635 ppb Au + 180 ppm As/0.50 m 227 ppb Au + 202 ppm As/0.15 m 2698 ppb Au + 138 ppm As/0.10 m 183 ppb Au + 581 ppm As/1.15 m



Jusqu'à présent, l'exploration s'est focalisée sur les veines Marcelle, Rolande et Edith. Les cibles visées sont des veines de quartz contenant de la pyrite aurifère.

Récemment, les travaux se sont tournés vers le Pluton de Dunlop, et des indices aurifères y ont été décelés, lesquels indices présentent des analogies avec les métallotectes connus sur la propriété et qui sont d'intérêt économique.

La propriété Isle-Dieu a donc été divisée en trois aires d'intérêt (figure 2).

Zone A : Zone des veines Marcelle, Rolande et Edith, où des petits gisements ont été délimités mais dont le système n'est pas encore fermé.

Zone B : Pluton de la Baie Dunlop où quelques forages ont intercepté de bonnes anomalies aurifères. Ce pluton présente un bon fond géochimique en or (8 ppb), et son contact avec l'encaissant est découpé par les cisaillements NE-SW. De plus, les systèmes de veinules aurifères y ont été observés en forage (Etude pétrologique).

Zone C : Zone sud-ouest, laquelle se présente dans un contexte favorable, c'est-à-dire qu'on y observe une série de cisaillements NE-SW non loin de la limite nord d'un pluton situé un peu plus au sud de la propriété.

#### 4. PROSPECTION GEOCHIMIQUE 1988

Les travaux de géochimie réalisés à l'automne 1988 s'inscrivent à l'intérieur d'un programme logique de prospection dans des secteurs jusqu'ici peu explorés. A cet égard, la poursuite des levés géochimiques fut dictée par deux conclusions essentielles tirées des travaux antérieurs:

- . Les systèmes de veinules aurifères furent observés à l'intérieur du Pluton granitique lors des forages;
- . Un levé géochimique d'humus réalisé par Soquem en 1981 avait bien caractérisé la zone des veines Marcelle, Rolande et Edith.

Ainsi, l'emphase fut mise sur le Pluton de Dunlop où des levés lithogéochimiques et géochimiques d'humus furent réalisés sur l'ensemble du secteur nord-est contenu dans la propriété (zone B). Par la suite, afin de vérifier par voie indirecte le potentiel minéral des lithologies du secteur sud-ouest (zone C), un levé géochimique d'humus fut réalisé sur quelques lignes nord-sud déjà existantes où des levés géophysiques avaient déjà été conduits afin de vérifier quelques anomalies turam anciennement observées.

##### 4.1 Lithogéochimie du Pluton de Dunlop

Une première étude sommaire du granite de Dunlop a démontré son potentiel aurifère. En effet, en plus d'offrir un fond géochimique moyen de 8 ppb, les forages réalisés à l'intérieur du granite ont intercepté plusieurs niveaux présentant d'importants systèmes de veinules aurifères (cf. chap. 5.2).

Ainsi il était justifié de poursuivre les travaux de prospection et de lancer une étude lithogéochimique plus poussée.

### Travaux de prospection

Réalisés simultanément avec le levé lithogéochimique exhaustif de l'équipe du docteur Guy Perreault, les travaux de prospection visaient à caractériser les quelques affleurements observés sur le pourtour de la Baie Dunlop et à y prélever quelques échantillons pour analyse rapide.

Sur les 24 échantillons récoltés, un seul a donné une valeur anormale, soit 39 ppb. La moyenne globale observée sur ces échantillons est de 5,8 ppb, soit légèrement inférieure à celle déjà citée. Etant donné le peu d'échantillons, ces données ne sont pas significatives.

La description des affleurements et échantillons est présentée à l'appendice I avec les résultats d'analyse. Pour la localisation de ceux-ci, le lecteur voudra bien consulter la carte de synthèse en pochette.

### Etude lithogéochimique

Afin de caractériser le potentiel aurifère du Pluton de Dunlop dans son ensemble, Explorations Minières du Nord Ltée a confié au docteur Guy Perreault de l'Ecole Polytechnique une étude lithogéochimique exhaustive qui sera réalisée dans le cadre du projet de maîtrise de monsieur Abderrahim Rhatous.

Dans le but de connaître la distribution de l'or dans le Pluton de Dunlop ainsi que la nature pétrologique de celui-ci, les affleurements et les carottes de forage ont été examinés et systématiquement échantillonnés; et ce, autant pour l'encaissant que le granite.

Les analyses sont maintenant complétées et plusieurs anomalies aurifères sont ressorties. Un rapport préliminaire ainsi que les résultats d'analyse ont été soumis (Appendice II), et le rapport final est attendu pour le mois d'avril 1989.

#### 4.2 Géochimie d'humus

Tel que mentionné plus haut, un levé géochimique d'humus a été réalisé par Soquem en 1981 dans l'environ immédiat des veines Marcelle, Rolande et Edith. Les principales conclusions de ce levé sont les suivantes:

- . Les valeurs obtenues varient entre <1 et 33 ppb;
- . Le fond géochimique pour les zones où la minéralisation est inconnue est établi entre <1 et 2 ppb;
- . Les valeurs obtenues sur des échantillons prélevés dans l'entourage de la Veine Marcelle varient entre 3 et 6 ppb;
- . Une anomalie de 33 ppb fut observée près de la Veine Rolande;
- . Les valeurs obtenues autour de la Veine Edith varient entre 5 et 6 ppb;
- . Les zones anormales sont nettes et non graduelles.

Considérant ces résultats comme valables, la méthode fut jugée discriminante. Ainsi l'échantillonnage fut soigneusement exécutée et les analyses contrôlées par des lots provenant de deux sites différents dont un est anomal.

#### Secteur de la Baie Dunlop (Zone B)

Les échantillons d'humus furent prélevés à tous les 100 pi. sur les lignes nord-sud espacées de 400 pi. Quelques bouts de lignes ouest-est situés sur la rive ouest de la baie furent échantillonnés aussi à tous les 100 pi. afin de couvrir plus adéquatement la surface qui contient les anomalies observées en polarisation provoquée.

Pour chaque échantillon prélevé, les caractéristiques du terrain ont été notées (Appendice III).

Au total 301 échantillons ont été analysés pour Au, Sb, As, Ba, Cd, Br, Cr, Co, Ir, Mo, Ni, Se, Ag, Ta, Th, W, U, Zn et Cu (Appendice IV). Les résultats se comparent avantageusement avec ceux de Soquem. Des modes autour de 2 ppb sont observés et la queue représentant la population anormale est aplatie et se détache du lot (figure 4). Les fréquences cumulées sont aussi semblables mais la sous-population anormale, dont le seuil fut établi à 3 ppb par Soquem dans le secteur Marcelle, est mieux définie dans le secteur Dunlop (figure 5). Cette situation répond probablement au fond géochimique des lithologies impliquées de part et d'autre: volcanites dans la zone A et granitoïdes dans la zone B.

Les valeurs supérieures ou égales à 3 ppb ont donc été retenues (carte de synthèse en pochette). Mis à part quelques valeurs erratiques, celles-ci définissent deux aires anormales (A et B sur la carte) et une anomalie ponctuelle de 10 ppb localisée sur la limite de la propriété à quelques 1400 pi. à l'ouest de l'aire anormale B. Cette dernière anomalie de 10 ppb ainsi que celles de l'aire B pourraient être le fruit de contaminations aériennes causées par les voies d'accès situées à proximité.

L'aire anormale A est bien définie. Elle représente un plateau situé à 3 ppb et est ponctué de 4 aires anormales plus petites mais mieux individualisées (carte en pochette).

Après avoir comparé la distribution de l'or avec celle de 5 traceurs jugés pertinents pour le contexte (As, Sb, Se, Ba, Co), il s'avère que l'interprétation relative à l'aire anormale A est renforcée par la présence d'un liséré anomal en cobalt à sa bordure occidentale.

#### Secteur sud-ouest (Zone C)

Au total, 189 échantillons d'humus ont été prélevés à intervalles de 100 pi. sur les lignes 28+00W, 32+00W, 36+00W, 40+00W et 44+00W, toutes espacées de 400 pieds.

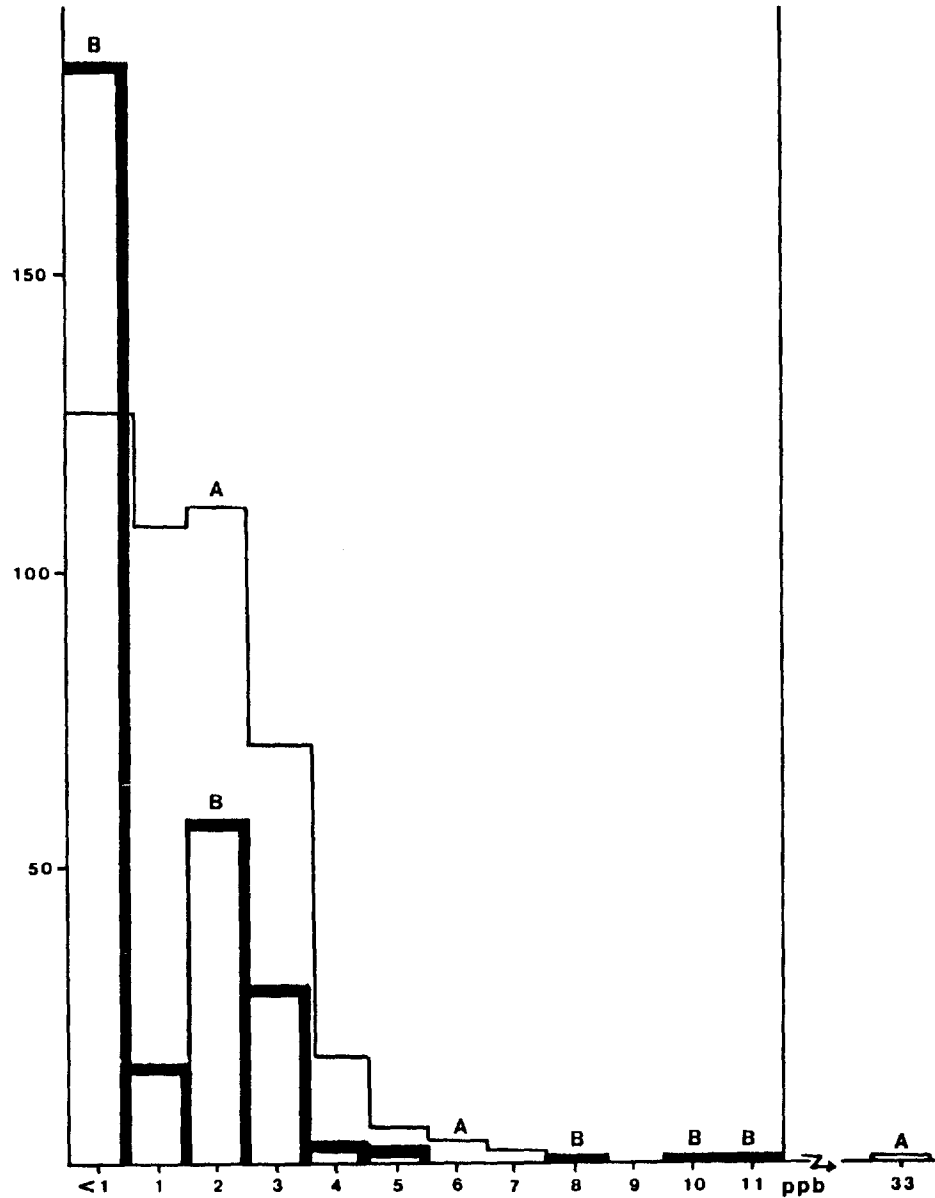


Figure 4: Distribution des valeurs aurifères obtenues en géochimie d'humus.

A) Levé de Soquem (1981) autour des veines Marcelle, Rolande et Edith,

B) Levé du Groupe-Conseil Boréal Ltée dans le secteur de la Baie Dunlop.

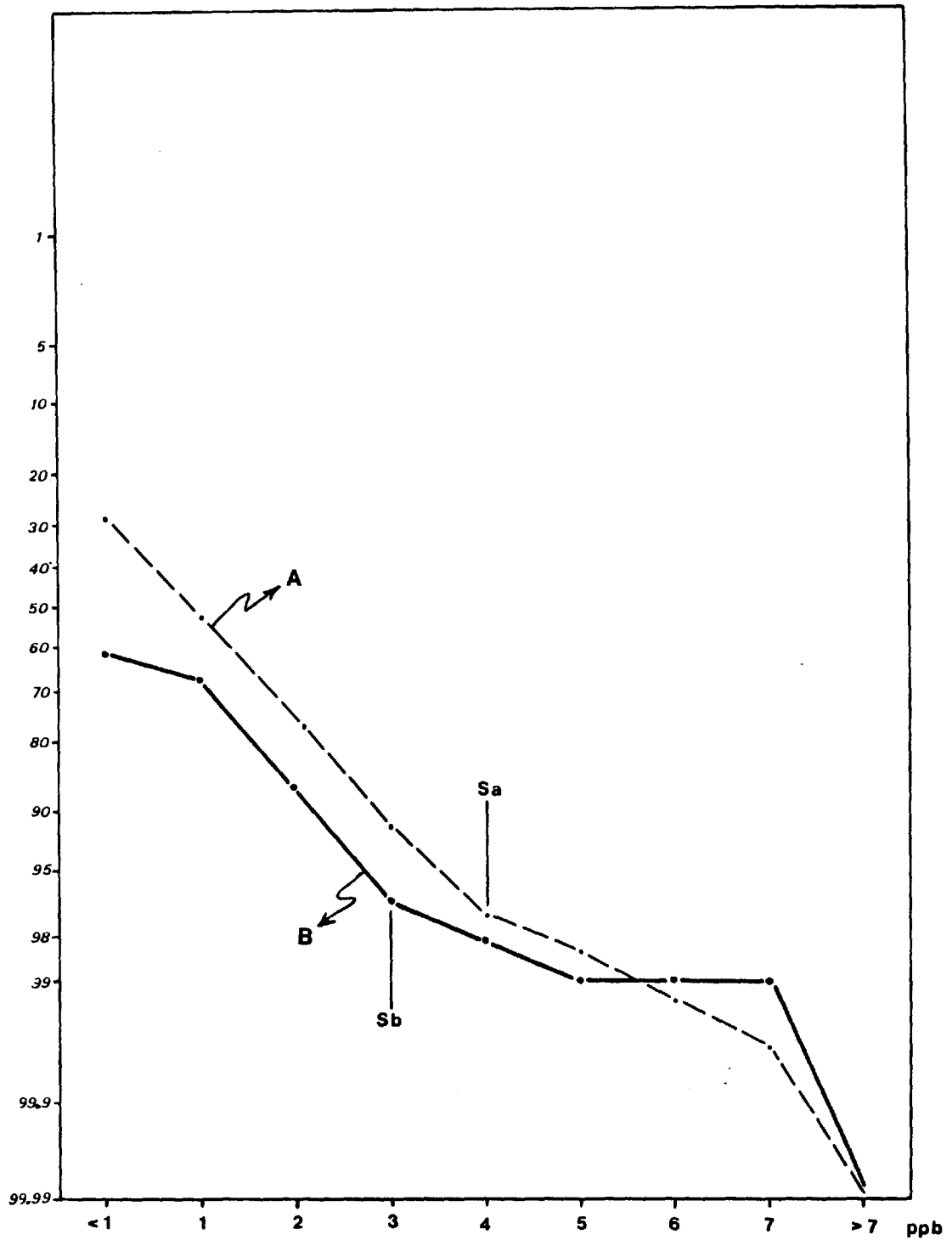


Figure 5: Courbes cumulatives illustrant les sous-populations anormales en or:

Sa = seuil du levé de Soquem (A)

Sb = seuil du levé du Groupe-Conseil Boréal pour le secteur de la Baie Dunlop (B).

Ces lignes avaient été coupées antérieurement afin de réaliser des levés Mag et VLF pour vérifier des anomalies Turam.

Le levé géochimique d'humus sur ces lignes visait à vérifier par voie indirecte le potentiel en Au, Cu et Zn du secteur sud-ouest de la propriété (Zone C).

Pour chaque échantillon prélevé, les données de terrain ont été recueillies (Appendice V). Les résultats compilés présentent une distribution normale et aucune valeur n'a été considérée comme anormale (Appendice VI). La courbe de distribution du zinc est soumise à titre d'exemple (figure 6).

#### 4.3 Conclusion sur la prospection géochimique

Les résultats fragmentaires de l'étude lithogéochimique conduite sur le Pluton de Dunlop laisse déjà présager que le pluton possède les qualités métallogéniques requises.

Les levés géochimiques d'humus ont fait ressortir une zone d'intérêt (aire A sur la rive ouest de la Baie Dunlop). Cette aire anormale en or possède le double intérêt d'être renforcée par les anomalies de cobalt et de correspondre grosso-modo avec une série d'anomalies détectées en polarisation provoquée (carte de synthèse en pochette).

Quant au levé géochimique d'humus effectué dans le secteur sud-ouest; suite à un changement de programme, celui-ci fut exécuté pour vérifier le contenu métallogénique selon la stratigraphie. Les résultats furent négatifs mais ne mettent pas un terme à l'intérêt de ce secteur. Cependant, l'exploration géochimique devrait davantage viser à vérifier l'hypothèse de minéralisations associées aux cisaillements SW-NE observés à l'extrémité sud-ouest de la zone C (figure 2).



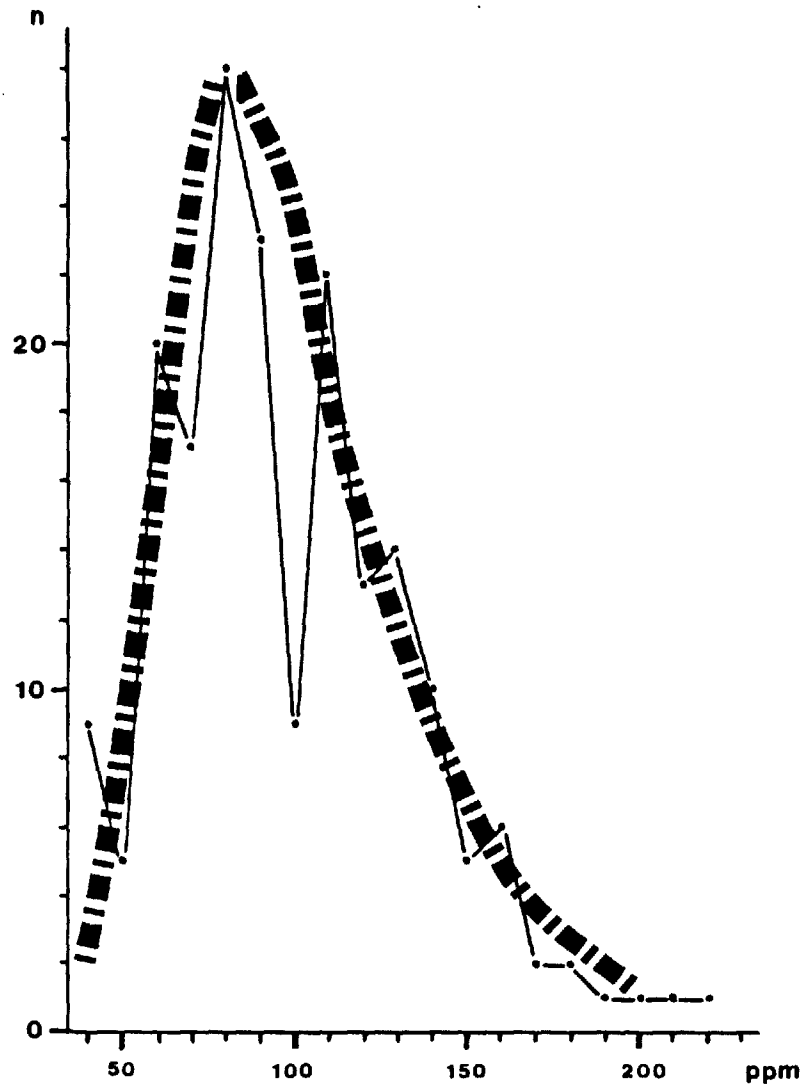


Figure 6: Distribution des valeurs en zinc obtenues pour le secteur sud-ouest (Zone C sur la figure 2).

## 5. POTENTIEL ECONOMIQUE DE LA PROPRIETE ISLE-DIEU

La propriété Isle-Dieu, détenue par Explorations Minières du Nord Ltée, peut être divisée en trois aires d'intérêt (Zone A, B et C sur la figure 2). Ces aires d'intérêt correspondent en fait à trois environnements tectoniques et lithologiques distincts (figure 7):

- . Zone A : partie de l'encaissant volcano-sédimentaire ayant subi le plus de contraintes lors de la mise en place du pluton;
- . Zone B : pluton granitique;
- . Zone C : unités volcano-sédimentaires ayant peu ou pas subi l'influence de l'intrusion granitique.

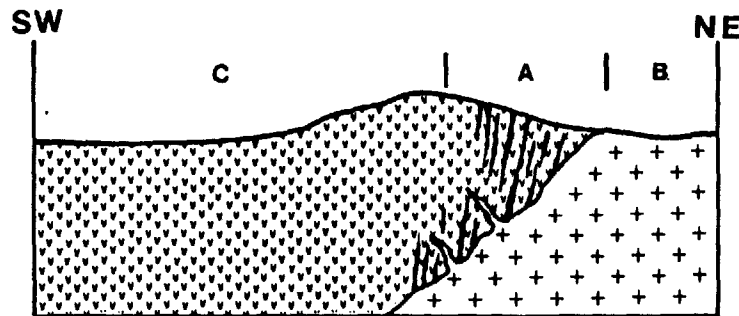


Figure 7: Contextes géologiques interprétés pour les zones d'intérêt A, B et C.

- A: Secteur des veines en bordure du pluton
- B: Pluton de Dunlop
- C. Empilements volcano-sédimentaires

Dans les lignes qui suivent, nous tenterons de donner pour chacune des zones une image fidèle mais simplifiée du contexte géologique et des travaux réalisés versus les résultats obtenus. Ensuite des modèles métallogéniques seront proposés; ce qui permettra au lecteur d'évaluer les possibilités de la propriété.

### 5.1 Secteur des veines (Zone A)

Plusieurs veines de quartz aurifères ont été répertoriées jusqu'à maintenant sur la propriété Isle-Dieu. Parmi celles-ci, trois ont particulièrement attiré l'attention des prospecteurs; il s'agit des veines Marcelle, Edith et Rolande. Elles sont localisées à l'intérieur de la portion de l'empilement volcano-sédimentaire qui a subi des déformations liées à l'intrusif granitique de Dunlop.

Généralement verticales ou à fort pendage, les veines s'orientent NW-SE parallèlement au contact de l'intrusif de Dunlop. Cependant, aucun système de veines N-S n'a été observé à l'ouest de la bordure N-S du pluton; ce qui tend à démontrer que la masse granitique est de forme allongée comme celle qui se situe au sud de la propriété (figure 3) et qu'elle plonge vers le nord-ouest avec un léger pendage sous la couverture volcano-sédimentaire.

Le secteur des veines a fait l'objet de nombreux travaux de prospection (cf. section 3), et malgré tout, en analysant les cartes de compilation et de localisation des forages, il ressort que certaines hypothèses de travail n'ont pas été considérées; pour n'en citer que quelques-unes: extension et comportement des veines en profondeur, répétitivité de veines dans certains secteurs, association possible avec des cisaillements majeurs etc... De plus le manque de sections systématiques rend l'interprétation très difficile.

Les sections de la veine Marcelle ont été réinterprétées en tenant compte des enveloppes d'altération pyriteuse et les réserves ont été réévaluées avec une teneur de coupures à 0,03 oz/t. Il ressort que dans le secteur Marcelle, la minéralisation est principalement répartie dans trois veines rapprochées et que celles-ci totalisent 135,524 tonnes métriques à 0,082 oz/t. De plus, la minéralisation aurifère est associée à l'altération pyriteuse; et bien que parfois stérile, il arrive que l'enveloppe d'altération pyriteuse soit complètement minéralisée (trou 70-5 et 862-W-3). Et comme ces enveloppes peuvent atteindre 15 m de puissance, cela suggère la possibilité de découvrir des zones larges et économiques.

Les veines Edith et Rolande n'ont été travaillées que superficiellement et les résultats obtenus sont peu significatifs. Cependant un levé structural réalisé par Trudeau a mis en lumière une quantité impressionnante de veines de quartz toute orientées NW-SE. Ces données, additionnées aux 32,100 tonnes évaluées sur la veine Edith suggèrent de pousser l'exploration de surface dans ce secteur.

Après avoir analysé les données géologiques et géophysiques, deux thèmes d'exploration se dégagent. Un premier thème concerne la recherche de veines de quartz aurifères analogues à celles connues. Le modèle proposé est simple: les veines, parallèles aux structures régionales, semblent avoir été générées lors de la mise en place des plutons et correspondent à l'ouverture de fissures en tension localisées sur le flanc nord du synclinal régional. Un tel modèle suggère de rechercher des systèmes de veines à forte densité ou de localiser des veines qui s'épaississent en profondeur (lieu d'ouverture maximale).

Un deuxième thème d'exploration concerne la recherche de cisaillements majeurs SW-NE interprétés en géophysique. Ces cisaillements ont possiblement remobilisé la minéralisation et créée de nouvelles ouvertures. Un réseau conjugué de veines est alors envisagé.

## 5.2 SECTEUR DE LA BAIE DUNLOP (Zone B)

Le secteur de la Baie Dunlop correspond à cette portion de la propriété Isle-Dieu qui est représentée par l'intrusif granitique.

Les travaux d'exploration y ont débuté en 1987 avec des levés Mag-VLF et des levés de polarisation provoquée; puis quelques forages ont été exécutés en périphérie du pluton au voisinage des veines Marcelle, Rolande et Edith. Récemment le secteur Dunlop a fait l'objet de prospection géochimique (lithogéochimie et géochimie d'humus).

La compilation des résultats analytiques obtenus sur les carottes des forages interceptant le granite (Appendice VII) et les résultats préliminaires de l'étude lithogéochimique confirment le potentiel métallogénique du Pluton de Dunlop déjà envisagé dans l'étude pétrologique de monsieur Mahmood.

Bien que difficiles à interpréter, les levés géophysiques, et particulièrement ceux de polarisation provoquée, semblent définir une zone allongée orientée SW-NE à l'intérieur de laquelle une anomalie définie, trois anomalies probables et neuf anomalies possibles ont été interprétées. Un fait intéressant à souligner est la correspondance spatiale entre ce groupe d'anomalies de polarisation provoquée et l'aire anormale A interprétée à partir du levé géochimique d'humus (figure 8). Le tout semble définir un corridor d'intérêt orienté SW-NE comme les cisaillements majeurs interprétés en géophysique, et ce dans le prolongement des veines Marcelle, Rolande et Edith. En l'absence de données supplémentaires, ce corridor d'intérêt nous apparaît comme une zone potentielle qui demande à être vérifiée en profondeur.

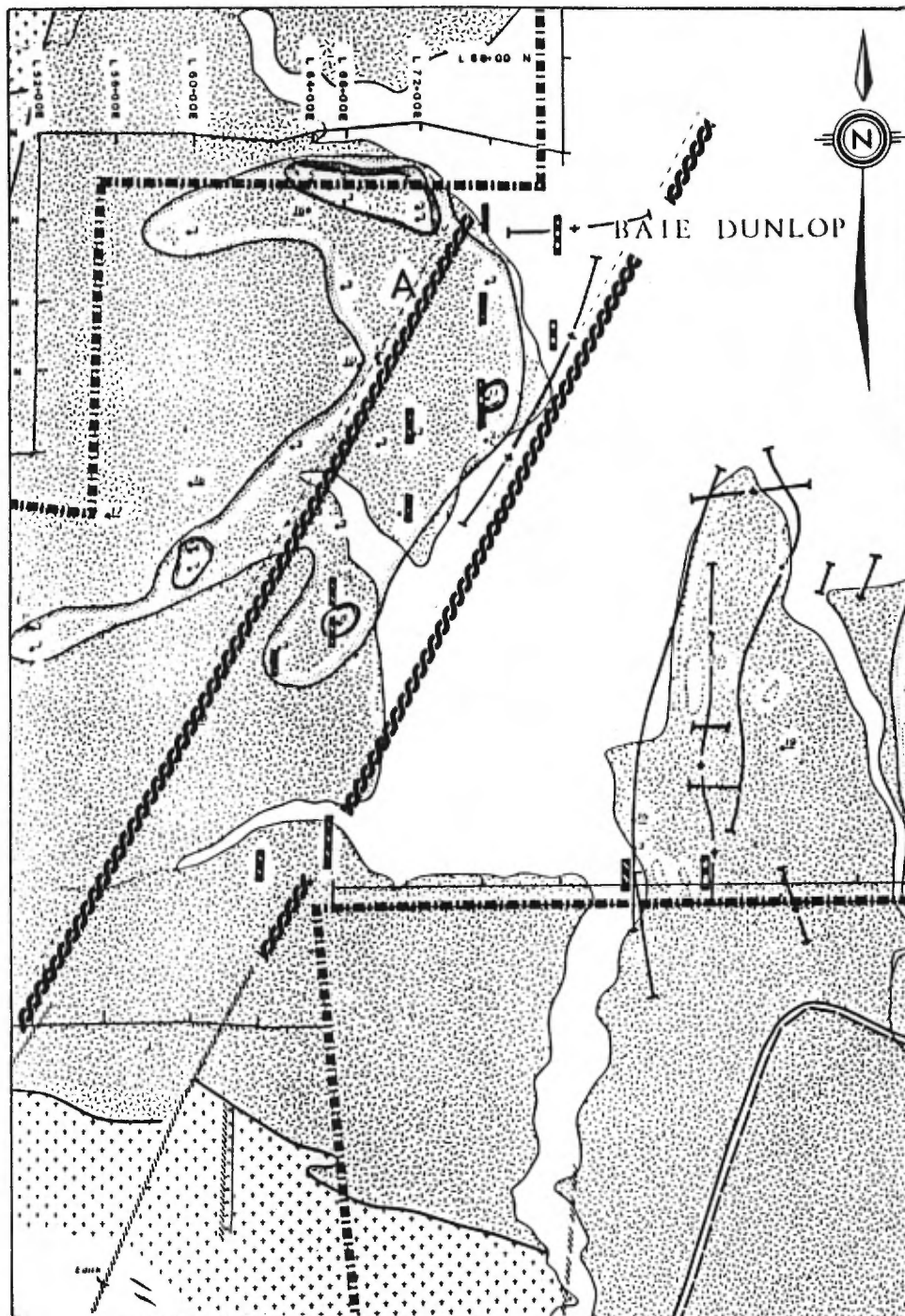


Figure 8: Corridor d'intérêt interprété à partir des anomalies géochimiques et géophysiques. Noter l'extension possible des failles SW-NE du secteur des veines.

Le modèle proposé comme guide d'exploration est le suivant: formation de système de veines à forte densité générés par les cisaillements majeures SW-NE, la minéralisation aurifère étant associée aux remobilisations des fluides hydrothermaux dans cette nouvelle plomberie. Ainsi, deux orientations préférentielles de veines sont susceptibles d'être observées: une première est liée aux ouvertures créées le long des plans de cisaillement SW-NE, et une deuxième, NW-SE, est liée aux tensions engendrées par les couples de cisaillements à l'intérieur des compartiments plus compétents (figure 9).

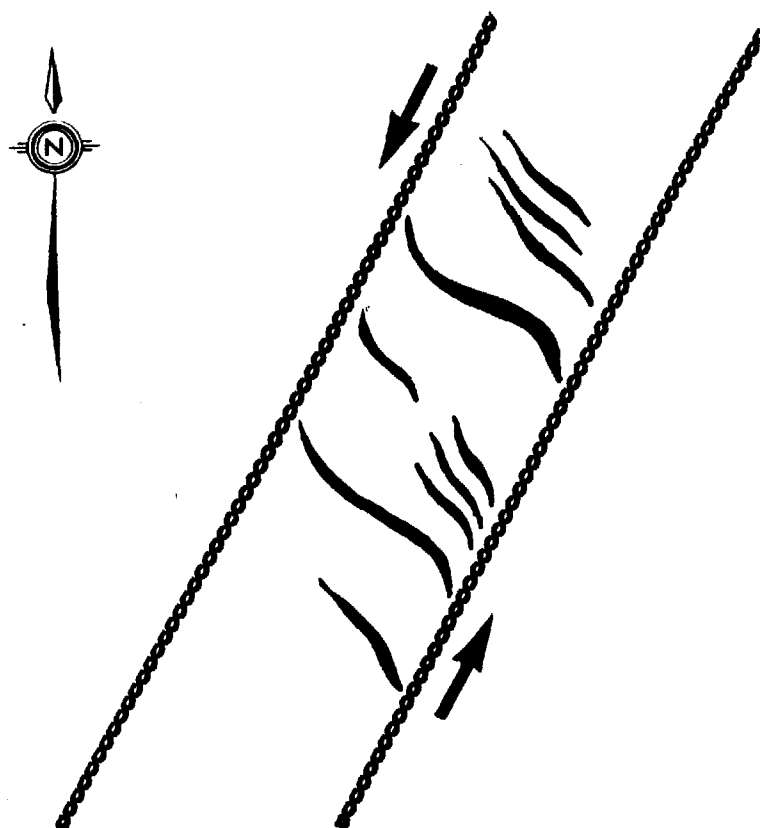


Figure 9 Couple de cisaillements générant des systèmes de veines à l'intérieur d'un compartiment plus compétent.

### 5.3 Secteur sud-ouest (Zone C)

La zone C comprend la partie sud-ouest de la propriété et est représentée par l'empilement volcano-sédimentaire qui a été le moins affectée par l'intrusion granitique de Dunlop.

Quelques levés géophysiques y ont été exécutés ici et là de manière ponctuelle, c'est-à-dire sans approche globale et intégrée. Récemment, quelques profils géochimiques d'humus nord-sud ont été réalisés afin de caractériser le potentiel métallique selon la stratigraphie.

Les résultats sont trop fragmentaires pour être significatifs et le seul intérêt actuel réside dans quelques indices de zinc rapportés dans les travaux antérieurs. Cependant, la présence de cisaillements SW-NE déjà cartographiés par Sharpe laisse présager la possibilité de remobilisations hydrothermales dans ce secteur.

## 6. CONCLUSIONS ET RECOMMANDATIONS

La propriété Isle-Dieu, d'une superficie d'environ 13 km<sup>2</sup> peut être divisée en trois zones d'intérêt. Ces zones ont chacune leurs propres caractéristiques géologiques et l'exploration doit nécessairement y être approchée de façon différente.

Les travaux antérieurs ont clairement démontré le potentiel aurifère de la propriété et jusqu'à maintenant les travaux se sont focalisés sur la Veine Marcelle.

### Zone A

La veine Marcelle a été forée en maints endroits mais avec une seule hypothèse de travail en tête. Les travaux ultérieurs devraient considérer l'hypothèse d'un lien génétique avec les cisaillements SW-NE. Ainsi, des forages complémentaires sont tout



indiqués pour vérifier ces structures et une attention particulière devrait être portée à l'ensemble des enveloppes d'altération pyriteuse.

De plus, des travaux de décapage de mort terrain nous semblent appropriés autour des veines Rolande et Edith afin de vérifier la possibilité de forte densité de veines minéralisées.

### Zone B

Le Pluton de Dunlop recèle de bons indices aurifères (cf. logs à l'appendice VII). Les résultats obtenus lors des levés géophysiques et géochimiques suggèrent fortement que le granite est porteur en son centre et non seulement en périphérie. Une relation spatiale entre le corridor d'intérêt SW-NE et le secteur des veines Marcelle, Rolande et Edith, est avancée mais reste à démontrer.

Dans l'hypothèse de deux systèmes de veines plus ou moins orthogonaux, il apparaît justifié de procéder au forage de deux sections : une section d'azimuth  $135^{\circ}$  pour vérifier les cisaillements SW-NE et une section d'azimuth  $225^{\circ}$  pour vérifier les veines orientées NW-SE (cf. carte de synthèse en pochette). Dans le cas de budgets limités, une seule section selon la bissectrice des deux orientations préférentielles pourrait suffire ( $180^{\circ}$ ).

Afin de mieux comprendre l'aire anormale B obtenue par géochimie d'humus (carte de synthèse), un deuxième levé géochimique d'humus à mailles plus serrées devrait être réalisé.

### Zone C

Des levés cartographiques, lithogéochimiques et géochimiques d'humus devraient être réalisés sur l'ensemble du secteur avant d'entreprendre toute autre méthode.

# GROUPE-CONSEIL BOREAL

EXPLORATIONS MINIERES DU NORD LTEE  
Amos, Québec

PROSPECTION GEOCHIMIQUE  
ET  
POTENTIEL ECONOMIQUE  
DE LA  
PROPRIETE ISLE-DIEU,  
CANTON ISLE-DIEU, MATAGAMI

M.E.R.  
SERV. TITRES MINIERES  
BUREAU DE QUEBEC  
89 MAI 9 13 24

Ministère de l'Énergie et des Ressources  
Service de la Géoinformation

Date: 13 JUIN 1989  
No. G.M.: 48615

par

SERGE GENEST

Le 2 février 1989

ÉNERGIE ET RESSOURCES  
SECTEUR MINES

08 MAI 1989

Bureau Régional Val d'Or

421-00918  
7399/28 036

## LISTE DES APPENDICES

- APPENDICE I Résultats d'analyse relativement à l'échantillonnage exécuté lors de la cartographie.
- APPENDICE II Rapport préliminaire sur l'Etude des distributions or dans le granite de la Baie Dunlop et son encaissant, par A. Rhatous.
- APPENDICE III Spécifications techniques des échantillons d'humus de la zone "B".
- APPENDICE IV Résultats d'analyse sur les échantillons d'humus de la zone "B".
- APPENDICE V Spécifications techniques des échantillons d'humus de la zone "C".
- APPENDICE VI Résultats d'analyse sur les échantillons d'humus de la zone "C".
- APPENDICE VII Description de quelques forages ayant intercepté des zones aurifères dans le Pluton de Dunlop.

Résultats d'analyse relativement  
à l'échantillonnage exécuté lors  
de la cartographie.

DESCRIPTION SOMMAIRE DES ECHANTILLONS ANALYSES

---

Numéro	Affl.	Remarques
13956	1	Veine de quartz avec hématite et épidote en bordure (avec éponte).
13957	1	Granodiorite hématitisée.
13958	2	Veine de quartz, épidote et hématite.
13959	4	Granodiorite non altérée.
13960	5	Granodiorite cisailée.
13961	5	Granodiorite hématitisée, silicifiée et fracturée.
13962	7	Granodiorite cisailée très altérée en chlorite, carbonate et hématite.
13963	8	Andésite silicifiée à 3 mètres de la zone de faille. Pyrite disséminée.
13964	8	Granodiorite schisteuse avec pyrite disséminée, altérée en chlorite et calcite.
13965	8	Granodiorite avec pyrite disséminée.
13966	8	Granodiorite cisailée.
13967	9	Andésite silicifiée, légèrement carbonatée et chloritisée avec pyrite disséminée.
13968	10	Granodiorite carbonatée, hématitisée et chloritisée.

---

DESCRIPTION SOMMAIRE DES ECHANTILLONS ANALYSES

---

Numéro	Affl.	Remarques
13969	10	Andésite cisailée, chloritisée et carbonatée.
13970	12	Granodiorite fraîche.
13971	13	Granodiorite fraîche.
13972	14	Granodiorite fraîche.
13973	15	Granodiorite fraîche.
13974	15	Granodiorite fraîche.
13975	17	Granodiorite fraîche.
13976	18	Andésite massive.
13977	19	Diorite massive.
13978	20	Granodiorite très fracturée et altérée.
13979	21	Granodiorite fraîche.

---

### Affleurement 1

Granodiorite de couleur rougeâtre avec une teinte légèrement verdâtre, à grains moyens à grossiers, contenant 25% de ferromagnésiens.

Structure: veine centimétrique de quartz  $360^{\circ} 30^{\circ}$ . La bordure est fortement altérée en épidote, micro-cisaillement de Qz-Cl, 0,5 cm,  $334^{\circ} 52^{\circ}$ .

### Affleurement 2

Même lithologie que l'affleurement 1, sauf que vers la pointe au nord de l'affleurement on remarque des micro-cisaillements et des fractures orientées  $230^{\circ} 60^{\circ}$  et  $360^{\circ} 85^{\circ}$ .

### Affleurement 3

Même lithologie que l'affleurement 1, sauf que le cisaillement  $212^{\circ} 72^{\circ}$  est moins prononcé. La particularité de cette zone d'affleurement est la présence d'enclaves volcaniques mafiques présentant des phénocristaux de feldspaths. Ces enclaves ont de 10 à 50 cm de diamètre. Ils présentent des contacts net plus ou moins anguleux.

### Affleurement 4

La granodiorite présente des surfaces beaucoup plus fraîches que les affleurements précédents (nous nous éloignons de la faille majeure). Elle présente tout de même une fracturation à  $295^{\circ} 85^{\circ}$ ,  $045^{\circ} 90^{\circ}$ .

### Affleurement 5

La granodiorite présente les caractères d'une activité tectonique intense. L'hématitisation est importante selon quelques plans de cisaillements décimétriques orientés  $050^{\circ} 90^{\circ}$ .

### Affleurement 6

La granodiorite est semblable à l'affleurement 5 mais moins fracturée. Présence d'enclaves mafiques et d'un petit dyke de pegmatite (5 cm).

### Affleurement 7

La granodiorite est très altérée en hématite et chlorite. Elle présente une fracturation assez abondante. On remarque également des cisaillements qui sont E-W et altérés en Qz-Cl-Ca. Les largeurs sont approximativement de 10 cm. Fractures NNE-SSW.

### Affleurement 8

Basalte à grain très fin de couleur gris foncé à verdâtre, altéré en silice, carbonate et chlorite.

Structure: zone de cisaillement de plus de 3 m de largeur plongeant vers le nord à 20° environ. L'orientation est de 170° à 65° de pendage. On peut remarquer le plan de glissement qui fait 10° environ vers le nord par rapport à la verticale (trace du rejet). Dans la zone de cisaillement on note une altération de Qz-Ca-Cl.

Minéralisation: Sulfure (pyrite) disséminé en trace dans la plan de schistosité. La minéralisation semble un peu plus abondante dans l'éponte.

A 10 mètres de la faille majeure, on retrouve une autre faille qui semble aussi large que l'autre (3 m) à 265° 82° avec Qz-Ca-Cl et pyrite disséminée. Diaclases 290° 70°, 115° 10°.



### Affleurement 9

Basalte coussiné fracturé et cisailé de couleur gris foncé à verdâtre à grain très fin, légèrement altéré. Cisaillement 303° 75°, 308° 71°, diaclase 288° 82°.

### Affleurement 10

Basalte massif à grain très fin de couleur gris foncé à verdâtre avec quelques veines de quartz centimétriques anastomosées. Le basalte présente de grandes diaclases orientées 007° 85° et 057° 55°.

Vers la fin de l'affleurement on rencontre le contact volcanites/granite.

Le basalte sur quelques mètres se trouve très fracturé et cisailé. Il renferme quelques dykes de granodiorite dont les contacts sont nets. Le basalte est très altéré. La granodiorite est aussi cisailée et altérée en hématite, chlorite et calcite sur quelques mètres. Les apophyses de granodiorite écrasent le basalte: aspect feuilleté au basalte au contact. Ce dernier est subvertical et assez net à 270°.

### Affleurement 11 et 12

La granodiorite est de couleur rougeâtre à grain moyen à grossier. Elle est légèrement carbonatée. Diaclases 045° 64°, 302° 85°, 083° 84°.

### Affleurement 13

Granodiorite fraîche, diaclase 260° 32°, 076° 60°.

Affleurement 14

Granodiorite très homogène non altérée à grain moyen ou grossier; 25% de ferromagnésiens. Diaclase 030° 80°, 188° 76°.

Affleurements 15, 16 et 17

Même que 14

Affleurement 18

Basalte massif gris ou vert foncé, à grain très fin.

Affleurement 19

Diorite grise, grain fin à moyen, veines de Qz-C1-Ep millimétriques et centimétriques, orientées 300° sub-vertical avec déplacement dextre. Fracture 360° 74°.

Affleurement 20 et 21

Granodiorite fraîche.



GRUPE CONSEIL BOREAL  
51 RUE PERREAULT / EST  
ROUYN-NORANDA / QUE.  
J9X 3C1

RÉSULTATS # 10812094 COMMANDE #1

PROJET 88003

DATE 88-10-05

PAGE 1

Att.: YVAN LEITH

## RÉSULTATS D'ANALYSES/ASSAY REPORT

ÉCHANTILLONS SAMPLES	Cu	Pb	Zn	As	Ag	Au	Au	Au			
	ppm	ppm	ppm	ppm	ppm	ppb	g/tm	oz/t			
13956	14		34	6.0	0.2	39					
13957	119		40	2.0	0.2	7					
13958	19		17	1.5	0.2	4					
13959	11		17	1.5	0.1	3					
13960	33		27	0.5	0.2	5					
13961	15		6	0.5	0.1	9					
13962	18		35	1.5	0.2	4					
13963	93		27	1.5	0.2	4					
13964	32		92	0.5	1.0	3					
13965	91		54	0.5	0.7	4					
13966	61		59	0.5	0.8	4					
13967	7		29	2.0	0.4	3					
13968	2		27	1.5	0.9	3					
13969	32		96	11.0	1.1	3					
13970	9		17	0.5	0.3	3					
13971	11		23	0.5	0.3	6					
13972	11		17	0.5	0.2	4					
13973	9		22	1.0	0.1	4					
13974	8		17	2.0	0.5	3					
13975	10		18	1.0	0.5	4					
13976	24		39	1.0	2.0	4					
13977	106		12	0.5	0.5	6					
13978	86		32	0.5	0.6	6					
13979	15		24	0.5	0.2	4					

*H. Blais*

Etude des distributions or dans  
le granite de la Baie Dunlop et  
son encaissant, Matagami, Québec

---

Département de  
génie minéral

Rapport de recherche

Étude des distributions or dans le granite  
de la Baie Dunlop et son encaissant,  
Matagami, Québec

---

RAPPORT PRÉLIMINAIRE

Présenté à:

S. Genest  
Groupe Conseil Boréal  
51, rue Perreault Est  
Rouyn-Noranda (Québec)  
J9X 3C1

Par: 

A. Rhatous  
Candidat M. Sc.A.  
à l'École Polytechnique

Vu et accepté par: 

Guy Perrault  
Directeur de recherche

Montréal, le 1<sup>er</sup> décembre 1988

## Résumé

La propriété Isle-Dieu de la compagnie Explorations minières du Nord Limitée est située à une dizaine de km au nord-nord-est de la ville de Matagami, dans le nord-ouest du Québec. Elle est située dans la ceinture volcanique de l'Abitibi faisant partie de la province du Supérieur.

Durant notre séjour sur la propriété, du 24 août au 2 septembre 1988, nous avons échantillonné tous les affleurements dont l'accès était possible; nous avons recueilli 40 échantillons environ dans le granite et son encaissant volcanique. Nous avons complété notre cueillette par l'échantillonnage des carottes des 23 forages réalisés lors de la campagne 87-88, en tout 227 échantillons.

À l'heure de rédaction de ce rapport préliminaire, nous avons reçu les analyses de 79 échantillons sur lesquelles nous fondons nos premières observations. Dans les analyses d'échantillons de granite, on a une distribution lognormale avec deux populations: une enrichie avec des teneurs supérieures à 30 ppb et une autre population caractérisée par une médiane à 5.8 ppb Au  $P_{16}$  à 2.5 ppb Au et  $P_{84}$  à 15.1 ppb Au. Les données d'échantillons des volcaniques font sortir une distribution normale caractérisée par une médiane à 6.8 ppb Au. et  $P_{16}$  à 1.6 ppb Au et  $P_{84}$  à 11.6 ppb Au. Nous attendons l'ensemble des résultats pour pouvoir conclure d'une manière adéquate.

Sur les 79 échantillons analysés, 7 ont donné des teneurs en or anormales (42 à 130 ppb Au); ces échantillons appellent une vérification de l'analyse et vraisemblablement un échantillonnage additionnel.

## 1- Introduction

La propriété Isle-Dieu de la compagnie Explorations minières du Nord a fait l'objet de plusieurs études géochimiques et géophysiques afin d'évaluer son potentiel minier d'or avec un grand nombre de forage. Mais toutes les investigations ont été surtout axées sur le domaine de trois veines affleurantes: la veine Marcelle, la veine Edith et la veine Rolande. Notre étude s'intéresse surtout à déterminer la distribution de l'Au dans le granite et son encaissant volcanique afin de déterminer le mouvement de l'or en essayant de détecter les pièges probables pour une concentration éventuelle.

On complètera notre étude par une étude du métamorphisme et son apport dans la mobilisation de l'Au dans les roches volcaniques encaissantes. Durant notre séjour sur la propriété, nous avons recueilli 227 échantillons des affleurements d'accès possible et de 23 forages de la campagne 87-88.

## 2- Méthodes d'analyses

Les méthodes d'analyses envisagées pour la réalisation de cette étude sont:

- l'analyse par activation neutronique de l'Au et des principaux éléments accompagnateurs,
- l'analyse par fluorescence-X pour la constitution en éléments immobiles,
- la diffraction-X pour définir le métamorphisme,
- l'étude pétrographique sur, environ, 50 lames-minces.

## 3- Résultats préliminaires

À l'heure de rédaction de ce rapport préliminaire, nous avons reçu les résultats d'analyses par activation neutronique de seulement 79 échantillons (tableaux 1 et 2). Nous avons jugé nécessaire de grouper les résultats de chaque type à part afin d'avoir une idée sur la distribution de l'or dans le granite et dans son encaissant (figures 1 et 2).

Dans le granite, on a observé une distribution lognormale (fig. 1) avec deux populations: une population enrichie > 30 ppb Au et une population qui est caractérisée par une médiane de 5.8 ppb Au,  $P_{16}$  à 2.5 ppb A et  $P_{84}$  à 15.1 ppb. Par contre, dans les roches volcaniques, on a observé une distribution normale avec une population caractérisée par une médiane à 6.8 ppb Au,  $p_{16}$  à 1.6 ppb Au et  $P_{84}$  à 11.6 ppb Au.

Les échantillons ont été analysés par activation neutronique à l'Ecole Polytechnique. Ils ont été analysés pour Au, As et Sb. Pour les échantillons titrant moins de 15 ppb Au, la méthode d'analyse utilisée (sic. AANI: analyse par activation neutronique instrumentale) n'est pas suffisamment sensible; nous recommandons donc de reprendre l'échantillon sur 3 de cet ensemble et de les faire reprendre par AANR (sic. analyse par

activation neutronique radiochimique); nous comptons soumettre ces échantillons au laboratoire Neutron Activation Services de l'Université McMaster (réacteur nucléaire plus puissant).

### Autres travaux

Nous avons commencé l'étude en lames-minces. Nous avons aussi préparé les échantillons pour l'analyse des éléments immobiles (Ti, Zr, Nb, etc.). Finalement, le reste des analyses Au, As et Sb (environ 148 échantillons) devant être disponible en décembre 1988.

### Conclusions

Des 79 échantillons à teneur anormale en Au, un seul a pu être localisé sur le terrain: 48.7 ppb Au dans le granite, voir carte. Il sera utile, en temps opportun, de vérifier ce résultat analytique et, s'il y a lieu, de faire un échantillonnage additionnel.

Nous comptons soumettre un deuxième rapport vers avril 1989. Ce rapport contiendra le fruit de nos recherches diverses et des recommandations pour la continuation des travaux.



---

Abderrahim Rhatous  
Candidat M.Sc.A.  
à l'Ecole Polytechnique

P.j. 2 tableaux  
2 figures  
1 carte

Vu et accepté par:



---

Guy Perrault  
Directeur de recherche



Tableau 1

## Le granite de la Baie Dunlop

Teneur en Au, As, et Sb

Echantillon	Au ppb	As ppm	Sb ppm
887W-1 (5)	68	30	5.41
775W-1 (2)	7.4	1	0.02
812W-1 (6)	1	2	0.25
862W-3 (6)	15	7	1.48
812W-1 (5)	44	Tr	0.05
AR88 (27)	2.3	1	0.13
AR88 (19-1)	2.9	1	0.16
887W-1 (6)	9.9	107	24.18
887W-1 (1)	10.3	14	2.24
887W-1 (7)	53.2	52	0.22
AR88 (20-1)	43	1	0.34
AR88 (4)	48.7	1	0.09
AR88 (29)	4.7	1	0.23
AR88 (25)	9.3	1	0.07
887W-1 (4)	9.3	22	10.07
887W-1 (2)	12	1	0.21
887W-1 (3)	9	3	1.77
AR88 (30)	5.8	2	0.22
AR88 (23)	2.1	1	0.22
AR88 (21)	18.1	1	0.53
AR88 (35)	5.4	1	0.17
AR88 (28)	2.4	1	0.08
AR88 (22)	7.3	1	0.47
AR88 (7)	8	1	0.28
AR88 (5)	5.7	1	0.14
AR88 (24)	8.5	2	0.06
AR88 (1)	11.3	2	0.38
AR88 (34)	5.4	1	0.30
AR88 (3)	1.1	1	0.21
AR88 (26)	3.2	1	0.08
AR88 (8)	4.4	1	0.60
53E-1 (3)	4.2	4	1.20
53E-1 (12)	4.3	7	0.94
53E-1 (4)	2.5	3	0.44
53E-1 (5)	246.1	4	0.38
53E-1 (6)	3.5	3	0.44
53E-2 (4)	4	3	0.30

887W-1 (5): Echantillon no 5 dans la carotte de forage 887W-1

AR88 (27): Echantillon no 27, surface échantillonnée par A.R. en 1988

Tableau 2

## Les volcanites de la Baie Dunlop

Teneur en Au, As, et Sb

Echantillon	Au ppb	As ppm	Sb ppm
775W-1 (5)	8.8	3	0.47
887W-1 (9)	0.6	2	0.40
775W-1 (1)	2.8	2	0.28
775W-1 (3)	4.1	4	0.20
812W-1 (2)	17.1	2	1.03
812W-1 (4)	10.4	34	0.49
862W-3 (1)	6.6	3	0.70
862W-3 (5)	7.0	7	23.68
862W-3 (3)	0.8	4	1.10
775W-1 (4)	8.5	1	0.17
812W-1 (3)	2	3	0.74
862W-3 (2)	2	3	0.14
775W-1 (6)	9.1	1	0.22
812W-1 (1)	1.7	1	2.80
862W-3 (4)	10.8	27	13.10
AR88 (19-2)	1.2	1	0.02
887W-1 (10)	6.3	38	2.54
887W-1 (8)	3	1	0.04
775W-1 (7)	5.4	192	5.74
AR88 (1-V)	6.6	2	0.23
AR88 (17)	9.3	4	0.98
AR88 (13)	6.4	1	0.45
AR88 (32)	10.1	2	0.42
AR88 (31)	4.8	Tr	0.23
AR88 (16)	12.7	1	0.14
AR88 (91)	12.6	2	0.43
AR88 (14)	16.5	8	0.84
AR88 (11)	9.7	2	0.44
AR88 (15)	3.6	Tr	0.20
AR88 (10)	2.9	1.0	0.34
AR88 (20-2)	0.2	1	0.57
AR88 (12)	5	1	0.29
AR88 (33)	11.3	1	0.01
AR88 (9)	6.5	2	0.64
28E-4 (6)	1.2	1	0.31
837W-1 (6)	126.5	1107	14.08
873W-1 (4)	4.9	55	7.96
837W-1 (2)	10.8	0.51	0.73

887W-1 (5): Echantillon no 9 dans la carotte de forage 887W-1.

AR88 (9): Echantillon no 9, surface échantillonnée par A.R. en 1988.

Fig. 1

ppb Au

5

10

50

100

GRANITE  
BAIE DUNLOP  
MATAGAMI, QUEBEC

Population B  
> 30 ppb Au  
enrichie

84

A

B: enrichi

50

16

Population A

Médiane 5.8 ppb Au

P<sub>14</sub> 2.5 ppb Au

P<sub>84</sub> 15.1 ppb Au

n = 31

Primaire

(distribution lognormale)

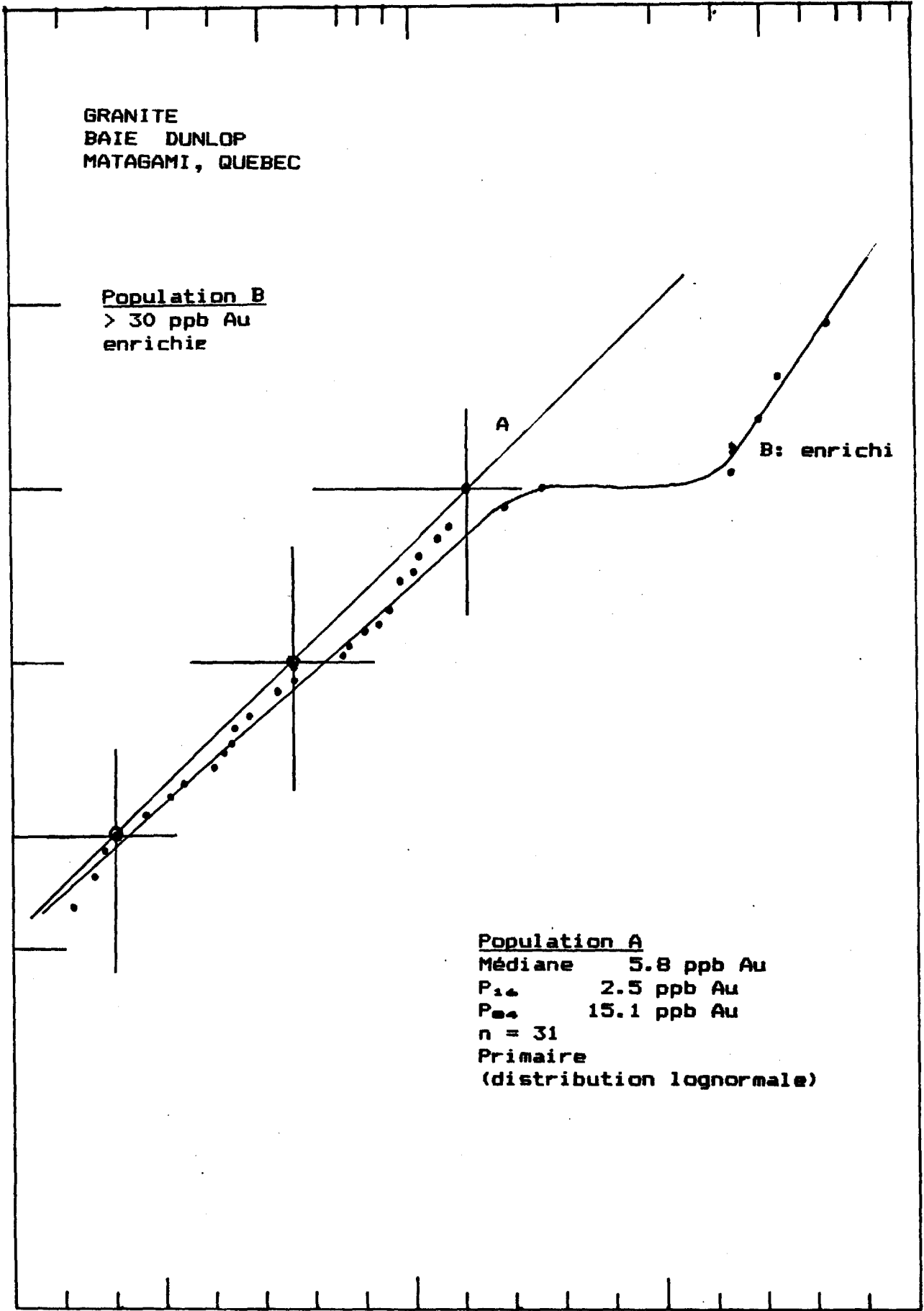
0.5

1.0

1.5

2

log ppb Au



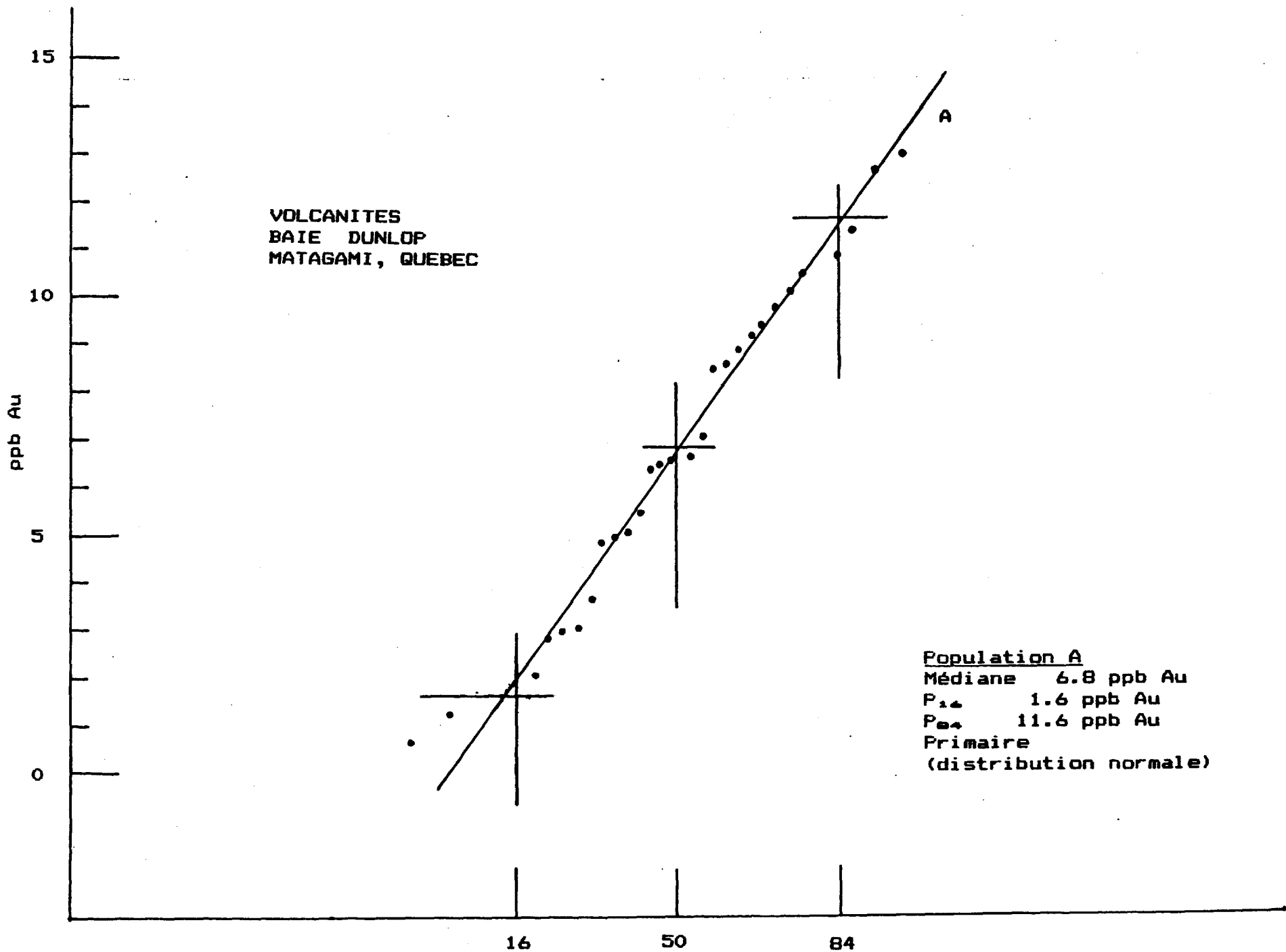
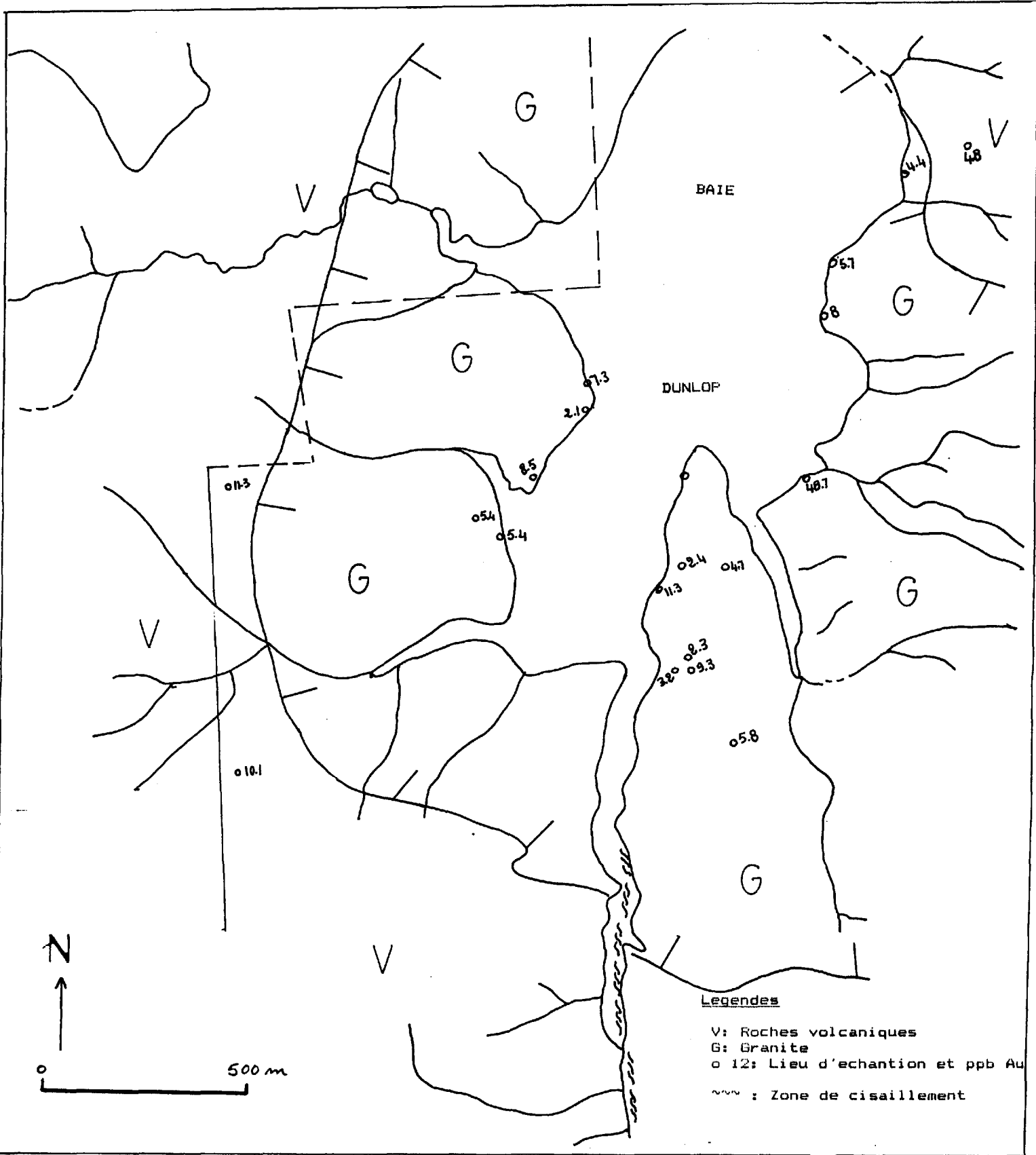


Fig. 2



Legendes

- V: Roches volcaniques
- G: Granite
- o 12: Lieu d'échantion et ppb Au
- : Zone de cisaillement

23 DEC. 1988

ÉCOLE POLYTECHNIQUE - GÉOCHIMIE ANALYTIQUE  
Campus de l'Université de Montréal  
Case Postale 6079, Succursale "A"  
Montréal (Québec) H3C 3A7

V. Kubat, resp.  
340-4789

---

Guy Perrault  
Département de Génie minéral

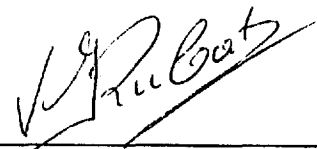
Projet: A. Rhatous - Baie Dunlop

Analyses # 88-1560 à 88-1785

Voir rapport ci-joint

Le 20 décembre 1988

c.c.: Groupe Conseil Boréal ✓

  
\_\_\_\_\_  
Victor J. Kubat  
Responsable  
Laboratoire de Géochimie Analytique

CAPSULE	ECHAN.		Au (ppm)	As (ppm)	Sb (ppm)
AX2Z-1	887W1-5		0.068	29.3	5.4
AX2Z-2	775W1-5		0.009	3.0	0.5
AX2Z-3	775W1-2		0.007	0.7	0.0
AX2Z-4	887W1-9		0.001	1.8	0.4
AX2Z-5	775W1-1	<	0.009	2.1	0.3
AX2Z-6	775W1-3		0.004	4.1	0.2
AX2Z-7	812W1-2		0.018	2.4	1.0
AX2Z-8	812W1-4		0.010	33.9	0.5
AX2Z-9	862W3-1		0.007	2.7	0.7
AX2Z-10	812W1-6	<	0.007	1.6	0.3
AX2Z-11	862W3-5		0.007	6.7	3.7
AX2Z-12	862W3-3	<	0.008	4.2	1.1
AX2Z-13	775W1-4		0.009	0.9	0.2
AX2Z-14	812W1-3		0.002	3.2	0.7
AX2Z-15	862W3-2		0.002	2.9	0.1
AX2Z-16	862W3-6		0.015	6.6	1.5
AX2Z-17	812W1-5		0.044	0.0	0.1
AX2Z-18	775W1-6		0.009	1.2	0.1
AX2Z-19	812W1-1		0.002	1.3	2.8
AX2Z-20	862W3-4		0.011	27.2	3.1
AX2Z-21	AR88-27		0.002	1.3	0.1
AX2Z-22	AR88-19-1		0.003	1.2	0.2
AX2Z-23	AR88-19-2		0.001	1.0	0.0
AX2Z-24	887W1-6		0.010	106.9	24.2
AX2Z-25	887W1-10		0.006	38.3	2.5
AX2Z-26	887W1-1		0.010	13.9	2.2
AX2Z-27	887W1-8		0.003	0.7	0.0
AX2Z-28	AR88-V.M.		26.357	18.0	0.4

CAPSULE	ECHAN.	Au (ppm)	As (ppm)	Sb (ppm)
AX2Z-29	887W1-7	0.053	52.2	0.2
AX2Z-30	AR88-V.Ro	15.806	144.3	0.8
AX2Z-31	AR88-20.1	0.043	1.1	0.3
AX2Z-32	AR88-4	0.049	1.4	0.1
AX2Z-33	AR88-29	0.005	0.9	0.2
AX2Z-34	AR88VMEp	0.080	16.4	0.3
AX2Z-35	AR88-25	0.009	0.8	0.1
AX2Z-36	775W1-7	0.005	191.8	5.7
AX2Z-37	887W1-7	0.009	21.8	10.1
AX2Z-38	887W1-2	0.012	1.4	0.2
AX2Z-39	887W1-3	0.009	3.1	1.8
AX2Z-40	AR88-30	0.006	1.9	0.2
AX2Z-41	AR88-23	0.002	1.4	0.2
AX2Z-42	AR88-21	0.018	1.2	0.5
AX2Z-43	AR88-35	0.005	1.3	0.2
AX2Z-44	AR88-1-V	0.007	1.9	0.2
AX2Z-45	AR88-28	0.002	0.8	0.1
AX2Z-46	AR88-17	0.009	3.5	1.0
AX2Z-47	AR88VREp	0.008	9.1	0.2
AX2Z-48	AR88-22	0.007	1.2	0.5
AX2Z-49	AR88-13	0.006	1.4	0.5
AX2Z-50	AR88-32	0.010	2.2	0.4
AX2Z-51	AR88-7	0.008	0.8	0.3
AX2Z-52	AR88VEdEp	0.143	235.5	3.9
AX2Z-53	AR88-5	0.006	1.3	0.1
AX2Z-54	AR88-24	0.009	1.9	0.1
AX2Z-55	AR88-31	0.005	0.2	0.2
AX2Z-56	AR88-16	0.013	0.9	0.1



CAPSULE	ECHAN.	Au (ppm)	As (ppm)	Sb (ppm)
AX2Z-57	AR88-1	0.011	1.7	0.4
AX2Z-58	AR88-9	0.013	2.1	0.4
AX2Z-59	AR88-14	0.017	8.2	0.8
AX2Z-60	AR88-11	0.010	2.5	0.4
AX2Z-61	AR88-34	0.005	1.2	0.3
AX2Z-62	AR88-15	0.004	0.5	0.2
AX2Z-63	AR88-3 <	0.006	1.3	0.2
AX2Z-64	AR88-10	0.003	1.1	0.3
AX2Z-65	AR88-20-2	0.000	1.2	0.6
AX2Z-66	AR88-12	0.005	0.7	0.3
AX2Z-67	AR88-33	0.011	0.8 <	0.15
AX2Z-68	AR88-26	0.003	1.0	0.1
AX2Z-69	AR88-9	0.007	2.0	0.6
AX2Z-70	AR88-8	0.004	1.2	0.6
AX2Z-71	53E1-3	0.004	3.8	1.2
AX2Z-72	53E1-12	0.004	6.5	0.9
AX2Z-73	28E4-6	0.001	1.4	0.3
AX2Z-74	837W1-6	0.127	1107.4	14.1
AX2Z-75	53E1-4	0.003	3.4	0.4
AX2Z-76	837W1-4	0.005	55.0	8.0
AX2Z-77	837W1-2	0.011	0.5	0.7
AX2Z-78	52E1-5	0.246	4.3	0.4
AX2Z-79	56E1-6	0.004	3.0	0.4
AX2Z-80	52E1-4	0.004	2.9	0.3
AX2Z-81	53E1-11	0.005	2.6	0.5
AX2Z-82	53E1-9	0.003	1.3	0.4
AX2Z-83	44E1-5	0.001	1.0	0.2
AX2Z-84	28E4-1	0.007	1.2	0.3

CAPSULE	ECHAN.		Au (ppm)	As (ppm)	Sb (ppm)
AX2Z-85	44E1-9		0.006	1.7	0.2
AX2Z-86	53E1-5		0.028	1.6	0.6
AX2Z-87	56E1-10		0.009	4.5	2.3
AX2Z-88	52E2-8		0.005	2.2	0.2
AX2Z-89	52E2-5		0.006	1.1	0.7
AX2Z-90	52E2-13	<	0.008	1.5	0.3
AX2Z-91	53E1-1		0.000	2.6	0.7
AX2Z-92	837W1-7		0.011	5.7	0.9
AX2Z-93	44E1-7		0.036	19.0	4.7
AX2Z-94	53E1-2		0.005	3.7	0.3
AX2Z-95	56E1-8	<	0.008	1.9	1.9
AX2Z-96	44E1-4		0.001	2.3	0.6
AX2Z-97	56E1-14		0.003	2.2	0.5
AX2Z-98	52E1-7		0.007	2.7	0.8
AX2Z-99	56E1-2		0.001	0.1	1.0
AX2Z-100	52E2-9		0.005	1.6	0.1
AX2Z-101	28E4-2		0.005	1.6	0.1
AX2Z-102	53E1-14		0.007	1.2	0.7
AX2Z-103	56E1-13		0.048	1.7	0.2
AX2Z-104	44E1-3		0.006	1.7	0.1
AX2Z-105	56E1-9		0.013	1.0	0.4
AX2Z-106	44E1-6	<	0.008	17.4	2.8
AX2Z-107	52E1-10		0.004	1.8	0.6
AX2Z-108	52E1-1		0.004	11.5	0.6
AX2Z-109	52E2-1	<	0.008	1.9	0.3
AX2Z-110	52E2-10		0.002	1.6	0.6
AX2Z-111	28E4-5		0.004	13.4	0.4
AX2Z-112	837W1-1		0.004	0.7	0.2

CAPSULE	ECHAN.		Au (ppm)	As (ppm)	Sb (ppm)
AX2Z-113	44E1-2		0.003	3.5	0.6
AX2Z-114	837W1-3	<	0.008	6.5	2.4
AX2Z-115	56E1-12	<	0.008	2.8	0.2
AX2Z-116	28E4-4		0.003	7.3	2.2
AX2Z-117	52E1-3		0.366	40.3	4.1
AX2Z-118	AR88-18		0.019	1.4	0.5
AX2Z-119	52E2-7		0.002	2.5	0.2
AX2Z-120	52E1-4		0.570	3.4	0.7
AX2Z-121	837W1-5		0.002	1.1	0.6
AX2Z-122	53E1-10		0.002	2.1	0.9
AX2Z-123	53E1-13		0.061	22.2	5.0
AX2Z-124	53E1-7		0.015	1.6	0.3
AX2Z-125	44E1-1		0.010	2.8	0.2
AX2Z-126	56E1-3		0.006	1.1	0.3
AX2Z-127	AR88-2		0.011	2.0	0.3
AX2Z-128	53E1-6		0.007	1.1	0.2
AX2Z-129	52E2-6	<	0.005	0.9	0.1
AX2Z-130	52E1-2		0.002	4.6	0.4
AX2Z-131	53E1-7		0.016	1.7	0.6
AX2Z-132	53E1-8		0.058	23.3	0.7
AX2Z-133	28E4-3		0.003	170.4	1.6
AX2Z-134	56E1-11		0.027	3.9	0.5
AX2Z-135	44E1-8	<	0.005	1.3	0.8
AX2Z-136	56E1-1		0.001	1.1	0.1
AX2Z-137	AR88V.Ed		85.900	374.1	1.7
AX2Z-138	56E1-4	<	0.005	1.3	0.2
AX2Z-139	52E2-11		0.001	3.0	0.5
AX2Z-140	52E1-9		0.001	2.3	0.5

CAPSULE	ECHAN.		Au (ppm)	As (ppm)	Sb (ppm)
AX2Z-141	52E2-12		0.032	3.0	0.9
AX2Z-142	52E2-14		0.010	1.5	0.3
AX2Z-143	52E2-2		0.002	3.2	0.3
AX2Z-144	56E1-15		0.003	1.5	0.8
AX2Z-145	57E1-1		0.007	1.9	0.1
AX2Z-146	60E1-12		0.005	1.6	0.4
AX2Z-147	60E1-11		0.001	1.8	0.4
AX2Z-148	52E2-3	<	0.005	1.0	0.3
AX2Z-149	60E1-2	<	0.005	3.2	0.4
AX2Z-150	60E1-1		0.009	4.8	0.4
AX2Z-151	57E1-5		0.001	5.0	0.6
AX2Z-152	57E1-4		0.002	5.9	2.1
AX2Z-153	56E1-5		0.005	1.1	0.0
AX2Z-154	57E1-10		0.003	3.8	0.3
AX2Z-155	57E1-2		0.001	2.8	0.2
AX2Z-156	60E1-8		0.004	8.2	1.4
AX2Z-157	57E1-8		0.008	3.7	0.3
AX2Z-158	60E1-6	<	0.008	2.5	0.9
AX2Z-159	52E2-15		0.021	18.7	0.3
AX2Z-160	60E1-9		0.005	3.1	0.7
AX2Z-161	60E1-3		0.004	3.7	0.4
AX2Z-162	60E1-4		1.284	28.1	0.5
AX2Z-163	60E1-10		0.006	5.3	0.3
AX2Z-164	60E1-5		0.009	8.4	0.7
AX2Z-165	60E1-13		0.004	1.8	0.4
AX2Z-166	60E1-7		0.005	23.9	3.4
AX2Z-167	60E1-14		0.005	3.6	0.3
AX2Z-168	57E1-6	<	0.005	19.1	0.9

CAPSULE	ECHAN.		Au (ppm)	As (ppm)	Sb (ppm)
AX2Z-169	57E1-7		0.001	14.8	0.3
AX2Z-170	57E1-9	<	0.005	5.0	0.2
AX2Z-171	52E1-6		0.154	4.7	0.9
AX2Z-172	57E1-3		0.007	3.3	2.7
AX2Z-173	52E1-8		0.902	4.3	0.3
AX2Z-174	800W3-3		0.000	3.0	0.3
AX2Z-175	862W4-8	<	0.011	1.4	1.0
AX2Z-176	862W4-6		0.022	2.9	1.2
AX2Z-177	868W4-3		0.002	2.1	0.2
AX2Z-178	862W4-1		0.004	1.7	0.6
AX2Z-179	28E2-3		0.001	1.4	0.3
AX2Z-180	862W2-5		0.007	1.3	0.4
AX2Z-181	862W4-9		0.020	124.5	10.3
AX2Z-182	862W4-4		0.004	1.0	0.4
AX2Z-183	800W3-1		0.003	2.2	0.4
AX2Z-184	28E2-9		0.001	1.4	0.4
AX2Z-185	28E2-7	<	0.009	1.9	0.6
AX2Z-186	28E2-12		0.001	0.6	0.0
AX2Z-187	28E2-11		0.003	0.2	0.2
AX2Z-188	28E2-2		0.020	10.5	0.7
AX2Z-189	28E2-6		0.003 <	1.5	0.1
AX2Z-190	800W3-2		0.004	20.2	0.6
AX2Z-191	28E2-1		0.006	13.6	0.3
AX2Z-192	28E2-5	<	0.009	2.1	0.2
AX2Z-193	862W4-2		0.008	8.0	0.2
AX2Z-194	862W4-7		0.008	6.8	3.2
AX2Z-195	28E2-10		0.007	0.3	0.1
AX2Z-196	28E2-4		0.002	1.9	0.2

CAPSULE	ECHAN.	Au (ppm)	As (ppm)	Sb (ppm)
AX2Z-225	825W6-4	0.010	2.1	4.2
AX2Z-226	825W6-7	0.020	17.8	5.3

CAPSULE	ECHAN	Nd (ppm)	Sm (ppm)	Ce (ppm)	Lu (ppm)	U (ppm)
AX2Z-1	887W1-5	25	4.6	65	0.2	3.0
AX2Z-2	775W1-5	14	4.4	23	0.6	0.4
AX2Z-3	775W1-2	12	4.1	24	0.7	0.2
AX2Z-4	887W1-9	19	5.5	33	0.8	0.4
AX2Z-5	775W1-1	16	5.2	26	0.7	0.4
AX2Z-6	775W1-3	15	4.7	26	0.6	0.2
AX2Z-7	812W1-2	11	3.6	22	0.5	0.2
AX2Z-8	812W1-4	16	4.6	28	0.6	0.4
AX2Z-9	862W3-1	20	5.6	31	0.7	0.3
AX2Z-10	812W1-6	17	4.9	28	0.7	0.5
AX2Z-11	862W3-5	14	4.2	25	0.7	0.2
AX2Z-12	862W3-3	20	5.6	32	0.7	0.6
AX2Z-13	775W1-4	14	5.2	24	0.6	0.4
AX2Z-14	812W1-3	23	6.3	38	0.6	0.8
AX2Z-15	862W3-2	19	5.2	26	0.7	0.5
AX2Z-16	862W3-6	8	3.2	22	0.4	0.5
AX2Z-17	812W1-5	16	4.9	31	0.7	0.6
AX2Z-18	775W1-6	19	5.4	29	0.7	0.2
AX2Z-19	812W1-1	18	5.0	31	0.7	0.5
AX2Z-20	862W3-4	21	5.2	35	0.6	0.4

CAPSULE	ECHAN	Tb (ppm)	Th (ppm)	Cr (ppm)	Yb (ppm)	Hf (ppm)
AX2Z-1	887W1-5	0.6	9.1	101	1.6	5.0
AX2Z-2	775W1-5	1.2	0.6	21	3.9	4.0
AX2Z-3	775W1-2	0.8	0.5	35	4.4	4.6
AX2Z-4	887W1-9	1.3	1.7	20	5.1	6.9
AX2Z-5	775W1-1	1.0	0.6	15	4.8	5.6
AX2Z-6	775W1-3	1.1	0.7	39	4.2	5.2
AX2Z-7	812W1-2	1.0	0.6	23	3.4	4.6
AX2Z-8	812W1-4	1.0	1.1	49	4.2	3.5
AX2Z-9	862W3-1	1.4	1.0	25	4.7	4.2
AX2Z-10	812W1-6	1.0	1.0	47	4.4	3.8
AX2Z-11	862W3-5	1.0	0.8	21	4.7	3.6
AX2Z-12	862W3-3	1.4	0.6	23	5.0	4.6
AX2Z-13	775W1-4	1.1	0.8	34	4.2	4.2
AX2Z-14	812W1-3	1.2	1.3	11	4.3	5.0
AX2Z-15	862W3-2	1.0	1.0	20	5.1	4.6
AX2Z-16	862W3-6	0.8	0.7	14	2.9	3.5
AX2Z-17	812W1-5	1.2	0.9	46	4.3	3.9
AX2Z-18	775W1-6	1.5	0.5	29	4.9	4.3
AX2Z-19	812W1-1	1.1	0.9	17	4.5	4.1
AX2Z-20	862W3-4	1.2	0.6	14	4.0	3.3



CAPSULE	ECHAN	Ba (ppm)	Cs (ppm)	Sc (ppm)	Co (ppm)	Eu (ppm)	La (ppm)
AX2Z-1	887W1-5	879	6.2	9.8	17	1.4	29.5
AX2Z-2	775W1-5	67	2.1	32.4	36	1.3	8.5
AX2Z-3	775W1-2	97	0.9	35.9	46	1.3	9.0
AX2Z-4	887W1-9	118	2.1	48.4	43	2.2	10.3
AX2Z-5	775W1-1	113	1.4	47.6	49	1.9	9.9
AX2Z-6	775W1-3	209	1.6	37.3	61	1.7	9.5
AX2Z-7	812W1-2	127	0.8	29.2	31	2.1	7.9
AX2Z-8	812W1-4	145	4.0	39.9	40	1.7	10.0
AX2Z-9	862W3-1	109	1.2	45.2	54	1.7	10.3
AX2Z-10	812W1-6	187	0.9	43.3	47	1.7	11.1
AX2Z-11	862W3-5	361	5.2	42.0	59	1.8	9.6
AX2Z-12	862W3-3	72	4.4	46.2	42	1.8	10.9
AX2Z-13	775W1-4	125	1.4	46.0	52	1.5	10.0
AX2Z-14	812W1-3	54	0.8	32.8	25	2.8	15.1
AX2Z-15	862W3-2	127	2.2	45.2	45	1.6	11.1
AX2Z-16	862W3-6	119	1.3	34.2	51	1.6	9.2
AX2Z-17	812W1-5	129	0.4	39.4	41	2.0	10.2
AX2Z-18	775W1-6	223	1.7	43.0	53	2.2	10.7
AX2Z-19	812W1-1	97	1.0	44.5	37	1.9	10.9
AX2Z-20	862W3-4	49	2.4	39.4	41	1.8	14.2

Spécifications techniques des  
échantillons d'humus de la  
zone "B"

## GEOCHIMIE D'HUMUS

### LEGENDE

<u>TOPOGRAPHIE:</u>	sommet colline	11	dépression	15	
	pente douce	12	plat	16	
	pente élevée >20°	13	bosselé	17	
	base d'une pente	14	tourbière	18	
<u>ENVIRONNEMENT:</u>	cultivé	21	forêt conifères	26	
	dénudé	22	forêt décidus	27	
	ancien lit		forêt mixte	28	
	de ruisseau	23	tourbière-monticule	29	
	ancien lit		tourbière-dépression	30	
	de lac	24			
	Aulne-Saule	25			
<u>DRAINAGE:</u>	sec	31	<u>DIRECTION :</u>	N	NE
	humide	32		S	SE
	mouillé	33		E	NW
	saturé	34		W	SW
<u>AUTRES GEOLOGIE :</u>	Affluent :	amont	41		
		aval	42		
<u>CONTAMINATION:</u>	route	51	<u>PENTE:</u>	o	
	drain	52			
	ferme	53			
	poubelle	54			
	maison	55			
	tranchée	56			
	autre	57			

	Numéro	Ligne	Station	Topo.	Environ.	Drainage	Dir.	Affl.	Contam.	Pente
	1	104 E	20 N	12	28-25	32	SW		51	1
	2	104 E	21 N	12	28-25	32	W		51	<1
R	3	104 E	22 N	17	29	33	W		51	
	4	104 E	23 N	12	28-25	32	SW		51	<1
R	5	104 E	24 N	16	28-25	33			51	
R	6	104 E	25 N	17	28-25	32			51	
	7	104 E	26 N	17	28-25	32				
R	8	104 E	27 N	12-17	28	33-30	W			<1
	9	104 E	28 N	17-18	28-30	33				
	10	104 E	29 N	17-18	28	34				
	11	104 E	30 N	17-18	28	33				
	12	104 E	31	17-18	28	33-34				
	13	104 E	32	16	25	33-34				
	14	104 E	33	17-18	28	32-33			51	
	15	104 E	34	16	28	32			51	
	16	104	36	12	28-25	32	N			1
	17	104	37	12	28	32	NW			<1
	18	104	38	17-18	28	33-34			51	
	19	104	39	12	28	33	NW			1-2
R	20	104	40	12	28	33	NW			<1
	21	104	41	14	23-28-25	32	NW			<1
X	22	104	42		23-28	32-33	SE			1
	23	104	43	12	28	32	N			<1
X	24	104 E	44	12	28	32-33	NW			1
R	25	100 E	40	14-12	28	32	E			<5
	26	100	39	12	28	31-32	N			<1
	27	100	38	16	28	31-32				
	28	100	37	16	28	32				
R	29	100	36	16	28	32				
	30	100	35	16	28	31-32				
R	31	100	34	16	28	31-32			51	
R	32	100	33	17-18	28	33-34				
	33	100	30	16	28	32-33			51	
	34	100	29	12-18	28	32	W			1
	35	100	28	12-18	28	32	W			1
	36	100	27	12-18	28	32	W			1



R

R

R

Numéro	Ligne	Station	Topo.	Environ.	Drainage	Dir.	Affl.	Contam.	Pente
44	96	20	16	28	31-32				
45	96	21	12	28	32	E			<1
46	96	22	12-18	28	32	E			1-2
47	96	23	12-18	28	32-33	E			1
<del>48</del>	<del>96</del>	<del>24</del>	12-18	28	32	SE			<1
49	96	25	12-18	28	32	E			<1
50	96	26	12-18	28	32	NE			<1
51	96	27	12-17	28	32	NE			1
52	95	28	12	28	32	NE			<1
53	92	43	13	28	32	E	41		22
54	92	42	13-18	28	32	NE	41		20
55	92	41	12-18	28	32	E	41-42		5
56	92	40	13-17	28	32	E	41-42		<20
57	92	39	13	28	32	E			20
58	92	38	12	28	32	E			10
59	92	37	12	28	32	E			<5
60	92	36	12	28	32	NE			1
61	92	35	12	28	33-34	NE			<1
62	92	34	12-18-17	28	32	E		51	<1
63	92	33	16-17	28	32				
64	92	32	16-17-18	28	32				
65	92	31	16-17	28	32			51	
<del>66</del>	<del>92</del>	<del>30</del>	16	25	33			51	
<del>67</del>	<del>92</del>	<del>29</del>	17	28	32			51	
68	92	28	17	28	32				
69	92	27	17	28	32			51	
70	92	26	17	28	32			51	
71	92	25	17	28	32			51	
72	92	24	17	28	32			51	
73	92	23	17-18	28	32			51	
74	92	22	17	28	32			51	
75	92	21	17-18	28	32-33			51	
76	92	20	12	28	32	S		51	5
77	88	20	12	26	32	S			6
78	88	21	12	26	32	S			6
79	88	22	12	26	32	S	41-42		6

	Numéro	Ligne	Station	Topo.	Environ.	Drainage	Dir.	Affl.	Contam.	Pente
R	<del>80</del>	<del>88</del>	24	12	28	32	SE	41-42		6
	81	88	25	12	28	32	E	41		7
R	<del>82</del>	<del>88</del>	26	11	28	31				
	83	88	27	17-18	28	32	N	41		6
	84	88	28	14	28	32				
	85	88	29	16	28-25	33				
	86	88	30	16	28-25	32				
	87	88	31	16-17-18	28	32				
	88	88	32	14	28	32	S			2
	89	88	33	12	28	32	S	41		2
	90	88	34	11	28	32		41-42		
	91	88	35	12	28	32	E			4
	92	88	36	12-16	28	32				
	93	88	37	11-16	28	32				
	94	88	38	16	28	32				
	95	88	39	18-17	28	32				
	96	88	40	12	28	32	NW			10
	97	88	41	12-13	28	32	W	42		10
	98	88	42	12-13	28	32	W	41-42		12
	99	88	43	13	28	32	W	42		70
	100	88	44	13	28	32	W	41-42		70
	101	84	20	13-17	28	32	W			22
	102	84	21	12-17	28	34	NW	41		10
	103	84	22	12-17	28	32	NW	41		10
	104	84	23	13-17	28	32	W	41		20
	105	84	24	13-17	28	32	W	41		<20
	106	84	25	12-17	28	32	W	41		5
	107	84	26	12	28	32	W			1
	108	84	27	16	28-25	32				
	109	84	28	12	28-25	34	W			<1
	110	84	28	16	28-25	34				
	111	52	36	11-12	28	32				
	112	52	37	12	28	32	N			<1
	113	52	38	12	28	32	N			<1
R	<del>114</del>	<del>52</del>	<del>39</del>	12	28	32	N			<1
	115	52	40	14	28	32	N			<1

Numéro	Ligne	Station	Topo.	Environ.	Drainage	Dir.	Affl.	Contam.	Pente
116	52	41	16	28	32				
117	52	42	16	28	32-33				
118	52	43	17-18	28	34				
119	52	44	17-18	28	32-33				
120	53	44	17-18	28	33-34				
121	56	44	17-18	28	34				
R 122	<del>58</del>	<del>44</del>	17-18	28	32-33				
123	57	44	17-18	28	33-34				
124	56	45	17-18	28	33-34				
125	56	46	17-18	28	34				
126	56	47	17-18	23-28	33-34				
R 127	<del>56</del>	<del>48</del>	17-18	28	32				
128	60	48	17-18	23-28	31-32				
129	60	47	17-18	23-28	34				
130	60	46	17-18	28	32				
131	60	45	17-18	28	33				
R 132	<del>60</del>	<del>44</del>	17-18	28	32-33				
133	60	43	17	28	32				
134	60	42	17	28	32				
135	60	41	12-17	28	32	N			2
136	60	40	12-16	28	32	N			2
137	60	39	12	28	32	N			2
R 138	<del>60</del>	<del>38</del>	11	28	32				
139	60	37	12	28	32	S			1
140	60	36	14	28	32	S			1
141	60	35	16-17	28	32				
142	60	34	16-17	28	32				
143	60	33	16-17	28	32				
144	60	32	16-17	28	32				
145	59	32	16-17	28	32				
146	58	32	16-17	28	32				
147	57	32	16-17	28	32			57 (DDH)	
148	56	32	16-17	28	32				
149	56	33	12	28	32	SE			1
150	56	34	12	28	32	SE			1
151	56	35	12	28	32	E			1





R

X

Numéro	Ligne	Station	Topo.	Environ.	Drainage	Dir.	Affl.	Contam.	Pente
185	65	40	12-17	28	32	NE			1-2
186	68	41	16	28	32				
187	68	42	16	28	32				
188	68	43	16	25	32				
189	68	44	16	25-23	33				
190	67	44	16	25-23	33				
<del>191</del>	<del>66</del>	<del>44</del>	16	25	32				
192	65	44	16-17	28	32				
193	64	44	16-17	28	32				
194	64	45	16-17	28	32				
195	64	46	16-17	28	32-33				
<del>196</del>	<del>64</del>	<del>47</del>	16-17	25-23	32				
197	64	43	16-17	28	32				
198	64	42	12-17	28	32	N			2-3
199	64	41	12-17	28	32	NE			2-3
200	64	40	12-17	28	32	NE			2-3
201	64	39	12-17	28	32	NE			3
202	64	38	12-17	28	32	NE			3
203	64	37	11-16	28	32				
204	64	36	12-17	28	32	W			1-2
205	64	35	12-17	28	32	SW			3
206	64	34	12-17	28	32	SW			3
207	64	33	12-17	28	32	SW			2
208	60	64	16-17	28	32				
209	61	64	16-17	28	32				
210	62	64	16-17	28	32				
211	63	64	16-17	28	32				
212	64	64	12-17	28	32	SW			<1
213	65	64	12-17	28	32	SW			<1
214	66	64	12-17	28	32	SW			<1
215	67	64	14-17	28-25	32				
216	68	64	16	28-25	32				
217	68	63	12	28	32	SW			<1
218	68	62	12	28	32	SW			<1
219	68	61	12	28	32	SW			<1
220	69	64	16	28	32				

R

R

X

Numéro	Ligne	Station	Topo.	Environ.	Drainage	Dir.	Affl.	Contam.	Pente
221	70	64	16	25	32				
222	71	64	16	25	32				
223	72	64	12	25	32	W			<2
224	72	63	16	25	32				
225	72	62	16-17	28	32				
226	72	61	12-17	28	32	N			1-2
227	72	60	12-17	28	32	N			1-2
228	76	61	12-16	28	32	N			1-2
229	76	60	12-16	28	31-32	NE			5
230	76	59	12-17	28	31-32	SE			3
231	76	58	12	28	31-32	SW			2
232	76	57	16	28	32				
233	76	56	16-17	28	32				
<del>234</del>	<del>76</del>	<del>55</del>	16-17	28-23	33-34				
235	76	54	18-17	28-23	34				
236	76	53	18-17	28-23	32-33				
237	76	52	18-17	28	32				
238	77	52	17-18-12	28	32	NE	41		3
239	78	52	12-17	28	32	NE	41		<5
240	79	52	12-17	28	32	N	41		8
<del>241</del>	<del>75</del>	<del>52</del>	<del>18-17</del>	28	33-34			57	
242	74	52	18-17	28	34				
243	73	52	18-17	28	34				
244	76	51	18-12-17	26-30	32-33	NW			2
245	76	50	18-12-17	26-30	32	NW	41		5
246	76	49	12-17	28	32	SE	42-41		10
247	76	48	12-17	28	32	S			10
248	74	48	12-17	28	32	SW			<1
249	73	48	17	28	32				
250	72	48	16-17	28	32				
251	72	47	16-17	28	32				
252	72	46	16-17	28	32				
253	72	45	12-17	28	32	SW			2
<del>254</del>	<del>72</del>	<del>44</del>	16	28	32				
255	70	44	16	28	32				
256	71	44	16	28	32				

R

R  
R

Numéro	Ligne	Station	Topo.	Environ.	Drainage	Dir.	Affl.	Contam.	Pente
257	73	44	11	28	32				
258	72	49	16-17	28	32				
259	72	50	16-17	28	32				
<del>260</del>	<del>72</del>	<del>51</del>	18-17	28-23	33-34				
261	72	52	18-17	28-23	34				
262	72	53	18-17	28-23	33				
263	72	54	18-17	28	32-33				
264	72	55	18-17	28	32				
265	72	56	18-17	28	32				
266	72	57	18-17	28	32				
267	72	58	12-17	28	32	S			2
268	72	59	11	28	32				
269	68	48	16-17	25	32-33				
270	68	49	16-17	25	33-34				
<del>271</del>	<del>68</del>	<del>50</del>	18-17	28	34				
<del>272</del>	<del>68</del>	<del>51</del>	18-17	28	34				
273	68	52	18-17	28-29	32-33				
274	69	52	18-17	28	34				
275	70	52	18-17	28	34				
276	71	52	18-17	28	32-33				
277	71	48	16-17	25	32-33				
278	70	48	16	25	32				
279	69	48	16	25	32				
280	68	53	18-17	28	34				
281	68	54	18-17	28	32-33				
282	68	55	18-17	28	33-34				
283	68	56	18-17	28	34				
284	68	57	18-17	28	33-34				
285	68	58	18-17	28	32-33				
286	68	59	17	28	31-32				
287	68	60	17	28	31-32				
288	64	63	17	28	32				
289	64	62	17	28	33-34				
290	64	61	17	28	32				
291	64	60	17	28	34				
292	64	59	17	28	33-34				



Résultats d'analyse sur les  
échantillons d'humus de la  
zone "B"

RAPPORT: C88-66473.0 ( COMPLET )

INFO. DE RÉFÉRENCE: P.O. 122722

CLIENT: BOREAL  
 PROJET: 88009

SOU MIS PAR: SERGE GENEST  
 DATE DE L'IMPRESSION: 18-NOV-88

COMMANDE	ÉLÉMENT	NOMBRE LIMITE INFÉRIEURE		EXTRACTION	MÉTHOD	
		D'ANALYSES	DE DETECTION			
1	Cu	Cuivre	35	1 PPM	HCL-HNO3 (1:3)	Absortion Atomique
2	Au	Or	35	1 PPB		Act. Neutronique
3	Sb	Antimoine	35	0.1 PPM		Act. Neutronique
4	As	Arsenic	35	0.5 PPM		Act. Neutronique
5	Ba	Barium	35	50 PPM		Act. Neutronique
6	Cd	Cadmium	35	2 PPM		Act. Neutronique
7	Br	Brome	35	1 PPM		Act. Neutronique
8	Cr	Chrome	35	10 PPM		Act. Neutronique
9	Co	Cobalt	35	2 PPM		Act. Neutronique
10	Ir	Iridium	35	20 PPB		Act. Neutronique
11	Mo	Molybdène	35	0.5 PPM		Act. Neutronique
12	Ni	Nickel	35	10 PPM		Act. Neutronique
13	Se	Selenium	35	5 PPM		Act. Neutronique
14	Ag	Argent	35	2 PPM		Act. Neutronique
15	Ta	Tantale	35	0.5 PPM		Act. Neutronique
16	Th	Thorium	35	0.5 PPM		Act. Neutronique
17	W	Tungstène	35	1 PPM		Act. Neutronique
18	U	Uranium	35	0.1 PPM		Act. Neutronique
19	Zn	Zinc	35	50 PPM		Act. Neutronique

TYPES D'ÉCHANTILLONS	NOMBRE	FRACTION UTILISÉE	NOMBRE	PRÉP. DE L'ÉCHAN.	NOMBRE
0 ORGANIQUE OU HUMUS	35	2 -150	35	Prep des Pastilles	35
				Enveloppement	35
				Séchage, Tamisage-150	35

REMARQUES: < MOINS QUE

COPIES DU RAPPORT A: 51 RUE PERREAULT EST

FACTURE A: 51 RUE PERREAULT EST

RAPPORT: C88-66472.0 ( PARTIEL )

INFO. DE RÉFÉRENCE: P.O. 122722

CLIENT: BOREAL  
 PROJET: 88009

SOUKIS PAR: SERGE GENEST  
 DATE DE L'IMPRESSION: 31-OCT-88

COMMANDE	ÉLÉMENT	NOMBRE LIMITE INFÉRIEURE		EXTRACTION	MÉTHOD
		D'ANALYSES	DE DETECTION		
1	Cu Cuivre	202	1 PPM	HCL-HNO3 (1:3)	Absortion Atomique

RÉSULTATS A SUIVRE POUR: Ag As Au Ba Br Cd Co Cr Ir Mo Ni Sb Se Ta Th U W Zn

TYPES D'ÉCHANTILLONS	NOMBRE	FRACTION UTILISÉE	NOMBRE	PRÉP. DE L'ÉCHAN.	NOMBRE
0 ORGANIQUE DU HUMUS	202	2 -150	202	Prep des Pastilles	202
				Enveloppement	202
				Séchage, Tamisage-150	202

COPIES DU RAPPORT A: 51 RUE PERREAULT EST

FACTURE A: 51 RUE PERREAULT EST



MONTREAL  
SERGE GENEST  
51 PERREAU EST  
ROUYN, PQ  
IOX 3C1

Résultats HUMUS

BAIE DUNLOP.

+ Echantillons de contrôle

RAPPORT: C88-66368.0 ( COMPLET )

INFO. DE RÉFÉRENCE:

CLIENT: BOREAL  
 PROJET: 88004

SOUKIS PAR: BOREAL  
 DATE DE L'IMPRESSION: 28-OCT-88

COMMANDE	ÉLÉMENT	NOMBRE LIMITE INFÉRIEURE		EXTRACTION	MÉTHOD
		D'ANALYSES	DE DETECTION		
1	Au	Or	153	1 PPM	Act. Neutronique
2	Sb	Antimoine	153	0.1 PPM	Act. Neutronique
3	As	Arsenic	153	0.5 PPM	Act. Neutronique
4	Ba	Barium	153	50 PPM	Act. Neutronique
5	Cd	Cadmium	153	2 PPM	Act. Neutronique
6	Br	Brome	153	1 PPM	Act. Neutronique
7	Cr	Chrome	153	10 PPM	Act. Neutronique
8	Co	Cobalt	153	2 PPM	Act. Neutronique
9	Ir	Iridium	153	20 PPB	Act. Neutronique
10	Mo	Molybdène	153	0.5 PPM	Act. Neutronique
11	Ni	Nickel	153	10 PPM	Act. Neutronique
12	Se	Selenium	153	5 PPM	Act. Neutronique
13	Ag	Argent	153	2 PPM	Act. Neutronique
14	Ta	Tantale	153	0.5 PPM	Act. Neutronique
15	Th	Thorium	153	0.5 PPM	Act. Neutronique
16	W	Tungstène	153	1 PPM	Act. Neutronique
17	U	Uranium	153	0.1 PPM	Act. Neutronique
18	Zn	Zinc	153	50 PPM	Act. Neutronique

TYPES D'ÉCHANTILLONS	NOMBRE	FRACTION UTILISÉE	NOMBRE	PRÉP. DE L'ÉCHAN.	NOMBRE
0 ORGANIQUE OU MUMUS	153	7 -10	153	Prep des Pastilles	153
				Enveloppement	153
				Séchage, Tamisage -10	153

REMARQUES: < MOINS QUE

COPIES DU RAPPORT A: SERGE GENEST

FACTURE A: SERGE GENEST

RAPPORT: C88-66368.0

PROJET: 88004

PAGE 1A

NUMÉRO DE L'ÉCHANTILLON	ÉLÉMENT UNITÉS	Au PPB	Sb PPM	As PPM	Ba PPM	Cd PPM	Er PPM	Cr PPM	Co PPM	Ir PPB	Mo PPM	Ni PPM
07 01		3	0.3	3.0	310	<2	10	46	7	<20	0.8	<10
07 02		4	0.5	3.1	280	<2	9	38	11	<20	<0.5	<10
07 04		3	0.7	3.5	200	<2	11	36	6	<20	0.7	13
07 07		2	0.3	2.6	270	<2	10	50	6	<20	0.7	10
07 09		<1	0.2	2.5	360	<2	12	54	7	<20	1.1	18
07 10		3	0.3	3.3	350	<2	12	67	13	<20	<0.5	19
07 11		3	0.3	2.3	330	<2	8	52	5	<20	<0.5	24
07 12		<1	0.4	2.9	240	<2	8	61	13	<20	<0.5	20
07 13		3	0.5	3.5	360	<2	9	73	13	<20	<0.5	29
07 14		3	0.7	3.5	230	<2	10	52	5	<20	1.0	18
07 15		<1	0.5	4.2	420	3	8	78	14	<20	0.9	32
07 16		2	0.5	3.1	300	<2	6	55	9	<20	0.8	14
07 17		1	0.5	2.2	290	<2	6	32	5	<20	1.0	11
07 18		<1	0.4	2.6	380	<2	7	69	11	<20	0.6	18
07 19		<1	0.3	2.3	240	<2	13	37	7	<20	0.8	25
07 21		3	0.3	2.3	370	<2	6	64	11	<20	<0.5	22
07 23		2	0.3	2.3	170	2	10	19	10	<20	0.9	<10
07 26		4	0.8	2.8	300	<2	5	22	8	<20	1.0	<10
07 27		2	0.6	2.8	260	<2	6	32	5	<20	0.7	<10
07 28		<1	0.2	2.0	150	<2	6	22	3	<20	1.2	<10
07 30		3	0.3	4.8	440✓	<2	7	100	11	<20	0.6	28
07 33		<1	0.5	2.5	110	<2	16	<10	4	<20	<0.5	<10
07 34		1	0.5	2.7	270	<2	7	34	7	<20	0.8	<10
07 35		<1	0.6	2.8	230	2	12	30	8	<20	0.5	16
07 36		3	0.8	3.9	170	<2	13	22	2	<20	0.5	16
07 37		<1	0.6	4.3	280	<2	5	28	<2	<20	1.0	<10
07 38		<1	0.8	3.7	230	<2	10	33	5	<20	0.9	15
07 39		<1	0.7	3.4	150	<2	9	<10	<2	<20	0.8	<10
07 40		<1	0.8	3.3	120	<2	11	<10	<2	<20	0.6	13
07 41		2	1.0✓	4.6	93	<2	12	<10	<2	<20	0.6	<10
07 42		2	0.7	3.9	200	<2	10	18	3	<20	1.0	<10
07 43		<1	0.3	3.1	310	<2	7	53	6	<20	1.0	18
07 44		<1	0.7	3.5	280	3	8	36	6	<20	0.5	<10
07 45		<1	0.7	3.7	320	<2	6	32	7	<20	1.4	<10
07 46		2	0.7	4.7	70	<2	14	<10	4	<20	0.9	<10
07 47		<1	0.7	4.5	230	<2	13	45	8	<20	1.0	13
07 49		2	0.9	2.7	76	<2	9	18	<2	<20	0.7	<10
07 50		<1	1.0✓	4.5	110	<2	10	<10	3	<20	0.8	<10
07 51		<1	0.5	3.9	210	<2	9	28	6	<20	<0.5	10
07 52		<1	0.5	3.0	180	<2	7	29	5	<20	0.7	14

RAPPORT: C88-66368.0

PROJET: 88004

PAGE 1B

NUMERO DE L'ÉCHANTILLON	ÉLÉMENT UNITÉS	Se PPM	Ag PPM	Ta PPM	Th PPM	W PPM	U PPM	Zn PPM
07 01		<5	<2	<0.5	5.5	<1	1.9	71
07 02		<5	<2	<0.5	4.7	<1	1.9	100
07 04		<5	<2	<0.5	3.3	<1	0.9	68
07 07		<5	<2	<0.5	7.8	<1	3.6	<50
07 09		<5	<2	<0.5	8.0	<1	3.8	87
07 10		<5	<2	<0.5	7.5	<1	2.3	83
07 11		<5	<2	<0.5	5.1	<1	1.7	<50
07 12		<5	<2	<0.5	5.6	<1	1.0	62
07 13		<5	<2	<0.5	8.3	<1	1.3	120
07 14		<5	<2	<0.5	4.3	<1	0.9	66
07 15		<5	<2	0.5	5.8	<1	1.2	70
07 16		<5	<2	<0.5	4.3	<1	0.7	150
07 17		<5	<2	<0.5	2.4	<1	0.4	120
07 18		<5	<2	<0.5	5.6	1	0.8	100
07 19		<5	<2	<0.5	4.9	<1	6.8	58
07 21		<5	<2	<0.5	5.6	<1	1.3	<50
07 23		<5	<2	<0.5	2.6	<1	2.3	64
07 26		<5	<2	<0.5	2.4	<1	0.5	160
07 27		<5	<2	<0.5	2.1	<1	0.5	86
07 28		<5	<2	<0.5	1.1	<1	0.2	71
07 30		<5	<2	0.5	8.1	<1	1.7	96
07 33		<5	<2	<0.5	2.5	<1	0.6	52
07 34		<5	<2	<0.5	3.4	<1	0.5	69
07 35		<5	<2	<0.5	2.8	<1	0.6	69
07 36		<5	<2	<0.5	1.5	<1	0.5	81
07 37		<5	<2	0.5	2.9	<1	0.7	73
07 38		<5	<2	<0.5	3.4	<1	0.6	63
07 39		<5	<2	<0.5	1.0	<1	0.3	95
07 40		<5	<2	<0.5	0.6	<1	0.3	66
07 41		<5	<2	<0.5	0.7	<1	0.1	90
07 42		<5	<2	<0.5	2.3	<1	0.6	67
07 43		<5	<2	<0.5	4.7	<1	0.9	57
07 44		<5	<2	<0.5	3.1	<1	0.7	57
07 45		<5	<2	<0.5	2.6	<1	0.6	110
07 46		<5	<2	<0.5	1.1	<1	0.2	74
07 47		<5	<2	<0.5	4.9	<1	1.0	100
07 49		<5	<2	<0.5	<0.5	<1	0.2	100
07 50		<5	<2	<0.5	0.9	<1	0.3	130
07 51		<5	<2	<0.5	2.3	<1	0.6	71
07 52		<5	<2	<0.5	3.0	<1	0.7	<50

RAPPORT: C88-66368.0

PROJET: 88004

PAGE 2A

NUMERO DE L'ÉCHANTILLON	ÉLÉMENT UNITÉS	Au PPB	Sb PPM	As PPM	Ba PPM	Cd PPM	Br PPM	Cr PPM	Co PPM	Ir PPB	Mo PPM	Ni PPM
07 53		<1	0.4	3.3	130	<2	8	17	5	<20	<0.5	<10
07 54		2	0.5	4.0	130	<2	8	<10	4	<20	<0.5	<10
07 55		3	0.7	3.7	210	<2	10	<10	<2	<20	0.6	<10
07 56		<1	0.2	2.6	130	<2	7	19	3	<20	0.6	14
07 57		2	0.2	1.6	200	<2	6	26	4	<20	1.0	<10
07 58		<1	0.4	1.9	290	<2	6	34	13	<20	0.7	<10
07 59		<1	0.3	2.0	400	<2	7	54	7	<20	<0.5	25
07 60		<1	0.4	2.9	380	<2	5	51	6	<20	0.8	10
07 61		<1	0.6	3.2	340	<2	7	46	11	<20	<0.5	<10
07 62		<1	0.5	2.6	250	<2	6	17	3	<20	0.7	<10
07 63		2	0.7	3.7	190	<2	8	21	<2	<20	1.0	<10
07 64		<1	0.6	3.3	260	<2	9	36	7	<20	0.5	16
07 65		<2	0.5	4.9	370	<2	10	74	19	<20	<0.5	17
07 68		<1	0.4	2.5	210	<2	8	46	6	<20	0.6	<10
07 69		<1	0.7	3.8	160	<2	11	32	5	<20	<0.5	11
07 70		2	0.5	3.1	150	<2	12	17	2	<20	<0.5	11
07 71		2	0.5	2.9	270	<2	9	52	6	<20	<0.5	<10
07 72		<1	0.3	2.1	170	<2	9	20	3	<20	<0.5	12
07 73		3	1.0	4.0	260	<2	10	35	5	<20	1.0	<10
07 74		2	0.6	2.6	260	<2	5	14	3	<20	0.9	12
07 75		<1	0.4	2.8	370	<2	4	25	4	<20	0.7	<10
07 76		1	0.3	2.5	310	<2	7	28	3	<20	0.9	<10
07 77		<1	0.7	3.4	250	<2	5	15	<2	<20	0.6	13
07 78		<1	0.4	2.5	300	<2	5	26	3	<20	<0.5	<10
07 79		10	0.5	2.7	230	<2	6	<10	<2	<20	<0.5	<10
07 81		1	0.3	1.8	300	<2	3	15	2	<20	<0.5	<10
07 083		<1	0.4	2.4	260	<2	8	17	3	<20	<0.5	<10
07 084		2	0.6	3.7	260	2	11	16	5	<20	0.9	<10
07 085		<1	0.3	2.8	320	<2	10	87	9	<20	0.7	20
07 086		1	0.6	3.4	260	3	6	32	5	<20	0.5	<10
07 087		<1	1.0	4.2	81	<2	11	<10	3	<20	0.7	<10
07 088		<1	0.3	2.6	330	<2	7	50	16	<20	0.6	20
07 089		2	0.5	3.6	140	<2	10	<10	2	<20	0.8	<10
07 090		1	0.6	3.0	370	<2	5	22	2	<20	0.7	<10
07 091		<1	0.8	3.3	360	3	6	37	10	<20	0.9	11
07 092		2	0.3	2.0	270	<2	8	<10	<2	<20	<0.5	<10
07 093		<1	0.3	2.9	260	<2	6	18	<2	<20	0.7	<10
07 094		<1	0.3	3.4	250	<2	10	19	3	<20	<0.5	<10
07 095		2	0.1	1.4	180	<2	8	18	4	<20	0.5	<10
07 096		<1	<0.1	1.2	180	<2	6	17	2	<20	<0.5	<10

RAPPORT: C88-66368.0

PROJET: 88004

PAGE 2B

NUMERO DE L'ÉCHANTILLON	ÉLÉMENT UNITÉS	Se PPM	Ag PPM	Ta PPM	Th PPM	W PPM	U PPM	Zn PPM
07 53		<5	<2	<0.5	1.1	<1	0.2	71
07 54		<5	<2	<0.5	0.6	<1	0.2	<50
07 55		<5	<2	<0.5	0.7	<1	0.2	96
07 56		<5	<2	<0.5	1.7	<1	0.5	<50
07 57		<5	<2	<0.5	1.6	<1	0.5	<50
07 58		<5	<2	<0.5	2.3	<1	0.9	74
07 59		<5	<2	<0.5	5.0	<1	1.3	<50
07 60		<5	<2	<0.5	3.8	<1	0.6	60
07 61		<5	<2	<0.5	4.0	<1	0.8	<50
07 62		<5	<2	<0.5	1.9	<1	0.4	74
07 63		<5	<2	<0.5	1.7	1	0.5	81
07 64		<5	<2	<0.5	4.0	<1	0.7	94
07 65		<5	<2	0.5	6.3	<1	0.9	57
07 68		<5	<2	<0.5	3.0	<1	0.6	84
07 69		<5	<2	<0.5	2.3	<1	0.4	69
07 70		<5	<2	<0.5	2.0	<1	0.3	66
07 71		<5	<2	<0.5	5.0	<1	0.8	83
07 72		<5	<2	<0.5	2.6	<1	0.6	65
07 73		<5	<2	<0.5	2.4	<1	0.5	110
07 74		<5	<2	<0.5	2.0	<1	0.4	120
07 75		<5	<2	<0.5	2.8	<1	0.7	89
07 76		<5	<2	<0.5	2.5	<1	0.7	69
07 77		<5	<2	<0.5	2.2	<1	0.6	71
07 78		<5	<2	<0.5	2.2	<1	0.6	<50
07 79		<5	<2	<0.5	0.7	<1	0.3	87
07 81		<5	<2	<0.5	1.0	<1	0.4	<50
07 883		<5	<2	<0.5	2.6	<1	0.7	<50
07 884		<5	<2	<0.5	1.9	<1	0.5	87
07 885		<5	<2	0.6	8.2	1	1.2	87
07 886		<5	<2	<0.5	2.3	<1	0.4	79
07 887		<5	<2	<0.5	0.5	<1	0.2	78
07 888		<5	<2	<0.5	4.6	<1	0.9	100
07 889		<5	<2	<0.5	0.5	<1	0.2	110
07 890		<5	<2	<0.5	2.0	<1	0.7	90
07 891		<5	<2	<0.5	3.0	<1	0.6	57
07 892		<5	<2	<0.5	0.8	<1	0.3	68
07 893		<5	<2	<0.5	1.2	<1	0.4	<50
07 894		<5	<2	<0.5	1.6	<1	0.3	72
07 895		<5	<2	<0.5	0.9	<1	0.2	<50
07 896		<5	<2	<0.5	1.0	<1	0.2	<50

RAPPORT: C88-66368.0

PROJET: 88004

PAGE 3A

NUMÉRO DE L'ÉCHANTILLON	ÉLÉMENT UNITÉS	Au PPB	Sb PPM	As PPM	Ba PPM	Cd PPM	Br PPM	Cr PPM	Co PPM	Ir PPB	Mo PPM	Ni PPM
07 097		<1	0.1	1.3	290	<2	6	19	<2	<20	0.5	10
07 098		<1	0.2	2.3	200	<2	7	77	5	<20	1.0	11
07 099		<1	0.2	1.3	140	<2	9	10	3	<20	0.8	<10
07 100		<1	0.2	2.3	200	<2	9	10	2	<20	0.7	<10
07 101		<1	0.4	2.9	270	<2	8	25	<2	<20	<0.5	12
07 102		<1	0.2	1.2	330	<2	13	61	11	<20	2.5	21
07 103		<1	0.2	1.5	100	<2	15	<10	2	<20	1.4	<10
07 104		<1	0.1	1.4	330	<2	8	14	3	<20	0.8	<10
07 105		2	0.3	2.7	140	<2	13	<10	2	<20	0.9	<10
07 106		3	0.3	3.6	210	<2	11	30	7	<20	1.2	12
07 107		<1	0.4	2.6	340	<2	5	24	5	<20	0.5	<10
07 108		2	0.4	3.5	350	<2	9	66	15✓	<20	<0.5	19
07 109		<1	0.3	2.1	270	<2	11	56	11	<20	<0.5	24
07 110		<1	0.3	1.6	320	<2	9	62	10	<20	0.6	21
07 111		2	0.8	3.5	230	<2	7	20	4	<20	0.8	<10
07 112		3	0.6	3.4	150	<2	8	<10	4	<20	0.6	<10
07 113		3	0.8	5.3✓	280	3	9	33	15✓	<20	0.9	10
07 115		<1	0.3	2.0	210	<2	10	39	8	<20	0.5	13
07 116		<1	0.6	2.8	170	<2	9	41	5	<20	<0.5	15
07 117		<1	0.5	3.1	270	<2	9	55	7	<20	0.7	26
07 118		<1	0.5	2.7	64	<2	12	<10	5	<20	1.6	<10
07 119		<1	0.4	3.3	110	<2	10	20	2	<20	<0.5	<10
07 120		<1	0.3	2.4	310	<2	14	65	6	<20	0.6	<10
07 121		1	0.5	2.4	75	<2	11	<10	6	<20	1.4	<10
07 123		<1	0.2	2.5	310	<2	16	78	18✓	<20	1.8	21
07 124		<1	0.2	1.3	120	<2	16	15	6	<20	1.3	<10
07 125		<1	0.2	2.0	110	<2	12	22	7	<20	2.8✓	<10
07 126		<1	0.2	2.3	210	<2	15	39	9	<20	0.8	11
07 128		<1	0.2	2.1	230	<2	15	32	6	<20	<0.5	<10
07 129		<1	0.3	2.5	250	<2	11	54	13	<20	1.3	12
07 130		<1	0.3	2.6	350	<2	11	68	16✓	<20	0.9	22
07 131		<1	0.2	2.6	320	<2	9	76	8	<20	<0.5	17
07 133		<1	0.4	4.4	270	<2	10	77	10	<20	1.0	22
07 134		4	0.8	4.8	220	<2	11	38	5	<20	0.9	13
07 135		4	0.7	3.4	290	<2	8	61	14	<20	<0.5	13
07 136		<1	0.7	3.7	200	<2	10	23	9	<20	0.6	<10
07 137		2	0.6	3.2	290	3	5	25	8	<20	0.9	<10
07 139		2	0.8	3.4	380	<2	7	35	9	<20	1.2	15
07 140		<1	0.7	3.5	270	<2	6	34	12	<20	1.0	11
07 141		2	0.7	3.7	310	<2	7	55	8	<20	<0.5	22

RAPPORT: C88-66368.0

PROJET: 88004

PAGE 3B

NUMÉRO DE L'ÉCHANTILLON	ÉLÉMENT UNITÉS	Se PPM	Ag PPM	Ta PPM	Th PPM	W PPM	U PPM	Zn PPM
07 097		<5	<2	<0.5	1.3	<1	0.3	<50
07 098		<5	<2	<0.5	1.6	<1	0.5	<50
07 099		<5	<2	<0.5	0.7	<1	0.2	<50
07 100		<5	<2	<0.5	1.3	<1	0.4	<50
07 101		<5	<2	<0.5	2.6	<1	0.5	<50
07 102		<5	<2	<0.5	5.8	1	1.8	75
07 103		<5	<2	<0.5	0.9	<1	0.5	<50
07 104		<5	<2	<0.5	1.2	<1	0.4	<50
07 105		<5	<2	<0.5	<0.5	<1	0.1	<50
07 106		<5	<2	<0.5	2.8	<1	2.2	<50
07 107		<5	<2	<0.5	2.3	<1	0.6	68
07 108		<5	<2	<0.5	5.6	<1	0.9	88
07 109		<5	<2	<0.5	5.2	1	1.3	68
07 110		<5	<2	<0.5	6.0	<1	1.4	100
07 111		<5	<2	<0.5	1.8	<1	0.4	93
07 112		<5	<2	<0.5	0.8	<1	0.1	<50
07 113		<5	<2	<0.5	2.5	<1	0.5	150
07 115		<5	<2	<0.5	3.7	<1	0.5	74
07 116		<5	<2	<0.5	3.6	<1	0.7	<50
07 117		<5	<2	<0.5	5.1	<1	2.2	73
07 118		<5	<2	<0.5	0.7	<1	2.1	64
07 119		<5	<2	<0.5	1.8	<1	0.5	59
07 120		<5	<2	<0.5	7.0	<1	3.3	63
07 121		<5	<2	<0.5	0.9	<1	0.8	92
07 123		<5	<2	<0.5	8.0	<1	3.7	82
07 124		<5	<2	<0.5	3.2	<1	3.5	<50
07 125		<5	<2	<0.5	1.6	<1	1.6	84
07 126		<5	<2	<0.5	4.1	<1	1.8	58
07 128		<5	<2	<0.5	5.6	<1	4.2	77
07 129		<5	<2	<0.5	4.9	<1	2.6	70
07 130		<5	<2	<0.5	6.2	<1	3.1	75
07 131		<5	<2	<0.5	6.9	<1	2.4	90
07 133		<5	<2	<0.5	5.9	<1	2.3	68
07 134		<5	<2	<0.5	3.1	<1	0.7	<50
07 135		<5	<2	<0.5	4.4	<1	0.7	82
07 136		<5	<2	<0.5	2.0	<1	0.5	81
07 137		<5	<2	<0.5	2.4	<1	0.6	60
07 139		<5	<2	<0.5	2.9	<1	0.6	160
07 140		<5	<2	<0.5	2.7	<1	0.6	100
07 141		<5	<2	<0.5	4.0	<1	0.7	58



RAPPORT: C88-66368.0

PROJET: 88004

PAGE 4A

NUMERO DE L'ÉCHANTILLON	ÉLÉMENT UNITÉS	Au PPB	Sb PPM	As PPM	Ba PPM	Cd PPM	Br PPM	Cr PPM	Co PPM	Ir PPB	Mo PPM	Ni PPM
07 142		<1	0.4	4.0	320	<2	10	66	12	<20	<0.5	27
07 143		<1	0.4	3.6	280	<2	13	70	20 <sup>✓</sup>	<20	1.0	12
07 144		2	0.4	3.0	300	<2	13	71	9	<20	1.1	24
07 145		<1	0.5	3.1	290	<2	11	50	7	<20	0.8	17
07 146		<1	0.6	4.4	150	<2	12	26	4	<20	0.9	12
07 147		<1	0.8	3.0	160	<2	7	23	3	<20	0.5	10
07 148		2	0.5	3.6	120	<2	9	25	3	<20	0.6	<10
07 149		<1	0.4	3.4	130	<2	10	<10	<2	<20	<0.5	<10
07 150		<1	0.4	2.7	270	<2	5	30	<2	<20	0.6	<10
07 151		<1	0.8	4.0	300	<2	5	38	7	<20	1.2	12
07 152		<1	0.6	3.5	300	<2	6	44	11	<20	0.7	25
07 153		<1	0.6	2.6	210	<2	6	28	3	<20	0.6	11
07 154		<1	0.5	2.7	190	<2	9	26	<2	<20	<0.5	14
07 155		<1	0.4	3.6	390	<2	7	76	8	<20	0.9	15
07 156		<1	0.4	3.4	270	<2	7	36	5	<20	0.9	12
07 157		<1	0.6	3.1	160	<2	8	34	6	<20	1.0	<10
07 158		<1	0.4	4.2	350	2	9	82	11	<20	0.7	18
07 159		<1	0.5	3.0	140	<2	10	36	6	<20	<0.5	14
07 160		<1	0.3	3.2	150	<2	10	27	4	<20	1.0	<10
07 161		<1	0.3	2.9	180	<2	10	34	4	<20	0.6	<10
07 162		1	0.4	2.5	160	<2	7	21	3	<20	<0.5	<10
07 163		<1	0.5	4.2	110	<2	8	<10	3	<20	<0.5	<10
07 164		<1	0.5	3.5	120	<2	10	26	4	<20	<0.5	<10
07 165		<1	0.9	3.3	82	<2	9	<10	<2	<20	<0.5	<10
07 166		<1	0.7	3.7	180	<2	8	23	3	<20	0.6	17
07 167		<1	0.6	3.0	150	<2	7	11	<2	<20	0.9	<10
07 168		<1	0.3	1.9	260	<2	6	36	8	<20	<0.5	<10
07 169		<1	0.5	2.8	270	<2	5	28	6	<20	<0.5	13
07 170		2	0.4	2.7	250	<2	4	31	4	<20	<0.5	11
07 171		<1	0.6	2.5	230	<2	6	26	6	<20	0.6	10
07 172		<1	0.5	2.6	300	<2	5	23	3	<20	<0.5	<10
07 173		<1	0.6	3.2	390	<2	5	33	4	<20	0.8	10
07 174		<1	0.8	8.2 <sup>✓</sup>	190	2	16	<10	7	<20	0.7	<10

RAPPORT: C88-66368.0

PROJET: 88004

PAGE 4B

NUMERO DE L'ÉCHANTILLON	ÉLÉMENT UNITÉS	Se PPM	Ag PPM	Ta PPM	Th PPM	W PPM	U PPM	Zn PPM
07 142		<5	<2	<0.5	5.7	<1	1.0	88
07 143		<5	<2	<0.5	5.6	<1	2.2	83
07 144		<5	<2	<0.5	7.4	<1	2.6	79
07 145		<5	<2	<0.5	4.9	<1	1.6	<50
07 146		<5	<2	<0.5	3.7	<1	0.6	73
07 147		<5	<2	<0.5	1.9	<1	0.3	<50
07 148		<5	<2	<0.5	2.0	<1	0.3	60
07 149		<5	<2	<0.5	0.6	<1	0.2	56
07 150		<5	<2	<0.5	2.5	<1	0.5	<50
07 151		<5	<2	<0.5	3.0	<1	0.6	75
07 152		<5	<2	<0.5	3.5	<1	0.8	88
07 153		<5	<2	<0.5	1.9	<1	0.3	120
07 154		<5	<2	<0.5	2.0	<1	0.4	62
07 155		<5	<2	<0.5	5.2	1	1.2	82
07 156		<5	<2	<0.5	3.2	<1	0.7	<50
07 157		<5	<2	<0.5	3.4	<1	0.5	<50
07 158		<5	<2	<0.5	6.0	<1	1.0	120
07 159		<5	<2	<0.5	3.1	<1	2.0	<50
07 160		<5	<2	<0.5	2.5	<1	0.8	68
07 161		<5	<2	<0.5	3.3	<1	0.6	<50
07 162		<5	<2	<0.5	2.1	<1	0.3	82
07 163		<5	<2	<0.5	1.1	<1	0.3	63
07 164		<5	<2	<0.5	2.0	<1	0.3	64
07 165		<5	<2	<0.5	0.7	<1	0.2	70
07 166		<5	<2	<0.5	1.9	<1	0.4	<50
07 167		<5	<2	<0.5	1.0	<1	0.3	<50
07 168		<5	<2	<0.5	3.4	<1	0.7	<50
07 169		<5	<2	<0.5	2.3	<1	0.3	87
07 170		<5	<2	<0.5	2.6	<1	0.5	56
07 171		<5	<2	<0.5	2.3	<1	0.4	81
07 172		<5	<2	<0.5	2.2	<1	0.6	<50
07 173		<5	<2	<0.5	3.1	<1	0.7	71
07 174		<5	<2	<0.5	1.1	<1	0.3	240

RAPPORT: C88-66369.0

PROJET: AUCUN

PAGE 1A

NUMÉRO DE L'ÉCHANTILLON	ÉLÉMENT UNITÉS	Au PPB	Sb PPM	As PPM	Ba PPM	Cd PPM	Br PPM	Cr PPM	Co PPM	Ir PPB	Mo PPM	Ni PPM
07 176		<1	0.6	4.0	270	3	6	18	<2	<20	<0.5	<10
07 177		1	0.9	2.9	240	<2	5	30	<2	<20	0.6	13
07 178		<1	0.4	2.3	270	<2	6	28	<2	<20	<0.5	<10
07 179		8	0.4	1.8	260	<2	5	<10	<2	<20	0.9	<10
07 180		<1	0.2	1.3	200	<2	5	28	10	<20	1.0	11
07 181		<1	0.4	3.2	310	<2	8	70	10	<20	<0.5	24
07 183		<1	0.6	4.1	290	2	8	54	7	<20	<0.5	12
07 184		<1	0.7	3.9	220	<2	10	35	3	<20	0.7	<10
07 185		2	0.5	3.2	320	<2	9	40	10	<20	<0.5	19
07 186		<1	0.4	3.0	380	<2	8	53	11	<20	<0.5	<10
07 187		2	0.4	2.4	180	<2	7	31	5	<20	<0.5	17
07 188		3	0.3	2.3	300	<2	8	70	5	<20	<0.5	14
07 189		<1	0.3	2.4	270	<2	11	49	8	<20	<0.5	12
07 190		<1	0.2	2.1	290	<2	16	49	3	<20	<0.5	<10
07 192		<1	0.3	2.3	100	<2	12	<10	3	<20	0.6	<10
07 193		<1	0.5	3.3	<50	<2	13	<10	<2	<20	1.1	<10
07 194		<1	0.2	2.6	290	<2	21	49	11	<20	<0.5	<10
07 195		<1	0.2	2.0	220	<2	12	41	5	<20	<0.5	<10
07 197		3	0.4	2.8	340	<2	8	62	9	<20	<0.5	22
07 198		<1	0.6	3.3	240	<2	7	59	8	<20	<0.5	<10
07 199		<1	0.7	4.3	280	<2	8	37	13	<20	<0.5	15
07 200		2	0.7	3.7	120	<2	9	15	3	<20	0.6	<10
07 201		1	1.1✓	3.0	330	2	5	15	4	<20	1.2	11
07 202		<1	0.8	2.9	260	<2	6	26	4	<20	0.5	<10
07 203		3	0.7	2.3	320	<2	5	15	<2	<20	0.8	<10
07 204		<1	0.8	4.4	130	<2	10	<10	<2	<20	0.8	10
07 205		<1	0.7	4.1	260	<2	8	32	4	<20	0.5	<10
07 206		<1	0.4	3.8	170	<2	11	14	3	<20	0.7	<10
07 207		2	0.7	3.6	130	<2	8	19	4	<20	<0.5	16
07 208		2	1.0✓	3.3	83	<2	10	11	4	<20	0.5	<10
07 209		<1	0.4	1.9	120	<2	8	27	3	<20	<0.5	13
07 210		2	0.6	4.0	170	<2	9	36	5	<20	<0.5	13
07 211		<1	0.7	4.1	300	<2	7	64	11	<20	<0.5	27
07 212		<1	0.5	3.3	250	<2	8	61	9	<20	<0.5	25
07 213		<1	0.6	4.4	230	<2	9	58	8	<20	<0.5	16
07 214		5	0.5	3.7	220	3	10	36	11	<20	<0.5	12
07 215		<1	0.4	3.4	180	<2	10	36	8	<20	<0.5	19
07 216		5	0.3	2.3	210	3	10	38	11	<20	<0.5	<10
07 217		<1	1.0✓	3.8	210	<2	9	27	8	<20	0.9	20
07 218		3	0.7	4.1	240	<2	11	34	12	<20	<0.5	<10

RAPPORT: C88-66369.0

PROJET: AUCUN

PAGE 13

NUMERO DE L'ÉCHANTILLON	ÉLÉMENT UNITÉS	Se PPM	Ag PPM	Ta PPM	Th PPM	W PPM	U PPM	Zn PPM
07 176		<5	<2	<0.5	2.3	<1	0.5	55
07 177		<5	<2	<0.5	2.3	<1	0.6	100
07 178		<5	<2	<0.5	2.4	<1	0.7	73
07 179		<5	<2	<0.5	1.5	<1	0.4	57
07 180		<5	2	<0.5	2.8	<1	0.5	51
07 181		<5	<2	<0.5	6.2	<1	1.1	57
07 183		<5	<2	<0.5	5.4	<1	1.0	77
07 184		<5	<2	<0.5	2.7	<1	0.6	54
07 185		<5	<2	<0.5	3.3	<1	0.7	<50
07 186		<5	<2	<0.5	5.4	<1	1.0	<50
07 187		<5	<2	<0.5	4.1	<1	0.9	<50
07 188		<5	<2	<0.5	6.1	<1	1.4	81
07 189		<5	<2	<0.5	4.5	<1	1.6	54
07 190		<5	<2	<0.5	5.5	<1	2.6	91
07 192		<5	<2	<0.5	1.6	<1	0.9	<50
07 193		<5	<2	<0.5	<0.5	<1	0.3	54
07 194		<5	<2	<0.5	7.2	<1	5.2	<50
07 195		<5	<2	<0.5	4.2	<1	2.9	<50
07 197		<5	<2	<0.5	5.9	<1	1.2	97
07 198		<5	<2	<0.5	5.0	<1	0.7	<50
07 199		<5	<2	<0.5	2.8	<1	0.6	57
07 200		<5	<2	<0.5	1.0	<1	0.3	53
07 201		<5	<2	<0.5	1.3	<1	0.4	81
07 202		<5	<2	<0.5	2.2	<1	0.5	77
07 203		<5	<2	<0.5	1.6	<1	0.4	68
07 204		<5	<2	<0.5	1.0	<1	0.2	71
07 205		<5	<2	<0.5	2.9	<1	0.7	73
07 206		<5	2	<0.5	1.8	<1	0.4	<50
07 207		<5	<2	<0.5	1.6	<1	0.4	<50
07 208		<5	<2	<0.5	0.9	<1	0.2	110
07 209		<5	<2	<0.5	2.9	<1	0.5	71
07 210		<5	<2	<0.5	2.6	<1	0.6	60
07 211		<5	<2	<0.5	5.9	<1	1.1	67
07 212		<5	<2	<0.5	6.5	<1	1.5	85
07 213		<5	<2	<0.5	4.7	<1	1.1	81
07 214		<5	<2	<0.5	4.3	<1	0.9	<50
07 215		<5	<2	<0.5	3.7	<1	1.7	<50
07 216		<5	<2	<0.5	3.5	<1	0.8	<50
07 217		<5	<2	<0.5	1.9	<1	0.5	77
07 218		<5	<2	<0.5	3.5	<1	0.6	83

RAPPORT: C88-66369.0

PROJET: AUCUN

PAGE 2A

NUMÉRO DE L'ÉCHANTILLON	ÉLÉMENT UNITÉS	Au PPB	Sb PPM	As PPM	Ba PPM	Cd PPM	Br PPM	Cr PPM	Co PPM	Ir PPB	Mo PPM	Ni PPM
07 219		2	1.2 ✓	4.0	160	<2	8	22	9	<20	1.4	<10
07 220		2	0.2	1.7	170	<2	7	30	9	<20	0.6	14
07 221		2	0.2	1.7	160	<2	9	36	8	<20	<0.5	<10
07 222		2	0.2	1.7	220	2	9	54	9	<20	<0.5	13
07 223		<1	0.2	1.7	160	<2	10	36	7	<20	<0.5	<10
07 224		5	0.4	3.3	300	<2	10	67	11	<20	<0.5	22
07 225		<1	0.5	3.0	140	<2	13	<10	8	<20	<0.5	<10
07 226		3	0.7	3.7	250	<2	14	38	13	<20	<0.5	18
07 227		3	0.9	4.5	140	<2	11	26	5	<20	<0.5	<10
07 228		<1	0.2	2.1	130	<2	9	31	11	<20	<0.5	<10
07 229		<1	0.7	3.6	92	<2	9	12	4	<20	0.7	<10
07 230		1	0.9	3.2	95	<2	7	11	4	<20	0.5	<10
07 231		2	0.5	4.8	240	<2	8	39	4	<20	0.8	<10
07 232		3	0.4	2.7	130	<2	8	26	5	<20	<0.5	11
07 233		2	0.5	3.9	230	3	10	48	6	<20	<0.5	13
07 235		<1	0.2	2.9	250	<2	15	59	8	<20	<0.5	19
07 236		<1	0.5	4.1	110	<2	11	22	4	<20	<0.5	<10
07 237		2	0.7	3.8	110	<2	11	14	3	<20	0.5	<10
07 238		1	0.7	3.7	130	<2	8	<10	2	<20	<0.5	<10
07 239		2	0.7	4.0	160	<2	9	22	2	<20	<0.5	<10
07 240		2	0.6	3.0	55	<2	9	<10	<2	<20	0.8	<10
07 242		<1	0.3	2.3	160	<2	12	36	<2	<20	0.9	10
07 243		<1	0.2	1.7	63	<2	13	<10	<2	<20	1.3	<10
07 244		2	0.7	4.2	110	<2	10	<10	<2	<20	<0.5	<10
07 245		11	0.6	3.1	220	<2	8	<10	<2	<20	0.8	<10
07 246		<1	0.8	3.4	130	<2	7	<10	<2	<20	0.5	<10
07 247		3	0.6	4.3	140	3	12	13	5	<20	1.0	13
07 248		<1	0.4	2.8	200	<2	10	32	6	<20	<0.5	12
07 249		1	0.3	3.4	160	<2	10	15	3	<20	0.8	<10
07 250		<1	0.5	3.5	160	<2	7	38	6	<20	<0.5	14
07 251		<1	0.5	3.2	170	<2	7	17	4	<20	0.7	<10
07 252		1	0.3	2.4	200	<2	8	15	<2	<20	1.0	<10
07 253		1	0.6	2.6	180	<2	7	<10	3	<20	1.2	<10
07 255		<1	0.3	2.2	260	<2	7	54	5	<20	<0.5	15
07 256		3	0.3	2.3	150	2	11	25	8	<20	<0.5	10
07 257		<1	0.4	2.9	360	<2	7	<10	6	<20	1.5	<10
07 258		3	0.6	3.9	160	<2	10	31	5	<20	<0.5	<10
07 259		<1	0.3	3.1	170	<2	10	34	6	<20	1.0	14
07 261		2	0.2	2.3	190	<2	13	39	4	<20	<0.5	11
07 262		2	0.3	4.0	220	<2	21	61	6	<20	<0.5	17

RAPPORT: C88-66369.0

PROJET: AUCUN

PAGE 2B

NUMÉRO DE L'ÉCHANTILLON	ÉLÉMENT UNITÉS	Se PPM	Ag PPM	Ta PPM	Th PPM	W PPM	U PPM	Zn PPM
07 219		<5	<2	<0.5	1.6	<1	0.4	60
07 220		<5	<2	<0.5	2.4	<1	0.5	97
07 221		<5	<2	<0.5	3.1	<1	0.6	100
07 222		<5	<2	<0.5	3.8	<1	0.8	79
07 223		<5	<2	<0.5	2.3	<1	0.6	<50
07 224		<5	<2	<0.5	7.7	<1	4.5	<50
07 225		<5	<2	<0.5	1.7	<1	0.8	<50
07 226		<5	<2	<0.5	4.1	<1	0.6	66
07 227		<5	<2	<0.5	1.6	<1	0.3	52
07 228		<5	<2	<0.5	2.3	<1	0.5	100
07 229		<5	<2	<0.5	0.6	<1	0.2	59
07 230		<5	<2	<0.5	0.8	<1	0.3	<50
07 231		<5	<2	<0.5	3.3	<1	0.6	<50
07 232		<5	<2	<0.5	2.7	<1	0.4	<50
07 233		<5	<2	<0.5	5.3	<1	1.0	58
07 235		<5	<2	<0.5	4.9	<1	1.7	140
07 236		<5	<2	<0.5	1.9	<1	0.4	50
07 237		<5	<2	<0.5	1.1	<1	0.3	75
07 238		<5	<2	<0.5	1.3	<1	0.3	86
07 239		<5	<2	<0.5	1.9	<1	0.4	100
07 240		<5	<2	<0.5	0.6	<1	0.2	57
07 242		<5	<2	<0.5	4.8	<1	2.4	89
07 243		<5	<2	<0.5	2.1	<1	2.1	63
07 244		<5	<2	<0.5	0.7	<1	0.2	65
07 245		<5	<2	<0.5	1.7	<1	0.5	76
07 246		<5	3✓	<0.5	1.0	<1	0.3	67
07 247		<5	<2	<0.5	1.2	<1	0.3	140
07 248		<5	<2	<0.5	2.3	<1	0.5	61
07 249		<5	<2	<0.5	2.0	<1	0.5	<50
07 250		<5	<2	<0.5	3.1	<1	0.5	<50
07 251		<5	<2	<0.5	2.3	<1	0.5	53
07 252		<5	<2	<0.5	2.0	<1	0.5	63
07 253		<5	<2	<0.5	1.7	<1	0.4	<50
07 255		<5	<2	<0.5	4.3	<1	0.9	85
07 256		<5	<2	<0.5	2.3	<1	0.4	60
07 257		<5	<2	<0.5	0.7	<1	0.3	85
07 258		<5	<2	<0.5	3.7	<1	0.6	<50
07 259		<5	<2	<0.5	4.0	<1	1.1	50
07 261		<5	<2	<0.5	5.2	<1	3.6	88
07 262		<5	<2	<0.5	8.3	<1	10.0✓	90

RAPPORT: C28-66369.0

PROJET: AUCUN

PAGE 3A

NUMÉRO DE L'ÉCHANTILLON	ÉLÉMENT UNITÉS	Au PPB	Sb PPM	As PPM	Ba PPM	Cd PPM	Br PPM	Cr PPM	Co PPM	Ir PPB	Mo PPM	Ni PPM
07 263		<1	0.3	3.2	340	<2	11	96	8	<20	<0.5	16
07 264		<1	0.6	4.0	97	<2	11	11	3	<20	<0.5	<10
07 265		2	0.4	4.5	87	<2	11	20	6	<20	<0.5	<10
07 266		<1	0.4	3.6	220	3	6	45	7	<20	<0.5	13
07 267		<1	0.7	5.5✓	170	3	11	30	2	<20	0.6	10
07 268		2	0.9	4.9	120	<2	10	14	<2	<20	0.7	<10
07 269		<1	0.2	1.7	210	3	7	36	8	<20	<0.5	<10
07 270		2	0.4	2.6	280	3	8	55	10	<20	<0.5	25
07 273		2	0.5	2.9	100	<2	10	15	3	<20	0.7	<10
07 274		<1	0.3	5.3✓	300	<2	23	58	40✓	<20	2.4✓	18
07 275		3	0.2	3.0	290	<2	19	46	17✓	<20	<0.5	<10
07 276		<1	0.4	3.0	280	2	15	46	6	<20	0.6	16
07 277		<1	0.4	2.9	220	<2	7	41	6	<20	0.6	<10
07 278		3	0.4	2.9	250	<2	8	52	9	<20	<0.5	11
07 279		<1	0.3	2.1	260	<2	7	50	10	<20	<0.5	22
07 280		<1	0.6	3.7	110	<2	14	20	10	<20	1.5	<10
07 281		<1	0.8	3.6	77	<2	11	10	8	<20	0.8	<10
07 282		<1	0.5	3.0	<50	<2	12	<10	3	<20	1.1	11
07 283		<1	0.3	3.5	130	<2	17	25	6	<20	0.6	<10
07 284		3	0.3	2.9	140	<2	17	25	7	<20	<0.5	<10
07 285		2	0.5	4.6	130	<2	12	38	4	<20	<0.5	<10
07 286		2	0.9	3.2	<50	<2	9	<10	3	<20	0.7	<10
07 287		1	0.8	3.4	95	<2	8	14	6	<20	0.9	<10
07 288		1	0.7	3.1	88	<2	9	10	2	<20	1.0	<10
07 289		<1	0.5	3.1	100	<2	9	10	5	<20	<0.5	14
07 290		<1	0.7	4.2	170	<2	12	30	16✓	<20	<0.5	21
07 291		<1	0.6	3.1	100	<2	9	22	3	<20	<0.5	<10
07 292		<1	0.6	2.5	54	<2	8	<10	4	<20	0.5	<10
07 293		2	0.8	2.9	200	3	8	24	7	<20	1.9✓	<10
07 294		<1	0.8	4.4	240	3	8	55	10	<20	0.9	11
07 295		<1	0.6	3.1	100	<2	11	14	4	<20	<0.5	18
07 296		2	1.0✓	4.7	140	<2	14	25	6	<20	<0.5	16
07 297		2	0.7	3.2	88	<2	10	<10	4	<20	<0.5	<10
07 298		<1	0.5	3.3	130	3	9	25	8	<20	<0.5	11
07 299		2	0.6	3.7	160	<2	12	34	5	<20	<0.5	17
07 300		<1	0.6	4.0	<50	<2	11	<10	3	<20	0.8	<10
07 301		<1	0.5	4.0	250	<2	17	56	13	<20	2.2✓	19
07 302		<1	0.2	1.8	87	<2	17	19	2	<20	1.7	<10
07 303		3	0.5	3.4	340	<2	21	60	22	<20	<0.5	26
07 304		<1	0.3	2.8	230	<2	12	55	8	<20	<0.5	15

RAPPORT: C88-66369.0

PROJET: AUCUN

PAGE 38

NUMÉRO DE L'ÉCHANTILLON	ÉLÉMENT UNITÉS	Se PPM	Ag PPM	Ta PPM	Th PPM	W PPM	U PPM	Zn PPM
07 263		<5	<2	<0.5	7.6	<1	1.7	82
07 264		<5	<2	<0.5	1.0	<1	0.4	64
07 265		<5	<2	<0.5	2.7	<1	0.5	69
07 266		<5	<2	<0.5	3.9	<1	0.5	64
07 267		<5	<2	<0.5	2.1	<1	0.4	<50
07 268		<5	<2	<0.5	0.9	<1	0.3	95
07 269		<5	<2	<0.5	3.1	<1	0.8	63
07 270		<5	<2	<0.5	4.8	<1	1.7	71
07 272		<5	<2	<0.5	1.4	<1	0.6	66
07 274		<5	<2	<0.5	8.1	<1	5.2	66
07 275		<5	<2	<0.5	5.9	<1	2.8	82
07 276		<5	<2	<0.5	5.9	<1	2.5	76
07 277		<5	<2	<0.5	4.4	<1	0.8	72
07 278		<5	<2	<0.5	4.5	<1	1.0	62
07 279		<5	<2	<0.5	4.0	<1	0.9	89
07 280		<5	<2	<0.5	3.1	<1	2.1	<50
07 281		<5	<2	<0.5	1.9	<1	4.6	<50
07 282		<5	<2	<0.5	1.3	<1	1.5	59
07 283		<5	<2	<0.5	2.8	<1	1.4	60
07 284		<5	<2	<0.5	5.0	<1	2.1	<50
07 285		<5	<2	<0.5	3.1	<1	0.5	69
07 286		<5	<2	<0.5	<0.5	<1	<0.1	<50
07 287		<5	<2	<0.5	1.0	<1	0.2	62
07 288		<5	<2	<0.5	1.1	<1	0.3	<50
07 289		<5	<2	<0.5	1.5	<1	0.4	54
07 290		<5	<2	<0.5	3.1	<1	0.7	89
07 291		<5	<2	<0.5	2.1	<1	0.4	<50
07 292		<5	<2	<0.5	0.7	<1	0.2	<50
07 293		<5	<2	<0.5	1.8	<1	0.5	52
07 294		<5	<2	<0.5	4.3	<1	0.6	56
07 295		<5	<2	<0.5	1.6	<1	0.4	90
07 296		<5	<2	<0.5	3.5	<1	1.3	72
07 297		<5	<2	<0.5	1.0	<1	0.3	100
07 298		<5	<2	<0.5	3.4	1	0.8	69
07 299		<5	<2	<0.5	3.7	<1	0.8	56
07 300		<5	<2	<0.5	0.7	<1	0.7	<50
07 301		<5	<2	<0.5	6.3	<1	3.1	78
07 302		<5	<2	<0.5	2.4	<1	0.5	<50
07 303		<5	<2	<0.5	6.7	<1	3.9	110
07 304		<5	<2	<0.5	5.9	<1	3.7	69



RAPPORT: C88-66369.0

PROJET: AUCUN

PAGE 4A

NUMÉRO DE L'ÉCHANTILLON	ÉLÉMENT UNITÉS	Au PPB	Sb PPM	As PPM	Ba PPM	Cd PPM	Br PPM	Cr PPM	Co PPM	Ir PPB	Mo PPM	Ni PPM
07 305		<1	0.5	3.8	190	<2	9	48	6	<20	<0.5	15
07 306		<1	0.5	3.2	140	<2	7	28	3	<20	<0.5	12
07 307		2	0.4	4.3	58	<2	12	<10	<2	<20	<0.5	<10
07 308		<1	0.4	4.9	230	<2	9	53	4	<20	1.0	11
07 309		<1	0.7	3.9	210	<2	9	38	6	<20	<0.5	19
07 310		<1	0.5	2.7	130	<2	10	11	3	<20	<0.5	<10
07 311		<1	0.5	3.5	220	<2	9	48	5	<20	<0.5	13
07 312		<1	0.9	5.2 ✓	280	<2	10	26	4	<20	0.8	12
07 313		<1	0.7	4.2	250	<2	8	27	<2	<20	<0.5	15
07 314		3	0.7	3.7	150	2	9	21	8	<20	0.7	<10
07 315		<1	0.6	3.8	220	<2	9	54	10	<20	<0.5	11
07 316		<1	0.6	3.8	120	<2	9	19	3	<20	<0.5	<10
07 317		<1	0.6	4.2	150	<2	9	41	5	<20	0.7	<10
07 318		<1	0.2	1.3	97	<2	7	<10	4	<20	<0.5	<10
07 319		1	0.8	5.3 ✓	110	4	17	11	3	<20	0.6	<10
07 320		<1	0.7	3.3	130	<2	10	23	11	<20	<0.5	<10
07 321		<1	0.6	3.0	110	<2	8	<10	3	<20	<0.5	<10
07 322		<1	0.7	4.0	83	<2	9	<10	4	<20	<0.5	<10
07 323		2	0.8	2.9	240	<2	6	41	9	<20	1.3	14
07 324		<1	0.7	3.8	280	<2	10	48	6	<20	<0.5	17
07 325		2	0.8	4.1	290	<2	9	31	15 ✓	<20	<0.5	11

RAPPORT: 088-66369.0

PROJET: AUCUN

PAGE 4B

NUMÉRO DE L'ÉCHANTILLON	ÉLÉMENT UNITÉS	Se PPM	Ag PPM	Ta PPM	Th PPM	W PPM	U PPM	Zn PPM
07 305		<5	<2	<0.5	4.1	<1	2.1	76
07 305		<5	<2	<0.5	2.8	<1	0.7	63
07 307		<5	<2	<0.5	0.7	<1	0.2	64
07 308		<5	<2	<0.5	4.1	<1	0.7	84
07 309		<5	<2	<0.5	4.6	<1	0.7	94
07 310		<5	<2	<0.5	1.6	<1	0.5	<50
07 311		<5	<2	<0.5	4.2	<1	0.6	65
07 312		<5	<2	<0.5	2.2	<1	0.5	51
07 313		<5	<2	<0.5	2.6	<1	0.6	61
07 314		<5	<2	<0.5	1.5	<1	0.3	93
07 315		<5	<2	<0.5	4.4	<1	0.7	57
07 316		<5	<2	<0.5	2.4	<1	0.7	<50
07 317		<5	<2	<0.5	2.4	<1	0.4	57
07 318		<5	<2	<0.5	0.9	<1	0.2	110
07 319		<5	<2	<0.5	<0.5	<1	<0.1	130
07 320		<5	<2	<0.5	3.3	<1	0.6	<50
07 321		<5	<2	<0.5	0.6	<1	0.2	51
07 322		<5	<2	<0.5	0.7	<1	0.2	55
07 323		<5	<2	<0.5	2.5	<1	0.5	52
07 324		<5	<2	<0.5	5.3	<1	1.5	67
07 325		<5	<2	<0.5	3.5	<1	0.8	130

RAPPORT: C88-66473.0

PROJET: 88009

PAGE 1A

NUMÉRO DE L'ÉCHANTILLON	ÉLÉMENT UNITÉS	Cu PPM	Au PPB	Sb PPM	As PPM	Ba PPM	Cd PPM	Br PPM	Cr PPM	Co PPM	Ir PPB	Mo PPM
02 H-1		31	23	0.4	5.3	<50	<2	13	12	5	<20	0.9
02 H-2		16	3	0.6	2.9	240	<2	7	17	<2	<20	1.3
02 H-3		37	302	0.3	4.0	87	<2	7	15	11	<20	0.6
02 H-4		21	4	0.5	2.6	160	<2	7	24	5	<20	0.8
02 H-5		47	183	0.5	8.0	150	<2	8	32	8	<20	0.6
02 H-6		24	2	1.0	3.7	130	<2	8	19	3	<20	1.1
02 H-7		21	<1	0.6	3.5	150	<2	10	<10	3	<20	<0.5
02 H-8		27	41	0.4	5.3	64	<2	13	11	3	<20	0.6
02 3		23	2	0.1	1.2	200	<2	7	40	4	<20	0.8
02 5		23	1	0.2	1.9	330	<2	8	56	6	<20	0.9
02 6		22	2	0.2	2.2	260	<2	17	33	4	<20	1.8
02 8		12	2	0.7	3.0	100	<2	10	<10	<2	<20	0.9
02 20		26	3	0.6	4.6	180	<2	14	47	7	<20	1.5
02 25		14	<1	0.2	1.8	240	<2	7	26	7	<20	0.9
02 29		25	3	0.4	1.9	180	2	9	15	4	<20	1.1
02 31		19	<1	0.2	0.8	220	<2	7	52	7	<20	0.8
02 32		21	<1	0.5	3.5	190	<2	11	45	4	<20	0.9
02 48		19	2	0.5	2.9	87	<2	18	12	3	<20	1.1
02 66		29	<1	0.3	3.6	380	<2	14	100	10	<20	0.8
02 67		31	<1	0.4	3.6	310	<2	10	77	11	<20	1.3
02 80		15	1	0.2	0.9	<50	<2	7	<10	<2	<20	0.6
02 82		12	2	0.6	2.8	97	3	6	11	<2	<20	0.8
02 114		21	2	0.4	1.8	170	2	7	<10	4	<20	0.7
02 122		10	1	0.5	3.3	<50	<2	11	12	<2	<20	0.9
02 127		20	2	0.6	3.2	68	<2	10	19	7	<20	1.7
02 132		20	1	0.5	5.3	270	<2	15	49	8	<20	1.2
02 138		19	2	0.6	2.0	130	<2	7	14	3	<20	0.8
02 175		15	2	0.5	1.6	160	<2	6	16	3	<20	0.8
02 182		19	<1	0.3	1.8	77	<2	12	11	2	<20	1.6
02 191		20	3	0.3	2.0	280	<2	8	56	7	<20	1.8
02 234		21	<1	0.4	2.9	100	2	19	15	5	<20	1.2
02 241		17	2	0.5	3.8	110	<2	10	26	<2	<20	0.9
02 260		11	2	0.4	3.0	66	2	16	12	4	<20	1.8
02 271		18	<1	0.3	2.9	200	<2	13	42	8	<20	1.2
02 272		23	<1	0.2	1.8	270	<2	13	46	5	<20	<0.5

RAPPORT: C88-66473.0

PROJET: 88009

PAGE 1B

NUMERO DE L'ÉCHANTILLON	ÉLÉMENT UNITÉS	Ni PPM	Se PPM	Ag PPM	Ta PPM	Th PPM	W PPM	U PPM	Zn PPM
02 H-1		<10	<5	<2	<0.5	0.6	<1	0.3	<50
02 H-2		<10	<5	<2	<0.5	1.1	<1	0.5	<50
02 H-3		<10	<5	<2	<0.5	0.6	<1	0.2	<50
02 H-4		16	<5	<2	<0.5	1.1	<1	0.4	<50
02 H-5		<10	<5	<2	<0.5	1.1	<1	0.3	<50
02 H-6		15	<5	<2	<0.5	0.8	<1	0.3	120
02 H-7		<10	<5	<2	<0.5	0.8	<1	0.2	100
02 H-8		<10	<5	<2	<0.5	<0.5	<1	0.2	55
02 3		23	<5	<2	<0.5	2.8	<1	0.7	190
02 5		<10	<5	<2	<0.5	6.4	<1	1.5	130
02 6		<10	<5	<2	<0.5	5.3	<1	2.8	100
02 8		<10	<5	<2	<0.5	<0.5	<1	0.1	91
02 20		<10	<5	<2	<0.5	3.7	<1	1.0	80
02 25		11	<5	<2	<0.5	1.9	<1	0.4	200
02 29		<10	<5	<2	<0.5	0.8	<1	0.2	260
02 31		17	<5	<2	<0.5	1.3	<1	0.2	150
02 32		<10	<5	<2	<0.5	3.7	<1	0.7	140
02 48		<10	<5	<2	<0.5	<0.5	<1	0.2	190
02 66		30	<5	<2	0.6	9.0	<1	1.8	150
02 67		27	<5	<2	<0.5	7.9	<1	1.5	150
02 80		<10	<5	<2	<0.5	<0.5	<1	<0.1	140
02 82		<10	<5	<2	<0.5	<0.5	<1	0.2	110
02 114		<10	<5	<2	<0.5	<0.5	<1	0.1	260
02 122		<10	<5	<2	<0.5	0.7	<1	0.4	<50
02 127		<10	<5	<2	<0.5	1.7	<1	2.4	64
02 132		<10	<5	<2	<0.5	4.3	<1	1.5	110
02 138		<10	<5	<2	<0.5	0.7	<1	0.2	260
02 175		<10	<5	<2	<0.5	0.9	<1	0.2	130
02 182		<10	<5	<2	<0.5	1.1	<1	1.4	73
02 191		20	<5	<2	<0.5	5.9	<1	1.2	190
02 234		11	<5	<2	<0.5	3.0	<1	4.4	<50
02 241		13	<5	<2	<0.5	2.7	<1	0.4	100
02 260		<10	<5	<2	<0.5	1.4	<1	0.9	96
02 271		<10	<5	<2	<0.5	3.8	<1	1.4	120
02 272		10	<5	<2	<0.5	6.4	<1	3.4	100

Spécifications techniques des  
échantillons d'humus de la  
zone "C"

## GEOCHIMIE D'HUMUS

### LEGENDE

<u>TOPOGRAPHIE:</u>	sommet colline	11	dépression	15	
	pente douce	12	plat	16	
	pente élevée >20°	13	bosselé	17	
	base d'une pente	14	tourbière	18	
<u>ENVIRONNEMENT:</u>	cultivé	21	forêt conifères	26	
	dénudé	22	forêt décidus	27	
	ancien lit		forêt mixte	28	
	de ruisseau	23	tourbière-monticule	29	
	ancien lit		tourbière-dépression	30	
	de lac	24			
	Aulne-Saule	25			
<u>DRAINAGE:</u>	sec	31	<u>DIRECTION :</u>	N	NE
	humide	32		S	SE
	mouillé	33		E	NW
	saturé	34		W	SW
<u>AUTRES GEOLOGIE :</u>	Affluent :	amont	41		
		aval	42		
<u>CONTAMINATION:</u>	route	51	<u>PENTE:</u>	°	
	drain	52			
	ferme	53			
	poubelle	54			
	maison	55			
	tranchée	56			
	autre	57			

Numéro	Ligne	Station	Topo.	Environ.	Drainage	Dir.	Affl.	Contam.	Pente
1	40 W	B.L	12-18-17	26	33	W	41		5°
2	40 W	1 S	12-18-17	26	33	N			2°
3	40 W	2 S	12-18-17	26	32-33	W	41		10°
4	Contrôle								
5	40 W	3 S	12-18-17	26	32	W	41		10°
6	40 W	4 S	14-18-17	26	32	NW			<10°
7	40 W	5 S	16-18-17	28	33-34				
8	40 W	6 S	16-18-17	28	33				
9	40 W	7 S	16-18-17	28	33-34				
10	40 W	8 S	16-18-17	28	32-33				
11	Contrôle								
12	40 W	9 S	16-18-17	26	32-33				
13	40 W	10 S	16-18-17	26	32-33				
14	40 W	11 S	16-18-17	26	32-33				
15	40 W	12 S	16-18-17	26	32-33				
16	40 W	13 S	16-18-17	26	32-33				
17	40 W	14 S	16-18-17	26	32-33	S	41		
18	40 W	15 S	16-18-17	26	32-33	E	X		
19	40 W	16 S	16-18-17	28	31-32	E	X		
20	40 W	17 S	16-18-17	28	31	E	42		
21	Contrôle								
22	40 W	18 S	17-12-11	28	31	S	X		3°
23	40 W	19 S	17-12-11	28	32-33	S	41-42		
24	40 W	20 S	17-12-11	27-28	31-32		41-42		
25	44 W	20 S	17-12-11	27-28	34		41-42		
26	44 W	16 S	12-18-17	27-28	31-32	NW			3°
27	44 W	17 S	12-18-17	27-28	31-32				
28	44 W	18 S	12-18-17	27-28	31-32				
29	44 W	19 S	12-18-17	27-28	31-32				
30	44 W	15 S	12-18-17	27-28	31-32	NW	X		3°
31	44 W	14 S	14-18-17	28	33-34	N			
32	Contrôle								
33	44 W	13 S	16-18-17	28	32				
34	44 W	12 S	16-18-17	28	31-32				
35	44 W	11 S	16-18-17	28	31-32				
36	44 W	10 S	16-18-17	28	31-32				

Numéro	Ligne	Station	Topo.	Environ.	Drainage	Dir.	Affl.	Contam.	Pente
37	44 W	9 S	16-17-18	28	32				
38	44 W	8 S	16-17-18	28	32				
39	44 W	7 S	16-17-18	28	32				
40	44 W	6 S	16-17-18	28	32				
41	Contrôle								
42	44 W	5 S	16-17-18	28	31-32				
43	44 W	4 S	16-17-18	28	31-32				
44	44 W	3 S	16-17-18	28	31-32				
45	44 W	2 S	12-17-18	28	32	S			<1°
46	44 W	1 S	12-17-18	26	31-32	N			<1°
47	44 W	B.L.	14-17-18	26	33-34				
48	36 W	B.L.	16-17-18	23-28	34				
49	36 W	1 N	16-17-18	28	31				
50	Contrôle								
51	36 W	2 N	16-17-18	26	33-34				
52	36 W	3 N	16-17-18	26	33-34				
53	36 W	4 N	12-17-18	26	32	N			3°
54	36 W	5 N	16-17-18	26	33	N			3°-5°
55	36 W	6 N	16-17-18	26	31-32				
56	36 W	7 N	16-17-18	26	31-32				
57	36 W	8 N	16-17-18	26	31-32				
58	36 W	9 N	16-17-18	26	32-33	N			2°-3°
59	36 W	10 N	16-17-18	26	32-33				
60	Contrôle								
61	36 W	11 N	16-17-18	26	32-33				
62	36 W	12 N	16-17-18	26	32-33				
63	36 W	13 N	16-17-18	26	32-33				
64	36 W	14 N	16-17-18	26	32-33				
65	36 W	15 N	16-17-18	26	32-33				
66	36 W	16 N	16-17-18	26	32-33				
67	36 W	17 N	16-17-18	26	32-33				
68	36 W	18 N	16-17-18	24-28-29	32-33				
69	36 W	19 N	16-17-18	24-28-29	32-33				
70	Contrôle								
71	36 W	20 N	16-17-18	28	32-33				
72	40 W	20+40 N	16-17-18	28	33-34				



Numéro	Ligne	Station	Topo.	Environ.	Drainage	Dir.	Affl.	Contam.	Pente
73	40 W	20 N	16-17-18	28	33-34				
74	40 W	19 N	16-17-18	28	33-34	N			1°-2°
75	40 W	18 N	16-17-18	28	33-34				
76	40 W	17 N	16-17-18	28	33-34				
77	40 W	16 N	16-17-18	28	33-34				
78	40 W	15 N	16-17-18	28	33-34				
79	40 W	14 N	16-17-18	28	33-34				
80	40 W	13 N	12-17-18	28	33-34	N	41		<1°
81	40 W	12 N	13-17-18	28	33	E	X		>20°
82	40 W	11 N	12-17-18	28	33	E			3°
83	40 W	10 N	16-17-18	28	32				
84	40 W	9 N	12-17-18	28	33-34	N			1°-2°
85	40 W	8 N	12-17-18	28	32	N			<1°
86	40 W	7 N	16-17-18	28	32				
87	40 W	6 N	16-17-18	28	32				
88	40 W	5 N	13-17-18	28	32	N			>20°
89	40 W	4 N	11-17-18	28	31-32	W			8°
90	40 W	3 N	12-17-18	28	31-32	SW			5°
91	40 W	2 N	12-17-18	28	31-32	NW			5°
92	40 W	1 N	11-17-18	28	31-32	X			5°
93	44 W	1 N	16	26-18	32				0
94	44 W	2 N	18-16	26-30	32				
95	44 W	3 N	16	26-18	32				0
96	44 W	4 N	18-16	26-30	32				
97	44 W	5 N	16	26-18	32				0
98	44 W	6 N	18-16	26-30	32				
99	44 W	7 N	16	26-18	32				0
100	44 W	8 N	18-16	26-30	32				
101	Contrôle								
102	44 W	10 N	18-16	26-30	32				
103	44 W	11 N	12	26-18	32	W			4°
104	44 W	12 N	14	26-30	32	W	poss. 41		5°
105	44 W	13 N	12	26-18	32	NW			4°
106	44 W	14 N	14	26-30	32	W			4°
107	44 W	15 N	15	26-18	32				
108	44 W	16 N	18-16	26-30	32				

Numéro	Ligne	Station	Topo.	Environ.	Drainage	Dir.	Affl.	Contam.	Pente
109	44 W	17 N	16	26-18	32				
110	44 W	18 N	18-16	26-30	32				
111	44 W	19 N	16	26-18	32				
112	44 W	20 N	18-16	26-30	32				
113	36 W	21 N	16	28-18	32				
114	36 W	22 N	18-16	28-30	32				
115	36 W	23 N	16	28-18	33				
116	36 W	24 N	18-16	28-30	32				
117	36 W	25 N	16	28-18	32				
118	36 W	26 N	18-16	28-30	33				
119	36 W	27 N	16	28-18	33				
120	36 W	28 N	18-16	28-30	33				
121	Contrôle								
122	36 W	30 N	12	28	32	S			1°
123	36 W	31 N	16	28-18	31				
124	36 W	32 N	12	28	32	N			1°
125	36 W	33 N	13	28-18	31	N			32°
126	36 W	34 N	13	28	32	N	en dessous		70°
127	36 W	35 N	16	28-25	33				
128	36 W	36 N	16	25	32				
129	36 W	37 N	16	28-18	32				
130	36 W	38 N	18-16	29	33				
131	36 W	39 N	16	28-18	33				
132	36 W	40 N	18-16	29	33				
133	36 W	41 N	16	28-18	33				
134	36 W	42 N	18-16	29	33				
135	36 W	43 N	16	28-18	33				
136	36 W	44 N	18-16	29	33				
137	36 W	45 N	12	28-18	32	N			2°
138	36 W	48 N	18-16	29	34				
139	36 W	47 N	16	28-18	31				
140	36 W	46 N	18-16	29	32				
141	32 W	48 N	18-16	29	33				
142	32 W	47 N	16	28-25	32			poss. 51	
143	32 W	46 N	18-16	17-28	32				
144	32 W	45 N	16	28-18	32				

Numéro	Ligne	Station	Topo.	Environ.	Drainage	Dir.	Affl.	Contam.	Pente
145	32 W	44 N	18-16	28	32				
146	32 W	43 N	16	28-18	32				
147	32 W	42 N	18-16	28-30	32				
148	32 W	41 N	16	28-18	31				
149	32 W	40 N	18-16	26	32				
150	32 W	39 N	16	28-18	31	S			2°
151	Contrôle								
152	32 W	37 N	16	28-18	31				
153	32 W	36 N	17	26-29	32				
154	32 W	35 N	14	28-18	32	N			20°
155	32 W	34 N	13	26	32	N	41		45°
156	32 W	33 N	11	28-18	32				
157	32 W	32 N	11	26	31				
158	32 W	31 N	13	28-18	31	S			30°
159	32 W	30 N	14	28-18	31	S		poss. 51	30°
160	32 W	29 N	18-16	28	32				
161	32 W	28 N	18-16	28	32				
162	32 W	27 N	16	28-18	32				
163	32 W	26 N	12	28-18	32	S			5°
164	32 W	25 N	18-16	28	32				
165	32 W	24 N	12	28	32	S			1°
166	32 W	23 N	16	28-30	32				
167	32 W	22 N	12	28-30	32	N			
168	32 W	21 N	16	28	32	E			1°
169	32 W	20 N	16	28	32				
170	28 W	20 N	16-18	28	32				
171	28 W	21 N	16	28-18	34				
172	28 W	22 N	16-18	28	32				
173	28 W	23 N	12	28-18	33	N			<5°
174	28 W	24 N	16-18	28	33				
175	28 W	25 N	16	28-18	32				
176	28 W	26 N	16-18	28	32				
177	28 W	27 N	16	28-18	33				
178	28 W	28 N	16-18	28	32				
179	28 W	29 N	16	28-18	32				
180	28 W	(31)30 N	12	28	32	S			2°



Résultats d'analyse sur les  
échantillons d'humus de la  
zone "C"

BOREAL  
51 RUE PERREault EST  
ROUYN NORANDA, PQ  
J9X 3C1

RÉSULTATS

ZONE SUD-OUEST

- T # 1 : Échantillons de contrôle (Site )  
T # 2 : Échantillons de contrôle (Site Marcelle)

RAPPORT: C88-66472.0

PROJET: 88009

PAGE 1A

NUMERO DE L'ÉCHANTILLON	ÉLÉMENT UNITÉS	Cu PPM	Au PPB	Sb PPM	As PPM	Ba PPM	Cd PPM	Br PPM	Cr PPM	Co PPM	Ir PPB	Mo PPM
02 C-001		14	<1	0.4	3.0	150	<2	18	14	4	<20	1.1
02 C-002		4	<1	0.2	2.0	55	<2	12	27	<2	<20	<0.5
02 C-003		14	<1	0.3	3.1	120	2	13	19	<2	<20	0.9
02 C-004 (T #2)		62	3	0.4	11.0	130	<2	14	<10	5	<20	0.9
02 C-005		20	3	0.1	2.1	260	<2	8	41	4	<20	0.8
02 C-006		9	<1	0.9	4.9	150	<2	7	<10	<2	<20	<0.5
02 C-007		17	<1	0.3	2.8	270	<2	15	51	9	<20	1.2
02 C-008		10	1	0.4	2.9	130	<2	12	<10	<2	<20	0.8
02 C-009		15	<1	0.2	2.7	240	<2	11	29	4	<20	1.4
02 C-010		13	<1	0.2	2.6	230	<2	16	49	5	<20	1.5
02 C-011 (T #2)		38	259	0.3	19.0	130	<2	9	23	9	<20	1.0
02 C-012		12	<1	0.2	2.8	110	<2	12	25	3	<20	1.2
02 C-013		17	<1	0.2	3.1	230	<2	21	64	23	<20	3.8
02 C-014		18	<1	0.2	2.0	150	<2	17	42	3	<20	0.7
02 C-015		3	<1	<0.1	0.8	<50	<2	10	<10	<2	<20	<0.5
02 C-016		3	<1	0.1	1.5	<50	<2	11	<10	<2	<20	<0.5
02 C-017		30	<1	0.1	1.6	100	<2	16	13	<2	<20	1.3
02 C-018		35	<1	0.5	3.5	110	<2	6	33	8	<20	0.7
02 C-019		12	<1	0.6	3.3	65	<2	10	23	<2	<20	0.9
02 C-020		11	<1	0.4	3.3	100	<2	9	<10	<2	<20	0.8
02 C-021 (T #2)		16	1	0.4	3.2	<50	<2	11	<10	<2	<20	0.6
02 C-022		12	<1	0.6	2.8	120	<2	9	22	<2	<20	0.9
02 C-023		13	<1	0.2	4.0	180	<2	21	28	4	<20	1.0
02 C-024		8	<1	0.3	2.4	140	<2	8	18	<2	<20	0.5
02 C-025		15	<1	0.1	1.7	150	<2	14	36	<2	<20	1.1
02 C-026		8	<1	0.4	3.4	82	2	8	<10	<2	<20	<0.5
02 C-027		7	<1	0.4	2.4	100	<2	8	22	<2	<20	<0.5
02 C-028		20	<1	0.6	3.9	57	<2	10	15	4	<20	1.0
02 C-029		6	<1	0.2	2.8	130	<2	13	<10	<2	<20	<0.5
02 C-030		11	<1	0.5	3.9	<50	<2	9	35	6	<20	<0.5
02 C-031		16	1	0.5	2.2	180	<2	14	21	3	<20	0.9
02 C-032 (T #1)		17	<1	0.3	2.8	240	<2	8	64	5	<20	<0.5
02 C-033		12	4	0.7	3.2	140	<2	6	29	<2	<20	1.1
02 C-034		12	<1	0.5	3.7	110	<2	13	<10	3	<20	1.1
02 C-035		17	<1	0.4	3.3	150	<2	11	26	4	<20	1.0
02 C-036		10	<1	0.4	3.4	81	<2	11	11	<2	<20	0.5
02 C-037		7	<1	0.3	2.7	120	<2	13	10	<2	<20	0.8
02 C-038		15	<1	0.8	2.5	160	<2	10	22	<2	<20	0.7
02 C-039		7	<1	0.3	3.2	110	<2	11	<10	<2	<20	<0.5
02 C-040		9	<1	0.3	3.7	150	<2	9	26	2	<20	0.7

RAPPORT: C88-66472.0

PROJET: 88009

PAGE 1B

NUMÉRO DE L'ÉCHANTILLON	ÉLÉMENT UNITÉS	Ni PPM	Se PPM	Ag PPM	Ta PPM	Th PPM	W PPM	U PPM	Zn PPM
02 C-001		<10	<5	<2	<0.5	2.4	<1	0.6	63
02 C-002		<10	<5	<2	<0.5	0.7	<1	0.1	73
02 C-003		<10	<5	<2	<0.5	0.8	<1	0.3	79
02 C-004 (T#2)		<10	<5	<2	<0.5	3.4	<1	1.2	<50 T
02 C-005		10	<5	<2	<0.5	1.4	<1	0.5	<50
02 C-006		<10	<5	<2	<0.5	0.7	<1	0.2	80
02 C-007		<10	<5	<2	<0.5	4.4	<1	1.2	<50
02 C-008		<10	<5	<2	<0.5	2.2	<1	0.3	67
02 C-009		<10	<5	<2	<0.5	3.9	<1	0.6	120
02 C-010		20	<5	<2	<0.5	4.9	<1	1.2	97
02 C-011 (T#2)		13	<5	<2	<0.5	2.3	<1	0.9	<50 T
02 C-012		<10	<5	<2	<0.5	3.3	<1	0.8	90
02 C-013		<10	<5	<2	<0.5	6.9	<1	6.4	110
02 C-014		14	<5	<2	<0.5	5.1	<1	0.8	69
02 C-015		<10	<5	<2	<0.5	<0.5	<1	<0.1	<50
02 C-016		<10	<5	<2	<0.5	<0.5	<1	<0.1	<50
02 C-017		<10	<5	<2	<0.5	0.9	<1	0.3	<50
02 C-018		11	<5	<2	<0.5	1.2	<1	0.5	130
02 C-019		<10	<5	<2	<0.5	<0.5	<1	0.2	110
02 C-020		<10	<5	<2	<0.5	<0.5	<1	0.1	86
02 C-021 (T#2)		<10	<5	<2	<0.5	<0.5	<1	0.2	69 T
02 C-022		<10	<5	<2	<0.5	1.1	<1	0.3	68
02 C-023		<10	<5	<2	<0.5	2.3	<1	0.5	110
02 C-024		<10	<5	<2	<0.5	1.4	<1	0.3	87
02 C-025		<10	<5	<2	<0.5	4.9	<1	1.0	79
02 C-026		<10	<5	<2	<0.5	<0.5	<1	<0.1	81
02 C-027		<10	<5	<2	<0.5	0.7	<1	0.2	110
02 C-028		<10	<5	<2	<0.5	0.5	<1	0.2	66
02 C-029		<10	<5	<2	<0.5	0.6	<1	0.1	54
02 C-030		14	<5	<2	<0.5	<0.5	<1	0.2	90
02 C-031		<10	<5	<2	<0.5	1.4	<1	0.4	86
02 C-032 (T#1)		20	<5	<2	<0.5	3.9	<1	0.6	120 T
02 C-033		<10	<5	<2	<0.5	1.1	<1	0.4	75
02 C-034		11	<5	<2	<0.5	1.9	<1	0.3	56
02 C-035		11	<5	<2	<0.5	4.0	<1	0.5	<50
02 C-036		<10	<5	<2	<0.5	0.7	<1	0.2	100
02 C-037		<10	<5	<2	<0.5	1.1	<1	0.3	52
02 C-038		<10	<5	<2	<0.5	1.0	<1	0.3	110
02 C-039		<10	<5	<2	<0.5	<0.5	<1	0.2	63
02 C-040		<10	<5	<2	<0.5	1.2	<1	0.3	<50



RAPPORT: C88-66472.0

PROJET: 88009

PAGE 2A

NUMÉRO DE L'ÉCHANTILLON	ÉLÉMENT UNITÉS	Cu PPM	Au PPB	Sb PPM	As PPM	Ba PPM	Cd PPM	Br PPM	Cr PPM	Co PPM	Ir PPB	Mo PPM
02 C-041	(T#2)	18	11	0.9	5.1	81	<2	14	<10	4	<20	0.8
02 C-042		14	<1	0.8	4.0	110	<2	10	17	2	<20	1.0
02 C-043		9	<1	0.3	2.6	70	<2	10	<10	<2	<20	0.5
02 C-044		10	<1	0.2	1.7	91	<2	12	13	<2	<20	1.1
02 C-045		16	<1	0.3	4.1	210	<2	17	36	60	<20	2.8
02 C-046		8	<1	0.6	2.7	93	<2	9	10	<2	<20	0.7
02 C-047		16	1	0.2	1.9	210	<2	13	45	4	<20	<0.5
02 C-048		17	1	0.2	1.6	180	<2	10	27	4	<20	<0.5
02 C-049		16	<1	0.4	2.2	170	2	9	44	3	<20	1.1
02 C-050	(T#2)	17	6	0.7	4.3	<50	<2	10	<10	2	<20	0.9
02 C-051		14	1	0.4	3.0	56	<2	17	11	3	<20	0.7
02 C-052		9	1	0.4	2.8	<50	<2	14	<10	3	<20	0.6
02 C-053		10	2	0.6	2.9	65	<2	7	14	<2	<20	1.0
02 C-054		21	2	0.5	2.7	<50	3	11	<10	<2	<20	0.7
02 C-055		9	1	0.7	4.7	76	<2	12	<10	<2	<20	0.6
02 C-056		11	1	0.6	4.9	52	<2	14	<10	2	<20	0.6
02 C-057		16	2	0.5	1.9	<50	<2	9	<10	<2	<20	0.7
02 C-058		15	2	0.6	2.9	<50	<2	8	<10	<2	<20	1.1
02 C-059		10	<1	0.4	2.7	<50	<2	15	<10	3	<20	<0.5
02 C-060	(T#2)	98	40	0.2	11.0	180	<2	11	20	6	<20	1.3
02 C-061		9	<1	0.4	3.5	<50	<2	16	11	<2	<20	0.7
02 C-062		5	<1	0.1	1.0	<50	<2	11	<10	<2	<20	1.3
02 C-063		10	2	0.8	2.2	53	<2	5	11	<2	<20	0.8
02 C-064		7	2	0.4	3.0	<50	<2	9	<10	<2	<20	1.0
02 C-065		5	<1	0.7	3.2	<50	<2	10	<10	<2	<20	0.9
02 C-066		14	<1	0.3	1.4	<50	<2	8	<10	<2	<20	0.7
02 C-067		15	2	0.5	3.1	<50	<2	10	<10	<2	<20	0.8
02 C-068		15	1	0.9	3.4	120	3	8	16	<2	<20	1.1
02 C-069		15	3	0.9	3.3	58	<2	15	<10	<2	<20	0.9
02 C-070	(T#1)	16	3	0.7	2.9	200	<2	6	34	<2	<20	1.3
02 C-071		9	<1	0.6	3.8	63	<2	10	<10	<2	<20	0.9
02 C-072		13	2	0.6	4.2	90	<2	21	<10	4	<20	0.9
02 C-073		11	<1	0.6	3.2	54	<2	13	15	2	<20	<0.5
02 C-074		7	<1	0.6	3.0	65	<2	7	<10	<2	<20	<0.5
02 C-075		11	2	0.6	2.9	<50	<2	8	<10	<2	<20	0.7
02 C-076		6	1	0.3	3.0	<50	<2	7	<10	<2	<20	<0.5
02 C-077		7	<1	0.4	3.0	65	<2	17	<10	<2	<20	0.6
02 C-078		6	<1	0.4	3.4	<50	<2	11	<10	<2	<20	0.7
02 C-079		12	<1	0.5	5.2	54	<2	25	12	2	<20	0.8
02 C-080		8	<1	0.4	3.7	<50	<2	18	<10	3	<20	<0.5

RAPPORT: C88-66472.0

PROJET: 88009

PAGE 2B

NUMÉRO DE L'ÉCHANTILLON	ÉLÉMENT UNITÉS	Ni PPM	Se PPM	Ag PPM	Ta PPM	Th PPM	W PPM	U PPM	Zn PPM
02 C-041	(T#2)	<10	<5	<2	<0.5	<0.5	<1	0.1	96 T
02 C-042		<10	<5	<2	<0.5	1.0	<1	0.2	64
02 C-043		<10	<5	<2	<0.5	0.6	<1	0.5	74
02 C-044		<10	<5	<2	<0.5	1.6	<1	1.1	88
02 C-045		<10	<5	<2	<0.5	3.1	<1	1.2	<50
02 C-046		<10	<5	<2	<0.5	<0.5	<1	0.1	130
02 C-047		<10	<5	<2	<0.5	4.3	<1	1.4	71
02 C-048		<10	<5	<2	<0.5	2.9	<1	0.7	110
02 C-049		16	<5	<2	<0.5	1.7	<1	0.4	120
02 C-050	(T#2)	<10	<5	<2	<0.5	<0.5	<1	0.2	68 T
02 C-051		11	<5	<2	<0.5	0.6	<1	0.1	130
02 C-052		<10	<5	<2	<0.5	<0.5	<1	0.1	83
02 C-053		<10	<5	<2	<0.5	<0.5	<1	<0.1	92
02 C-054		<10	<5	<2	<0.5	<0.5	<1	<0.1	100
02 C-055		<10	<5	<2	<0.5	0.6	<1	0.2	66
02 C-056		<10	<5	<2	<0.5	0.8	<1	0.1	120
02 C-057		<10	<5	<2	<0.5	<0.5	<1	<0.1	79
02 C-058		<10	<5	<2	<0.5	<0.5	<1	<0.1	140
02 C-059		<10	<5	<2	<0.5	0.8	<1	0.1	64
02 C-060	(T#2)	13	<5	<2	<0.5	3.6	<1	1.2	<50 T
02 C-061		<10	<5	<2	<0.5	<0.5	<1	<0.1	96
02 C-062		<10	<5	<2	<0.5	<0.5	<1	0.1	64
02 C-063		<10	<5	<2	<0.5	<0.5	<1	0.1	110
02 C-064		<10	<5	<2	<0.5	<0.5	<1	<0.1	80
02 C-065		<10	<5	<2	<0.5	<0.5	<1	<0.1	62
02 C-066		<10	<5	<2	<0.5	<0.5	<1	0.1	120
02 C-067		<10	<5	<2	<0.5	<0.5	<1	0.1	110
02 C-068		<10	<5	<2	<0.5	0.7	<1	0.2	100
02 C-069		<10	<5	<2	<0.5	<0.5	<1	<0.1	110
02 C-070	(T#1)	<10	<5	<2	<0.5	1.2	<1	0.5	120 T
02 C-071		<10	<5	<2	<0.5	<0.5	<1	<0.1	110
02 C-072		<10	<5	<2	<0.5	0.9	<1	0.3	86
02 C-073		<10	<5	<2	<0.5	0.8	<1	0.2	140
02 C-074		<10	<5	<2	<0.5	<0.5	<1	0.1	80
02 C-075		<10	<5	<2	<0.5	<0.5	<1	0.2	120
02 C-076		<10	<5	<2	<0.5	<0.5	<1	<0.1	100
02 C-077		<10	<5	<2	<0.5	0.6	<1	0.1	80
02 C-078		<10	<5	<2	<0.5	<0.5	<1	<0.1	85
02 C-079		<10	<5	<2	<0.5	0.9	<1	0.3	80
02 C-080		<10	<5	<2	<0.5	<0.5	<1	0.1	93

RAPPORT: C88-66472.0

PROJET: 88009

PAGE 3A

NUMÉRO DE L'ÉCHANTILLON	ÉLÉMENT UNITÉS	Cu PPM	Au PPB	Sb PPM	As PPM	Ba PPM	Cd PPM	Br PPM	Cr PPM	Co PPM	Ir PPB	Mo PPM
02 C-081		11	2	0.6	4.6	<50	2	10	15	8	<20	<0.5
02 C-082		10	<1	0.7	4.4	69	<2	12	13	<2	<20	0.8
02 C-083		4	1	0.1	2.3	79	<2	11	<10	<2	<20	<0.5
02 C-084		7	<1	0.3	2.1	<50	<2	12	<10	<2	<20	0.9
02 C-085		9	1	0.5	3.5	<50	<2	8	14	<2	<20	<0.5
02 C-086		7	1	0.7	2.1	75	<2	4	11	<2	<20	0.9
02 C-087		10	<1	0.4	2.9	64	<2	10	12	<2	<20	0.6
02 C-088		15	1	1.0	5.5	<50	2	9	<10	<2	<20	1.3
02 C-089		13	2	1.0	3.4	82	<2	7	14	<2	<20	1.1
02 C-090		11	<1	0.5	3.4	<50	<2	9	12	<2	<20	<0.5
02 C-091		12	2	0.8	3.8	81	<2	10	<10	<2	<20	0.9
02 C-092		11	<1	0.4	3.4	<50	<2	8	20	4	<20	0.8
02 C-093		9	<1	0.7	4.3	74	<2	15	<10	2	<20	1.0
02 C-094		10	2	0.6	2.9	64	<2	9	<10	<2	<20	0.9
02 C-095		10	2	0.6	4.1	<50	<2	11	<10	<2	<20	1.0
02 C-096		15	2	0.4	2.9	<50	<2	11	<10	<2	<20	1.1
02 C-097		15	<1	0.4	4.8	110	3	20	<10	6	<20	2.4
02 C-098		8	<1	0.5	2.9	<50	<2	16	<10	<2	<20	0.7
02 C-099		19	<1	<0.1	1.7	330	<2	19	75	16	<20	2.7
02 C-100		8	1	0.7	3.2	55	<2	7	<10	<2	<20	0.7
02 C-101	(T#1)	25	3	0.7	3.1	120	<2	7	27	<2	<20	1.1
02 C-102		8	2	0.7	3.1	72	<2	6	<10	<2	<20	1.0
02 C-103		13	3	0.6	7.5	<50	3	17	<10	5	<20	1.4
02 C-104		6	<1	0.9	2.2	<50	<2	4	<10	<2	<20	0.8
02 C-105		10	1	0.4	2.6	<50	<2	6	16	<2	<20	<0.5
02 C-106		7	<1	0.4	2.2	84	<2	6	<10	<2	<20	0.8
02 C-107		9	<1	0.7	3.4	<50	<2	9	<10	<2	<20	<0.5
02 C-108		13	2	0.5	4.2	54	3	15	<10	4	<20	0.8
02 C-109		10	2	0.5	4.4	<50	<2	20	11	3	<20	1.5
02 C-110		6	<1	0.5	2.9	<50	<2	13	<10	<2	<20	0.6
02 C-111		5	<1	0.5	2.4	71	<2	8	<10	<2	<20	0.5
02 C-112		11	1	0.9	2.0	100	<2	4	10	<2	<20	0.7
02 C-113		9	<1	0.8	3.4	100	<2	7	<10	<2	<20	0.6
02 C-114		12	<1	0.5	3.2	82	<2	13	10	2	<20	1.0
02 C-115		14	2	0.8	2.9	82	<2	13	<10	3	<20	0.7
02 C-116		6	<1	0.4	2.7	140	<2	9	<10	<2	<20	0.8
02 C-117		8	<1	0.6	3.1	110	<2	10	<10	3	<20	1.1
02 C-118		12	1	0.4	1.8	78	<2	8	24	<2	<20	0.6
02 C-119		26	<1	0.3	3.1	290	<2	14	86	5	<20	1.2
02 C-120		8	1	0.4	3.2	90	<2	14	11	<2	<20	<0.5

RAPPORT: C88-66472.0

PROJET: 88009

PAGE 3B

NUMÉRO DE L'ÉCHANTILLON	ÉLÉMENT UNITÉS	Ni PPM	Se PPM	Ag PPM	Ta PPM	Th PPM	W PPM	U PPM	Zn PPM
02 C-081		<10	<5	<2	<0.5	0.6	<1	0.2	64
02 C-082		<10	<5	<2	<0.5	<0.5	<1	<0.1	70
02 C-083		<10	<5	<2	<0.5	<0.5	<1	<0.1	65
02 C-084		<10	<5	<2	<0.5	0.6	<1	0.2	84
02 C-085		<10	<5	<2	<0.5	<0.5	<1	<0.1	110
02 C-086		<10	<5	<2	<0.5	<0.5	<1	0.2	100
02 C-087		<10	<5	<2	<0.5	<0.5	<1	<0.1	95
02 C-088		<10	<5	<2	<0.5	<0.5	<1	0.2	99
02 C-089		<10	<5	<2	<0.5	<0.5	<1	0.2	130
02 C-090		<10	<5	<2	<0.5	<0.5	<1	0.2	110
02 C-091		<10	<5	<2	<0.5	<0.5	<1	0.1	210
02 C-092		<10	<5	<2	<0.5	<0.5	<1	0.1	91
02 C-093		<10	<5	<2	<0.5	0.8	<1	0.3	81
02 C-094		<10	<5	<2	<0.5	0.8	<1	0.2	80
02 C-095		<10	<5	<2	<0.5	<0.5	<1	0.3	130
02 C-096		<10	<5	<2	<0.5	<0.5	<1	<0.1	130
02 C-097		<10	<5	<2	<0.5	2.0	<1	1.6	56
02 C-098		<10	<5	<2	<0.5	<0.5	<1	0.3	120
02 C-099		<10	<5	<2	<0.5	11.0	<1	3.3	110
02 C-100		<10	<5	<2	<0.5	<0.5	<1	0.1	61
02 C-101	(T#1)	<10	<5	<2	<0.5	1.0	<1	0.4	89 T
02 C-102		<10	<5	<2	<0.5	<0.5	<1	<0.1	100
02 C-103		<10	<5	<2	<0.5	<0.5	<1	0.2	120
02 C-104		<10	<5	<2	<0.5	<0.5	<1	<0.1	110
02 C-105		<10	<5	<2	<0.5	<0.5	<1	0.1	120
02 C-106		<10	<5	<2	<0.5	<0.5	<1	<0.1	<50
02 C-107		<10	<5	<2	<0.5	<0.5	<1	<0.1	140
02 C-108		<10	<5	<2	<0.5	<0.5	<1	0.2	140
02 C-109		<10	<5	<2	<0.5	0.5	<1	0.2	110
02 C-110		<10	<5	<2	<0.5	<0.5	<1	<0.1	150
02 C-111		<10	<5	<2	<0.5	<0.5	<1	<0.1	88
02 C-112		<10	<5	<2	<0.5	<0.5	<1	0.2	76
02 C-113		<10	<5	<2	<0.5	0.7	<1	0.2	140
02 C-114		<10	<5	<2	<0.5	1.6	<1	0.3	74
02 C-115		10	<5	<2	<0.5	1.3	<1	0.4	150
02 C-116		<10	<5	<2	<0.5	<0.5	<1	<0.1	100
02 C-117		<10	<5	<2	<0.5	0.5	<1	0.2	100
02 C-118		<10	<5	<2	<0.5	1.3	<1	0.3	83
02 C-119		13	<5	<2	0.6	7.8	<1	1.2	110
02 C-120		<10	<5	<2	<0.5	0.7	<1	0.3	86

RAPPORT: C88-66472.0

PROJET: 88009

PAGE 4A

NUMÉRO DE L'ÉCHANTILLON	ÉLÉMENT UNITÉS	Cu PPM	Au PPB	Sb PPM	As PPM	Ba PPM	Cd PPM	Br PPM	Cr PPM	Co PPM	Ir PPB	Mo PPM
02 C-121	(T#1)	24	1	0.6	3.3	150	<2	9	11	2	<20	0.9
02 C-122		10	<1	0.5	3.5	110	<2	12	<10	2	<20	1.4
02 C-123		12	<1	0.5	3.7	130	<2	10	31	<2	<20	1.0
02 C-124		7	<1	0.5	3.2	95	<2	11	<10	<2	<20	<0.5
02 C-125		12	2	0.7	3.4	87	<2	10	17	<2	<20	0.6
02 C-126		13	<1	0.7	3.3	58	<2	9	12	<2	<20	0.8
02 C-127		19	<1	0.5	3.3	230	<2	11	33	12	<20	<0.5
02 C-128		16	3	0.5	3.3	160	<2	13	29	8	<20	1.1
02 C-129		8	<1	0.5	2.9	63	<2	12	<10	<2	<20	0.6
02 C-130		12	3	0.6	2.7	<50	<2	11	<10	<2	<20	<0.5
02 C-131		8	<1	0.7	2.6	<50	<2	13	11	<2	<20	<0.5
02 C-132		10	3	0.4	2.8	<50	<2	22	<10	<2	<20	0.8
02 C-133		13	4	0.8	3.1	110	<2	17	19	<2	<20	0.9
02 C-134		6	<1	0.5	2.3	87	<2	6	<10	<2	<20	<0.5
02 C-135		16	<1	0.4	3.5	130	<2	24	23	5	<20	0.9
02 C-136		11	<1	0.5	3.4	69	<2	16	11	2	<20	0.9
02 C-137		21	<1	0.2	3.5	200	<2	18	46	11	<20	1.1
02 C-138		28	<1	0.2	1.9	410	<2	13	65	9	<20	1.6
02 C-139		7	<1	0.5	2.8	<50	<2	8	<10	<2	<20	0.9
02 C-140		12	<1	0.5	2.8	82	<2	13	<10	3	<20	<0.5
02 C-141		5	<1	<0.1	<0.5	54	<2	9	<10	<2	<20	1.6
02 C-142		35	<1	0.2	2.5	510	<2	9	120	13	<20	1.9
02 C-143		15	1	0.3	2.7	160	<2	9	38	4	<20	0.6
02 C-144		11	<1	0.7	3.0	95	<2	11	<10	4	<20	0.6
02 C-145		16	3	1.2	4.3	72	2	7	10	<2	<20	1.8
02 C-146		17	2	0.6	3.9	<50	3	15	<10	<2	<20	1.0
02 C-147		9	1	0.4	1.9	55	<2	10	<10	<2	<20	0.7
02 C-148		10	1	0.6	3.6	<50	<2	10	<10	<2	<20	0.8
02 C-149		11	1	0.2	0.8	63	<2	6	<10	<2	<20	<0.5
02 C-150		11	2	0.7	4.0	<50	<2	10	<10	<2	<20	0.7
02 C-151	(T#1)	16	9	1.0	4.1	180	<2	6	35	<2	<20	1.5
02 C-152		12	<1	0.5	3.7	<50	2	11	<10	2	<20	0.7
02 C-153		11	2	0.4	2.3	<50	<2	11	<10	<2	<20	0.6
02 C-154		6	1	0.3	2.4	84	<2	10	15	<2	<20	0.5
02 C-155		7	3	0.6	2.6	62	<2	8	57	3	<20	0.7
02 C-156		8	1	0.4	3.1	73	<2	12	15	<2	<20	<0.5
02 C-157		14	2	0.8	2.4	92	<2	9	19	<2	<20	1.0
02 C-158		7	<1	0.5	2.0	72	<2	7	<10	<2	<20	<0.5
02 C-159		7	<1	<0.1	1.2	110	<2	17	24	4	<20	0.7
02 C-160		15	2	0.5	2.2	71	<2	12	<10	<2	<20	1.1

RAPPORT: C88-66472.0

PROJET: 88009

PAGE 4B

NUMÉRO DE L'ÉCHANTILLON	ÉLÉMENT UNITÉS	Ni PPM	Se PPM	Ag PPM	Ta PPM	Th PPM	W PPM	U PPM	Zn PPM
02 C-121	(T#1)	<10	<5	<2	<0.5	0.8	<1	0.3	110 T
02 C-122		<10	<5	<2	<0.5	0.6	<1	0.3	70
02 C-123		<10	<5	<2	<0.5	1.3	<1	0.3	89
02 C-124		<10	<5	<2	<0.5	<0.5	<1	<0.1	180
02 C-125		<10	<5	<2	<0.5	<0.5	<1	0.2	130
02 C-126		<10	<5	<2	<0.5	<0.5	<1	0.2	84
02 C-127		<10	<5	<2	<0.5	4.1	<1	0.9	83
02 C-128		11	<5	<2	<0.5	3.2	<1	0.6	74
02 C-129		<10	<5	<2	<0.5	<0.5	<1	0.1	140
02 C-130		<10	<5	<2	<0.5	<0.5	<1	0.2	140
02 C-131		<10	<5	<2	<0.5	<0.5	<1	0.2	160
02 C-132		<10	<5	<2	<0.5	0.5	<1	0.2	150
02 C-133		<10	<5	<2	<0.5	2.4	<1	0.5	130
02 C-134		<10	<5	<2	<0.5	<0.5	<1	<0.1	97
02 C-135		12	<5	<2	<0.5	2.4	<1	0.7	140
02 C-136		<10	<5	<2	<0.5	1.2	<1	0.6	90
02 C-137		10	<5	<2	<0.5	5.2	<1	2.6	120
02 C-138		<10	<5	<2	<0.5	10.0	<1	6.7	81
02 C-139		<10	<5	<2	<0.5	<0.5	<1	<0.1	110
02 C-140		<10	<5	<2	<0.5	1.8	<1	1.1	99
02 C-141		<10	<5	<2	<0.5	<0.5	<1	0.5	65
02 C-142		38	<5	<2	0.6	13.0	<1	10.1	150
02 C-143		<10	<5	<2	<0.5	2.3	<1	0.6	140
02 C-144		<10	<5	<2	<0.5	1.4	<1	0.4	120
02 C-145		<10	<5	<2	<0.5	0.9	<1	0.2	180
02 C-146		<10	<5	<2	<0.5	<0.5	<1	<0.1	170
02 C-147		<10	<5	<2	<0.5	<0.5	<1	<0.1	160
02 C-148		<10	<5	<2	<0.5	<0.5	<1	<0.1	97
02 C-149		<10	<5	<2	<0.5	<0.5	<1	<0.1	92
02 C-150		<10	<5	<2	<0.5	<0.5	<1	0.1	130
02 C-151	(T#1)	<10	<5	<2	<0.5	1.0	<1	0.4	70 T
02 C-152		<10	<5	<2	<0.5	1.2	<1	0.4	110
02 C-153		<10	<5	<2	<0.5	<0.5	<1	0.1	93
02 C-154		<10	<5	<2	<0.5	<0.5	<1	0.1	92
02 C-155		<10	<5	<2	<0.5	0.8	<1	0.4	56
02 C-156		<10	<5	<2	<0.5	<0.5	<1	0.1	160
02 C-157		<10	<5	<2	<0.5	<0.5	<1	0.1	99
02 C-158		<10	<5	<2	<0.5	<0.5	<1	<0.1	100
02 C-159		<10	<5	<2	<0.5	1.3	<1	0.2	160
02 C-160		<10	<5	<2	<0.5	<0.5	<1	0.1	190

RAPPORT: C88-66472.0

PROJET: 88009

PAGE 5A

NUMÉRO DE L'ÉCHANTILLON	ÉLÉMENT UNITÉS	Cu PPM	Au PPB	Sb PPM	As PPM	Ba PPM	Cd PPM	Br PPM	Cr PPM	Co PPM	Ir PPB	Mo PPM
02 C-161		10	<1	0.5	3.2	74	<2	10	<10	<2	<20	1.1
02 C-162		16	3	0.6	4.3	200	<2	15	37	34	<20	2.5
02 C-163		17	2	0.9	3.3	110	<2	11	16	<2	<20	1.6
02 C-164		9	<1	0.6	3.4	120	<2	11	<10	<2	<20	<0.5
02 C-165		11	2	0.5	2.3	120	<2	10	12	<2	<20	0.9
02 C-166		17	<1	0.3	2.8	280	<2	8	57	14	<20	2.6
02 C-167		13	<1	0.5	3.1	260	<2	8	41	3	<20	1.0
02 C-168		13	<1	0.6	2.5	150	<2	10	22	5	<20	0.7
02 C-169		17	1	0.7	4.0	160	<2	10	30	3	<20	1.7
02 C-170		11	2	0.8	3.7	<50	<2	14	<10	<2	<20	0.9
02 C-171		16	<1	0.1	1.6	210	<2	12	51	6	<20	2.2
02 C-172		20	3	0.7	3.9	93	<2	16	<10	2	<20	1.4
02 C-173		12	<1	0.4	3.9	230	<2	16	35	3	<20	1.0
02 C-174		12	1	0.4	3.5	82	<2	16	24	2	<20	1.1
02 C-175		12	1	0.7	3.1	100	<2	7	<10	<2	<20	0.9
02 C-176		13	2	0.8	6.7	70	<2	15	<10	<2	<20	1.5
02 C-177		15	<1	0.3	3.1	150	<2	17	29	17	<20	1.8
02 C-178		11	<1	0.6	3.0	56	<2	11	<10	<2	<20	1.5
02 C-179		18	<1	0.5	2.6	150	<2	12	31	6	<20	0.8
02 C-180		8	<1	0.2	1.8	200	<2	9	39	<2	<20	0.5
02 C-181		5	<1	0.4	2.4	61	<2	9	<10	2	<20	<0.5
02 C-182		15	3	0.8	4.6	74	<2	11	<10	<2	<20	<0.5
02 C-183		8	<1	0.8	2.5	<50	<2	5	<10	<2	<20	0.5
02 C-184		7	2	0.5	2.9	60	<2	10	<10	<2	<20	<0.5
02 C-185		18	<1	0.2	2.3	250	<2	10	41	4	<20	1.1
02 C-186		12	<1	0.5	3.1	79	<2	11	<10	<2	<20	<0.5
02 C-187		19	<1	0.3	3.6	400	<2	8	100	15	<20	0.8
02 C-188		17	<1	0.7	2.7	69	2	11	<10	<2	<20	1.1
02 C-189		14	<1	0.6	2.4	130	<2	14	15	4	<20	0.8
02 C-190		14	<1	0.3	1.4	69	<2	7	<10	<2	<20	0.6
02 C-191		21	<1	0.3	2.8	310	<2	11	59	5	<20	1.0
02 C-192		21	<1	0.4	3.8	260	2	12	64	8	<20	0.8
02 C-193		5	<1	0.6	2.5	<50	<2	9	<10	<2	<20	<0.5
02 C-194		8	1	0.3	2.4	83	<2	9	19	<2	<20	0.7
02 C-195		15	2	0.7	4.0	110	<2	11	27	3	<20	1.5
02 C-196		10	<1	0.5	4.0	61	<2	20	<10	<2	<20	2.0
02 C-197		6	<1	0.4	4.3	<50	<2	18	<10	<2	<20	1.3
02 C-198		14	1	0.3	2.1	63	<2	10	<10	<2	<20	0.7
02 C-199		11	<1	0.8	5.9	56	<2	14	<10	<2	<20	0.6
02 C-200 (T#1)		15	<1	0.7	3.7	130	<2	9	<10	<2	<20	0.6

RAPPORT: C88-66472.0

PROJET: 88009

PAGE 5B

NUMÉRO DE L'ÉCHANTILLON	ÉLÉMENT UNITÉS	Ni PPM	Se PPM	Ag PPM	Ta PPM	Th PPM	W PPM	U PPM	Zn PPM
02 C-161		<10	<5	<2	<0.5	0.7	<1	0.3	130
02 C-162		<10	<5	<2	<0.5	3.6	<1	1.7	160
02 C-163		<10	<5	<2	<0.5	0.6	<1	0.3	200
02 C-164		<10	<5	<2	<0.5	<0.5	<1	<0.1	160
02 C-165		<10	<5	<2	<0.5	0.6	<1	0.2	99
02 C-166		<10	<5	<2	<0.5	4.4	<1	1.3	110
02 C-167		15	<5	<2	<0.5	2.2	<1	0.5	120
02 C-168		11	<5	<2	<0.5	1.3	<1	0.3	70
02 C-169		<10	<5	<2	<0.5	1.6	<1	0.3	110
02 C-170		<10	<5	<2	<0.5	<0.5	<1	0.1	130
02 C-171		<10	<5	<2	<0.5	5.1	<1	3.7	77
02 C-172		<10	<5	<2	<0.5	0.7	<1	0.2	150
02 C-173		<10	<5	<2	<0.5	3.6	<1	1.6	69
02 C-174		<10	<5	<2	<0.5	1.6	<1	1.2	91
02 C-175		<10	<5	<2	<0.5	<0.5	<1	0.1	130
02 C-176		<10	<5	<2	<0.5	0.5	<1	0.1	220
02 C-177		<10	<5	<2	<0.5	2.7	<1	1.2	67
02 C-178		<10	<5	<2	<0.5	<0.5	<1	0.1	82
02 C-179		<10	<5	<2	<0.5	3.3	<1	0.6	79
02 C-180		<10	<5	<2	<0.5	1.4	<1	0.3	98
02 C-181		<10	<5	<2	<0.5	<0.5	<1	<0.1	68
02 C-182		<10	<5	<2	<0.5	<0.5	<1	0.1	98
02 C-183		<10	<5	<2	<0.5	<0.5	<1	0.1	82
02 C-184		<10	<5	<2	<0.5	<0.5	<1	<0.1	130
02 C-185		<10	<5	<2	<0.5	3.5	<1	0.8	82
02 C-186		<10	<5	<2	<0.5	<0.5	<1	<0.1	130
02 C-187		24	<5	<2	<0.5	7.9	<1	1.6	83
02 C-188		<10	<5	<2	<0.5	<0.5	<1	0.1	110
02 C-189		<10	<5	<2	<0.5	2.4	<1	0.4	80
02 C-190		<10	<5	<2	<0.5	<0.5	<1	<0.1	160
02 C-191		19	<5	<2	<0.5	5.7	<1	1.1	68
02 C-192		13	<5	<2	<0.5	4.0	<1	0.8	140
02 C-193		<10	<5	<2	<0.5	<0.5	<1	<0.1	99
02 C-194		<10	<5	<2	<0.5	1.3	<1	0.3	73
02 C-195		<10	<5	<2	<0.5	1.3	<1	0.4	110
02 C-196		<10	<5	<2	<0.5	0.7	<1	0.8	79
02 C-197		<10	<5	<2	<0.5	<0.5	<1	0.3	61
02 C-198		<10	<5	<2	<0.5	<0.5	<1	<0.1	96
02 C-199		<10	<5	<2	<0.5	<0.5	<1	0.1	130
02 C-200 (T#1)		<10	<5	<2	<0.5	0.5	<1	0.2	100 T



RAPPORT: C88-66472.0

PROJET: 88009

PAGE 6A

NUMÉRO DE L'ÉCHANTILLON	ÉLÉMENT UNITÉS	Cu PPM	Au PPB	Sb PPM	As PPM	Ba PPM	Cd PPM	Br PPM	Cr PPM	Co PPM	Ir PPB	Mo PPM
02 C-201		12	2	0.7	3.8	120	<2	12	10	<2	<20	0.9
02 C-202		19	<1	0.3	4.2	420	3	11	73	32	<20	3.7

**CHIMITEC LEE**

700 Rue Nérée Tremblay  
Ste-Foy, Québec G1N 4H7  
(418) 683-1777  
TÉLEX: 051-3786 LOCAL 272

**CHIMITEC LEE**

RAPPORT D'ANALYSE  
GÉOCHIMIQUE

RAPPORT: C88-66472.0

PROJET: 88009

PAGE 6B

NUMÉRO DE L'ÉCHANTILLON	ÉLÉMENT UNITÉS	Ni PPM	Se PPM	Ag PPM	Ta PPM	Th PPM	W PPM	U PPM	Zn PPM
02 C-201		<10	<5	<2	<0.5	1.4	<1	0.4	120
02 C-202		24	<5	<2	<0.5	6.2	<1	1.6	170

Description de quelques forages  
ayant intercepté des zones  
aurifères dans le Pluton de Dunlop



GÉOMINES LTÉE.

DATE 18/2/88 GÉOLOGUE Ivan Leith

FORÉ PAR Rousseau

DATE 17-02-88 au 21-02-88

DIAMÈTRE B.Q.

POUR Exploration Minière du Nord

PROPRIÉTÉ Isle-Dieu

CLAIM NO 110206-2

CANTON Isle-Dieu

PROJECTION HORIZONTALE 136m VERTICALE 132m

TESTS D'INCLINAISON

PROF.(m)	DIR.	INCL.	PROF.(m)	DIR.	INCL.
collet	210°	-45°			
76,20		-44°			
175,90		-43°			

TROU: 44E-1

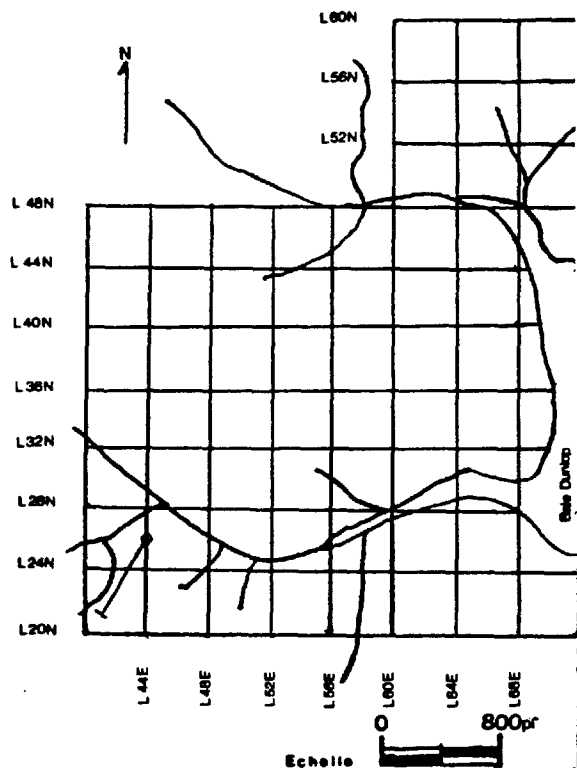
LONGUEUR 175,90m

DIRECTION 210° INCLINAISON -45°

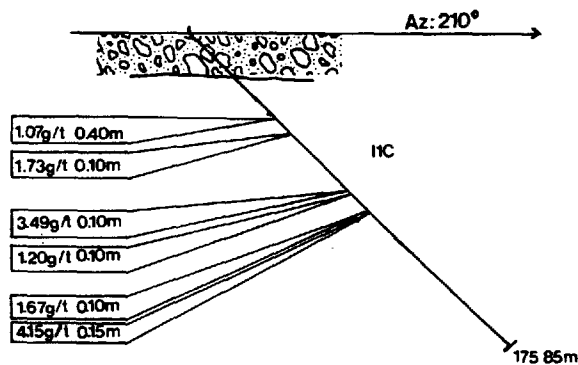
LIGNE 44+00 E STATION 20+50 N

S.N.R.C. 3°/13 ALTIMÉTRIE

LOCALISATION



SECTION

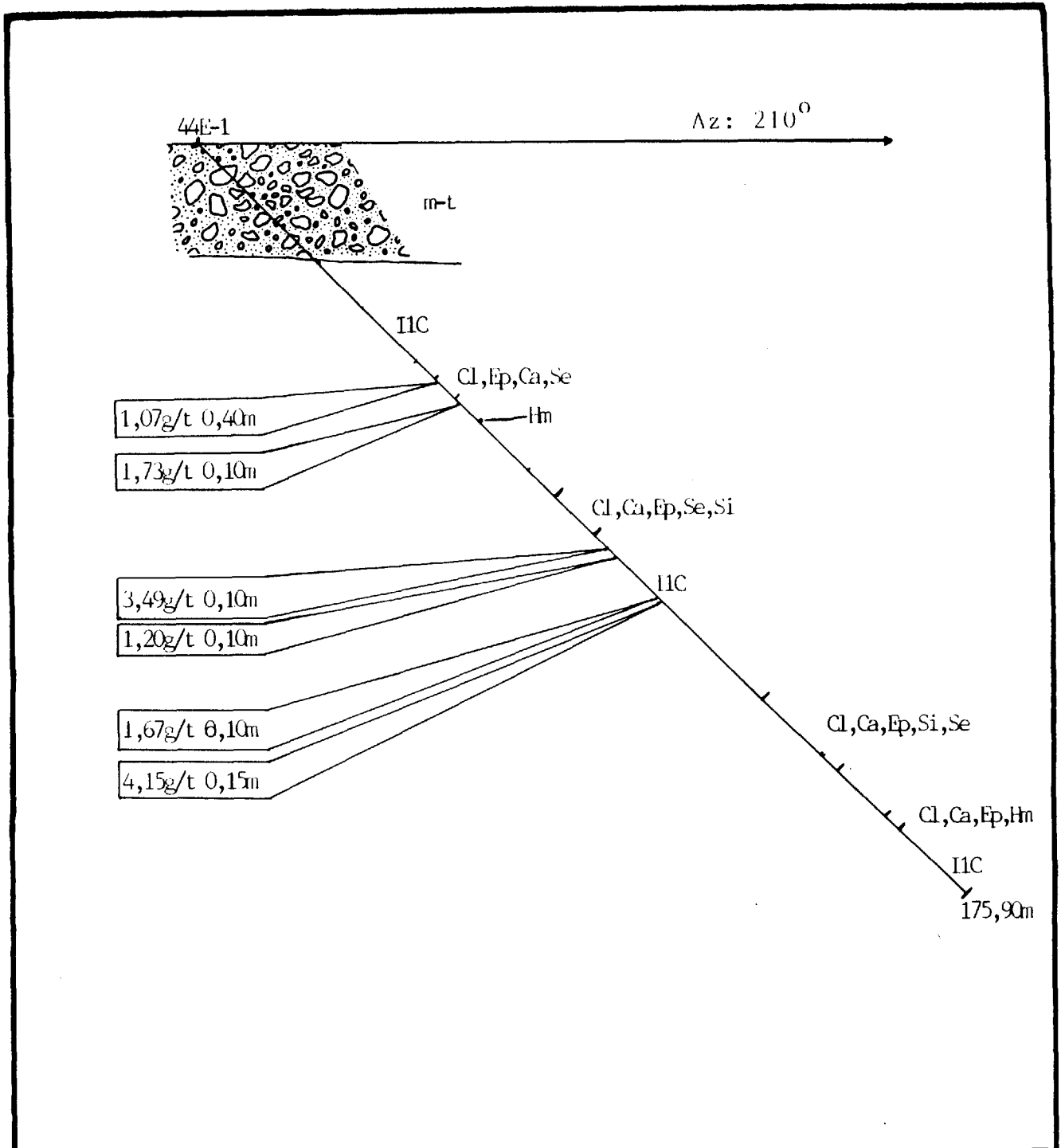


HC granodiorite


Echelle 0 50m

LÉGENDE

- mort-terrain
  - granodiorite
  - Basalte
  - enclave mafique
  - 14000 échantillon
  - bréchique
  - porphyrique
  - pas de structure spécifique
  - v.1 largeur des veines (cm)
  - d.1 largeur des diaclases (cm)
- SYMBOLES**
- Ep Epidotisation
  - Cl chloritisation
  - Ca carbonatation
  - Si silicification
  - Se séricitisation
  - Hm hématisation
  - ..... légèrement altéré
  - moyennement altéré
  - fortement altéré
  - Px Pyroxène
  - Pl plagioclase
  - Py pyrite
  - Cp chalcoppyrite
  - Po pyrrotine
  - Mo molybdénite
  - Mn magnétite



## EXPLORATIONS MINIERES DU NORD LTEE

COUPE DE SONDAGE	COUPE No:	DATE: février 1988
PROJET:	SONDAGE: 44E-1	COLLET: -45°
PROPRIETE: ISLE DIEU	ECHELLE: 1: 1000	RAPPORT:
CANTON: ISLE DIEU	 <b>GÉOMINES LTÉE.</b>	
SECTEUR: Matagami		

CAISSE	RÉC.	DESCRIPTION	PROF. m	LOG	TEXTURE (granulo. Ø) mm	MATRICE (mesostase)	FIGURE STRUCTURE	CIMENT ALTÉR.	MINÉR.	FRACTUR.			TROU: 44E-1		ANALYSES						
										F	D	V	a	L	COTE m	NO.	Cu ppm	Zn ppm	As ppm	Ag ppm	Au ppm
26,82		De 0 à 26,90 m Mort-terrain	27						Py 2-3%	v. 3	1	45	27	18049	157	23	4.5	0.6	194		
		26,90 à 175,90 m Granodiorite de couleur rosâtre à grisâtre, avec des teintes jaunâtres à verdâtres, à grains grossiers. La texture est hypidiomorphe avec des enclaves mafiques décimétriques. La roche est composée de feldspath (plagioclase) saussuritisé, de quartz fumé et de minéraux mafiques (hornblende) chloritisés. La granodiorite présente des passées décimétriques à métriques altérées en chlorite, carbonates, épidote, séricite et silice.	28				PI	Cl Ca Ep Se					28								
1	98%		29										29								
			30										30								
			31						Py 25%	v. 1	1	45	31	18050	30	29	1.0	0.4	5		
			32										32	18051	120	28	3.0	0.4	68		
			33						Py 20%	v. 1	1	60	31	18052	70	26	1.5	0.3	7		
			34						Py 10%	v. 1	1	60	31	18053	112	25	2.5	0.5	737		
			35										32	18054	17	24	2.0	0.3	23		
32,75			36						Py 2%	v. 1	2	60	32	18055	16	27	1.5	0.5	9		
			37										33	18056	16	69	2.0	0.7	18		
			38						Py 5%	v. 1	1	60	33	18057	31	31	2.0	0.6	10		
			39										34	18058	9	27	2.0	0.4	5		
			40						Py 1%	v. 1	2	45	34	18059	9	26	1.5	0.4	4		
2	85%	Les veines, généralement millimétriques, sont composées de chlorite, carbonates, quartz et quelques fois d'épidote.	35										35	18060	49	34	1.0	0.5	5		
		L'orientation des veines est de 45° à 70°/AC en général.	36										36								
		La minéralisation est constituée de pyrite seulement. Celle-ci est concentrée dans les veines.	37											37	18061	14	28	2.0	0.5	7	
37,95			38										38	18062	266	24	21	1.1	38		
			39						Py TA.	v. 1	6	75	39	18063	49	29	4.0	0.7	117		
			40										40	18064	33	35	4.0	0.6	6		
			41										41	18065	126	23	25	0.6	9		
			42						Py TA.	v. 2	1	60	41	18066	29	23	9.5	2.6	303		
			43										42	18067	14	15	6.0	0.4	10		
			44										43	18068	54	29	3.0	0.5	147		
43,65			44										44	18069	14	30	3.0	0.5	6		

CAISSE	RÉC.	DESCRIPTION	PROF. M	LOG	TEXTURE (granulo. Ø) mm 1/256 1/16 1/8 1/4 1 16 64	%MATRICE (mesostase)	FIGURE STRUC- TURE	S <sub>b</sub>	CIMENT ALTER.	MINÉR.	FRACTUR.			TROU: 44E-1		ANALYSES																			
											F	D	S	L	COTE m	NO.	Cu mm	Zn mm	As mm	Aa mm	Au mmh														
																						d	a	M											
4	98%			+					ClCaEpSe	Py 20% Py 10%	U. 2 U. 1	1 3	35 50			45	18070	33	23	2.0	0.5	48													
																46	18071	50	26	3.5	0.6	117													
																47	18072	16	23	15.5	0.4	6													
																47	18073	99	25	10.0	0.6	6													
																47	18074	32	101	7.0	0.6	21													
																48																			
																49																			
																50																			
																51																			
																51																			
5	98%			+					ClCaEpSe	Py TA. Py TA. Py TA. Py 1-50%	U. 1 U. 3 U. 2 U. 2	1 1 1 3	60 40 10 50			49	18075	43	150	143	1.0	201													
																50	18076	46	58	12.0	0.8	40													
																50	18077	113	91	24	1.0	14													
																50	18078	102	49	12.5	1.4	57													
																51	18079	268	25	33	7.2	1067													
																51	18080	75	11	28	0.9	52													
																51	18081	37	52	3.0	0.6	11													
																52																			
																53																			
																54																			
6	85%			+					ClCaEpSe	A 2-3%	U. 1	1	65			55	18082	100	32	3.0	3.3	1153													
																56																			
																57	18083	18	23	1.5	0.3	9													
																58	18084	99	30	3.5	0.5	7													
																59																			
																60	18085	85	29	1.0	0.8	69													
																60	18086	96	29	1.5	1.1	218													
																60	18087	87	25	14.0	11.3	725													
																61	18088	92	30	3.5	0.8	20													
																61	18089	22	24	17.0	0.9	29													
61	18090	37	23	2.5	0.4	10																													

CAISSE	RÉC.	DESCRIPTION	PROF. M	LOG	TEXTURE (granulo. Ø) mm	%MATRICE (mezzase)	FIGURE STRUCTURE	S <sub>b</sub>	CIMENT ALTER.	MINÉR.	FRACTUR.			TROU: 44E-1		ANALYSES							
											F	D	S	L	COTE m	NO.	Cu	Zn	As	Aa	Au		
																	mm	mm	mm	mm	mm		
7	98%		63	+																			
			64	+																			
			65	+					Hm	Py 5%	v. 2	1	60	65	18091	16	30	3.0	0.5		52		
			66	+										66									
			67	+										67									
			68	+										68									
			69	+						Py 2%	v. 5	1	60	69	18092	23	23	2.0	0.5		7		
			70	+										70									
			71	+						Py 12%	v. 1	1	70	71	18093	11	25	1.0	0.4		8		
			72	+										72									
			73	+										73									
			74	+										74	18094	17	29	1.0	0.4		6		
			75	+										75									
			76	+										76									
			77	+						Py 1%	v. 1	1	70	77	18095	11	24	1.5	0.4		6		
			78	+										78	18096	11	23	1.5	0.4		5		
			79	+										79	18097	30	37	3.0	0.5		7		
			80	+										80	18098	183	35	2.0	0.6		5		



CAISSE	RÉC.	DESCRIPTION	PROF. m	LOG	TEXTURE (granulo. Ø) mm				MATRICE (mesostase)	FIGURE STRUC- TURE	SP	CIMENT ALTER.	MINÉR.	FRACTUR.			TROU:		ANALYSES																			
					F	D	S	d						a	L	M	COTE m	NO.	Cu ppm	Zn ppm	As ppm	Ag ppm	Au ppt															
																								NO.	NO.	NO.	NO.	NO.										
10	97%			+							ClCaEpSe						18099	9	34	1.0	0.4	5																
																	81	18100	20	30	3.5	0.5	6															
																	82	18101	512	18	28	1.7	285															
																	82	18102	178	18	20	0.5	7															
																	83	18103	125	38	2.0	0.5	5															
																	84	18104	250	23	15.5	1.6	383															
																	85	18105	16	31	2.5	0.6	8															
																	85	18106	21	27	3.5	0.7	6															
																	86	18107	15	29	1.5	0.4	6															
																	87	18108	63	34	1.0	0.4	9															
11	96%			+													18109	55	43	11.5	0.7	7																
																	88	18110	26	33	1.5	0.5	6															
																	89																					
																	90	18111	38	22	1.5	0.6	181															
																	91																					
																	92	18112	53	20	2.0	0.4	52															
																	92	18113	30	20	2.0	0.4	21															
																	93	18114	10	20	1.5	0.2	8															
																	94	18115	12	19	1.0	0.5	147															
																	94	18116	23	23	2.0	0.7	6															
12	95%			+													18117	24	25	17.0	7.6	3485																
																	95	18118	2157	40	74	2.0	331															
																	95	18119	67	31	20	0.9	82															
																	96																					
																	96	18120	71	36	5.5	1.1	1119															
																	97	18121	86	23	2.5	0.5	35															
																	97	18122	200	35	2.0	0.5	40															
																	98																					
																	13				+																	

CAISSE	RÉC.	DESCRIPTION	PROF. m	LOG	TEXTURE (granulo. Ø) mm 1/256 1/16 1 16 64 1/64 1/4	MATRICE (mesostase)	FIGURE STRUC- TURE	S <sub>0</sub>	CIMENT ALTER.	MINÉR.	FRACTUR.			TROU: 44E-1		ANALYSES				
											F	D	V	d	a	L	M	COTE m	NO.	Cu ppm
13	95%		99	+											18123	72	22	3.0	0.4	87
101,40			100	+																
			101	+											18124	31	28	2.5	0.5	80
			102	+											18125	944	23	6.0	0.8	83
			103	+											18126	208	32	3.5	0.6	36
			104	+											18127	55	26	4.0	0.4	6
14	95%		105	+											18128	154	38	58	2.0	153
			106	+											18129	123	34	23	1.0	112
			107	+											18130	51	27	54	0.6	76
			108	+											18131	269	30	49	0.8	191
			109	+											18132	50	27	128	0.5	126
			110	+											18133	31	26	123	11.6	1674
			111	+											18134	270	28	268	2.0	528
			112	+											18135	60	34	18.5	1.0	926
			113	+											18136	794	30	73	3.3	4148
			114	+											18137	27	32	12.0	1.1	842
			115	+																
			116	+											18138	228	28	10.0	0.5	40
															18139	80	39	15.0	0.8	298
															18140	147	31	8.0	1.3	97
															18141	94	22	4.5	0.9	34
															18142	124	31	10.5	0.7	112
16															18143	770	30	3.5	0.5	110
															18144	559	33	24	1.4	213



CAISSE	RÉC.	DESCRIPTION	PROF. m	LOG	TEXTURE (granulo. Ø) mm 1/256 1/16 1/64 1/4 1 16 64	MATRICE (mesostase)	FIGURE STRUC- TURE	S <sub>0</sub>	CIMENT ALTÉR.	MINÉR.	FRACTUR.			TROU: 44E-1																																						
											F	D	V	L	COTE m	NO.	Cu ppm	Zn ppm	As ppm	Ag ppm	Au ppt																															
19	100%		135	+					ClCaEpSeSi					135	18152	7	32	0.5	0.4	7																																
															136	18153	51	30	2.5	0.5	13																															
															20	100%		137	+									137																								
138	138	139	139	140	141	142	143	144	145	146	147	148	149	150																					151	152																
21	100%		140	+										140																																						
															141	142	143	144	145	146	147	148	149	150	151	152																										
															22	100%		142	+										142																							
143	144	145	146	147	148	149	150	151	152																																											





**TROU: 44E-1**

Echantillon	Intersection	Largeur	Composition des veines				
			Ca	Cl	Ep	Qz	Hm
18049	27,05 à 27,20	0,15			X	X	X
18050	30,25 à 30,60	0,35					
18051	30,60 à 30,70	0,10	X			X	
18052	30,70 à 31,05	0,35					
18053	31,25 à 31,35	0,10					
18054	31,55 à 31,65	0,10	X	X			
18055	32,25 à 32,55	0,30		X			
18056	32,95 à 33,15	0,20					
18057	33,45 à 33,55	0,10					
18058	33,85 à 34,20	0,35					
18059	34,30 à 34,40	0,10	X	X			
18060	35,20 à 35,65	0,45					
18061	36,20 à 37,45	1,25					
18062	37,45 à 37,85	0,40					
18063	37,95 à 39,20	1,25		X			
18064	39,20 à 40,60	1,40		X			
18065	40,60 à 41,25	0,65					
18066	41,25 à 41,40	0,15					X
18067	41,40 à 42,05	0,65					
18068	42,05 à 43,65	1,60					
18069	43,65 à 44,30	0,65					
18070	45,30 à 45,40	0,10		X			
18071	45,40 à 45,70	0,30	X				X
18072	45,70 à 46,40	0,70					
18073	46,40 à 46,50	0,10	X				X
18074	46,50 à 47,30	0,80	X				X
18075	48,45 à 48,95	0,50	X				
18076	49,15 à 49,65	0,50					X
18077	49,65 à 50,10	0,45	X				X
18078	50,10 à 50,50	0,40					
18079	50,50 à 50,90	0,40	X				X
18080	50,90 à 51,25	0,35					
18081	51,25 à 51,50	0,25					
18082	55,45 à 55,60	0,15					
18083	57,00 à 57,20	0,20					
18084	57,60 à 59,25	1,65					
18085	59,25 à 60,65	1,40					
18086	60,05 à 60,55	0,50					
18087	60,55 à 61,65	1,10	X				
18088	60,65 à 61,20	0,55					
18089	61,20 à 61,30	0,10	X				
18090	61,30 à 61,55	0,25					
18091	64,90 à 65,10	0,20	X				
18092	69,15 à 69,30	0,15	X			X	
18093	71,35 à 71,45	0,10		X		X	
18094	73,60 à 73,70	0,10					
18095	77,35 à 77,45	0,10					
18096	78,50 à 78,60	0,10					
18097	78,60 à 79,00	0,40					


TROU: 44E-1 (suite)

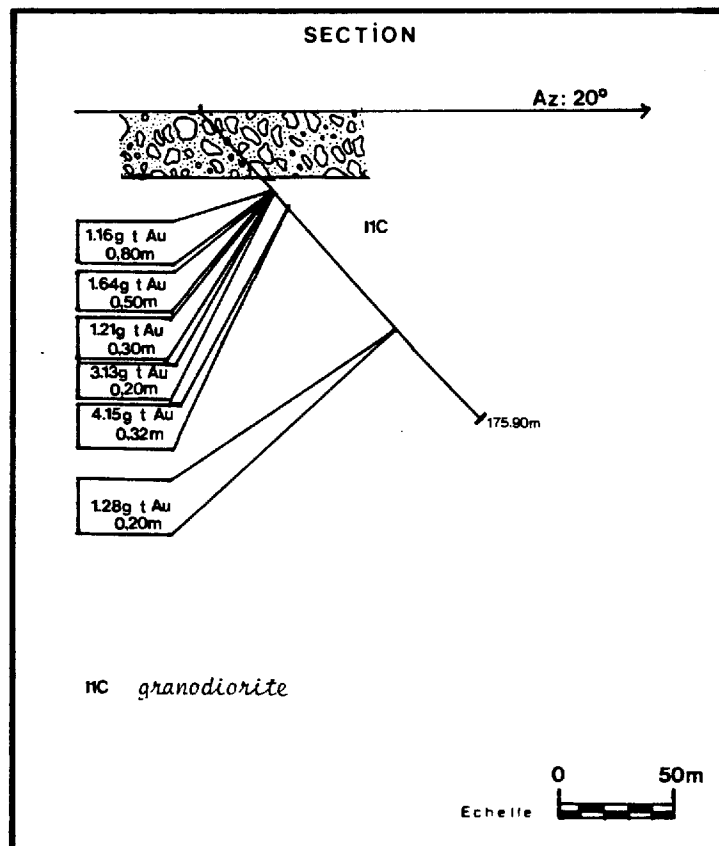
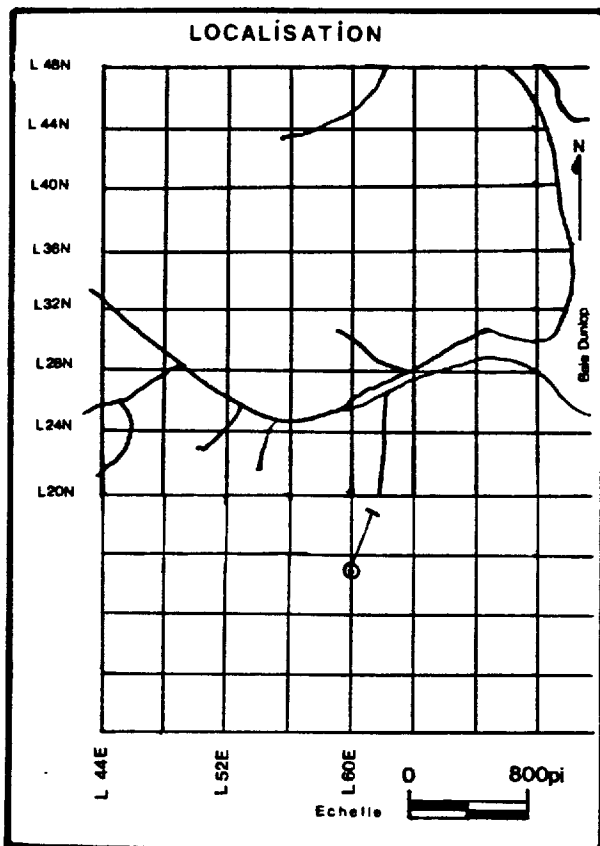
Echantillon	Intersection	Largeur	Composition des veines					
			Ca	Cl	Ep	Qz	Hm	
18098	79,65 à 79,75	0,10						
18099	80,10 à 80,50	0,40						
18100	80,85 à 81,40	0,55						
18101	81,40 à 81,85	0,45					X	
18102	81,85 à 82,15	0,30						
18103	82,15 à 83,80	1,65						
18104	83,80 à 83,95	0,15					X	
18105	83,95 à 85,00	1,05						
18106	85,00 à 85,10	0,10	X	X			X	
18107	85,10 à 86,40	1,30						
18108	86,40 à 87,40	1,00						
18109	87,40 à 87,75	0,35						
18110	87,75 à 88,60	0,85						
18111	89,80 à 90,05	0,25	X					
18112	92,35 à 92,45	0,10	X					
18113	92,60 à 92,70	0,10		X				
18114	93,25 à 93,35	0,10		X				
18115	93,65 à 93,75	0,10		X				
18116	94,00 à 94,20	0,20		X				
18117	94,20 à 94,30	0,10	X					
18118	94,70 à 95,10	0,40	X	X			X	
18119	95,20 à 95,35	0,15	X	X			X	
18120	96,55 à 96,65	0,10						
18121	96,75 à 96,85	0,10						
18122	97,05 à 97,30	0,25		X				
18123	98,05 à 98,25	0,20		X				
18124	101,10 à 101,25	0,15						
18125	101,90 à 102,00	0,10		X				
18126	102,50 à 102,60	0,10		X				
18127	102,70 à 103,05	0,35						
18128	103,05 à 103,80	0,75	X				X	
18129	103,80 à 104,45	0,65						
18130	104,45 à 105,20	0,75	X				X	
18131	105,20 à 105,35	0,15	X					
18132	105,35 à 106,05	0,70					X	
18133	106,05 à 106,15	0,10	X					
18134	106,15 à 106,95	0,80	X				X	
18135	106,95 à 107,15	0,20						
18136	107,15 à 107,30	0,15	X					
18137	108,05 à 108,25	0,20		X				
18138	110,00 à 110,20	0,20		X				
18139	110,45 à 110,60	0,15		X				
18140	111,15 à 111,30	0,15						
18141	111,65 à 111,85	0,20						
18142	112,05 à 112,30	0,25		X				
18143	114,90 à 115,00	0,10	X	X				X
18144	115,40 à 115,55	0,15	X	X				X
18145	116,20 à 116,30	0,10	X	X				











**TROU: 44E-1 (suite)**

<b>Echantillon</b>	<b>Intersection</b>	<b>Largeur</b>	<b>Composition des veines</b>				
			<b>Ca</b>	<b>Cl</b>	<b>Ep</b>	<b>Qz</b>	<b>Hm</b>
18146	116,60 à 116,75	0,15	X	X		X	
18147	116,95 à 117,25	0,30	X	X		X	
18148	123,85 à 123,95	0,10	X	X			
18149	130,65 à 132,15	1,50					
18150	132,15 à 133,55	1,40					
18151	133,55 à 135,00	1,45					
18152	135,00 à 136,25	1,25					
18153	142,35 à 143,25	0,90					
18154	143,25 à 143,80	0,55	X	X		X	
18155	143,80 à 145,25	1,45					
18156	164,55 à 164,65	0,10	X	X			
18157	168,75 à 168,90	0,15	X	X		X	
18158	169,15 à 169,30	0,15	X	X			
18159	169,75 à 169,85	0,10	X	X		X	
18160	172,95 à 173,30	0,35	X	X		X	

 <b>GÉOMINES LTÉE.</b>	POUR <i>Exploration Minière du Nord</i>	TESTS D'INCLINAISON				<b>TROU: 60E-1</b>	
	DATE <i>11/11</i> GÉOLOGUE <i>Ivan Leith</i>	PROF.(m)	DIR.	INCL.	PROF.(m)		DIR.
FORÉ PAR <i>Rousseau</i>	PROPRIÉTÉ <i>Isle-Dieu</i>	<i>collet</i>	<i>020°</i>	<i>-47°</i>			LONGUEUR <i>175,90m</i>
DATE <i>10-11-87 au 11-11-87</i>	CLAIM NO <i>110206-1</i>	<i>91,45</i>		<i>-49°</i>			DIRECTION <i>020°</i> INCLINAISON <i>-47°</i>
DIAMÈTRE <i>B.Q.</i>	CANTON <i>Isle-Dieu</i>	<i>175,90</i>		<i>-49°</i>			LIGNE <i>60+00E</i> STATION <i>11+00N</i>
	PROJECTION HORIZONTALE <i>138m</i> VERTICALE <i>139m</i>						S.N.R.C. <i>32F/13</i> ALTIMÉTRIE

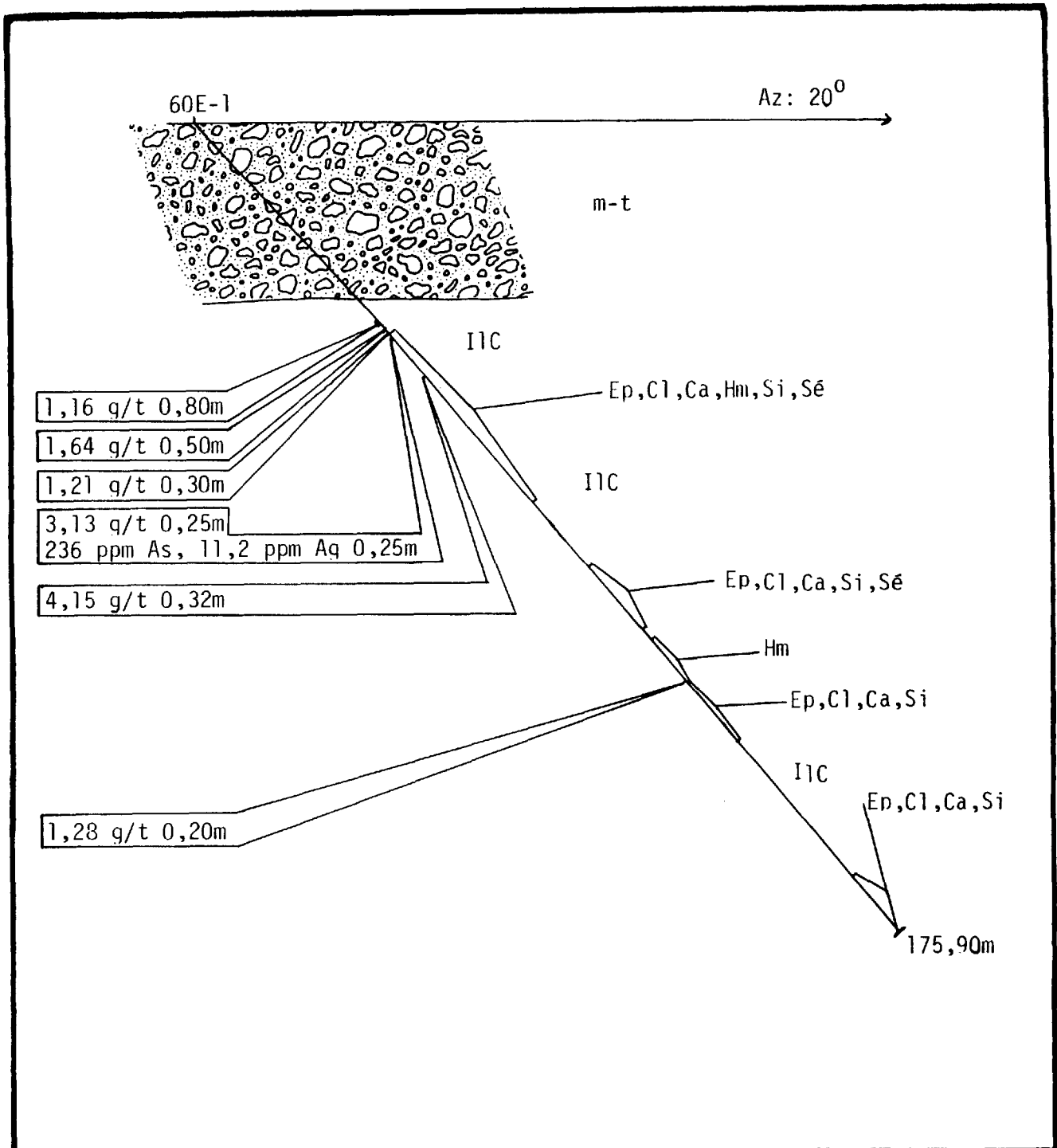


**LÉGENDE**


-  mort-terrain
-  granodiorite
-  Basalte
-  enclave mafique
-  14000 échantillon
-  bréchique
-  porphyrique
-  pas de structure spécifique
- v.1 largeur de veines en centimètres

**SYMBOLES**

Ep	epidotisation	Py	pyrite
Cl	chloritisation	Cp	chalcoppyrite
Ca	carbonatation	Po	pyrrhotine
Si	silicification	Mo	molybdénite
Ss	sericitisation	Mt	magnétite
Hm	hématitisation		
.....	légèrement altéré		
---	moyennement altéré		
—	fortement altéré		
Px	Pyroxène		
Pl	plagioclase		



## EXPLORATIONS MINIERES DU NORD LTEE

COUPE DE SONDAGE	COUPE No:	DATE: novembre 1987
PROJET:	SONDAGE: 60 E-1	COLLET: -47°
PROPRIETE: ISLE DIEU	ECHELLE: 1: 1000	RAPPORT:
CANTON: ISLE DIEU	 <b>GÉOMINÉS LTÉE.</b>	
SECTEUR: Mataqami		





CAISSE	RÉC.	DESCRIPTION	PROF. m	LOG	TEXTURE (granulo. Ø) mm				%MATRICE (mesostase)	FIGURE STRUC- TURE	S <sub>0</sub>	CIMENT ALTER.	MINÉR.	FRACTUR.			TROU: 60E-1		ANALYSES				
					F	D	V	d						a	L	COTE m	NO.	Cu ppm	Zn ppm	As ppm	Ag ppm	Au ppm	
																							S
			76	+	+						Ep Cl Ca Si Hm												
			77	+	+																		
			78	+	+							P <sub>y</sub> Tr		v.1	1	20	9825	12	19	18,5	0,4	64	
			79	+	+									v.1	3	30	11011	10	11	7,0	0,6	6	
			80	+	+									v.1	1	20	9826	8	32	10,0	1,5	143	
			81	+	+												1022	9	27	0,5	0,7	18	
			82	+	+																		
			83	+	+																		
			84	+	+																		
			85	+	+							P <sub>y</sub> Tr		v.2	1	45	9827	7	21	3,0	0,5	63	
			86	+	+																		
			87	+	+																		
			88	+	+																		
			89	+	+																		
			90	+	+																		
			91	+	+							P <sub>y</sub> 1-3%											
			92	+	+									v.1	14	20	9828	20	68	41	0,5	122	
			93	+	+							P <sub>y</sub> <1%		v.1	5	30	9829	38	34	24	0,5	49	

CAISSE	RÉC.	DESCRIPTION	PROF. m	LOG	TEXTURE (granulo. Ø) mm 1/256 1/16 1/4 1 16 64	MATRICE (mesostase)	FIGURE STRUC- TURE	S <sub>0</sub>	CIMENT ALTER.	MINÉR.	FRACTUR.			TROU: 60E-1		ANALYSES							
											F	D	V	d	a	L	COTE m	NO.	Cu ppm	Zn ppm	As ppm	Ag ppm	Au ppm
			93	+					Ep Cl Ca Si Hm Se	Py 1%	v. 1	70	30		93	9830	14	148	40	0,4	59		
			94	+						Py TR	v. 1	5	30		94	9831	10	60	30	0,4	34		
			95	+						Py TR	v. 6	7	30		95	9832	10	43	14,5	0,3	10		
			96	+											96								
			97	+											97								
			98	+							v. 1	130			98	9833	63	46	200	0,9	249		
			99	+											99								
			100	+											100								
			101	+							Py 1%	v. 1	3	30		101	9834	11	34	12,5	0,3	8	
			102	+											102								
			103	+											103								
			104	+											104								
			105	+											105								
			106	+							Py 1%	v. 1	7	30		106	9835	12	35	11,5	0,3	8	
			107	+								v. 1	3	30		107	9836	54	39	7,5	0,5	16	
			108	+											108								
			109	+											109								
			110	+											110								








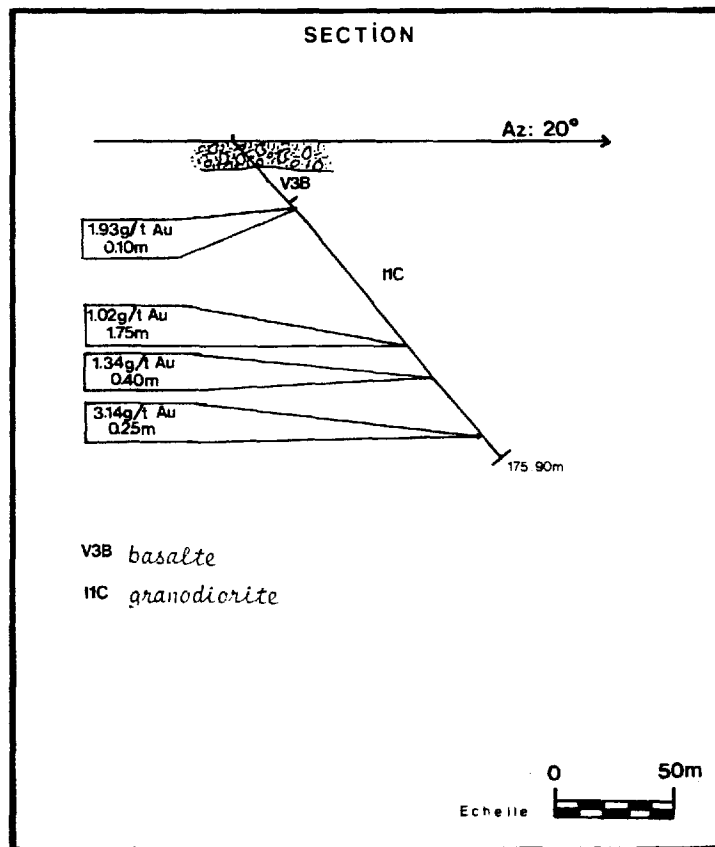
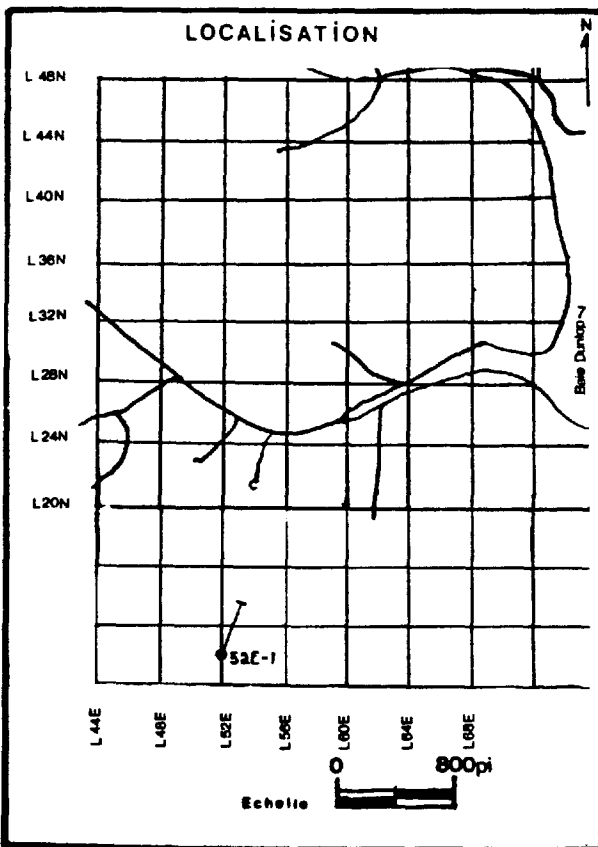




**TROU: 60E-1**

Echantillon	Intersection	Largeur	Composition des veines				
			Ca	Cl	Ep	Qz	Hm
9814	42,4 à 42,55	0,15	X			X	
9815	42,90 à 43,30	0,40	X			X	
9816	44,20 à 45,00	0,80	X	X			X
9817	45,80 à 46,30	0,50	X			X	
9818	46,70 à 47,00	0,30	X				
9819	47,50 à 47,65	0,60					
9820	47,65 à 47,90	0,25	X				
9821	47,90 à 48,40	0,50	X				
9822	48,80 à 49,55	0,75	X				
9823	55,93 à 56,25	0,32					
9824	58,90 à 59,10	0,20	X		X	X	
9825	77,35 à 77,75	0,40	X	X		X	
9826	78,35 à 78,60	0,25	X	X		X	
9827	84,15 à 84,35	0,20		X			
9828	86,90 à 91,10	1,50	X	X		X	
9829	91,75 à 92,70	0,95	X	X		X	
9830	92,70 à 93,90	1,20	X	X		X	
9831	93,90 à 94,90	1,00	X	X		X	
9832	94,90 à 95,05	0,15	X	X		X	
9833	97,45 à 97,55	0,10	X	X		X	
9834	100,55 à 101,00	0,45	X	X		X	
9835	105,65 à 105,82	0,17	X	X		X	
9836	106,55 à 106,80	0,25	X	X		X	
9837	111,85 à 112,05	0,20	X	X		X	
9838	121,80 à 122,00	0,20					
9839	129,50 à 130,92	1,42					
9840	136,30 à 136,40	0,10	X	X		X	
9841	149,65 à 149,65	0,20	X	X		X	
9842	158,25 à 158,45	0,15	X	X		X	
9843	158,25 à 158,45	0,20	X	X		X	
9844	159,80 à 159,95	0,15	X	X		X	
9845	160,55 à 160,75	0,20	X			X	
9846	170,80 à 171,00	0,20	X			X	
9847	171,80 à 171,85	0,25	X	X		X	
9848	173,87 à 174,05	0,18					X
11001	42,55 à 42,9	0,35	X		X	X	
11002	43,30 à 44,20	0,90	X			X	X
11003	45,30 à 45,80	0,50	X	X		X	
11004	46,30 à 46,70	0,50	X		X	X	
11005	47,00 à 47,65	0,65	X	X		X	
11006	48,40 à 48,80	0,40	X	X		X	
11007	49,55 à 50,40	0,95	X	X		X	
11008	55,00 à 55,93	0,93	X	X		X	
11009	56,25 à 57,00	0,25	X	X		X	
11010	77,75 à 78,35	0,60	X			X	
11011	78,60 à 79,25	0,65					
11012	121,00 à 121,80	0,80					
11013	122,00 à 123,00	1,00					
11014	123,50 à 123,80	0,30	X			X	

 <b>GÉOMINES LTÉE.</b>	POUR Explorations Minières du Nord Ltée	TESTS D'INCLINAISON			TROU: 52E-1		
	DATE 12-11-87 GÉOLOGUE <i>Y. Leith</i>	PROF.(m)	DIR.	INCL.	PROF.(m)	DIR.	INCL.
FORÉ PAR <i>Rousseau</i>	PROPRIÉTÉ <i>Isle-Dieu</i>	Collet	20°	-47°			
DATE 11-11-87 au 14-11-87	CLAIM NO 110206-1	91,45		-50°			LONGUEUR 175,90 m
DIAMÈTRE B.O.	CANTON <i>Isle Dieu</i>	175,90		-49°			DIRECTION 20° INCLINAISON -47°
	PROJECTION HORIZONTALE 114m VERTICALE 133m						LIGNE 52+00E STATION 10+00N
							S.N.R.C. 32F/13 ALTIMÉTRIE



### LÉGENDE

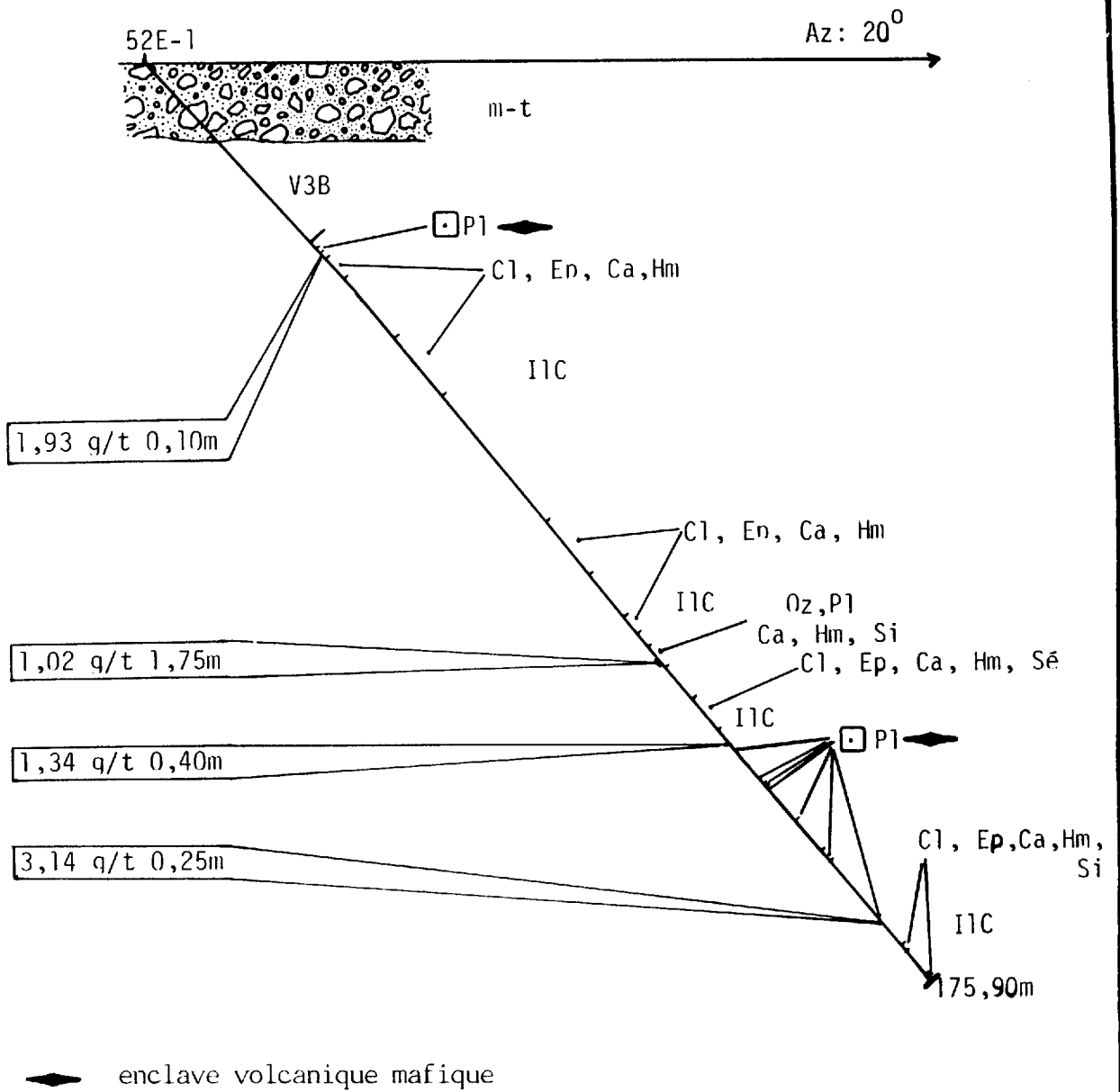
	mort-terrain
	granodiorite
	Basalte
	enclave mafique
	échantillon
	bréchique
	porphyrique
	pas de structure spécifique
	sections de densités de veines
	largeur de veines

S.2 microcisaillements (cm)


v.1

### SYMBOLES

Ep	epidotisation	Py	pyrite
Cl	chloritisation	Cp	chalcopryrite
Ca	carbonatation	Po	pyrrhotine
Si	silicification	Mo	molybdénite
Se	séricitisation	Mt	magnétite
Hm	hématitisation		
....	légèrement altéré		
---	mouvement altéré		
---	fortement altéré		
Px	Pyroxène	Qz	Quartz
Pl	plagioclase		



## EXPLORATIONS MINIERES DU NORD LTEE

COUPE DE SONDAGE		COUPE No:	DATE: novembre 1987
PROJET:		SONDAGE: 52E-1	COLLET: -47°
PROPRIETE:	ISLE DIEU	ECHELLE: 1: 1000	RAPPORT:
CANTON:	ISLE DIEU	 <b>GÉOMINES LTÉE.</b>	
SECTEUR:	Mataqami		



TROU: 52E-1

CAISSE	RÉC.	DESCRIPTION	PROF. m	LOG	TEXTURE (granulo. Ø) mm 1/250 1/16 1 10 64 1/64 1/4 1 10 64	MATRICE (mesostase)	FIGURE STRUC- TURE	S <sub>0</sub>	CIMENT ALTER.	MINER.	FRACTUR.			L M	COTE m	NO.	ANALYSES					
											F	D	a				Cu g/m³	Zn g/m³	As g/m³	Ag g/m³	Au	
																						V
4	95%	35,65 à 175,90 m Granitoïde de couleur généralement rosâtre à grains grossiers. La texture est hypidiomorphe avec passage centimétrique à métrique porphyriques. Le granitoïde est composé de feldspath (plagioclase zoné) saussuritisé, de quartz fumé et de minéraux mafiques (hornblende) chloritisé. L'altération varie de légèrement à moyennement épidotisée, chloritisée, carbonatisée et hématitisée avec passages fortement altérés en silice.  Les veines, généralement millimétriques sont composées de quartz, carbonates, chlorite en général. L'épidote apparaît dans les veines quelques fois.	34	VVVVV																		
			35	VVVVV						Py 1%				35	9850	225	54	12,5	0,3	7		
			36	VVVVV										36								
			37	VVVVV										37	11015	12	32	103	0,3	42		
			38	VVVVV										38	9851	59	34	593	5,3	1933		
			39	VVVVV						Py 5%				39	11016	8	36	6,5	0,7	3		
			40	VVVVV										40	9852	16	31	48	1,4	246		
			41	VVVVV										41								
			42	VVVVV										42	9853	20	22	10,5	0,5			
			43	VVVVV										43								
		44	VVVVV										44									
5	100%	La minéralisation est constituée de pyrite, chalcopryrite, molybdénite et magnétite. La pyrite se situe en majorité dans les veines, mais peut se retrouver disséminée dans le granitoïde. La chalcopryrite est disséminée et en très faible quantité (en traces). La molybdénite est disséminée et également en très faible quantité (en traces). La magnétite est présente presque partout dans le sondage mais en petite quantité.	45	VVVVV									45									
			46	VVVVV										46								
			47	VVVVV										47								
			48	VVVVV										48								
			49	VVVVV										49								
			50	VVVVV										50								
			51	VVVVV										51								
6	90%	La minéralisation est constituée de pyrite, chalcopryrite, molybdénite et magnétite. La pyrite se situe en majorité dans les veines, mais peut se retrouver disséminée dans le granitoïde. La chalcopryrite est disséminée et en très faible quantité (en traces). La molybdénite est disséminée et également en très faible quantité (en traces). La magnétite est présente presque partout dans le sondage mais en petite quantité.	50	VVVVV									50									
			51	VVVVV										51								
7				VVVVV																		





CAISSE	RÉC.	DESCRIPTION	PROF. m	LOG	TEXTURE (granulo. Ø) mm 1/256 1/16 1/64 1/4 1 4 16 64	MATRICE (mesostase)	FIGURE STRUC- TURE	S <sub>0</sub>	CIMENT ALTÉR.	MINER.	FRACTUR.			TROU: 52F-1		ANALYSES							
											F	D	V	d	a	L	COTE m	NO.	Cu pour	Zn pour	As pour	Ag pour	Au pour
10	100%		70	+			□		Ep Ca Hm	Py 2-3%	v. 1	5	45	70	9858	16	22	3,0	0,9	427			
71,25			71	+										71									
			72	+						Py 3-4%	v. 1	1	45	72	9860	60	34	1,5	0,6	379			
			73	+						Py 100%	v. 1	1	45	73	9861	79	22	0,5	0,2	14			
11	100%		74	+						Py 1-2%	v. 1	1	45	73	9859	51	22	4,0	1,2	678			
			75	+										74	9862	20	24	2,0	0,2	7			
			76	+										75									
			77	+										76									
77,00			78	+										77									
			79	+										78									
			80	+						Py < 1%	v. 1	2	45	79	9863	21	22	1,0	0,3	10			
			81	+										80									
			82	+										81									
			83	+										82									
			84	+										83									
			85	+										84									
			86	+			□							85									
			87	+										86									
13														87									

TROU: 52E-1

CAISSE	RÉC.	DESCRIPTION	PROF. m	LOG	TEXTURE (granulo. Ø) mm 1/256 1/16 1/64 1/4 1 16 64	MATRIÈRE (mesostase)	FIGURE STRUC- TURE	S <sub>0</sub>	CIMENT ALTER.	MINER.	FRACTUR.			L M	COTE m	NO.	ANALYSES						
											F	D	S				d	a	Cu mm	Zn mm	As mm	Al mm	Au prob
73	100%		88	+			□							88									
88,90			89	+						Py 1%				89	9864	18	29	6,5	0,8	9			
			90	+						Py 1%	v.1	5	45	90	9865	20	28	2,5	0,4	11			
			91	+						Py 1%	v.1	6	45	91	9866	305	36	3,0	1,5	286			
14	100%		92	+						Py < 1%	v.1	2	30	92	9867	22	28	4,0	0,5	37			
			93	+						Py 2-3	v.1	10	45	93	9868	23	28	4,5	0,5	58			
			94	+										94									
94,50			95	+						Py 1%	v.1	1	45	95	9869	34	28	4,0	0,5	68?			
			96	+						Py < 1%	v.1	4	45	96	9870	103	54	1,5	0,6	37			
			97	+						Py 1%	v.1	1	45	97	9871	93	34	2,0	0,6	10			
			98	+						Py 1-2	v.1	1	45	98	9872	776	40	13,5	0,9	9			
15	100%		99	+						-	-	-	-	99	9873	21	17	7,0	0,4	10			
			100	+						-	-	-	-	100	9874	22	18	4,0	0,6	53			
			101	+						Py 1%	v.1	1	45	101	9875	60	33	2,5	0,8	15			
			102	+						Py 1%	v.1	1	45	102	9876	54	30	2,0	0,4	69			
			103	+						Py 1%	v.1	1	45	103	9877	105	62	4,5	0,6	48			
			104	+						Py 1%	v.1	1	45	104	9878	135	27	3,0	0,3	11			
16			105	+			□			Py < 1%	v.1	5	45	105	9879	14	27	1,5	0,4	8			





CAISSE	REC.	DESCRIPTION	PROF. M	LOG	TEXTURE (granulo. Ø) mm 1/256 1/16 1/64 1/4 1/2 1 2 4 16 64	%MATRICE (mesostase)	FIGURE STRUC- TURE	S <sub>0</sub>	CIMENT ALTER.  Ep Ca Hm	MINER.	FRACTUR.			TROU: 52E-1		ANALYSES						
											F D V S	d	a	L M	COTE m	NO.	Cu mm	Zn mm	As mm	Ag mm	Au mm	
23	100%		142	+++						P <sub>y</sub> < 1%	v. 1	1	45	142	9895	13	30	2,0	0,2	8		
			143	+++										143								
			144	+++											144							
			145	+++								P <sub>y</sub> 1%	v. 5	1	45	145	9896	1008	42	15,0	0,9	210
			146	+++								P <sub>y</sub> 100%	v. 1	1	45	146	9897	169	34	2,5	0,3	6
24	100%		147	+++										147								
			148	+++											148							
			149	+++												149						
			150	+++								P <sub>y</sub> < 1%	v. 5	1	45	150	9898	35	37	1,0	0,3	5
			151	+++												151						
25	100%		152	+++										152	9902	24	33	1,5	0,3	16		
			153	+++											153							
			154	+++								P <sub>y</sub> 1%	v. 1	4	45	154	9899	108	21	2,0	0,3	158
			155	+++								P <sub>y</sub> 2-3	v. 1	2	45	155	9900	153	27	2,5	0,4	12
			156	+++								P <sub>y</sub> 1%	v. 1	2	45	156	9901	18	19	3,0	0,3	37
			157	+++									157									
			158	+++									158									
			159	+++									159									

CAISSE REC.	DESCRIPTION	PROF. m	LOG	TEXTURE (granulo. Ø) mm					%MATRICE (mesostase)	FIGURE STRUC- TURE	S <sub>0</sub>	CIMENT ALTER.	MINER.	FRACTUR.			TROU: 52E-1		ANALYSES						
				F	D	S	d	a						L	COTE m	NO.	Cu ppm	Zn ppm	As ppm	Ag ppm	Au ppb				
26 100%		160	+									Py < 1%	v.1	3	45	160	9903	21	20	3,0	0,2	7			
		161	+									Py 1%	v.1	2	45	161	9904	26	19	2,5	0,3	131			
		162	+									Py 3-4	v.1	1	45	162	9910	70	23	2,5	0,4	113			
		163	+									Py 1%	v.1	2	35	163	9905	40	21	4,0	0,4	229			
		164	+									Py 1%	v.1	2	60	163	9906	49	31	4,0	0,7	42			
		164	+									Py 1-2%	v.3	1	45	164	9907	58	37	6,5	1,6	267			
		164	+									Py 3-5%	v.5	4	80	164	11020	61	36	3,5	0,5	5			
27 100%		165	+									Py 2-3%	v.1	1	45	164	9908	84	36	22	4,9	3136			
		166	+													165									
		167	+													166									
		168	+													167									
		169	+										Py < 1%	v.1	1	45	168								
		170	+													169	9909	38	20	2,5	0,3	35			
		171	+													170									
28 100%		171	+												171										
		172	+										Py 60%	v.1	1	40	171	9911	12	28	2,5	1,0	231		
		173	+													172									
		174	+													173									
		175	+													174									
29 100%	Fin du sondage à 175,90 Cuvelage laissé	175	+									Py 2-3	v.5	1	45	175	9912	203	72	7,5	3,2	908			
		176	+												175										
		177	+												176										

TROU: 52E-1

Echantillon	Intersection	Largeur	Composition des veines				
			Ca	Cl	Ep	Qz	Hm
9849	21,75 à 21,90	0,15					
9850	34,65 à 35,10	0,45	X		X	X	
9851	37,70 à 37,80	0,10	X			X	X
9852	38,75 à 39,20	0,45					
9853	42,15 à 42,70	0,55					
9854	53,95 à 55,00	1,05					
9855	63,60 à 64,55	0,95					
9856	66,95 à 67,20	0,25	X			X	
9857	68,00 à 68,20	0,20		X			
9858	70,95 à 71,15	0,20	X			X	
9859	73,45 à 73,60	1,05					
9860	72,85 à 73,10	0,25	X			X	
9861	73,10 à 73,45	0,35					
9862	74,10 à 74,30	0,20	X			X	
9863	80,25 à 80,50	0,25	X		X	X	
9864	88,25 à 80,90	0,65	X			X	
9865	89,00 à 90,20	1,20	X			X	
9866	90,20 à 90,50	0,30	X			X	
9867	90,85 à 91,20	0,35	X	X		X	
9868	92,35 à 93,20	0,85	X	X		X	
9869	94,60 à 94,70	0,10	X	X		X	
9870	95,40 à 95,80	0,40	X	X		X	
9870	95,40 à 95,80	0,40	X	X		X	
9871	95,80 à 96,65	0,85	X	X		X	
9872	96,65 à 97,00	0,35	X	X		X	
9873	97,00 à 98,10	1,10					
9874	98,10 à 98,45	0,30	X	X	X	X	X
9875	98,90 à 99,05	0,15	X	X		X	
9876	100,35 à 100,55	0,20	X	X		X	
9877	100,90 à 101,05	0,15	X	X		X	
9878	101,80 à 101,95	0,15	X	X		X	
9879	103,60 à 104,10	0,50	X	X		X	
9880	106,65 à 107,15	0,50	X	X		X	
9881	112,90 à 113,05	0,15					
9882	114,35 à 114,80	0,45	X	X		X	
9883	114,80 à 115,35	0,55	X	X		X	
9884	115,35 à 115,75	0,40	X	X		X	
9885	115,75 à 115,90	0,15	X	X		X	
9886	115,90 à 117,00	1,10	X	X		X	
9887	120,20 à 120,40	0,20					
9888	122,00 à 122,30	0,30	X	X		X	
9889	124,95 à 125,25	0,30	X	X		X	
9890	125,25 à 126,35	1,10					
9891	126,35 à 126,60	0,25					
9892	126,60 à 127,10	0,50					
9893	127,10 à 127,40	0,30					
9894	129,90 à 130,30	0,40	X	X		X	
9895	141,80 à 141,95	0,15	X	X		X	
9896	145,00 à 145,20	0,20	X	X	X	X	
9897	146,30 à 146,50	0,20					



**TROU: 52E-1 (suite)**

Echantillon	Intersection	Largeur	Composition des veines				
			Ca	Cl	Ep	Qz	Hm
9898	150,15 à 150,40	0,25	X			X	
9899	153,95 à 154,35	0,40	X	X		X	X
9900	155,00 à 155,30	0,30	X	X		X	X
9901	156,00 à 156,25	0,25	X	X		X	
9902	152,25 à 152,45	0,20	X	X			
9903	159,80 à 160,10	0,30	X	X		X	
9904	160,40 à 160,55	0,15	X	X		X	
9905	162,45 à 162,65	0,20	X	X		X	
9906	163,00 à 163,30	0,30	X	X		X	
9907	163,70 à 163,90	0,20	X	X	X	X	
9908	164,30 à 164,55	0,25					
9909	168,85 à 169,05	0,20	X	X		X	
9910	161,85 à 162,10	0,25	X	X		X	
9911	171,65 à 171,90	0,25	X	X		X	
9912	175,05 à 175,50	0,45	X	X		X	
1105	37,00 à 37,70	0,70					
11016	37,80 à 38,75	0,99					
11017	113,90 à 114,65	0,75					
11018	129,00 à 129,90	0,90	X	X		X	
11019	130,30 à 131	0,70	X	X		X	
11020	163,90 à 164,30	0,40	X	X		X	

**GÉOMINES LTÉE.**

POUR Exploration Minière du Nord

**TESTS D'INCLINAISON****TROU:** 52E-2

DATE 24/2/88 GÉOLOGUE Ivan Leith

PROPRIÉTÉ Isle-Dieu

PROF.(m)	DIR.	INCL.	PROF.(m)	DIR.	INCL.
collet	10°	-44°	349,60		-41°
69,20		-43°			
157,60		-42°			
252,10		-41°			

LONGUEUR 349,60m

FORÉ PAR Rousseau

CLAIM NO 195227-1

69,20

-43°

DIRECTION 010° INCLINAISON -45°

DATE 23-02-88 au 04-03-88

CANTON Isle-Dieu

157,60

-42°

LIGNE 52+00E STATION 3 0N

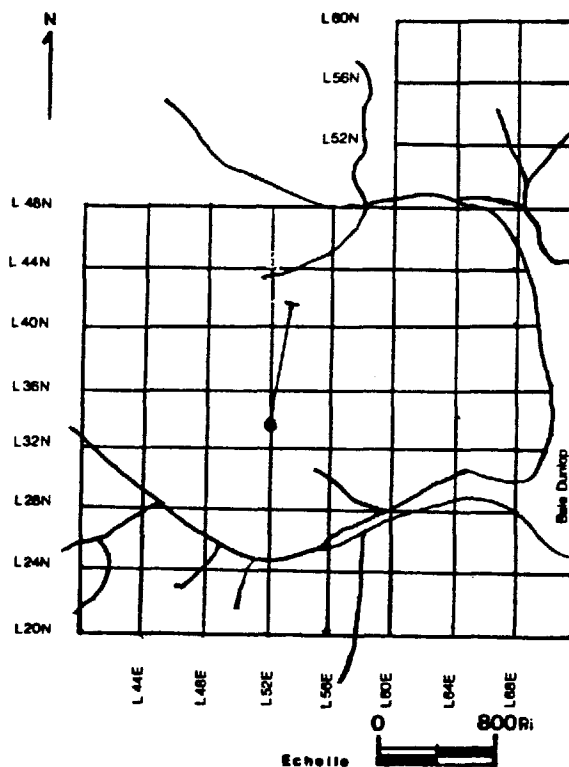
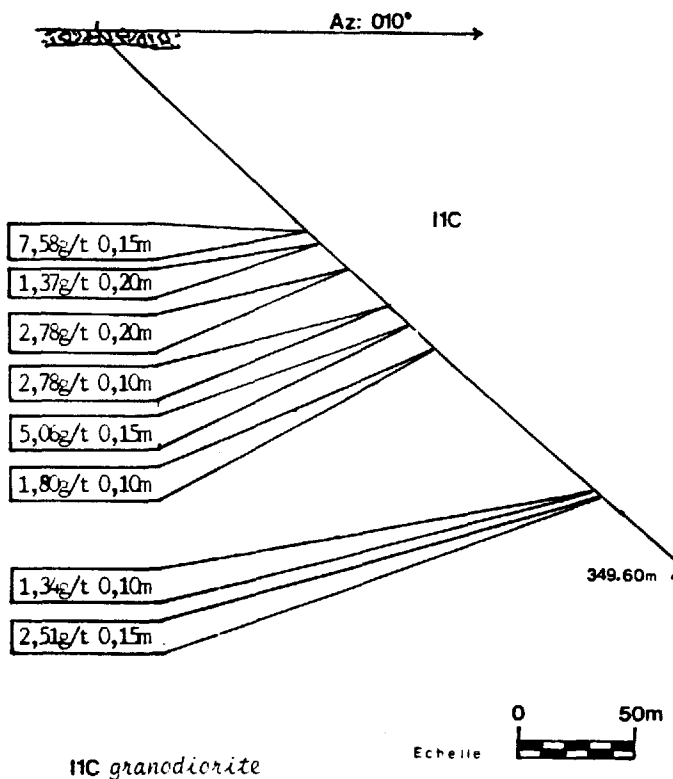
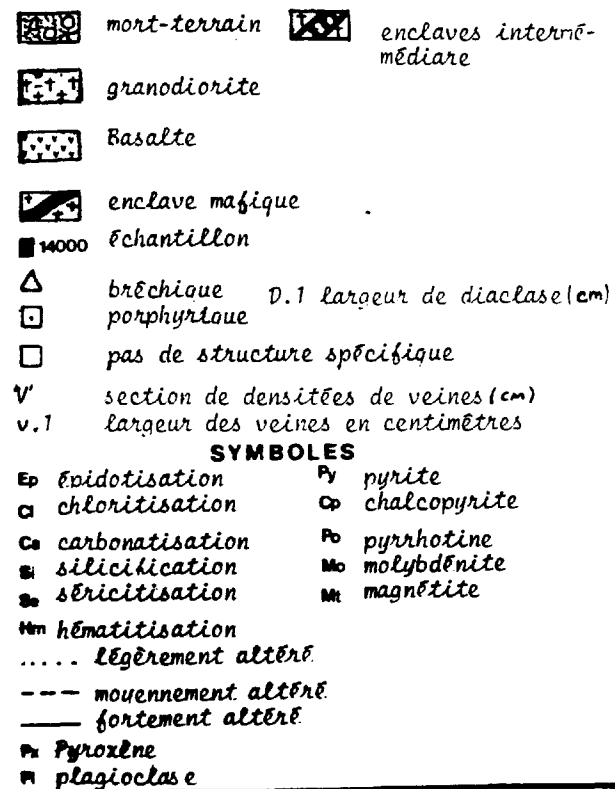
DIAMÈTRE B.Q.

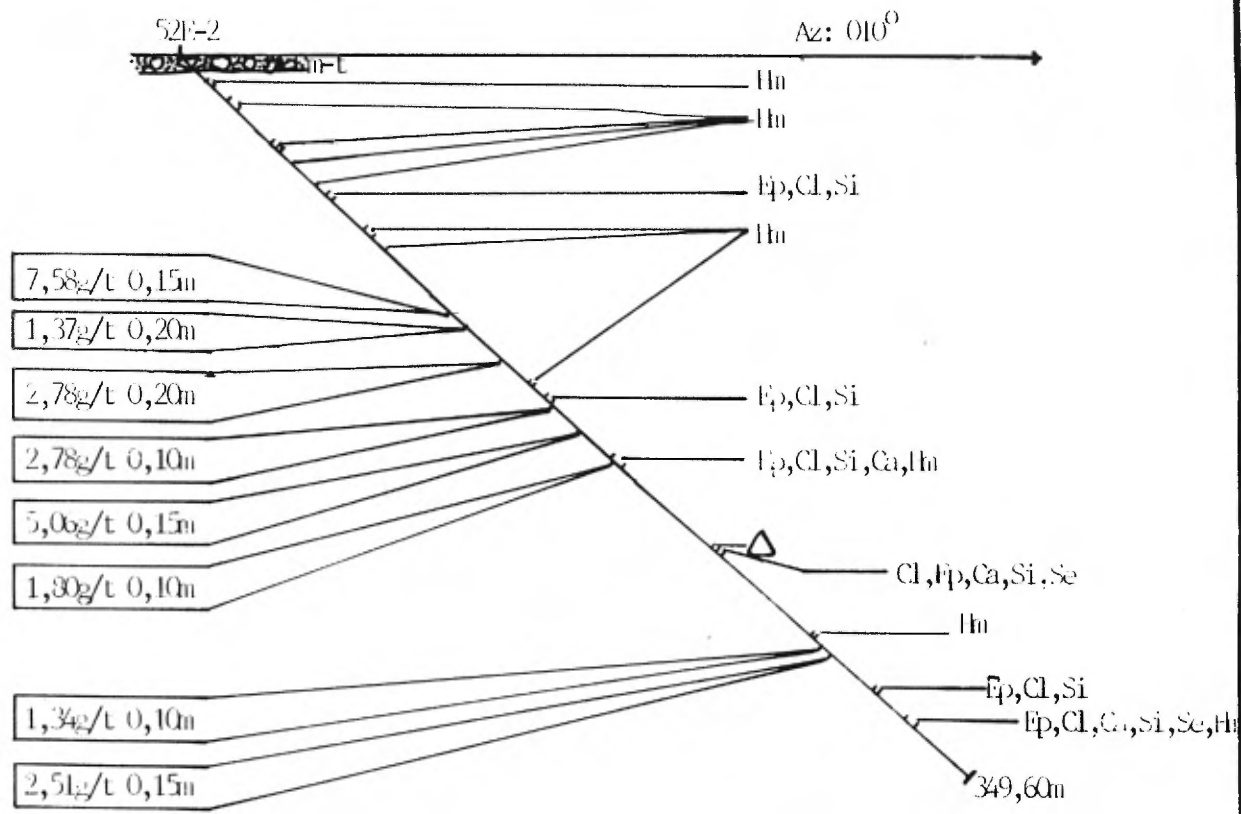
PROJECTION HORIZONTALE 250m VERTICALE 226m

252,10


-41°

S.N.R.C. 3?F/13 ALTIMÉTRIE

**LOCALISATION****SECTION****LÉGENDE**



## EXPLORATIONS MINIERES DU NORD LTEE

COUPE DE SONDAGE		COUPE No:	DATE: mars 1988
PROJET:		SONDAGE: 52F-2	COLLET: -44°
PROPRIETE:	ISLE DIFU	ECHELLE: 1: 2500	RAPPORT:
CANTON:	ISLE DIFU	 <b>GÉOMINES LTÉE.</b>	
SECTEUR:	Matagani		

CAISSE	REC.	DESCRIPTION	PROF. m	LOG	TEXTURE (granulo. Ø) mm 1/256 1/16 1/64 1/4 1/2 1 16 64	MATRICE (mesostase)	FIGURE STRUC- TURE	S <sub>0</sub>	CIMENT ALTER.	MINÉR.	FRACTUR.		TROU: 52E-2		ANALYSES						
											F D S	d a	L M	COTE m	NO.	Cu ppm	Zn ppm	As ppm	Ag ppm	Au ppm	
7.30		De 0 à 7,30 m	7						EpO				7								
	90%	Mort-terrain	8										8								
1		7,30 à 349,60 m	9										9								
		Granodiorite de couleur rosâtre à grains grossiers. La texture est généralement hypidiomorphe avec passages porphyriques	10										10								
11.70		La roche est composée de feldspath (plagioclase) saussuritisé, de quartz (fumé à certains endroits) et de minéraux mafiques (hornblende) chloritisés. La granodiorite est généralement fraîche, avec quelques passages légèrement à	11										11								
		fortement altérés en hématite, chlorite, épidote, silice, séricite et carbonates.	12					45	Hm				12								
2	96%	Les veines, généralement millimétriques, sont composées de carbonates, chlorite et parfois de quartz et d'épidote. La granodiorite est légèrement fracturée, présentant souvent des plaquages de chlorite et carbonates. L'orientation des fractures (ou diaclases) varie de 45° à 60°/AC. Le sondage a été orienté par le	13										13	18161	12	17	1,5	0,3			9
		BTV 20/60 (orienteur de carotte) à partir de 56,10 m. On détecte la présence d'enclaves volcaniques mafiques centimétriques à décimétriques avec contacts nets mais irréguliers.	14										14								
			15					65					15								
			16										16								
17.35			17										17								
			18										18								
			19										19								
3	96%		20										20								
			21										21								
			22										22	18162	33	53	36	1,0			91
23.05			23										23								
4			24										24								

CAISSE	RÉC.	DESCRIPTION	PROF. m	LOG	TEXTURE (granulo. Ø) mm 1/256 1/16 1/64 1/4 1/2 1 16 64	MATRICE (mesostase)	FIGURE STRUCTURE	CIMENT ALTÉR.	MINÉR.	FRACTUR.			TROU: 52E-2		ANALYSES						
										F	D	V	L	COTE m	NO.	Cu ppm	Zn ppm	As ppm	Ag ppm	Au ppm	
																					d
4	100%	La minéralisation est constituée de pyrite et chalcoppyrite. Les sulfures se retrouvent principalement dans les veines.	25				□	Hm													
			26																		
			27					□P													
			28																		
			29																		
			30																		
			31					□													
			32																		
			33							Py 10% Py 10-20% Py Tr	D. 1 V. 1	2 6	45 45	18163 18164 18165	29 170 305	48 30 15	6,0 3,0 1,0	0,6 0,6 0,5	24 197 19		
			34																		
		35																			
		36																			
		37					□P		Py 5-10%	D. 1	2	45	18166	54	40	5,5	0,5	40			
		38																			
		39																			
		40					□		Py 30%	V. 4	1	45	18167	36	50	9,0	0,8	117			
		41																			
		42																			













TROU: 52E-2

CAISSE	RÉC.	DESCRIPTION	PROF. m	LOG	TEXTURE (granulo. Ø) mm 1/256 1/16 1/8 1/4 1 16 64	MATRICE (mesostase)	FIGURE STRUC- TURE	S <sub>0</sub>	CIMENT ALTER.	MINÉR.	FRACTUR.			L M	COTE m	NO.	ANALYSES				
											F	D	V				d	a	Cu ppm	Zn ppm	As ppm
22			133																		
23	100%		134																		
			135																		
			136																		
			137																		
			138																		
			139							Py 3	v.2	1 45	139	18189	90	32	2,0	0,5		47	
			140																		
			141							Py 1	v.1	1 45	141	18190	111	31	4,0	0,5	176		
			142							Py 20	d.1	1 60	141	18191	18	20	2,0	0,7	91		
			143																		
			144							Py 75	v.4	1 45	144	18192	21	23	5,5	5,6	978		
			145																		
			146							Py 5-10	v.3	2 60	146	18193	52	18	3,5	1,9	405		
			147																		
			148							Py Tr	d 1	1 45	148	18227	19	20	3,5	0,4	35		
			149							Py 2	v 1	1 65	149	18194	27	22	1,0	1,1	338		
			150							Py 3	d.1	1 55	149	18195	10	18	2,5	0,4	18		
													150	18228	36	15	0,5	0,4	4		

TROU: 52E-2

CAISSE	RÉC.	DESCRIPTION	PROF. m	LOG	TEXTURE (granulo. Ø) mm 1/256 1/16 1/64 1/4 1 16 64	%MATRICE (mesostase)	FIGURE STRUC- TURE	S <sub>b</sub>	CIMENT ALTÉR.	MINÉR.	FRACTUR.				L M	COTE m	NO.	ANALYSES						
											F	D	V	S				d	a	Cu ppm	Zn ppm	As ppm	Ag ppm	Au ppm
150.90			151	+						P <sub>y</sub> < 5%	D.1	1	40	151	18229 18230 18196 18232	16	29	2,0	0,4	18				
26	100%		152	+			□							152										
			153	+										153										
			154	+										154										
			155	+										155										
156.58			156	+										156										
			157	+										157										
			158	+										158										
27	100%		159	+						P <sub>y</sub> 1-2%	D.1	1	45	159	18197	98	20	2,0	1,1	2775				
			160	+						P <sub>y</sub> 5%	D.1	1	45	160	18198	33	36	6,0	1,0	121				
			161	+										161										
162.10			162	+						P <sub>y</sub> < 1%	v.2	1	20	162	18199	333	29	0,5	0,7	64				
			163	+										163										
			164	+						P <sub>y</sub> 10%	D.1	1	45	164	18200	25	28	2,0	0,6	108				
28	100%		165	+						P <sub>y</sub> 10%	v.2	1	45	165	18201	57	31	13,0	1,3	477				
			166	+						P <sub>y</sub> 5%	v.3	2	45	166	18202	23	32	4,0	1,4	443				
			167	+										167										
167.75			168	+										168										

CAISSE	REC.	DESCRIPTION	PROF. m	LOG	TEXTURE (granulo. Ø) mm 1/256 1/16 1/64 1/4 1/2 1 2 4 8 16 32 64	MATRICE (mesolase)	FIGURE STRUC- TURE	S <sub>p</sub>	CIMENT ALTÉR.	MINER.	FRACTUR.			TROU:		ANALYSES											
											F	D	V	L	COTE m	NO.	Cu ppm	Zn ppm	As ppm	Ag ppm	Au ppm						
																						d	a	M			
29	100%		169	+																							
			170	+																							
			171	+																							
			172	+																							
			173	+								Py 2%	v.5	1	60	173	18203	33	40	4,0	0,8	129					
			173	+								Py 50%	D.1	1	65	173	18204	24	33	2,0	0,5	22					
			174	+								Py 5%	v.5	1	45	174	18205	208	38	3,5	1,0	247					
			175	+																							
			176	+																							
			177	+								Py 80%	v.3	1	45	177	18206	18	32	7,0	1,1	404					
30	100%		178	+																							
			179	+																							
			180	+								Py 50%	v.5	1	30	180	18207	159	25	20	6,8	5060					
			181	+																							
			182	+																							
			183	+																							
			184	+								Py 2%	v.5	1	60	184	18208	23	28	3,5	0,6	122					
			184	+								Py 20%	v.3	1	45	184	18209	14	20	3,0	0,4	43					
185	+								Py 5%	D.1	1	50	185	18210	18	37	2,0	0,6	62								
31	100%		186	+																							
			187	+																							
32	100%		188	+																							
			189	+																							

TROU: 52E-2

CAISSE	RÉC.	DESCRIPTION	PROF. m	LOG	TEXTURE (granulo. Ø) mm 1/256 1/16 1/64 1/4 1 4 16 64	MATRICE (mesolithe)	FIGURE STRUC- TURE	S <sub>0</sub>	CIMENT ALTÉR.	MINÉR.	FRACTUR.			L M	COTE m	NO.	ANALYSES						
											F	D	V				d	a	Cu ppm	Zn ppm	As ppm	Ag ppm	Au ppb
32	100%		187	+										187									
			188	+										188									
			189	+										189									
			190	+										190									
			191	+						Py 5%	v. 3	2	40	191	18211	267	59	7,5	1,1	217			
			192	+						Ep Cl Ca Si Hm				192									
			193	+										193									
			194	+										194									
			195	+						Py 5%	v. 2	1	85	195	18212	59	34	10,0	4,1	1797			
			196	+										196									
			197	+										197									
			198	+										198									
			199	+										199									
			200	+										200									
			201	+										201									
			202	+										202									
			203	+										203									
			204	+										204									







CAISSE	RÉC.	DESCRIPTION	PROF. m	LOG	TEXTURE (granulo. Ø) mm 1/256 1/16 1/64 1/4 1 4 16 64	MATRICE (mesostase)	FIGURE STRUC- TURE	CIMENT ALTER.	MINÉR.	FRACTUR.			TROU:		ANALYSES																																	
										F	D	V	L	COTE m	NO.	Cu	Zn	As	Ag	Au																												
																mm	mm	mm	mm	mm																												
41	100%	239 à 240,50 m Zone bréchifiée avec poches de chlorite (diam. max. 5 cm).	241	+			△	C EpCaS <sub>2</sub> Se	Py 10-20%	v. 3	1	65	241	E	18217	52	36	3,5	0,6	9																												
															18218	77	42	6,5	0,9	67F																												
															18219	13	50	2,0	0,9	20																												
															42	100%		242	+		□						242	-																				
																																			243	+					243	-	18223	119	83	4,0	1,3	105
																																											244	+				
																																			245	+					245	-						
																																											246	+				
																																			43	100%		247	+									
															248	+						248																										
249	+						249	-	18224	14	21	1,5	0,4	104																																		
									250	+						250																																
251	+						251	-																		18225	41	15	1,0	0,6	180																	
									252	+										252	-	18226	25	17	0,5	0,4	6																					
253	+																							253	-	18236	29	15	1,0	0,4	15																	
									254	+										254	-					18243	106	16	0,5	0,4	24																	
44	100%		255	+		□																			255																							
									256	+						256																																
																																			257	+						257						
258	+											258																																				

CAISSE	REC.	DESCRIPTION	PROF. m	LOG	TEXTURE (granulo. Ø) mm 1/250 1/10 1 10 64 1/64 1/4 4 16 64	%MATRICE (Mesostase)	FIGURE STRUC- TURE	S <sub>b</sub>	CIMENT ALTER.	MINÉR.	FRACTUR.			TROU:		ANALYSES					
											F	D	a	L	COTE	NO.	Cu	Zn	As	Ag	Au
																	מק"מ	מק"מ	מק"מ	מק"מ	מק"מ
259,20			259	T			△	III		P <sub>y</sub> 0.5%	V.3	1	50	18237	52E-2	Page 15 de 20	14	36	12,5	0,8	47
			260	T						P <sub>y</sub> 2%	V.1	1	55	259 18238			20	19	5,5	0,7	60
			261	T						P <sub>y</sub> 50%	V.2	1	45	260 18239			15	20	1,0	0,7	165
45	100%		262	T			□			P <sub>y</sub> 10%	V.2	1	45	261 18240			26	16	2,0	0,9	363
			263	T						P <sub>y</sub> Tr	D.1	1	55	262 18241			609	13	1,5	0,6	161
			264	T						P <sub>y</sub> Tr	V.2	1	55	263 18242			22	16	0,5	0,4	26
265,00			265	T										264							
			266	T										265							
			267	T						P <sub>y</sub> 10%	V.3	1	45	266 18244			50	15	1,0	1,5	944
46	100%		268	T						P <sub>y</sub> < 1%	D.1	1	20	267 18245			32	17	0,5	0,5	14
			269	T						P <sub>y</sub> 1%	D.1	1	85	268 18246			100	14	1,0	0,4	33
			270	T						P <sub>y</sub> < 1%	D.1	4	70	269 18247			27	15	0,5	0,4	10
270,80			271	T						P <sub>y</sub> Tr	V.3	2	65	270 18248			32	15	0,5	0,5	117
			272	T										271							
			273	T										272							
			274	T						P <sub>y</sub> 10%	V.2	2	45	273 18249			32	14	1,0	0,5	240
47	100%		275	T			□			P <sub>y</sub> Tr	V.2	2	40	274 18250			37	23	0,5	0,4	35
			276	T										275							
														276							





TROU: 52E-2

CAISSE	RÉC.	DESCRIPTION	PROF. m	LOG	TEXTURE (granulo. Ø) mm 1/256 1/16 1/8 1/4 1/2 1 2 4 16 64	MATRICE (mesostase)	FIGURE STRUC- TURE	S <sub>0</sub>	CIMENT ALTER.	MINÉR.	FRACTUR.			L M	COTE m	NO.	ANALYSES																															
											F	D	S				d	a	Cu	Zn	As	Aq	Au																									
54	100%		313	+						Py 2%	V.2	1	45	313	18273	15	23	2,0	0,4	22																												
																314	+							Py 50%	V.2	1	45	314	18274	15	21	5,0	0,4	30														
																														315	+							Py 2%	V.4	1	45	315	18275	67	25	5,0	2,1	166
																																												316	+			
																														317	+																	
318	+								Py 2%	D.1	1	45	318	18276	19	20	0,5	0,3	19																													
															319	+																																
320	+																																															
															321	+																																
322	+																																			18277	32	28	2,0	0,6	17							
															323	+																																
324	+													18278																						27		26	1,5	0,7	66							
															325	+																																
326	+													18279																							29	26	63	0,7	62							
															327	+													18280	22	22	4,5	0,6	35														
328	+																																															
															329	+													18281								41	22	2,5	0,7	38							
330	+																																															




CAISSE	RÉC.	DESCRIPTION	PROF. m	LOG	TEXTURE (granulo. Ø) mm 1/256 1/16 1 16 64 1/64 1/4	%MATRICE (Mesostase)	FIGURE STRUC- TURE	S <sub>0</sub>	CIMENT ALTÉR.	MINÉR.	FRACTUR.			TROU: 52E2		ANALYSES						
											F	D	S	L	COTE m	NO.	Cu	Zn	As	Aq	Au	
																	mm	mm	mm	mm	mm	
60	50%	Fin du sondage à 349,60 m cuvelage laissé	349	+						Py 2%	D.1	7	70		18298	20	14	1,0	0,4	45		
349,60				+						Py 3%	D.1	5	45		18297	19	15	0,5	0,4	35		
				350																		
				351																		
				352																		
				353																		
			354																			

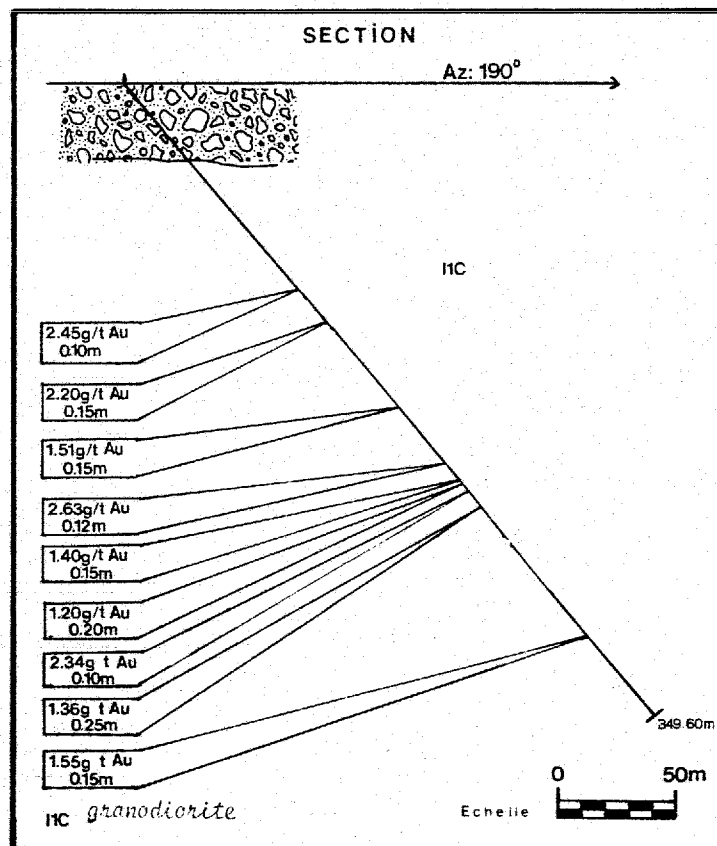
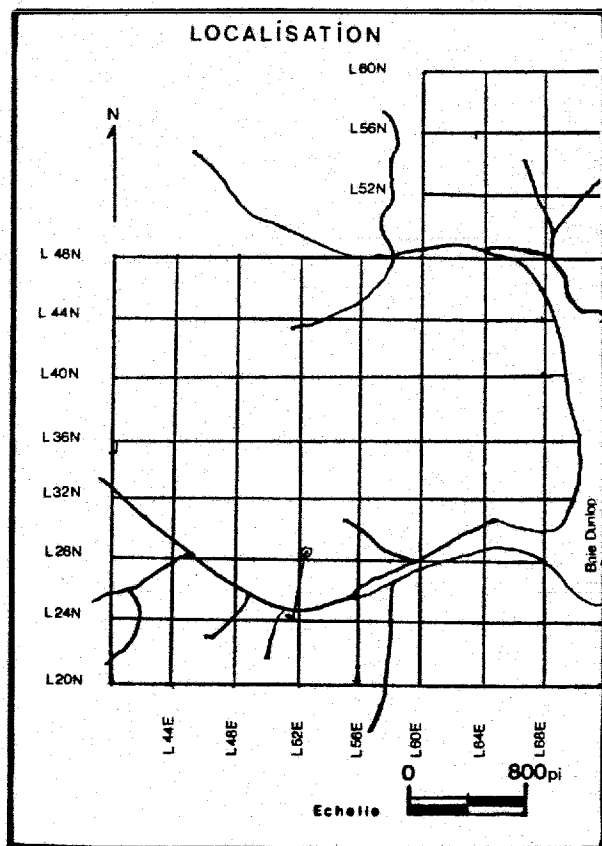
Echantillon	Intersection	Largeur	Composition des veines					
			Ca	Cl	Ep	Qz	Hm	
18161	12,60 à 13,10	0,50						
18162	22,20 à 22,45	0,25	X	X				X
11163	32,35 à 32,60	0,25	X	X				
18164	32,60 à 32,95	0,35	X	X				
18165	32,95 à 33,15	0,20						
18166	37,05 à 37,15	0,10	X	X				
18167	40,40 à 40,55	0,15	X	X				X
18168	44,95 à 45,05	0,10	X	X				
18169	46,35 à 46,70	0,35	X	X				
18170	49,40 à 49,80	0,40	X	X				
18171	50,90 à 51,05	0,15	X	X				
18172	53,65 à 53,75	0,10						
18173	58,15 à 58,35	0,20	X	X	X			
18174	80,95 à 81,05	0,10	X	X				
18175	85,30 à 85,40	0,10	X	X				
18176	98,05 à 98,15	0,10	X	X				X
18177	102,00 à 102,30	0,30	X	X				X
18178	102,85 à 103,00	0,15	X	X				X
18179	105,75 à 105,90	0,15	X	X				X
18180	107,60 à 107,80	0,20	X	X				X
18181	111,65 à 111,80	0,15	X	X				X
18182	113,80 à 113,90	0,10	X	X				X
18183	116,35 à 116,50	0,15	X	X				X
18184	116,80 à 116,90	0,10	X	X				X
18185	121,33 à 121,47	0,14	X	X				X
18186	122,75 à 122,90	0,15	X	X				X
18187	126,10 à 126,25	0,15	X	X				X
18188	130,15 à 130,35	0,20	X	X	X			X
18189	138,90 à 139,05	0,15	X	X				X
18190	140,70 à 140,80	0,10	X	X				X
18191	141,50 à 141,60	0,10	X	X				
18192	143,55 à 143,70	0,15	X	X				
18193	145,85 à 146,05	0,20	X	X				X
18194	149,00 à 149,15	0,15	X	X				X
18195	149,45 à 149,60	0,15	X	X				
18196	150,70 à 150,90	0,20	X	X				
18197	158,90 à 159,00	0,10	X	X				
18198	160,10 à 160,35	0,25	X	X				
18199	161,65 à 161,95	0,30	X	X			X	X
18200	164,10 à 164,25	0,15	X	X				
18201	164,85 à 164,95	0,10	X	X			X	
18202	165,40 à 165,65	0,25	X	X			X	
18203	172,80 à 173,10	0,30	X	X			X	
18204	173,25 à 173,35	0,10	X	X				
18205	174,90 à 175,00	0,10	X				X	
18206	176,90 à 177,10	0,20	X	X			X	
18207	180,30 à 180,45	0,15	X	X			X	



Echantillon	Intersection	Largeur	Composition des veines				
			Ca	Cl	Ep	Qz	Hm
18208	184,00 à 184,25	0,25	X	X		X	
18209	184,40 à 184,55	0,15	X	X		X	
18210	185,35 à 185,55	0,20	X	X			
18211	190,90 à 191,15	0,55	X	X		X	
18212	194,85 à 194,95	0,10	X			X	
18213	210,75 à 210,85	0,10	X	X			
18214	230,80 à 231,15	0,35		X		X	
18215	231,40 à 231,55	0,15	X	X			
18216	236,65 à 236,75	0,10	X	X			
18217	239,45 à 240,50	1,05					
18218	240,50 à 240,60	0,10	X	X		X	
18219	240,60 à 241,80	1,20					
18220	244,70 à 244,85	0,15	X	X		X	
18221	245,55 à 245,90	0,35	X	X		X	
18222	245,90 à 246,10	0,20					
18223	243,15 à 243,25	0,10	X	X		X	
18224	248,45 à 248,80	0,35	X	X			
18225	251,15 à 251,45	0,30	X	X		X	
18226	251,90 à 252,00	0,10	X	X			
18227	148,10 à 148,25	0,15					
18228	149,80 à 150,00	0,20					
18229	150,10 à 150,20	0,10					
18230	150,40 à 150,50	0,10					
18231	238,20 à 238,35	0,15	X	X			
18232	151,15 à 151,25	0,10					
18233	217,75 à 217,95	0,20	X	X		X	
18234	211,85 à 212,05	0,20	X	X			
18235	220,25 à 220,35	0,10					
18236	253,30 à 253,50	0,20	X	X			
18237	258,00 à 258,20	0,20	X	X			
18238	259,10 à 259,20	0,10	X	X		X	
18239	259,20 à 259,35	0,15	X	X		X	
18240	260,30 à 260,40	0,10	X	X		X	
18241	261,80 à 262,00	0,20	X	X		X	
18242	263,60 à 263,75	0,15					
18243	254,50 à 254,60	0,10					
18244	266,75 à 266,83	0,08	X	X		X	
18245	267,35 à 267,45	0,10	X	X			
18246	268,30 à 268,40	0,10					
18247	268,85 à 269,45	0,60	X	X			
18248	270,25 à 270,70	0,45	X	X		X	
18249	273,97 à 274,20	0,23	X	X			
18250	274,95 à 275,25	0,30	X	X			
18251	276,75 à 276,85	0,10					
18252	277,90 à 278,00	0,10	X	X			
18253	278,50 à 278,60	0,10	X	X			
18254	279,95 à 280,05	0,10	X	X			
18255	280,70 à 280,85	0,15	X			X	

Echantillon	Intersection	Largeur	Composition des veines					
			Ca	Cl	Ep	Qz	Hm	
18256	281,35 à 281,45	0,10	X	X				
18257	282,15 à 283,10	0,95						
18258	285,00 à 285,15	0,15	X	X	X	X		
18259	286,00 à 286,12	0,12		X			X	
18260	287,70 à 287,85	0,15	X	X				
18261	288,35 à 288,50	0,15	X	X				
18262	288,80 à 288,95	0,15	X	X				
18263	291,10 à 291,20	0,10	X	X				
18264	291,90 à 292,05	0,15						
18265	292,05 à 292,30	0,25	X	X				
18266	294,35 à 294,45	0,10	X	X				
18267	294,85 à 295,00	0,15	X	X				
18268	295,55 à 295,70	0,15	X	X				
18269	298,95 à 299,10	0,15	X	X				
18270	302,20 à 302,40	0,20	X	X				
18271	303,06 à 304,10	1,04	X	X	X		X	
18272	304,75 à 304,95	0,20	X	X	X			
18273	312,35 à 312,47	0,12	X	X	X			
18274	314,25 à 314,40	0,15	X	X				
18275	315,25 à 315,45	0,20	X	X			X	
18276	317,60 à 317,70	0,10						
18277	321,90 à 322,55	0,65						
18278	323,35 à 324,85	1,50						
18279	324,85 à 326,20	1,35						
18280	326,20 à 327,00	0,80						
18281	328,85 à 329,00	0,15	X	X				
18282	331,80 à 332,00	0,20	X	X			X	
18283	334,85 à 335,00	0,15	X	X	X			
18284	336,50 à 336,65	0,15	X	X				
18285	337,60 à 337,80	0,20	X	X			X	X
18286	339,10 à 339,30	0,20	X	X			X	
18287	339,35 à 339,50	0,15	X	X				
18288	339,85 à 339,95	0,10	X	X				
18289	334,00 à 334,15	0,15						
18290	334,25 à 334,45	0,20						
18291	341,55 à 341,75	0,20	X	X				
18292	343,25 à 343,40	0,15	X	X				
18293	343,90 à 344,05	0,15	X	X				
18294	344,75 à 344,90	0,15	X	X				
18295	345,50 à 345,65	0,15	X	X				
18296	346,65 à 346,73	0,08	X	X				
18297	348,65 à 349,10	0,45	X	X				
18298	348,15 à 348,25	0,10						

 <b>GÉOMINES LTÉE.</b> Ahmed Mahmood GÉOLOGUE Yvan Leith	POUR Exploration Minières du Nord Ltée.	TESTS D'INCLINAISON						<b>TROU: 53E-1</b> LONGUEUR 349,60 m DIRECTION 190° INCLINAISON -48° LIGNE 52+47E STATION 28+32N S.N.R.C. 32F/13 ALTIMÉTRIE
	DATE	PROPRIÉTÉ Isle-Dieu	PROF.(m)	DIR.	INCL.	PROF.(m)	DIR.	
FORÉ PAR Rousseau	CLAIM NO 195227-3	Collet	190°	-48.5°	349,60		51°	
DATE 11-12-87 au 11-01-88	CANTON Isle-Dieu	189,90	-	-49°				
DIAMÈTRE B.O.	PROJECTION HORIZONTALE 226m VERTICALE 265m	274,30	-	-50°				

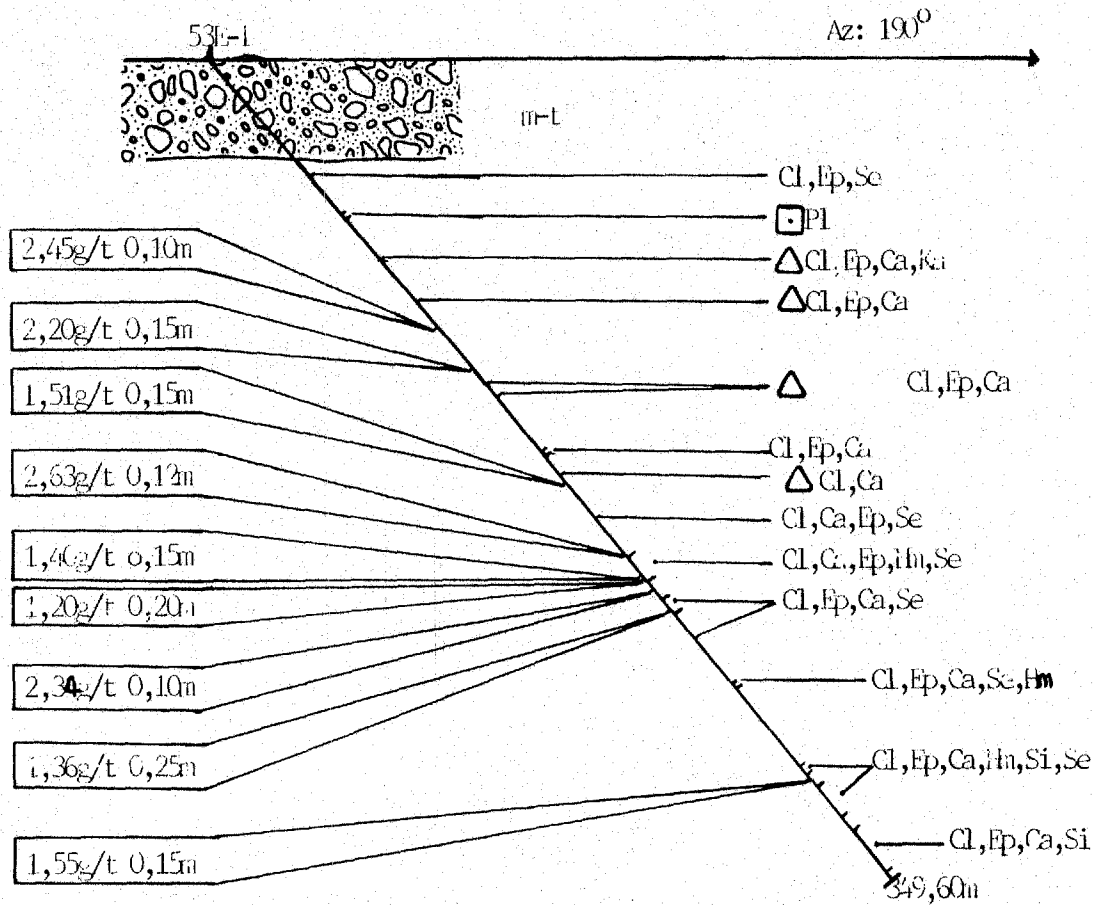


**LÉGENDE**


	mort-terrain	V.1 largeur des veines (cm)
	granodiorite	S 1 largeur des microcisailllements (cm)
	Basalte	
	enclave mafique	
	échantillon	14000
	bréchique	
	porphyrique	
	pas de structure spécifique	
	'V'	sections de densités de veines (cm)
	////	zone de cisaillement

**SYMBOLES**

Ep	épidotisation	Py	pyrite
Cl	chloritisation	Cp	chalcopryrite
Ca	carbonatation	Po	pyrrhotine
Si	silicification	Mo	molybdénite
Se	séricitisation	Mt	magnétite
Hm	hématitisation		
.....	légèrement altéré		
---	mouvement altéré		
---	fortement altéré		
Px	Pyroxène		
Pl	plagioclase		



## EXPLORATIONS MINIERES DU NORD LTEE

COUPE DE SONDAGE		COUPE No:	DATE: décembre 1987
PROJET:		SONDAGE: 53E-1	COLLET: -48,5°
PROPRIETE:	ISLE DIEU	ECHELLE: 1: 2500	RAPPORT:
CANTON:	ISLE DIEU	 <b>GÉOMINES LTÉE.</b>	
SECTEUR:	Matagami		

CAISSE	RÉC.	DESCRIPTION	PROF. m	LOG	TEXTURE (granulo. Ø) mm 1/256 1/16 1/8 1/4 1/2 1 16 64	MATRICE (mesostase)	FIGURE STRUC- TURE	S <sub>0</sub>	CIMENT ALTER.	MINÉR.	FRACTUR.			TROU: 53 E - 1								
											F	D	S	L	COTE m	NO.	ANALYSES					
																	da	M	Cu ppm	Zn ppm	As ppm	Ag ppm
42,5		0 - 42,65 m Mort - terrain	43	+		100																
1		42,65 - 346,55 m Granitoïde à teinte généralement rosâtre. La texture est hypidiomorphe avec passages porphyriques centimétriques à métriques. Le granitoïde est composé de feldspath (plagioclase) saussuritisé, de quartz fumé et de minéraux mafiques (hornblende) chloritisés. L'altération du granitoïde varie de légèrement à moyennement épidotisée, carbonatisée et chloritisée avec passages fortement altérés en silice.	44	+																		
			45	+						Py Tr.				14227	17	21	3,5	0,3	5			
			46	+							Py Tr.				14228	8	26	2,0	1,2	5		
			47	+																		
			48	+																		
			49	+																		
			50	+							Py Tr.					14229	8	22	1,5	0,3	6	
2		Les veines, généralement millimétriques sont composées de quartz, chlorite et carbonates et quelques fois d'épidote.	51	+						Py 0,5%					14230	20	25	3,5	0,4	5		
			52	+						Py Tr.					14231	8	21	1,5	0,3	5		
			53	+						Py Tr.					14232	7	22	0,5	0,6	5		
			54	+							Py Tr.					14233	12	17	0,5	0,2	6	
3		La minéralisation est constituée de pyrite et chalcopryrite. La pyrite se situe en majorité dans les veines, et quelques fois disséminée ou en amas. La chalcopryrite est disséminée, et en très faibles quantités (traces).	55	+																		
			56	+																		
			57	+																		
			58	+																		
			59	+																		
			60	+							Py 5%	V(1)	1	45			14234	47	20	7,0	0,9	337

TROU: 53 F - 1

CAISSE	REC.	DESCRIPTION	PROF. m	LOG	TEXTURE (granulo. Ø) mm					% MATRICE (mesostase)	FIGURE STRUCTURE	S <sub>0</sub>	CIMENT ALTER.	MINER.	FRACTUR.			L M	COTE m	NO.	ANALYSES									
					1/256	1/16	1/8	1/4	1						16	64	F				D	V	S	d	a	Cu	Zn	As	Ag	Au
																										g/ton	g/ton	g/ton	g/ton	g/ton
4				+							□			Py Tr.						61	14235	10	24	2,0	0,3	5				
					62	14236	9	19	3,0											1,7	4									
					63																									
					64																									
					65																									
					66	Py Cp 0.5%	S.1 2	50	66											14237	9	24	2,0	0,4	4					
					67	Py 5%			67											14238	213	31	41	2,1	590					
					68		V.1	140	68											14239	82	27	2,5	0,4	7					
5				+						80	□								69											
					70																									
					71																									
					72																									
					73																									
					74	Py Tr.	S.1 1	30	74										14240	5	15	1,5	0,3	6						
					75				75																					
					76				76																					
6				+						100	□							77	14241	5	15	2,0	0,4	5						
					78																									



TROU: 53 E - 1

CAISSE RÉC.	DESCRIPTION	PROF. m	LOG	TEXTURE (granulo. Ø) mm					%MATRICE (mesostase)	FIGURE STRUC- TURE	S <sub>d</sub>	CIMENT ALTER.	MINER.	FRACTUR.			L M	COTE m	NO.	ANALYSES						
				1/256	1/128	1/64	1/32	1/16						F	D	V				d	a	Cu	Zn	As	Ag	Au
				1/64	1/4	1	16	64						S	d	a				L	M	mm	g	g	g	g
10		97	+	+	+							Py Tr	S	1	30	97	14255	17	26	0,5	1,7	5				
		98	+	+	+											98										
		99	+	+	+											99	14275	89	20	2,0	0,6	6				
		100	+	+	+											100										
		101	+	+	+											101	14276	110	51	17,0	1,4	275				
		102	+	+	+											102										
		103	+	+	+											103	14256	32	19	2,0	0,5	6				
		104	+	+	+											104	14257	266	25	4,0	0,6	56				
		105	+	+	+											105	14258	12	33	1,5	0,5	4				
		106	+	+	+											105	14259	49	29	3,0	0,6	5				
11		106	+	+	+										106	14260	47	22	1,5	0,6	75					
		107	+	+	+										107											
		108	+	+	+										108											
		109	+	+	+										109											
		110	+	+	+										110											
		111	+	+	+										111											
		112	+	+	+										112											
		113	+	+	+										113											
12		114	+	+	+										114											
		114	+	+	+										114											





TROU: 53 E - 1

CAISSE	REC.	DESCRIPTION	PROF. m	LOG	TEXTURE (granulo. Ø) mm 1/256 1/16 1 16 64 1/64 1/4 4 64	%MATRICE (mesostase)	FIGURE STRUC- TURE	S <sub>0</sub>	CIMENT ALTER.	MINER.	FRACTUR.			L M	COTE m	NO.	ANALYSES				
											F	D	V				d	a	Ca	Zn	Al
16			133	+++					Ep Ca	Py Tr.	V.1	3	45		14270	76	14	60	6,4	2201	
	133,95		134	+++						Py 60%	V.1	2	45		14271	44	19	6,0	1,1	37	
			135	+++			□				V.1	2			14272	58	25	13,5	1,9	515	
17			136	+++							V.1	1	40								
			137	+++							V/S1	1	40								
			138	+++																	
	139,50		139	+++											14273	359	26	26	1,0	40	
			140	+++			△														
			141	+++																	
			142	+++																	
18			143	+++			□														
			144	+++																	
	145,25		145	+++			△														
			146	+++							V.1	1	45								
			147	+++																	
			148	+++			□			Py TR.	V.1	3	45		14281	51	17	4,0	0,3	17	
19	95%		149	+++						Py 2-3%	V.3	1	45		14282	27	27	71	93	150	
			150	+++							Ø.1	1	45								





TROU: 53 E - 1

CAISSE RÉC.	DESCRIPTION	PROF. m	LOG	TEXTURE (granulo. Ø) mm				MATRICE (mesostase)	FIGURE STRUC- TURE	S <sub>0</sub>	CIMENT ALTER.	MINER.	FRACTUR.				L M	COTE m	NO.	ANALYSES				
				1/256	1/16	1/8	1/4						F	D	V	S				d	a	Cu ppm	Zn ppm	As ppm
26 100%		187	+++								Py 1%	v.1	1	30	187	14306	24	18	4.0	0.2	20			
		188	+++												188									
		189	+++						□			Py Tr	v.5	1	65	189	14307	34	19	2.0	0.3	9		
													v.7	1	45		14308	20	22	6.0	0.3	8		
		190	+++									Py 5%	v.1	2	45	190	14309	33	16	2.0	0.2	8		
		191	+++									Py 1-2%	v.1	1	45		14310	17	17	0.5	0.3	9		
		192	+++									Py 3%	v.1	1	30	191	14311	32	16	6.0	0.5	409		
																192								
		193	+++									Py Tr	v.1	1	35		14312	209	15	4.0	0.4	37		
												Py 5-12%	v.1	3	45		14313	28	13	2.0	0.4	9		
27 100%		194	+++								Py Tr	v.1	1	30	193	14314	101	21	7.5	0.5	24			
																14315	13	19	4.0	0.8	7			
		195	+++									Py 30%	v.1	1	45		14316	13	19	3.0	0.8	7		
																194								
		196	+++										v.5	1	50		14317	16	21	7.0	0.6	7		
		197	+++									Py 1%	v.1	1	20	195	14318	17	23	2.0	0.6	5		
												Py 1-2%	v.1	1	30		14319	17	17	0.5	0.6	39		
		198	+++									Py 5%	v.1	2	45	196	14320	53	18	2.0	0.7	11		
28 100%		199	+++										v.1	1	40	197	14321	10	18	44	0.7	140		
		200	+++																					
		201	+++																					
		202	+++																					
		203	+++																					
29		204	+++																					

CAISSE	RÉC.	DESCRIPTION	PROF. m	LOG	TEXTURE (granulo. Ø) mm 1/256 1/16 1/4 1 16 64	MATRIÈRE (mesostase)	FIGURE STRUC- TURE	S <sub>0</sub>	CIMENT ALTÉR.	MINÉR.	FRACTUR.			L M	COTE m	NO.	ANALYSES						
											F	D	V				d	a	Cu ppm	Zn ppm	As ppm	Aa ppm	Au ppm
29	100%			+			△		EpCa	Py 2	V.5	1	45		14324	95	27	7.5	1.5	540			
																135	38	1.5	0.4	7			
																110	19	19.5	0.5	12			
																41	18	3.5	0.7	615			
																15	16	1.5	0.5	89			
																33	23	14.5	5.0	2632			
																43	20	2.5	0.7	20			
																10	23	5.0	0.6	14			
																14	22	0.5	0.6	4			
																7	21	0.5	0.6	4			
30	100%			+			□ PG			Py 100	V.1	1	40		14329	7	16	0.5	0.6	5			
																9	20	2.0	0.6	4			
																16	32	2.0	0.6	4			
																563	30	14.0	2.5	599			
																252	28	1.5	0.8	92			
																43	19	2.0	0.8	20			
																38	30	15.5	4.6	1397			
																30	23	2.0	0.5	73			
																13	28	2.0	0.7	129			
																14	20	1.5	0.6	8			
31	100%			+						Py 30%	V.1	1	50		14338	27	17	2.0	0.7	215			
																29	20	1.5	0.5	20			
																36	21	9.0	9.8	1197			
																27	17	2.0	0.7	215			
																29	20	1.5	0.5	20			
																36	21	9.0	9.8	1197			
																27	17	2.0	0.7	215			
																29	20	1.5	0.5	20			
																36	21	9.0	9.8	1197			
																27	17	2.0	0.7	215			
32				+						Py 20%	V.1	2	45		14347	17	28	4.5	0.5	17			
																17	28	4.5	0.5	17			



TROU: 53 E - 1

CAISSE	RÉC.	DESCRIPTION	PROF. m	LOG	TEXTURE (granulo. Ø) mm 1/256 1/16 1/64 1/4 1 16 64	MATRIÈRE (mesostase)	FIGURE STRUC- TURE	CIMENT ALTER.	MINER.	FRACTUR.			L M	COTE m	NO.	ANALYSES							
										F	D	V				S	d	a	Cu ppm	Zn ppm	As ppm	Ag ppm	Au ppm
35			241	+				Ep Ca					241										
	242,30		242	+			□						242										
			243	+									243										
			244	+									244										
36	100%		245	+			□ PG						245										
			246	+									246										
			247	+				Op Se	Py 1-2%	V 5	1 75		247	14364	102	21	6,5	0,5	10				
	248,00		248	+									248										
			249	+									249										
			250	+			□						250										
37	100%		251	+									251										
			252	+									252										
			253	+									253										
	253,75		254	+									254										
			255	+			□ PG						255										
			256	+									256										
38	100%		257	+			□						257										
			258	+									258										



CAISSE	RÉC.	DESCRIPTION	PROF. m	LOG	TEXTURE (granulo. Ø) mm					MATRICE (mesostase)	FIGURE STRUCTURE	S <sub>0</sub>	CIMENT ALTÉR.	MINÉR.	FRACTUR.			L M	COTE m	TROU NO.	ANALYSES				
					1/256	1/16	1/4	1	16						F	D	a				Cu ppm	Zn ppm	As ppm	Aa ppm	Au ppm
					1/64	1/4	1	16	D						S	a									
38			259	+								EpCa	Py 25%	V.I	1	45	259	14365	40	14	2,0	0,6	10		
259,55			260	+													260								
39	100%		261	+													261								
			262	+													262								
			263	+													263								
			264	+													264								
265,40			265	+													265								
			266	+								Cl	Py 1%	'V'	5	30	266	14366	25	22	1,5	0,6	23		
			267	+								Se-Hm	—	—	—	—	267	14367	17	29	3,0	0,7	32		
40	100%		268	+									Py -5%	V.I	3	45	268	14368	169	54	13,0	1,7	230		
			269	+									Py 2%	V.I	1	45	269	14369	104	35	2,5	0,6	28		
			270	+									Py Tr	'V'	2	45	270	14370	76	41	16,0	0,5	194		
			271	+									Py 5-10%	V.I	1	45	271	14371	26	30	2,0	0,6	7		
271,15			272	+										V.I	1	45	272	14372	20	27	1,5	0,7	46		
			273	+													273								
41	100%		274	+													274								
			275	+													275								
			276	+													276								





TROU: 53 E - 1

CAISSE REC.	DESCRIPTION	PROF. m	LOG	TEXTURE (granulo. Ø) mm					%MATRICE (mesostase)	FIGURE STRUCTURE	S <sub>0</sub>	CIMENT ALTER.	MINÉR.	FRACTUR.			L M	COTE m	NO.	ANALYSES					
				1/256	1/16	1/8	1/4	1/2						F	D	V				d	a	Cu	Zn	As	Aa
48	100%	313	+														14381								
		314	+																						
		315	+										Py 30%						27	22	3,5	0,7	303		
		316	+																17	20	4,0	0,6	131		
		317	+																8	18	1,0	0,4	6		
		318	+																						
49	100%	319	+																						
		320	+										Py 5% Py Tr	V.2	1	45									
		321	+																						
		322	+																						
		323	+																						
		324	+																						
50	100%	325	+																						
		326	+																						
		327	+																						
		328	+																						
		329	+																						
		330	+																						
50	100%	323	+																						
		324	+																						
50	100%	325	+																						
		326	+																						
50	100%	327	+																						
		328	+																						
50	100%	329	+																						
		330	+																						

TROU: 53 E - 1

CAISSE	RÉC.	DESCRIPTION	PROF. m	LOG	TEXTURE (granulo. Ø) mm 1/256 1/16 1/8 1/4 1/2 1 2 4 16 64	MATRICE (mesostase)	FIGURE STRUC- TURE	S <sub>0</sub>	CIMENT ALTÉR.	MINÉR.	FRACTUR.			L M	COTE m	NO.	ANALYSES						
											F	D	V				d	a	Cu mm	Zn mm	As mm	Aa mm	Au mm
51	100%		331	+						Py 3%	V.1	1	45		331	14392	51	25	1,5	0,5	386		
			332	+											332								
			333	+							Py 2-3%	V.1	1	45		333	14393	17	22	0,5	0,4	57	
			334	+							Py 20% Py TR.	V.1	2	45		334	14394	257	27	4,0	9,4	839	
			335	+							Py 10-20%	V.2	2	45		335	14397	660	53	18,0	3,2	1548	
52	100%		336	+						Py 3%	V.1	1	45		336	14398	156	16	3,0	0,4	62		
			337	+											337								
			338	+												338							
			339	+												339							
			340	+												340							
53	100%		341	+											341	14399	146	16	4,0	0,6	33		
			342	+											342	14400	26	18	66	0,7	180		
			343	+												343							
			344	+												344							
			345	+												345							
			346	+												346	14401	47	12	0,5	0,5	44	
			347	+												347	14402	74	20	9,5	0,4	12	
			348	+								Py 30%	V.1	2	45		348	14403	99	17	8,5	0,7	15



TROU: 53E-1

Echantillon	Intersection	Largeur	Composition des veines				
			Ca	Cl	Ep	Qz	Hm
14227	44,20 à 44,50	0,30	X	X		X	
14228	45,35 à 45,55	0,20					
14229	48,95 à 49,65	0,70					
14230	49,65 à 50,40	0,75					
14231	50,40 à 50,70	0,30					
14232	50,70 à 51,10	0,40					
14233	51,95 à 52,35	0,40					
14234	59,10 à 59,25	0,15				X	
14235	60,50 à 60,75	0,25					
14236	61,30 à 61,65	0,35					
14237	65,45 à 65,55	0,10	X				
14238	66,95 à 67,05	0,10					
14239	67,95 à 68,10	0,15					
14240	73,80 à 73,95	0,15					
14241	77,15 à 77,30	0,15					
14242	80,15 à 81,15	1,00					
14243	81,15 à 81,30	0,15					
14244	81,30 à 81,65	0,35					
14245	81,65 à 83,05	1,40					
14246	83,05 à 83,40	0,35					
14247	83,40 à 84,00	0,60					
14248	86,45 à 87,48	1,03					
14249	87,48 à 88,60	1,12					
14250	91,00 à 91,25	0,25					
14251	91,25 à 91,50	0,25					
14252	94,80 à 94,90	0,10					
14253	95,05 à 95,25	0,20					
14254	95,25 à 95,65	0,40					
14255	97,25 à 97,90	0,65					
14256	102,75 à 102,90	0,15					
14257	104,15 à 104,45	0,30					
14258	104,45 à 104,70	0,25					
14259	104,70 à 105,05	0,35					
14260	106,00 à 106,20	0,20					
14261	115,60 à 115,85	0,25					
14262	117,95 à 118,30	0,35					
14263	119,20 à 120,15	0,95					
14264	125,20 à 125,35	0,15					
14265	125,35 à 125,55	0,20					
14266	125,85 à 126,55	0,70					
14267	126,80 à 127,45	0,65					
14268	127,45 à 128,20	0,75					
14269	129,10 à 129,20	0,10					
14270	132,10 à 132,25	0,15					
14271	135,25 à 133,20	0,95					
14272	133,20 à 133,55	0,35					
14273	138,25 à 138,45	0,20					

TROU: 53E-1

Echantillon	Intersection	Largeur	Composition des veines						
			Ca	Cl	Ep	Qz	Hm	Ak	
14274	92,25 à 92,40	0,15							
14275	99,15 à 99,25	0,10							
14276	101,05 à 101,20	0,15							
14277	114,70 à 114,80	0,10							
14278	120,30 à 120,45	0,15							
14279	115,20 à 115,40	0,20							
14280	120,80 à 120,90	0,10							
14281	147,50 à 147,70	0,20	X	X			X		X
14282	148,50 à 148,65	0,15	X	X		X			
14283	154,55 à 154,85	0,30	X	X		X			
14284	154,95 à 155,10	0,15	X	X		X			
14285	159,35 à 159,60	0,25	X	X		X			X
14286	165,35 à 164,00	0,65	X	X		X			X
14287	164,00 à 164,35	0,35	X	X		X			X
14288	154,55 à 164,80	0,25	X			X			X
14289	165,20 à 165,45	0,25	X			X			
14290	164,45 à 165,70	0,25							
14291	165,70 à 165,90	0,20	X			X			
14292	166,10 à 166,45	0,35	X			X			
14293	162,70 à 162,85	0,15	X			X			
14294	170,45 à 170,60	0,25	X	X		X			
14295	172,65 à 172,80	0,15	X	X		X			
14296	177,25 à 177,40	0,15	X	X					
14297	178,50 à 178,60	0,10							
14298	180,25 à 180,40	0,15				X			X
14299	181,05 à 181,15	0,10							
14300	182,70 à 182,85	0,15							
14301	183,10 à 183,25	0,15							
14302	183,45 à 183,60	0,15							
14303	183,60 à 183,75	0,15	X	X		X			
14304	184,05 à 184,30	0,25	X	X		X			
14305	184,55 à 184,70	0,15	X	X		X			
14306	187,30 à 187,45	0,15	X	X		X			
14307	189,20 à 189,50	0,30	X			X	X		
14308	189,50 à 189,65	0,15							
14309	190,10 à 190,30	0,20	X	X					
14310	190,45 à 190,60	0,15	X	X					
14311	191,20 à 191,40	0,20	X	X					
14312	192,40 à 192,60	0,20	X	X					
14313	192,60 à 193,00	0,40	X	X		X			
14314	193,00 à 193,25	0,25	X	X		X			
14315	193,25 à 193,40	0,15	X	X		X			
14316	193,40 à 193,60	0,20	X	X					
14317	194,05 à 194,25	0,20	X	X		X			
14318	194,90 à 195,10	0,20	X	X		X			
14319	195,25 à 195,40	0,15	X	X					
14320	196,40 à 196,60	0,20							



TROU: 53E-1

Echantillon	Intersection	Largeur	Composition des veines				
			Ca	Cl	Ep	Qz	Hm
14321	196,60 à 196,75	0,15	X	X			
14322	197,10 à 197,25	0,15	X	X			
14323	199,95 à 200,00	0,05	X	X		X	
14324	204,45 à 204,60	0,15	X	X		X	
14325	204,60 à 205,60	1,00					
14326	206,45 à 206,75	0,30	X	X	X	X	
14327	206,75 à 206,90	0,15	X	X			
14328	207,70 à 207,80	0,10	X		X		X
14329	209,65 à 209,77	0,12					
14330	212,00 à 212,85	0,85					
14331	212,85 à 212,95	0,10	X	X	X		
14332	212,95 à 213,65	0,70					
14333	213,65 à 214,40	0,75					
14334	214,40 à 214,60	0,20	X			X	
14335	214,60 à 215,50	0,90					
14336	215,50 à 215,85	0,35	X			X	
14337	215,85 à 216,00	0,15	X			X	
14338	217,10 à 217,25	0,15	X	X		X	
14339	217,25 à 217,67	0,42					
14340	218,85 à 219,00	0,15	X	X	X	X	
14341	219,50 à 219,70	0,20					
14342	219,20 à 219,80	0,40	X	X	X	X	
14343	219,80 à 220,80	1,00	X		X		
14344	220,80 à 220,90	0,10					
14345	220,90 à 221,40	0,50					
14346	221,40 à 221,60	0,20	X	X		X	
14347	221,60 à 222,00	0,40					
14348	224,00 à 224,65	0,65					
14349	224,65 à 224,75	0,10	X			X	
14350	224,75 à 225,05	0,30					
14351	225,05 à 225,15	0,10	X	X		X	
14352	225,15 à 225,35	0,20		X			
14353	225,35 à 225,90	0,55	X			X	X
14354	227,75 à 277,85	0,10					
14355	227,85 à 228,20	0,35					
14356	228,20 à 228,30	0,10					
14357	228,30 à 228,75	0,45					
14358	230,05 à 231,20	1,15					
14359	231,20 à 232,40	1,20					
14360	232,40 à 233,65	1,25					
14361	233,65 à 233,90	0,25	X	X	X	X	
14362	233,90 à 234,30	0,40					
14363	235,15 à 235,85	0,70					
14364	246,85 à 247,25	0,40	X			X	
14365	258,55 à 258,65	0,10	X	X			
14366	266,15 à 266,25	0,10	X	X		X	
14367	266,25 à 267,30	1,05					
14368	267,30 à 268,45	1,15					

TROU: 53E-1

Echantillon	Intersection	Largeur	Composition des veines				
			Ca	Cl	Ep	Qz	Hm
14369	268,45 à 268,65	0,20	X	X		X	
14370	268,65 à 268,85	0,20	X	X		X	
14371	268,85 à 269,25	0,40					
14372	269,25 à 269,35	0,10	X	X		X	
14373	294,50 à 294,60	0,10	X	X		X	
14374	295,35 à 295,45	0,10	X			X	
14375	301,60 à 301,70	0,10	X	X		X	
14376	301,70 à 303,10	1,40					
14377	303,10 à 303,40	0,30				X	
14378	303,40 à 304,55	1,15					
14379	308,05 à 308,20	0,15	X	X		X	
14380	310,35 à 311,45	1,10					
14381	311,85 à 313,05	1,20					
14382	314,60 à 314,95	0,15	X	X		X	
14383	314,95 à 315,10	0,15					
14384	315,10 à 315,40	0,30					
14385	319,10 à 319,35	0,25					
14386	319,35 à 319,45	0,10				X	
14387	319,45 à 319,80	0,10					
14388	323,30 à 323,40	0,10	X	X		X	
14389	324,45 à 324,55	0,10	X		X	X	
14390	327,35 à 327,65	0,30	X			X	X
14391	329,10 à 329,30	0,20	X	X		X	
14392	331,25 à 331,35	0,10	X	X		X	
14393	333,25 à 333,35	0,10	X	X			
14394	333,35 à 333,75	0,40					
14395	333,75 à 334,00	0,25	X	X			
14396	334,00 à 334,40	0,40					
14397	334,40 à 334,55	0,15	X	X		X	
14398	335,90 à 336,00	0,10	X			X	
14399	340,05 à 341,40	1,35					
14400	341,90 à 342,30	0,40					
14401	345,40 à 346,25	0,85					
14402	346,25 à 346,70	0,45					
14403	346,70 à 346,80	0,10	X	X			



**GÉOMINES LTÉE.**

POUR Exploration Minière du Nord

**TESTS D'INCLINAISON**

**TROU:** 57F-1

DATE 6/3/88 GÉOLOGUE Ivan Leith

PROPRIÉTÉ Isle-Dieu

PROF.(m)	DIR.	INCL.	PROF.(m)	DIR.	INCL.
collet	90°	-45°			
81,40		-46°			
160,60		-46°			

LONGUEUR 160,60m

FORÉ PAR Rousseau

CLAIM NO 407248-5

DIRECTION 90° INCLINAISON -45°

DATE 04-03-88 au 06-03-88

CANTON Isle-Dieu

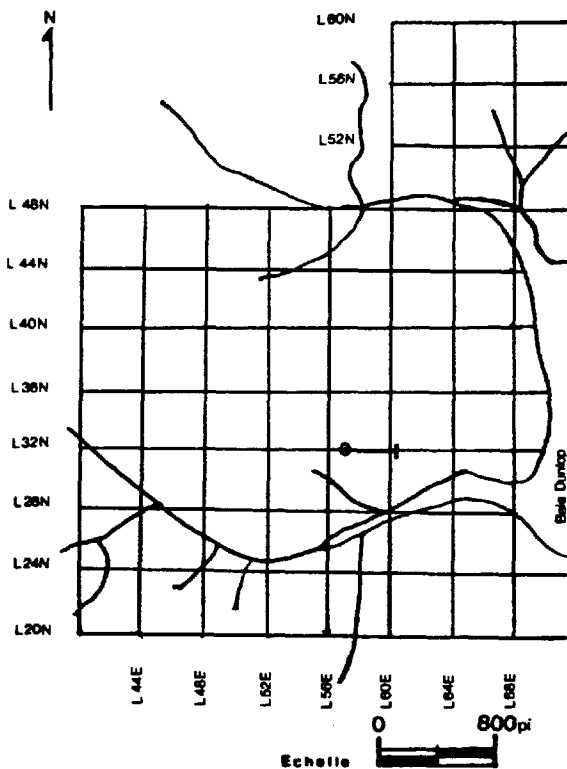
LIGNE 57+00E STATION 32+00N

DIAMÈTRE B.Q. et N.Q. (cuvelage)

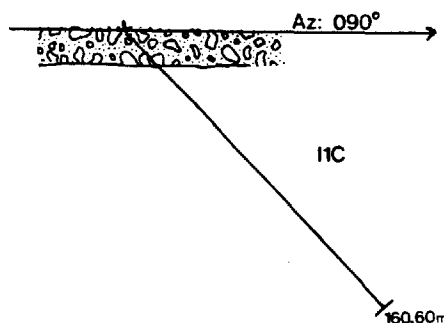
PROJECTION HORIZONTALE 110m VERTICALE 116m

S.N.R.C. 32F/15 ALTIMÉTRIE

**LOCALISATION**



**SECTION**

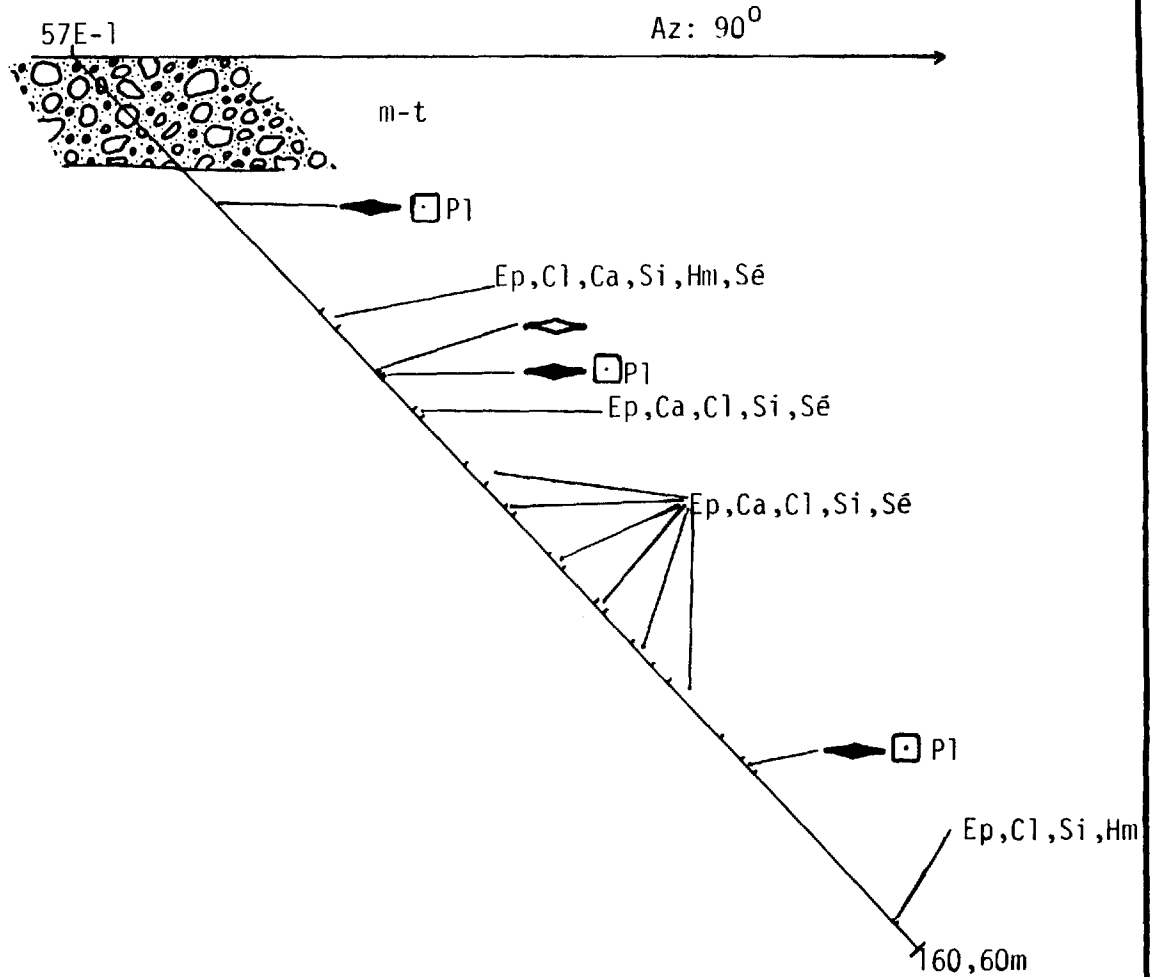


**LÉGENDE**

- mort-terrain
- granodiorite
- Basalte
- enclave mafique
- 14000 échantillon
- bréchique
- porphyrique
- pas de structure spécifique
- sections de densités de veines v.1, D.1 largeur de veines ou diaclases (cm)
- enclaves intermédiaire


**SYMBOLES**

- Ep épidotisation
- Cl chloritisation
- Ca carbonatation
- Si silicification
- Se séricitisation
- Hm hématitisation
- ..... légèrement altéré
- mouvement altéré
- fortement altéré
- Px Pyroxène
- Pl plagioclase
- Py pyrite
- Cp chalcoppyrite
- Po pyrrhotine
- Mo molybdénite
- Mt magnétite



- ◆ enclave volcanique mafique
- ◇ enclave volcanique intermédiaire

## EXPLORATIONS MINIERES DU NORD LTEE

COUPE DE SONDAGE	COUPE No:	DATE: mars 1988
PROJET:	SONDAGE: 57E-1	COLLET: -45°
PROPRIETE: ISLE DIEU	ECHELLE: 1: 1000	RAPPORT:
CANTON: ISLE DIEU	 <b>GÉOMINES LTÉE.</b>	
SECTEUR: Matagami		







CAISSE REC.	DESCRIPTION	PROF. M	LOG	TEXTURE (granulo. Ø) mm	MATRICE (massolite)	FIGURE STRUCTURE	S <sub>0</sub>	CIMENT ALTER.	MINÉR.	FRACTUR.			TROU: 57E-1		ANALYSES					
										F	D	V	L	COTE m	NO.	Cu nom	Zn nom	As nom	Ag nom	Au nom
10	99%	74	+										74	18306	17	27	3,0	0,6	7	
		75												75	18307	22	20	3,5	0,4	31
		76												76						
		77												77	18308	22	15	9,0	0,9	10
78,00		78					□							78						
		79												79						
		80							Py 1%					80	18309	11	18	2,0	0,2	23
		81												81						
11	100%	82												82	18310	10	26	4,5	0,5	7
		83												83	18311	19	22	10,0	0,7	9
83,80		84												84						
		85												85						
		86												86						
		87						Py 3%					87	18312	11	18	3,5	0,6	41	
		88						Py Tr					88	18313	7	25	2,0	0,5	7	
89,75		89				□							89							
		90											90							
13		91											91							



CAISSE	RÉC.	DESCRIPTION	PROF. m	LOG	TEXTURE (granulo. Ø) mm 1/256 1/16 1/8 1/4 1 16 64	MATRICE (mesostase)	FIGURE STRUC- TURE	S <sub>0</sub>	CIMENT ALTÉR.	MINÉR.	FRACTUR.			TROU: 57E-1		ANALYSES					
											F D S	d	a	L M	COTE m	NO.	Cu mm	Zn mm	As mm	Ag mm	Au nob
13	100%			+			□			Py 20%	0.1	1	30	92	18319	6	19	2,0	0,4	174	
														93	18314	15	24	7,5	0,4	9	
														94	18320	7	20	1,5	0,5	45	
														95							
														96	18315	19	17	1,5	0,4	54	
														97	18316	13	17	2,0	0,4	42	
														98							
														99	18317	11	19	11,5	0,5	18	
														100	18318	8	26	4,0	0,5	10	
											14	100%			+			□			Py 5%
			102																		
			103	18334	16	19	2,0	0,6	7												
			104																		
			105	18321	15	17	1,0	0,8	148												
			106	18322	24	29	14,0	0,8	10												
			107	18323	44	29	13,0	3,6	363												
			108	18324	51	30	32	1,5	86												
			109	18325	20	29	19,0	0,8	8												
15	100%			+			□			Py 1%											
														102							
														103	18334	16	19	2,0	0,6	7	
														104							
														105	18321	15	17	1,0	0,8	148	
														106	18322	24	29	14,0	0,8	10	
														107	18323	44	29	13,0	3,6	363	
														108	18324	51	30	32	1,5	86	
														109	18325	20	29	19,0	0,8	8	
											16	100%			+			□			Py 3%
			102																		
			103	18334	16	19	2,0	0,6	7												
			104																		
			105	18321	15	17	1,0	0,8	148												
			106	18322	24	29	14,0	0,8	10												
			107	18323	44	29	13,0	3,6	363												
			108	18324	51	30	32	1,5	86												
			109	18325	20	29	19,0	0,8	8												

CAISSE RÉC.	DESCRIPTION	PROF. m	LOG	TEXTURE (granulo. Ø) mm 1/256 1/16 1 16 64 1/64 1/4 4	MATRICE (mesostase)	FIGURE STRUC- TURE	S <sub>0</sub>	CIMENT ALTER.	MINÉR.	FRACTUR.			L M	COTE m	TROU: NO.	ANALYSES										
										F D S	V d	a				Cu	Zn	As	Ag	Au						
																					mm	mm	mm	mm	mm	
16 112,00	100%	110	+	---	---	□	---	---	Py 3%	v.2	130	---	---	18326	8	30	8,5	0,7	7							
		v.1								35	18327			10	22	3,5	3,3	575								
		---								---	---			---	---	---	---	---								
		---								---	---			---	---	---	---	---								
		---								---	---			---	---	---	---	---								
17 118,70	98%	112	+	---	---	---	---	---	---	---	---	---	---	18328	16	28	9,5	0,8	13							
		113																		---	---	---	---	---	---	---
		114																		---	---	---	---	---	---	---
		115																		---	---	---	---	---	---	---
		116																		---	---	---	---	---	---	---
18 124,35	100%	116	+	---	---	---	---	---	Py 20%	v.2	30	---	---	18330	18	22	20,0	1,2	106							
		---								---	---			---	---	---	---	---								
		117								---	---			---	---	---	---	---								
		118								---	---			---	---	---	---	---								
		119								---	---			---	---	---	---	---								
19	---	120	+	---	---	□	---	---	---	---	---	---	---	---	---	---	---	---	---							
		121																		---	---	---	---	---	---	---
		122																		---	---	---	---	---	---	---
		123																		---	---	---	---	---	---	---
		124																		---	---	---	---	---	---	---
		125																		---	---	---	---	---	---	---
		126																		---	---	---	---	---	---	---
		127																		---	---	---	---	---	---	---





**TROU: 57E-1**

Echantillon	Intersection	Largeur	Composition des veines					
			Ca	Cl	Ep	Qz	Hm	
18299	33,60 à 33,75	0,15	X	X		X		
18300	39,05 à 39,20	0,15	X	X				
18301	39,60 à 39,70	0,10	X	X				
18302	40,15 à 40,45	0,30	X	X				X
18303	40,75 à 40,90	0,15	X	X				
18304	46,55 à 47,85	1,30						
18305	63,80 à 65,05	1,25						
18306	73,70 à 74,40	0,70						
18307	74,40 à 75,75	1,35						
18308	75,75 à 77,15	1,40						
18309	79,80 à 79,95	0,15	X	X				
18310	81,90 à 82,25	0,35						
18311	82,25 à 82,65	0,40						X
18312	86,85 à 87,00	0,15	X	X				
18313	88,85 à 88,95	0,10		X				
18314	92,60 à 93,30	0,70						
18315	96,05 à 96,20	0,15	X	X				
18316	96,35 à 96,55	0,20	X	X				
18317	98,30 à 99,10	0,80						
18318	99,10 à 100,05	0,95						
18319	91,30 à 91,45	0,15	X	X				
18320	94,20 à 94,35	0,15						
18321	104,90 à 105,05	0,15						X
18322	105,35 à 106,30	0,95						
18323	106,30 à 106,45	0,15	X	X				X
18324	106,45 à 107,95	1,50						
18325	107,95 à 109,35	1,40						
18326	109,35 à 109,40	0,05	X	X				X
18327	110,15 à 110,30	0,15	X	X				
18328	112,00 à 114,55	2,55						
18329	114,55 à 116,00	1,45						
18330	116,00 à 116,15	0,15	X	X				X
18331	116,15 à 117,50	1,35						
18332	117,50 à 118,70	1,20						
18333	118,70 à 119,30	0,60						
18334	103,05 à 103,25	0,20	X	X				
18335	155,75 à 156,35	0,60						

**GÉOMINÉS LTÉE.**

DATE 20/1/88 GÉOLOGUE V. Leith

FORÉ PAR Rousseau

DATE 19-01-88 au 21-01-88

DIAMÈTRE B.Q.

POUR Explorations Minières du Nord Ltée

PROPRIÉTÉ Isle-Dieu

CLAIM NO 110206-3

CANTON Isle-Dieu

PROJECTION HORIZONTALE 62m VERTICALE 71m

**TESTS D'INCLINAISON**

PROF.(m)	DIR.	INCL.	PROF.(m)	DIR.	INCL.
Collet	53°	-45°			
41,76		-50°			
93,57		-48°			

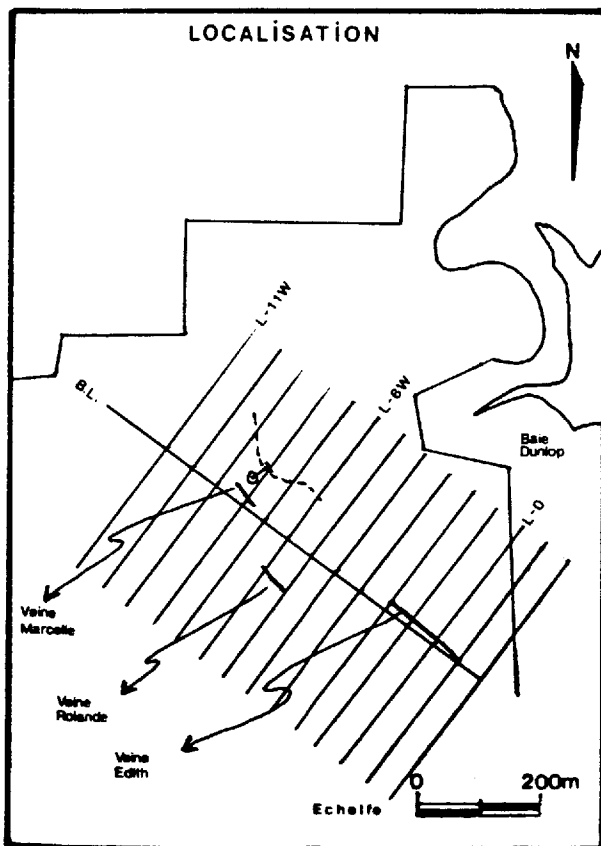
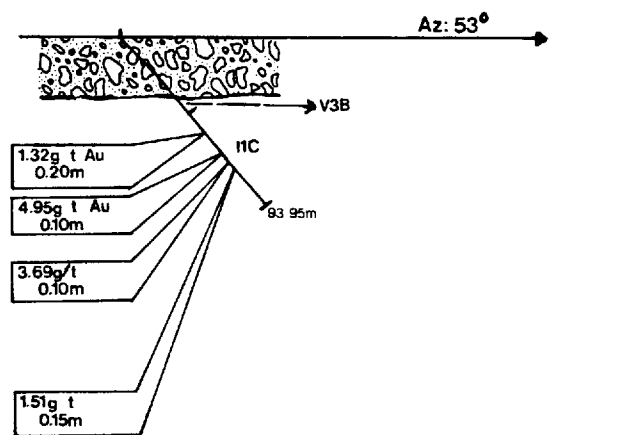
**TROU:** 825M-6

LONGUEUR 93,95 m

DIRECTION 53° INCLINAISON -45°

LIGNE 8+25 W STATION 0+87N

S.N.R.C. 32F/13 ALTIMÉTRIE 4930,5

**LOCALISATION****SECTION**

V3B basalte  
IC granodiorite

Echelle 0 50m

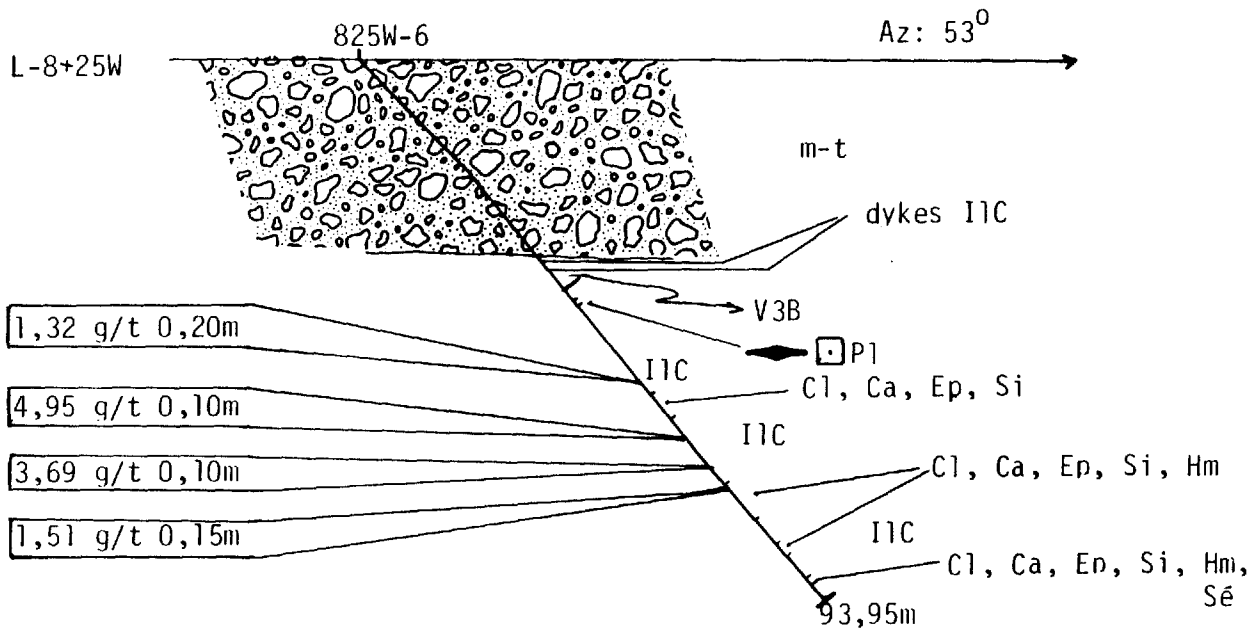
**LÉGENDE**

- mort-terrain
- granodiorite
- Basalte
- enclave mafique
- échantillon 14000
- brèche
- porphyrique
- pas de structure spécifique

'v' section de densité de veines  
V.1 largeur des veines en centimètre


**SYMBOLES**

- Ep Epidotisation
- Cl chloritisation
- Ca carbonatation
- Si silicification
- Se séricitisation
- Mm hématisation
- ..... légèrement altéré
- mouvement altéré
- fortement altéré
- Px Pyroxène
- Pl plagioclase
- Py pyrite
- Cp chalcopyrrite
- Po pyrrotine
- Mo molybdénite
- Mt magnétite
- Fc fuschite



◆ enclave volcanique mafique

## EXPLORATIONS MINIERES DU NORD LTEE

COUPE DE SONDAGE	COUPE No:	DATE: janvier 1988
PROJET:	SONDAGE: 825W-6	COLLET: -45°
PROPRIETE: ISLE DIEU	ECHELLE: 1:1000	RAPPORT:
CANTON: ISLE DIEU	 <b>GÉOMINES LTÉE.</b>	
SECTEUR: Matagami		

CAISSE	REC.	DESCRIPTION	PROF. m	LOG	TEXTURE (granulo. Ø) mm	MATRICE (mesostase)	FIGURE STRUCTURE	CIMENT ALTÉR.	MINÉR.	FRACTUR.			TROU: 825-11-6									
										F	D	S	L	COTE m	NO.	ANALYSES						
																AN	AN	AN	AN	AN		
35,00		0 à 35 m Mort-terrain	35																			
1	90%	De 35 à 42 m Basalte de couleur vert foncé à grains moyens avec une texture généralement massive. Le basalte est moyennement chloritisé, carbonatisé et légèrement épidotisé.	36																			
			37																			
			38																			
			39																			
			40																			
			41																			
			42																			
			43																			
			44																			
			45																			
40,30	40%	Les veines, généralement millimétriques, sont peu abondantes et d'orientation générale de 45° à 60°/AC. La roche est fortement fracturée.	46																			
47																						
48																						
49																						
50																						
51																						
52																						
2			75%	La minéralisation est inexistante.	45																	
					46																	
46,15			40%	La minéralisation est inexistante.	46																	
47																						
48																						
49																						
50																						
51																						
52																						
3	75%	La minéralisation est inexistante.			45																	
					46																	
51,90					52																	





TROU: 825-11-6

CAISSE RÉC.	DESCRIPTION	PROF. m	LOG	TEXTURE (granulo. Ø) mm					MATRICE (mesostase)	FIGURE STRUC- TURE	S <sub>0</sub>	CIMENT ALTER.	MINER.	FRACTUR.				L M	COTE m	NO.	ANALYSES				
				1/256	1/16	1/4	1	16						F	D	d	a				Cu	Zn	As	Ag	Au
				1/64	1/4	1	16	64						V	S						ppm	ppm	ppm	ppm	ppm
7	100%	De 42 à 93,95 m Granodiorite de couleur grisâtre à brunâtre, avec une teinte légèrement rosâtre à grains grossiers. La texture est hypidiomorphe avec quelques passages prophyriques. La granodiorite est composée de feldspath (plagioclase) saussuritisé, de quartz fumé et de minéraux mafiques (hornblende) chloritisés. La roche est généralement altérée en chlorite et épidote, avec des passages fortement silicifiés, hématitisés, chloritisés, épidotisés et séricitisés.	71	+								Py < 1%	V	1	40	71	14559	138	27	2.0	0.5	55			
			72	+					□			Py > 20%	V	2	60	72	14560	1069	19	1.0	1.1	74			
			73	+												73									
			74	+								Py 30%	V	1	30	74	14561	301	25	6.5	4.8	1505			
			75	+								Py < 1%				75	14562	200	18	1.0	0.7	68			
			76	+								Py < 1%	V	8	50	76	14563	199	21	17.5	0.7	22			
			77	+											55	77									
			78	+								Py < 1%	V	4	20	78	14564	83	21	6.0	0.6	30			
			79	+											40	79									
			80	+											60	80									
			81	+												81									
			82	+												82									
			83	+												83									
			84	+												84									
			85	+					□			Py < 1% Pz TR.	V3-5	2	40	85	14566	129	27	17.0	0.8	11			
			86	+											50	86	14567	84	24	4.0	0.6	8			
			87	+												87									
			88	+												88									

CAISSE	RÉC.	DESCRIPTION	PROF. M	LOG	TEXTURE (granulo. Ø) mm 1/256 1/16 1/64 1/4 1/2 1 2 4 8 16 32 64	MATRICE (mesostase)	FIGURE STRUC- TURE	S	CIMENT ALTÉR.	MINÉR.	FRACTUR.			TROU: 825-11-6		Page 1 de 4						
											F	D	S	L	COTE m	NO.	ANALYSES					
																	a	M	Cu mm	Zn mm	As mm	Ag mm
10	958	Fin du sondage à 93,95 m Cuvelage laissé	89	+						Py 40%	V.1	1	40	89	14568	133	23	2.5	0.8	92		
			90	+						Py 1-2%	V.1	1	30	90	14569	68	18	1.0	0.4	4		
			91	+							Py < 1%				91	14570	534	29	9.5	0.7	8	
			91	+							Py < 1%	V.1	1	40	91	14571	195	16	50	0.6	10	
			91	+							Py 20%			45		14572	533	16	47	1.0	22	
			92	+											92							
			93	+								Py < 1%	V.1	20		93	14573	44	31	4.0	0.8	4
			94	+												94						
			95	+												95						
			96	+												96						
97	+												97									

TROU: 825W-6

Echantillon	Intersection	Largeur	Composition des veines					
			Ca	Cl	Ep	Qz	Hm	
14553	45,70 à 45,85	0,15	X			X		
14554	55,55 à 55,75 1324	0,20	X	X		X		
14555	64,55 à 64,60	0,05	X	X		X		
14556	65,30 à 65,40 4550	0,10	X	X		X	X	
14557	65,90 à 66,00	0,10	X	X		X		
14558	69,95 à 70,05	0,10	X					X
14559	70,05 à 70,60	0,55	X	X	X			X
14560	71,05 à 71,15	0,10	X	X	X			
14561	73,35 à 73,50 1505	0,15	X				X	X
14562	75,30 à 75,40	0,10			X			
14563	75,40 à 76,90	1,50	X	X		X		
14564	76,90 à 77,80	0,90	X	X				
14565	77,80 à 78,25	0,45	X	X				
14566	84,25 à 85,85	1,60						
14567	85,85 à 86,25	0,40						
14568	88,90 à 89,00	0,10	X	X				
14569	89,60 à 89,70	0,10	X	X				
14570	90,35 à 90,65	0,30						
14571	90,65 à 91,10	0,45						
14572	91,10 à 91,25	0,15	X	X		X		
14573	92,90 à 93,15	0,25	X	X				X

TERRAIN  
PROPERTY Isle-Dieu (Dunlop Bay)

CANTON  
TOWNSHIP ISLE-DIEU

TROU No 925-81-  
HOLE No.

RN-M-227

EXPLORATEURS DU NORD-QUEBECOIS LTEE. (OPTION SOQUEM)

JOURNAL DE SONDAGES AU DIAMANT - DIAMOND DRILL RECORD

CLAIM No. 110206-1 LOT No. RANG VI  
RANGE VI

Translation by R. Gosselin  
R. G.

FEUILLE No 1  
SHEET No.

SECTION L56-00E  
3-00N

COORDONNÉES ORIFICE  
CO-ORDINATES COLLAR

LAT. 49°48'46" LONG. 77°34'00"

ÉLEVATION ORIFICE  
ELEVATION COLLAR 270 meters

ORIENTATION  
BEARING 340°  
ANGLE 50° at 0m; 47° at 45m; 46° at 90m;  
DIP 44° at 135m; 43° at 180m; 43° at 213m.

LONGUEUR TOTALE 213.24 meters  
TOTAL LENGTH

COMMENCÉ LE  
DATE BEGUN September 10, 1981

TERMINÉ LE  
DATE TERMINATED September 16, 1981

JOURNAL PAR  
LOGGED BY Pierre Verpaelst

core (meters)		DESCRIPTION	ÉCHANTILLON — SAMPLE				ANALYSE — ASSAY	
DE FROM	À TO		No.	DE FROM	À TO	LONGR. LENGTH	Au gr/t	
0	5.18	CASING. Overburden with numerous granitoid boulders (up to 25 cm). Hard to go through (1½ day).						
5.18	11.06	ANDESITE. Gray-greenish dark; fine grained to aphanitic; massive (plagioclase-amphibole-chlorite (quartz)); usually magnetic. The andesite is usually cut by millimetric fractures filled by quartz and/or calcite and/or epidote and/or chlorite and/or disseminated sulfide (generally pyrite). There are also several coarse grained monzonite veins of few centimeters thick; (plagioclase-orthose-amphibole-chlorite (quartz)). There are less open fractures in these veins. 5.18-6.04: Numerous fractures (mm) filled with chlorite and/or hematite (limonite). 25°-60°-65° c.a. (core axis) 5.42-5.51: Monzonite vein, 70° c.a. 6.04-12.00: Magnetic andesite. 6.04-7.10: Zone of fractures (<1mm) filled with epidote, 15°-45° c.a. 7.40: Vein (.5cm) quartz, c, p, e, py (<5%). 7.90-8.73: Coarse grained monzonite dike. Variable angle of contacts. 8.73-9.05: Aphanitic massive andesite.	147626*	5.18	8.23	3.05	0.005	
			147627*	8.23	11.28	3.05	0.015	

\*Sludge sample

Hole No: 1300N-1Ref. Grid: Soquem grid (1981)Co-ordinates: L-13+00N , 2+40E (41+30N, 47+20E)Azimuth: N90Dip: -45Total Length: 175.26 meters

Horizontal Proj.: \_\_\_\_\_

Vertical Proj.: \_\_\_\_\_

Dip Test

Depth Angle

50m -45100m -42150m -39175m -38Prospect: ISLE-DIEUVenture No: \_\_\_\_\_ N.T.S.: 32F/13Location Area/Twp: Isle-Dieu Twp.Claim No: 195226-5Core Size: BQDrill Contractor: Forage Mercier Inc.Date Started: January 22 , 1987Date Completed: January 28 , 1987

Depth		Description	Sample No.	Intersection		Analysis				
From	To			From - To	Width (m)	Au ppb	Ag ppm	Cu ppm	Zn ppm	As ppm
0	17.07	OVERBURDEN (Casing down to 18.90m)								
17.07	175.26	GRANITE Whitish-grey to pinkish-grey, coarse grain with local grey, fine grain matrix porphyric phases. Lightly to moderately, fractured, hematized, epidotized, chloritized and carbonatized in places.								
		19.5:Qtz-carb-py veinlet 5 mm wide at 25-30 c/a.	8218	19.5-19.65	0.15	232	0.4	40	29	4.5
		21.05:Qtz-carb-py shear 1 cm wide at 30-35 c/a.	8219	21.05-21.2	0.15	263	0.4	23	30	5.0
		22.7:Qtz-carb-py veinlet 5 mm wide at 35 c/a.	8220	22.7-22.8	0.1	1953	4.6	35	37	8.0
		23.1:Carbonatized shear 1 cm wide at 35 c/a with 3 % pyrite.	8221	23.1-23.2	0.1	34	0.3	25	32	5.0
		24.7:Qtz-carb-py veinlet 5 mm wide at 35 c/a.	8222	24.7-24.8	0.1	261	0.5	51	52	8.5

Logged by: Bernard Borduas, Geologist.

Depth		Description	Sample No.	Intersection		Analysis				
From	To			From - To	Width	Au ppb	Ag ppm	Cu ppm	Zn ppm	As ppm
		26.1:Idem to 8222.	8223	26.1-26.25	0.15	1501	1.1	14	26	4.0
		27.4:Idem to 8222.	8224	27.4-27.5	0.1	1175	0.4	27	24	5.5
		28.9:Idem to 8222.	8225	28.9-29	0.1	511	0.4	31	21	4.5
		29.7:Idem to 8222.	8226	29.7-29.8	0.1	758	0.6	25	27	6.5
		30.1:Qtz-carb-py veinlet, millimetric at 25 c/a.	8227	30.1-30.25	0.15	54	0.3	158	26	2.5
		30.55:Qtz-carb-py veinlet 5 mm wide at 25 c/a.	8228	30.55-30.65	0.1	41	4.7	19	48	4.0
		33:Altered granite, slightly sheared 35 c/a, carbonatized and epidotized with a few millimetric Qtz-carb-py veinlets.	8229	33-33.45	0.45	442	0.7	83	92	12.0
		38.35:Zone moderately, carbonatized and slightly hematized with 2 millimetric Qtz-carb-py veinlets at 35 & 40 c/a.	8230	38.35-38.7	0.35	1303	0.6	51	40	3.5
		39.2:Zone slightly sheared 45-60 c/a, moderately hematized and slightly carbonatized with trace of pyrite.	8231	39.2-39.55	0.35	9	0.2	18	35	3.0
		39.85:Qtz-carb-py veinlet 5 mm wide at 25-30 c/a.	8232	39.85-39.95	0.1	1562	1.5	32	20	8.5
		42.25:Qtz-carb-py millimetric veinlet at 35 c/a.	8233	42.25-42.35	0.1	9200	30.0	164	36	10.0
		42.65:Two Qtz-carb-py veinlets 5 mm wide at 35 c/a.	8234	42.65-42.8	0.15	642	1.0	168	42	11.0
		43.1:Qtz-carb-py millimetric veinlet at 35 c/a.	8235	43.1-43.2	0.1	1006	0.2	37	19	4.0
		44.6:Idem to 8235.	8236	44.6-44.7	0.1	10	0.2	28	19	2.0
		47.1:Idem to 8235.	8237	47.1-47.2	0.1	800	0.2	14	17	1.5
		49.75:Idem to 8235 but at 25 c/a.	8238	49.75-49.85	0.1	321	0.4	46	22	2.0

Depth		Description	Sample No.	Intersection		Analysis				
From	To			From - To	Width	Au ppb	Ag ppm	Cu ppm	Zn ppm	As ppm
		55.5:Idem to 8235 but at 30 c/a.	8239	55.5-55.6	0.1	646	0.9	35	29	13.5
		56.6:Zone slightly hematized and chloritic with 3 qtz-carb-py millimetric veinlets at 30 c/a.	8240	56.6-57.25	0.65	66	0.2	33	30	2.5
		58.1:Qtz-carb-py millimetric veinlet at 30 c/a.	8241	58.1-58.2	0.1	17	0.2	13	25	1.5
		58.95:Zone with 3 qtz-carb-py millimetric veinlets at 30 c/a.	8242	58.95-59.25	0.3	67	0.2	11	21	3.0
		59.55:Idem to 8241.	8243	59.55-59.65	0.1	1076	0.4	18	23	8.5
		60:Zone of altered granite, sheared 30 c/a, epidotized and carbonatized (olive-green) with tr py.	8244	60-60.4	0.4	41	0.3	6	27	2.5
		60.7:Idem to 8241.	8245	60.7-60.8	0.1	89	0.3	15	25	3.0
		61.3:Zone with 2 millimetric qtz-carb-py veinlets at 35 c/a.	8246	61.3-61.45	0.15	150	0.2	40	23	4.0
		61.8:Qtz-carb-py millimetric veinlet at 25 c/a.	8247	61.8-61.9	0.1	50	0.2	6	39	1.0
		65:Idem to 8247 but at 25 c/a.	8248	65-65.15	0.15	59	0.2	16	24	1.5
		65.3:Zone of altered granite, sheared 35-45 c/a, epidotized, carbonatized and chloritized with local trace of pyrite over 3.1 meters.	8249	65.3-66.3	1.0	9	0.3	59	20	1.5
			8250	66.3-67.3	1.0	8	0.2	28	23	1.0
			8251	67.3-68.4	1.1	25	0.2	55	39	1.0
		68.9:Zone with 2 millimetric qtz-carb-py veinlets at 30 c/a.	8252	68.9-69.1	0.2	637	0.2	25	20	1.5
		69.8:Zone with 5 millimetric qtz-carb-py veinlets at 30 c/a.	8253	69.8-70.6	0.8	2452	0.4	38	198	4.5
		71.2:Qtz-carb-py millimetric veinlet at 30 c/a.	8254	71.2-71.3	0.1	294	0.4	14	34	3.5
		72.45:Idem to 8254 but at 25 c/a.	8255	72.45-72.55	0.1	538	0.2	16	20	1.5
		73.2:Qtz-carb-py veinlet 8 mm wide at 30 c/a.	8256	73.2-73.3	0.1	7976	18.5	32	71	14.5



Depth		Description	Sample No.	Intersection		Analysis				
From	To			From - To	Width	Au ppb	Ag ppm	Cu ppm	Zn ppm	As ppm
		76.8:Zone with 2 millimetric Qtz-carb-py veinlets at 30 c/a.	8257	76.8-77	0.2	141	0.2	14	20	1.5
		79.75:Qtz-carb-py millimetric veinlet at 30 c/a.	8258	79.75-79.85	0.1	816	0.4	13	22	1.5
		81.8:Idem to 8258.	8259	81.8-81.9	0.1	145	0.5	35	62	4.0
		82.4:Idem to 8258.	8260	82.4-82.5	0.1	124	0.3	14	19	1.5
		83.1:Idem to 8258.	8261	83.1-83.2	0.1	10	0.2	93	35	2.0
		85.7:Qtz-carb-epidote silicified shear 3 cm wide at 30 c/a with 3-4 % pyrite.	8262	85.7-85.8	0.1	1458	0.5	390	16	19.0
		86.2:Qtz-carb-py millimetric veinlet at 30 c/a.	8263	86.2-86.3	0.1	33	0.2	58	30	3.0
		86.8:Idem to 8263.	8264	86.8-86.9	0.1	112	0.3	19	27	2.5
		89.2:Qtz-carb veinlet 1 cm wide at 30 c/a with 10 % pyrite.	8265	89.2-89.3	0.1	5575	9.0	163	39	42
		97.75:Lost core over 50 cm.								
		100.3:Qtz-carb-py millimetric veinlet at 40 c/a.	8266	100.3-100.4	0.1	330	0.4	38	21	2.0
		100.6:Idem to 8266.	8267	100.6-100.7	0.1	1117	0.3	19	19	2.5
		112.8:Qtz-carb-py millimetric veinlet at 25-30 c/a with a little black tourmaline.	8268	112.8-112.9	0.1	110	0.5	22	22	5.5
		113.6:Qtz-carb-py veinlet 5 mm wide at 30 c/a.	8269	113.6-113.7	0.1	378	0.3	35	21	6.0
		117.1:Zone of strongly altered granite, epidotized, carbonatized and slightly hematitic, sheared at 35 c/a with trace of py.	8270	117.1-117.6	0.5	12	0.2	51	23	5.0
		118.6:Chloritized shear 5 mm wide at 35 c/a with 10 % pyrite.	8271	118.6-118.7	0.1	606	1.5	17	31	5.0
		126.1:Qtz-carb-py veinlet at 35 c/a	8272	126.1-126.2	0.1	292	0.3	15	19	2.0

Depth		Description	Sample No.	Intersection		Analysis				
From	To			From - To	Width	Au ppb	Ag ppm	Cu ppm	Zn ppm	As ppm
		129.3:Silicified, chloritized shear 5 mm wide at 35 c/a with 5 % py.	8273	129.3-129.4	0.1	23	0.3	24	23	18.0
		134.1:Qtz-carb-py millimetric veinlet at 35 c/a.	8274	134.1-134.2	0.1	1540	0.6	15	21	2.5
		135.9:Qtz-carb-py millimetric veinlet at 25 c/a.	8275	135.9-136	0.1	1128	0.4	17	17	2.5
		137.35:Zone with 8 millimetric qtz-carb-py veinlets at 30-35 c/a.	8276	137.35-138.45	1.1	74	0.2	94	22	5.0
		138.8:Zone with 2 millimetric qtz-carb-py veinlets at 25-30 c/a.	8277	138.8-139.1	0.3	39	0.2	41	22	3.0
		143.6:Qtz-carb-py millimetric veinlet at 30 c/a.	8278	143.6-143.7	0.1	14	0.2	19	23	2.5
		147.85:Idem to 8278.	8279	147.85-147.95	0.1	142	0.6	8	28	5.5
		148.7:Qtz-carb-py veinlet 5 mm wide at 30 c/a.	8280	148.7-148.8	0.1	2259	0.8	13	29	5.5
		153.25:Idem to 8278.	8281	153.25-153.35	0.1	766	0.9	30	26	2.0
		155.7:Qtz-carb vein 1 cm wide, sheared 30 c/a with 30 % pyrite.	8282	155.7-155.8	0.1	936	0.4	20	19	2.5
		157.7:Idem to 8278.	8283	157.7-157.8	0.1	20	0.2	17	21	1.5
		157.9:Idem to 8278.	8284	157.9-158	0.1	215	0.3	67	20	2.0
		From 168 to 173.7m the granite gets pinkish red, hematized. Also, carbonatized and epidotized over 1.2 meter at 172.2m.								
		172.2:Zone of altered granite, slightly sheared 50-60 c/a, hematitic, epidotized and carbonatized over 1.2 meters with trace of py.	8285	172.2-173.4	1.2	7	0.2	8	30	1.0
		174.6:Qtz-carb-py veinlet at 30 c/a	8286	174.6-174.7	0.1	171	0.6	17	26	2.5
		END OF HOLE at 175.26 meters.								

Depth		Description	Sample No.	Intersection		Analysis				
From	To			From - To	Width	Au ppb	Ag ppm	Cu ppm	Zn ppm	As ppm
		List of assays of 0.01 oz/ton Au or better				Au oz/ton				
			8220	22.7-22.8	0.1	0.057				
			8223	26.1-26.25	0.15	0.044				
			8224	27.4-27.5	0.1	0.034				
			8225	28.9-29	0.1	0.015				
			8226	29.7-29.8	0.1	0.022				
			8229	33-33.45	0.45	0.013				
			8230	38.35-38.7	0.35	0.038				
			8232	39.85-39.95	0.1	0.045				
			8233	42.25-42.35	0.1	0.27				
			8234	42.65-42.8	0.15	0.019				
			8235	43.1-43.2	0.1	0.029				
			8237	47.1-47.2	0.1	0.023				
			8239	55.5-55.6	0.1	0.019				
			8243	59.55-59.65	0.1	0.031				
			8252	68.9-69.1	0.2	0.018				
			8253	69.8-70.6	0.8	0.071				
			8255	72.45-72.55	0.1	0.016				
			8256	73.2-73.3	0.1	0.23				
			8258	79.75-79.85	0.1	0.024				
			8262	85.7-85.8	0.1	0.042				
			8265	89.2-89.3	0.1	0.16				
			8266	100.3-100.4	0.1	0.01				
			8267	100.6-100.7	0.1	0.032				
		(continued on next page)								

Depth		Description	Sample No.	Intersection		Analysis				
From	To			From - To	Width	Au ppb	Ag ppm	Cu ppm	Zn ppm	As ppm
						Au oz/ton				
			8269	113.6-113.7	0.1	0.011				
			8271	118.6-118.7	0.1	0.018				
			8274	134.1-134.2	0.1	0.045				
			8275	135.9-136	0.1	0.033				
			8280	148.7-148.8	0.1	0.066				
			8281	153.25-153.35	0.1	0.022				
			8282	155.7-155.8	0.1	0.027				

Hole No: 1300N-2Ref. Grid: Soquem grid (1981)Co-ordinates: L-13+00N, 2+65E (41+30N, L-48E)Azimuth: N270Dip: -45Total Length: 147.83 metersHorizontal Proj.: Vertical Proj.: 

Dip Test

Depth Angle

collar -4550m -44100m -43147m -42Prospect: ISLE-DIEUVenture No:  N.T.S.: 32E/13Location Area/Twp: Isle-Dieu townshipClaim No: 195226-5Core Size: BQDrill Contractor: Forage Mercier Inc.Date Started: February 5, 1987Date Completed: February 8, 1987

Depth		Description	Sample No.	Intersection		Analysis				
From	To			From - To	Width	Au ppb	Ag ppm	Cu ppm	Zn ppm	As ppm
0	16.15	OVERBURDEN								
16.15	147.83	GRANITE Whitish-grey to pinkish-grey, coarse grain with local grey, fine grain groundmass porphyric phases. Lightly to moderately fractured, hematized, epidotized, chloritized and carbonatized in places.								
		18.55:Qtz-carb-py veinlet 5 mm wide at 20 c/a.	8358	18.55-18.7	0.15	682	0.6	80	23	8.0
		20.95:Zone sheared 20 c/a, moderately carbonatized, slightly epidotized and hematitic with one millimetric Qtz-carb-py veinlet.	8359	20.95-21.2	0.25	11	0.2	48	26	2.5
		25.4:Qtz-carb-py millimetric veinlet at 25 c/a.	8360	25.4-25.5	0.1	67	0.3	42	49	7.5
		26.6:Silicified fracture at 25 c/a with specks of py & cp.	8361	26.6-26.7	0.1	502	0.5	394	22	4.0
		27.15:Qtz-carb-py veinlet 5 mm wide at 25-30 c/a.	8362	27.15-27.3	0.15	757	0.3	31	18	3.0

Logged by: Bernard Borduas, Geologist.

Depth		Description	Sample No.	Intersection		Analysis				
From	To			From - To	Width	Au ppb	Ag ppm	Cu ppm	Zn ppm	As ppm
		27.9:Qtz-carb-py millimetric veinlet at 20 c/a.	8363	27.9-28	0.1	78	0.3	20	34	7.5
		30.7:Idem to 8363 but at 30 c/a.	8364	30.7-30.8	0.1	323	0.3	132	24	3.0
		34:Idem to 8364.	8365	34-34.1	0.1	344	0.3	41	23	3.0
		36.2:Idem to 8363.	8366	36.2-36.3	0.1	1361	0.5	73	22	6.0
		36.5:Idem to 8363.	8367	36.5-36.6	0.1	9120	1.1	57	22	3.0
		38.2:Idem to 8364.	8368	38.2-38.3	0.1	34	0.2	236	23	1.5
		39.4:Idem to 8364.	8369	39.4-39.5	0.1	1303	0.4	11	25	2.0
		41.85:Zone slightly sheared 30 c/a with 1 Qtz-carb-py veinlet 5mm wide at 30 c/a and overall 1 % diss py.	8370	41.85-42.05	0.2	73	0.2	15	26	5.5
		44.3:Qtz-carb veinlet 5 mm wide at 30 c/a with 10 % py,cp.	8371	44.3-44.45	0.15	439	0.6	619	25	11.0
		46.3:Qtz-carb-py veinlet 5 mm wide at 25 c/a.	8372	46.3-46.4	0.1	1391	0.6	36	20	8.0
		47.25:Zone with 3 Qtz-carb-py veinlets millimetric at 30-35 c/a.	8373	47.25-47.75	0.5	40	0.2	39	20	3.0
		48.7:Carbonatized shear 1 cm wide at 35 c/a with 5 % pyrite.	8374	48.7-48.8	0.1	14	0.2	80	29	3.0
		52:Lost core over 50 cm.								
		54.9:Lost core over 1.5 meters.								
		56.5:Zone sheared 25-30 c/a, carbonatized and epidotized with 1-2 % diss pyrite.	8375	56.5-56.7	0.2	192	0.3	24	24	48
		58.2:Zone idem to 8375 with 3-5 % pyrite.	8376	58.2-58.6	0.4	177	0.4	71	22	28
		59.6:Qtz-carb-py millimetric veinlet at 30 c/a.	8377	59.6-59.7	0.1	123	0.3	14	22	7.5
		61.9:Idem to 8377 at 35 c/a.	8378	61.9-62	0.1	180	0.3	9	16	3.5

Depth		Description	Sample No.	Intersection		Analysis				
From	To			From-To	Width	Au ppb	Ag ppm	Cu ppm	Zn ppm	As ppm
		63.1:Qtz-carb-py millimetric veinlet at 30 c/a.	8379	63.1-63.2	0.1	256	0.3	27	21	13.0
		64:Idem to 8379.	8380	64-64.1	0.1	60	0.3	98	25	4.0
		65:Idem to 8379.	8381	65-65.1	0.1	148	0.4	408	17	4.0
		65.2:Qtz-carb-py veinlet 5 mm wide at 30 c/a.	8382	65.2-65.3	0.1	1831	1.1	37	17	10.0
		65.3:Zone with 2 millimetric qtz-carb-py veinlets at 30 c/a.	8383	65.3-65.6	0.3	60	0.3	37	16	2.0
		69.3:Qtz-carb-py millimetric veinlet at 35 c/a.	8384	69.3-69.4	0.1	48	0.2	35	19	5.5
		70.7:Idem to 8384 at 30 c/a.	8385	70.7-70.8	0.1	1884	1.0	574	19	12.0
		71.85:Zone with a few millimetric qtz-carb-py veinlets, moderately sheared, carbonatized and hematized.	8386	71.85-72.25	0.4	19	0.3	23	22	2.5
		72.6:Qtz-carb-py millimetric veinlet at 30 c/a.	8387	72.6-72.7	0.1	1059	0.5	27	20	8.0
		76.1:Qtz-carb-py veinlet 8 mm wide at 28 c/a.	8388	76.1-76.2	0.1	2102	3.0	83	31	16.0
		78.2:Zone slightly sheared 45 c/a, fractured, brecciated, carbonatized, slightly epidotized and hematized with 1/2 % pyrite.	8389	78.2-78.7	0.5	56	0.4	39	16	2.5
		81.7:Qtz-carb-py millimetric veinlet at 30 c/a.	8390	81.7-81.8	0.1	229	0.3	9	18	2.0
		87.5:Zone of granite moderately altered, carbonatized, epidotized and slightly hematized with trace of pyrite.	8391	87.5-88.5	1.0	11	0.3	41	21	1.0
		88.85:Idem to 8391 with a few millimetric qtz-carb-py veinlets at 30 c/a.	8392	88.85-89.45	0.6	7	0.3	23	20	1.0

Depth		Description	Sample No.	Intersection		Analysis				
From	To			From - To	Width	Au ppb	Ag ppm	Cu ppm	Zn ppm	As ppm
		93.05:Qtz-carb-py veinlet 5 mm wide at 30 c/a.	8393	93.05-93.2	0.15	157	0.4	158	18	3.0
		93.5:Zone of granite moderately fractured and altered, carbonatized, epidotized and hematized with a few millimetric Qtz-carb-py veinlets and overall 1/2-1 % py.	8394	93.5-94.9	1.4	228	0.3	75	23	3.0
		95.1:Qtz-carb-py millimetric veinlet at 35 c/a.	8395	95.1-95.2	0.1	195	0.3	30	19	3.0
		96:Qtz-carb-py veinlet 5 mm wide at 35 c/a.	8396	96-96.1	0.1	32	0.3	1459	19	1.5
		96.7:Zone with 4 Qtz-carb-py veinlets 5 mm wide at 30-35 c/a.	8397	96.7-97.35	0.65	58	0.4	106	17	2.5
		99.25:Idem to 8396.	8398	99.25-99.35	0.1	913	0.6	64	17	3.5
		100.4:Zone of granite moderately altered, carbonatized and epidotized with trace of pyrite.	8399	100.4-101.1	0.7	7	0.3	17	30	1.0
		114.05:Qtz-carb-py millimetric veinlet at 30 c/a.	8400	114.05-114.15	0.1	34	0.3	31	16	2.5
		117.8:Zone with 2 millimetric Qtz-carb-py veinlets at 25-30 c/a.	8401	117.8-118	0.2	240	0.3	12	16	2.5
		118.3:Qtz-carb-py veinlet 8 mm wide at 28 c/a.	8402	118.3-118.4	0.1	378	0.4	31	15	2.0
		From 120 to 127.2m the granite gets altered. Moderately carbonatized, slightly and epidotized (pinkish-red), sheared 30-40 c/a from 120 to 122m. Carbonatized and epidotized (greenish) from 122 to 123.9m. And samely altered as 120 to 122m from 123.9 to 127.2m.								
		122:Zone carbonatized and epidotized with trace of pyrite.	8403	122-123	1.0	12	0.3	9	16	1.0
		123:Qtz-carb vein 3 cm wide, sheared 15-20 c/a with 10 % pyrite.	8404	123-123.35	0.35	609	0.5	23	11	4.5



Depth		Description	Sample No.	Intersection		Analysis				
From	To			From-To	Width	Au ppb	Ag ppm	Cu ppm	Zn ppm	As ppm
		123.35:Zone idem to 8403, slightly sheared 30-40 c/a.	8405	123.35-124.35	1.0	8	0.3	10	17	3.0
		125.8:Qtz-carb-py veinlet 8 mm wide at 25 c/a.	8406	125.8-125.9	0.1	4410	5.3	77	24	10.0
		125.9:Zone moderately fractured, carbonatized and hematized with a few millimetric qtz-carb-py veinlets at 25-30 c/a.	8407	125.9-126.8	0.9	307	0.4	17	28	2.5
		126.8:Zone with 2 qtz-carb-py veinlets 5 mm wide at 25 c/a.	8408	126.8-127.2	0.4	431	0.5	27	27	5.0
		128.6:Qtz-carb-py veinlet 5 mm wide at 30 c/a.	8409	128.6-128.7	0.1	661	0.6	26	21	2.5
		134.2:Qtz-carb vein 1 cm wide at 25-30 c/a with 20 % pyrite.	8410	134.2-134.35	0.15	302	0.7	953	16	4.5
		134.7:Zone of granite, altered, carbonatized and epidotized(green) moderately sheared 35-40 c/a with trace of pyrite.	8411	134.7-136.1	1.4	11	0.3	20	24	5.0
		137.3:Qtz-carb-py veinlet 5 mm wide at 28 c/a.	8412	137.3-137.4	0.1	3220	2.3	162	22	6.0
		142:Zone with 3 millimetric qtz-carb-py veinlets at 25-30 c/a.	8413	142-142.6	0.6	27	0.3	22	24	2.0
		144.55:Qtz-carb veinlet 5 mm wide at 20 c/a with 5 % pyrite.	8414	144.55-144.7	0.15	22	0.4	18	22	1.5
		147.1:Qtz-carb-py millimetric veinlet at 25-30 c/a.	8415	147.1-147.2	0.1	21	0.3	15	20	2.5
		END OF HOLE at 147.83 meters								
		List of assays of 0.01 oz/ton Au or better				Au oz/t				
			8358	18.55-18.7	0.15	0.020				
			8361	26.6-26.7	0.1	0.015				
		(continued on next page)								

Depth		Description	Sample No.	Intersection		Analysis				
From	To			From - To	Width	Au oz/t	Ag ppm	Cu ppm	Zn ppm	As ppm
			8362	27.15-27.3	0.15	0.022				
			8364	30.7-30.8	0.1	0.009				
			8365	34-34.1	0.1	0.01				
			8366	36.2-36.3	0.1	0.039				
			8367	36.5-36.6	0.1	0.26				
			8369	39.4-39.5	0.1	0.038				
			8371	44.3-44.45	0.15	0.013				
			8372	46.3-46.4	0.1	0.04				
			8382	65.2-65.3	0.1	0.053				
			8385	70.7-70.8	0.1	0.055				
			8387	72.6-72.7	0.1	0.031				
			8388	76.1-76.2	0.1	0.061				
			8398	99.25-99.35	0.1	0.026				
			8402	118.3-118.4	0.1	0.011				
			8404	123-123.35	0.35	0.018				
			8406	125.8-125.9	0.1	0.13				
			8407	125.9-126.8	0.9	0.009				
			8408	126.8-127.2	0.4	0.012				
			8409	128.6-128.7	0.1	0.019				
			8410	134.2-134.35	0.15	0.009				
			8412	137.3-137.4	0.1	0.093				

Hole No: 1300N-2 (continued)

Dip Test

Prospect: Isle-DieuRef. Grid: Soquem grid (1981)

Depth Angle

Venture No: \_\_\_\_\_ N.T.S.: 32F/13Co-ordinates: L-13+00N, 2+65E (L-48E, 41+30N)Location Area/Twp: Isle-Dieu Twp.Azimuth: N 270collar -45Claim No: 195226-5Dip: - 45147m -42Core Size: BQTotal Length: 49.71 meters (148.1m-197.81m)Drill Contractor: Forage Diamex Inc.

Horizontal Proj.: \_\_\_\_\_

Date Started: August 8 , 1987

Vertical Proj.: \_\_\_\_\_

Date Completed: August 11 , 1987

Depth		Description	Sample No.	Intersection		Analysis				
From	To			From - To	Width (m)	Au ppb	Ag ppm	Cu ppm	Zn ppm	As ppm
148.1	197.81	GRANITE Whitish-grey to pinkish-grey, coarse grain with local grey fine grain groundmass porphyric phases. Lightly to moderately fractured, hematized, epidotized, chloritized and carbonatized in places.								
		149.5: Zone slightly fractured and carbonatized with a few millimetric Qtz-carb-py veinlets at 30-45 c/a with overall 1/2 % py over 30 cm.	9641	149.5-149.8	0.3	5	2.5	51	37	23
		151.3: Qtz-carb-py veinlet 5mm wide at 30 c/a.	9642	151.3-151.4	0.1	1012	1.4	53	19	5.0
		153.8: Idem to 9642.	9643	153.8-153.9	0.1	190	0.7	22	23	7.0
		From 156.3m to the end granite is getting more often altered over greater widths.								
		156.9: Zone slightly carbonatized with 4 to 5 millimetric Qtz-carb-py veinlets at 30-45 c/a and overall	9644	156.9-157.7	0.8	191	1.0	50	30	3.0

Logged by: Bernard Borduas, Geol.

Depth		Description	Sample No.	Intersection		Analysis				
From	To			From - To	Width (m)	Au ppb	Ag ppm	Cu ppm	Zn ppm	As ppm
		½-1 % diss py over 80 cm.								
		157.7:Zone slightly to moderately altered with a 5mm wide qtz-carb shear at 20 c/a with overall ½ % diss py over 30 cm.	9645	157.7-158	0.3	378	2.6	67	58	15.5
		159:Zone slightly to moderately altered with a few 20-30 c/a milli metric qtz-carb-py veinlets and overall ½ % diss py over 1.1m	9646	159-160.1	1.1	59	0.8	97	28	3.0
		161.25:Zone slightly altered and hematitic with trace to ½ % diss py over 65 cm.	9647	161.25-161.9	0.65	9	0.8	102	28	1.5
		161.9:Zone sheared 50 c/a and strongly epidotized with a few millimetric qtz-carb-py veinlets over 85 cm.	9648	161.9-162.75	0.85	10	0.7	29	19	6.0
		Granite is moderately altered, epidotized, carbonatized and hematized from 161.9m to 169.1m								
		163.75:Zone with 2 millimetric qtz-carb-py veinlets at 25 & 35 c/a over 45 cm.	9649	163.75-164.2	0.45	88	1.2	22	34	8.5
		164.85:Qtz-carb vein 1 cm wide at 15 c/a with 15 % py.	9650	164.85-165.1	0.25	256	2.3	18	27	22
		165.85:Qtz-carb-py veinlet 5mm wide at 25-30 c/a.	9651	165.85-166	0.15	210	1.5	22	32	12.5
		166.9:Zone slightly altered with ½ % diss py over 20 cm.	9652	166.9-167.1	0.2	67	0.9	91	29	7.5
		168.25:Idem to 9651.	9653	168.25-168.45	0.2	232	1.3	38	25	5.5
		Granite is strongly altered from 168.9m to 170m.								
		169.05:Qtz-carb-py millimetric veinlet at 30 c/a in epidotized granite.	9654	169.05-169.2	0.15	164	1.2	9	19	20

Depth		Description	Sample No.	Intersection		Analysis				
From	To			From - To	Width (m)	Au ppb	Ag ppm	Cu ppm	Zn ppm	As ppm
		169.7:Idem to 9654.over 10 cm.	9655	169.7-169.8	0.1	182	1.1	26	22	15.0
		170.6:Qtz-carb-py millimetric veinlet at 30 c/a.	9656	170.6-170.75	0.15	50	0.9	139	37	6.0
		175.05:Idem to 9656.	9657	175.05-175.2	0.15	962	2.4	47	21	13.5
		176.8:Zone moderately altered with a few millimetric qtz-carb-py veinlets over 25 cm.	9658	176.8-177.05	0.25	100	1.2	57	23	7.5
		179.4:Idem to 9656.	9659	179.4-179.55	0.15	147	0.9	34	22	5.5
		182.2:Idem to 9656.	9660	182.2-182.3	0.1	137	1.0	12	23	9.0
		Granite is moderately to strongly altered(epidotized,carbonatized,hematitic) locally from 183m to 193m.								
		184.9:Carbonatized shear 1 cm wide at 35 c/a with 1-2 % diss py in epidotized granite.	9661	184.9-185	0.1	33	0.9	22	25	19.5
		185.55:Qtz-carb-py millimetric veinlet at 20-25 c/a.	9662	185.55-185.7	0.15	9	0.8	105	23	5.0
		187.4:Zone slightly to moderately hematitic with a few millimetric qtz-carb-py veinlets at 15-20 c/a. over 40 cm.	9663	187.4-187.8	0.4	34	0.8	47	20	3.5
		190.4:Zone slightly hematitic with a millimetric qtz-carb-py veinlet at 20-25 c/a.	9664	190.4-190.6	0.2	365	1.3	146	22	5.5
		192.45:Idem to 9664 but less hematitic over 20 cm.	9665	192.45-192.65	0.2	274	1.5	115	35	8.5
		197.3:Qtz-carb-py millimetric veinlet at 30 c/a.	9666	197.3-197.4	0.1	92	0.7	24	20	3.0
		END OF HOLE at 197.81 meters								
		Note: Casing broken,impossible to return in hole.								

Depth		Description	Sample No.	Intersection		Analysis				
From	To			From - To	Width (m)	Au oz/t	Ag ppm	Cu ppm	Zn ppm	As ppm
		List of assays of 0.01 oz/ton Au or better.								
			9642	151.3-151.4	0.1	0.029				
			9645	157.7-158	0.3	0.011				
			9657	175.05-175.2	0.15	0.028				
			9664	190.4-190.6	0.2	0.011				